

0006

図書室

JNC TJ7440 2005-014

~~JNC TJ4117 89-001~~

開示制限

FB 地区における深部地質環境データ

—地表物理探査（P L M T 法）—

(動力炉・核燃料開発事業団 契約業務報告書)

1989年3月

日本鉱業株式会社

本資料の全部または一部を複写・複製・転載する場合は、下記にお問い合わせください。

〒319-1184 茨城県那珂郡東海村村松4番地49
核燃料サイクル開発機構
技術展開部 技術協力課
電話：029-282-1122（代表）
ファックス：029-282-7980
電子メール：jserv@jnc.go.jp

Inquires about copyright and reproduction should be addressed to:

Technical Cooperation Section,
Technology Management Division,
Japan Nuclear Cycle Development Institute
4-49 Muramatsu, Tokai-mura, Naka-gun, Ibaraki 319-1184, Japan

©核燃料サイクル開発機構
(Japan Nuclear Cycle Development Institute)
2005

この資料は、動燃事業団の開発業務を進めるため、特に限られた関係者だけに配布するものです。ついでには供覧、複製、転載、引用等を行わないよう、また第三者への開示又は内容漏洩がないよう厳重に管理して下さい。また今回の配布目的以外のことには使用しないよう特に注意して下さい。
なお、開示制限が解除になった場合はその旨通知しますが、それ以前に関連業務が終了した場合は、直ちに返却して下さい。

本資料についての問合せは下記に願います。

〒107 東京都港区赤坂1-9-13

動力炉・核燃料開発事業団
技術管理部 技術情報室

JNC TJ7440 2005-014

~~開示制限~~

PNC ZJ4117-89-001

1989年3月

FB 地区における深部地質環境データ

— 物理探査 (PLMT法) —

要 旨

本調査資料は、既存の鉱床探査資料の中から鹿児島県枕崎市春日地区における地質資料および地表物理探査(PLMT法)のデータ解析結果をとりまとめたものである。

【地質調査】

対象地域は南九州薩摩半島の南端にあり、枕崎市西方約5kmに位置する。

地質は四万十帯の川辺層群を基盤に、その上に堆積した南薩層群、阿多火碎流より構成される。川辺層群は白亜系で、主として砂岩、頁岩～粘板岩より構成される地層である。南薩層群は新第三系に属し川辺層群を不整合に被覆して分布しており、安山岩質火山噴出物を主体とする半深海性～浅海性堆積物より成る。阿多火碎流は第四系に属し溶結凝灰岩を主とする地層で平野部を広く覆っている。

対象地域の地質構造は、地層の走向ほぼN-Sで60～80° 東傾斜の単斜構造を示す。本地域の大部分は基盤である川辺層群で構成されており、これは岩質及び地質構造とも安定した地層であると考えられる。

【物理探査】

PLMT法の解析範囲は 4.6km²であり測定点は113点である。周波数範囲は 60～660 Hzである。対象地域の比抵抗構造は下記の通りである。

- ① 対象地域の比抵抗分布は300 ohm-m 以上の高比抵抗が卓越しておりほぼ地域全域に分布している。3000 ohm-m 以上の特に高い比抵抗は地域中央部から北部にかけた範囲と地域の南東部に分布する。高比抵抗ゾーンは主として四万十帯川辺層群の砂岩及び頁岩の分布とほぼ一致し、地域中央部ではこの上位に薄く覆っている第四系の阿多火碎流に対比される。一方、30 ohm-m 以下の低比抵抗は地域南東部と番屋山周辺の南薩層群(安山岩質火山礫凝灰岩や安山岩溶岩)の分布域で検出されている。比抵抗分布と地質分布

本報告書は、日本鉱業(株)が動力炉・核燃料開発事業団の委託により実施した研究の成果である。契約番号: 632A 10061

事業団担当部課室: 環境資源部 地層処分対策室

*1: 日本鉱業(株) 資源開発本部 鉱物資源部

は概ね調和的であるが細部では合致しない箇所も認められる。そのような箇所は地形の急峻な起伏の激しい所に多く認められことから測定データには地形の影響が作用しているものと推定される。

- ② 一次元解析の結果では表層部（第1層目）が低～中間比抵抗に解析された測定点が多く、またその層厚も50m以下のケースが多く認められた。この傾向は地域北部と南部で顕著であった。このことは川辺層群の砂岩及び頁岩の表層風化層が解析されたものと解釈できる。
- ③ 深部の比抵抗構造（海拔-100 m以深）は、ほぼ地域全域が高比抵抗ゾーンとなっており、低～中間比抵抗ゾーンは小規模分布のものが地域各所に点在する。全般に比抵抗構造に大きな変化が認められないことから本地域の基盤岩構造には大きな乱れがないものと推定される。
- ④ 電位の測定はN-S電極配置（正確にはN25° E方向）とE-W電極配置（同 N65° W）で測定が行われているが、解析の結果はE-W電極配置のデータがバラツキもなく地質分布とより調和的である。このことは対象地域に最も近い枕崎ルートの高圧送電線よりも、このルートの約 20 km 東に位置する開聞町ルート(NW-SE方向)の方が送信源になっていることを示唆している。

JNC TJ7440 2005-014

~~COMMERCIAL PROPRIETARY~~

PNC 7J4117 89 001

MAR., 1989

DATA ON ENVIRONMENT ASSESSMENT OF GEOLOGY IN THE DEPTH
FB

- Geophysical Investigation (PLMT Method) -

[REDACTED] *
[REDACTED] *, [REDACTED] *

A b s t r a c t

Geological and geophysical (PLMT method) data obtained by previous surveys in Kasuga Area, Makurazaki City, Kagoshima Prefecture were re-interpretated.

This was done in order to better understand the geological environment of the deeper zones of the area.

[Geology]

The studied area is located at the southern end of the Satsuma Peninsula of southern Kyushu, approximately 5 km west of Makurazaki City.

The major geological units are the Kawanabe Group of the Shimanto Belt -the basement- and the overlying Nansatsu Group and Ata Pyroclastic Flow. The Kawanabe Group consists of Cretaceous sandstone and shale~slate. The Nansatsu Group is Neogene and unconformably overlies the Kawanabe Group. It consists mainly of neritic to bathyal deposits with andesitic effusives. The Ata Pyroclastic Flow is Quaternary and is composed mainly of welded tuff and is distributed widely over the plains.

The geologic structure of the area is monoclinic with N-S strike and 60°~80° eastward dip. The geologic unit constituting the major part of the area is the Kawanabe Group, the basement, and it is considered that the area is lithologically and structurally stable.

[Geophysics]

Analysis by PLMT method was conducted over an area of 4.6km² with 113 stations. The frequency range used was 60~660 Hz. The relevant points regarding the resistivity structure of the area are as follows.

Work performed by the Nippon Mining Company Limited under a contract with the Power Reactor and Nuclear Fuel Development Corporation
PNC Liaison : 632A 10061

* : Nippon Mining Co., Ltd.

1. High resistivity of over 300 ohm-m is generally predominant throughout the area. Particularly high resistivity exceeding 300 ohm-m is distributed in the zone extending from the central to the northern part and in the southeastern part of the area. The distribution of the high resistivity zone mainly coincides with that of the sandstone and shale of the Kawanabe Group of the Shimanto Belt.

Those in the central part of the area is correlated with the Quaternary Ata Pyroclastic Flow which thinly covers the above sandstone and shale. The low resistivity zone, under 30 ohm-m is correlated to the Nansatsu Group (andesitic lapilli tuff, andesite lava) in the southeastern part of the area and also near the Banya-yama. The distribution of the resistivity is generally harmonious to that of the geological units, but there are details which can not be correlated easily. Most of these, however, are found in localities with rugged and steep topography. Thus it is inferred that the measurements were affected by the steep relief of the area.

2. Many of the stations showed low to medium resistivity for the surficial layer (the first layer) by one-dimensional analysis and the thickness to be mostly less than 50m. This is interpreted to be due to the fact that the analysis was carried out on the weathered zone of the Kawanabe sandstone and shale.

3. Regarding the resistivity structure of the deeper zones, most of the zone below -100m sea-level has high resistivity with small patches of low~medium values scattered in parts of the area. It is concluded that significant irregularities do not occur in the basement structure because significant variations of the resistivity structure is generally not observed.

4. The measurement of electric potential was done by both N-S arrangement ($N25^\circ E$ to be exact) and E-W arrangement ($N65^\circ W$) of electrodes. The results of the analysis showed that the data from the E-W arrangement are more consistent and more harmonious with the distribution of the geologic units. This indicates that the Kaimon-cho route of the high-voltage power line (NW-SE direction) at approximately 25 km east of the area is the transmission source rather than the Makurazaki route of the power line which is closer to the area.

目 次

1. 総 説	1
1. 1 件 名	1
1. 2 目 的	1
1. 3 対象地域	1
1. 4 作業範囲	1
1. 5 作業内容	1
1. 6 とりまとめ期間	1
1. 7 担 当 員	3
 2. 地 表 地 質	4
2. 1 地質概要	4
2. 2 層序及び岩層	4
2. 3 地質構造	8
 3. 地表物理探査 (P L M T 法)	11
3. 1 調査方法	11
3. 1. 1 調査方法	11
3. 1. 2 測定条件	12
3. 1. 3 測定機器	15
3. 2 データ処理・解析方法	15
3. 2. 1 データ処理法	15
3. 2. 2 解析方法	20
3. 3 解析結果	23
3. 3. 1 見掛け比抵抗平面図	23
3. 3. 2 見掛け比抵抗断面図	51
3. 3. 3 比抵抗構造平面図	56
3. 3. 4 比抵抗構造断面図	57
 4. 考 察	69
 参考文献	71
付 錄	73

表・図・付録目次

【付表】

表-1 PLMT法測定機器及び仕様一覧表 16

【付図】

縮 尺		
図-1	資料調査位置図	(1:50,000) 2
図-2	地質図	(1:10,000) 5~6
図-3	模式柱状図 7	
図-4	地質断面図 (A-A', B-B', C-C' 断面)	(1:10,000) 9
図-5	PLMT法測定概念図 12	
図-6	送電線位置図	(1:100,000) 13~14
図-7	測定点位置図	(1:10,000) 17~18
図-8	PLMT法データ処理の流れ図 19	
図-9	PLMT法自動解析法の流れ図 22	
図-10-1	見掛け抵抗平面図 (60Hz) (E-W 電極配置)	(1:10,000) 27~28
図-10-2	見掛け抵抗平面図 (180Hz) (E-W 電極配置)	(1:10,000) 29~30
図-10-3	見掛け抵抗平面図 (300Hz) (E-W 電極配置)	(1:10,000) 31~32
図-10-4	見掛け抵抗平面図 (420Hz) (E-W 電極配置)	(1:10,000) 33~34
図-10-5	見掛け抵抗平面図 (540Hz) (E-W 電極配置)	(1:10,000) 35~36
図-10-6	見掛け抵抗平面図 (660Hz) (E-W 電極配置)	(1:10,000) 37~38
図-11-1	見掛け抵抗平面図 (60Hz) (N-S 電極配置)	(1:10,000) 39~40
図-11-2	見掛け抵抗平面図 (180Hz) (N-S 電極配置)	(1:10,000) 41~42
図-11-3	見掛け抵抗平面図 (300Hz) (N-S 電極配置)	(1:10,000) 43~44
図-11-4	見掛け抵抗平面図 (420Hz) (N-S 電極配置)	(1:10,000) 45~46
図-11-5	見掛け抵抗平面図 (540Hz) (N-S 電極配置)	(1:10,000) 47~48
図-11-6	見掛け抵抗平面図 (660Hz) (N-S 電極配置)	(1:10,000) 49~50
図-12-1	見掛け抵抗断面図 (A-A' 断面)	(1:10,000) 52
図-12-2	見掛け抵抗断面図 (B-B' 断面)	(1:10,000) 54
図-12-3	見掛け抵抗断面図 (C-C' 断面)	(1:10,000) 55
図-13-1	比抵抗構造平面図 (-50m S.L. 平面)	(1:10,000) 59~60
図-13-2	比抵抗構造平面図 (0m S.L. 平面)	(1:10,000) 61~62
図-13-3	比抵抗構造平面図 (-100m S.L. 平面)	(1:10,000) 63~64

図-14	比抵抗構造断面図 (A-A', B-B', C-C' 断面)	(1:10,000)	65~66
図-15	総合解析平面図	(1:10,000)	67~68

【別添図】

縮 尺

別添図-1	測定点位置図	
別添図-2-1	見掛け比抵抗平面図 (60Hz) (E-W 電極配置)	(1:5,000)
別添図-2-2	見掛け比抵抗平面図 (120Hz) (E-W 電極配置)	(1:5,000)
別添図-2-3	見掛け比抵抗平面図 (180Hz) (E-W 電極配置)	(1:5,000)
別添図-2-4	見掛け比抵抗平面図 (240Hz) (E-W 電極配置)	(1:5,000)
別添図-2-5	見掛け比抵抗平面図 (300Hz) (E-W 電極配置)	(1:5,000)
別添図-2-6	見掛け比抵抗平面図 (360Hz) (E-W 電極配置)	(1:5,000)
別添図-2-7	見掛け比抵抗平面図 (420Hz) (E-W 電極配置)	(1:5,000)
別添図-2-8	見掛け比抵抗平面図 (480Hz) (E-W 電極配置)	(1:5,000)
別添図-2-9	見掛け比抵抗平面図 (540Hz) (E-W 電極配置)	(1:5,000)
別添図-2-10	見掛け比抵抗平面図 (600Hz) (E-W 電極配置)	(1:5,000)
別添図-2-11	見掛け比抵抗平面図 (660Hz) (E-W 電極配置)	(1:5,000)
別添図-3-1	見掛け比抵抗平面図 (60Hz) (N-S 電極配置)	(1:5,000)
別添図-3-2	見掛け比抵抗平面図 (120Hz) (N-S 電極配置)	(1:5,000)
別添図-3-3	見掛け比抵抗平面図 (180Hz) (N-S 電極配置)	(1:5,000)
別添図-3-4	見掛け比抵抗平面図 (240Hz) (N-S 電極配置)	(1:5,000)
別添図-3-5	見掛け比抵抗平面図 (300Hz) (N-S 電極配置)	(1:5,000)
別添図-3-6	見掛け比抵抗平面図 (360Hz) (N-S 電極配置)	(1:5,000)
別添図-3-7	見掛け比抵抗平面図 (420Hz) (N-S 電極配置)	(1:5,000)
別添図-3-8	見掛け比抵抗平面図 (480Hz) (N-S 電極配置)	(1:5,000)
別添図-3-9	見掛け比抵抗平面図 (540Hz) (N-S 電極配置)	(1:5,000)
別添図-3-10	見掛け比抵抗平面図 (600Hz) (N-S 電極配置)	(1:5,000)
別添図-3-11	見掛け比抵抗平面図 (660Hz) (N-S 電極配置)	(1:5,000)
別添図-4-1	比抵抗構造平面図 (50m S.L. 平面)	(1:5,000)
別添図-4-2	比抵抗構造平面図 (0m S.L. 平面)	(1:5,000)
別添図-4-3	比抵抗構造平面図 (-100m S.L. 平面)	(1:5,000)
別添図-5	総合解析平面図	(1:5,000)

【付録】

1. PLMT法 測定値一覧表(N-S電極配置) 付-1 ~付-6
2. PLMT法 測定値一覧表(E-W電極配置) 付-7 ~付-12
3. PLMT法 測定見掛け抵抗曲線集 付-13~付-69
4. PLMT法 解析比抵抗曲線集 付-70~付-182

1. 総 説

1.1 件 名

鹿児島県春日地区における深部地質環境データ

1.2 目 的

鹿児島県春日地区における深部地質環境データをとりまとめることを目的とする。

1.3 対 象 地 域

対象地域は鹿児島県の南西部、枕崎市春日地区及び川辺郡坊津町栗野地区である
〔図-1 参照〕。

1.4 作 業 範 囲

本調査資料は既存地質文献のとりまとめおよび地表物理探査（PLMT法）結果より構成される。

1.5 作 業 内 容

(1) 既存地質文献とりまとめ

面 積 : 4.6 km²

(2) 地表物理探査(PLMT法)結果

面 積 : 4.6 km²

測定点数 : 113 点

1.6 とりまとめ期間

(自) 平成 元 年 1 月 20 日

(至) 平成 元 年 3 月 10 日

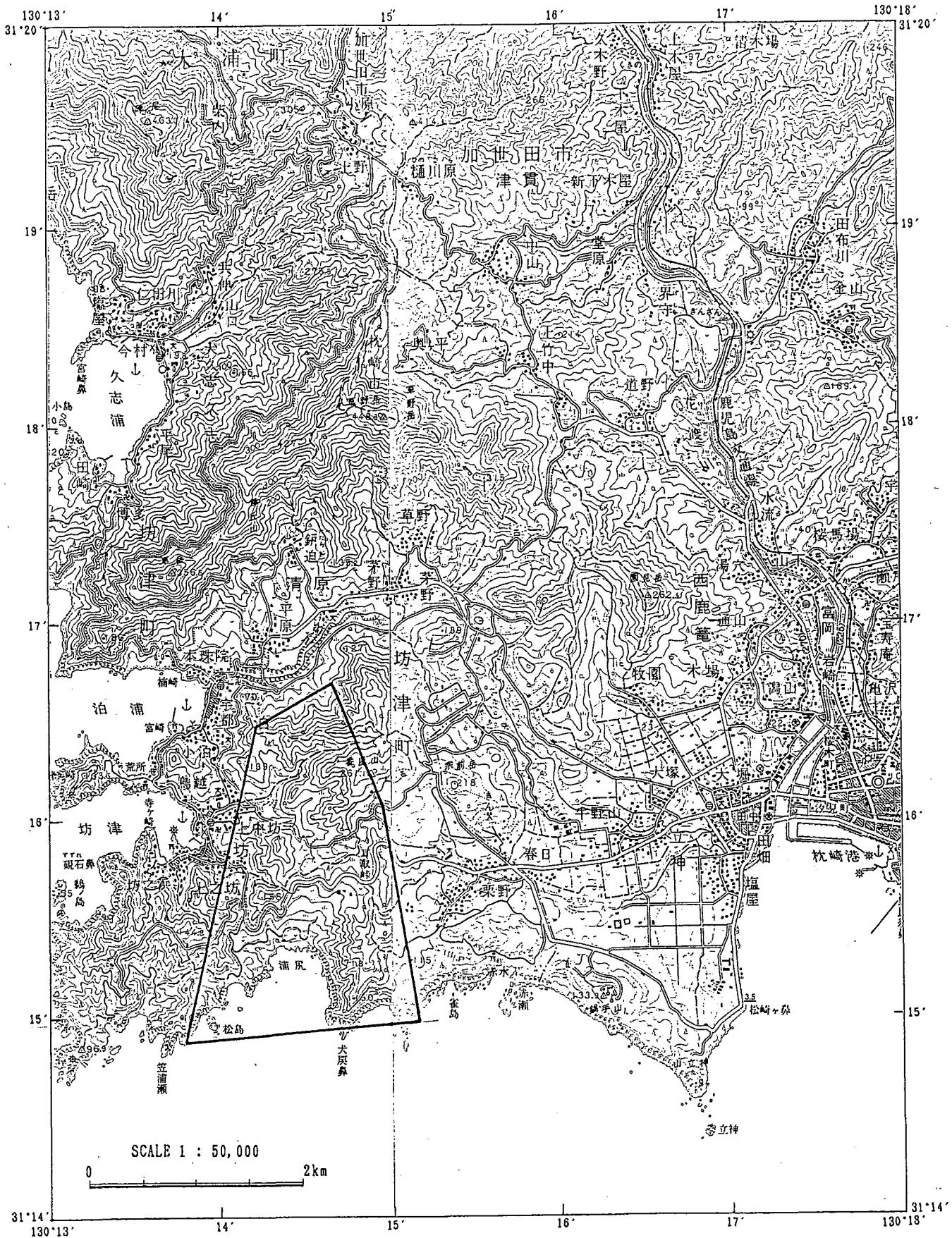


図-1 資料調査位置図

1.7 担 当 員

[REDACTED] (総括責任者)
[REDACTED] (地質担当 技術責任者)
[REDACTED] (同 上)
[REDACTED] (物理探査担当 技術責任者)
[REDACTED] (物理探査担当)
[REDACTED] (同 上)

2. 地表地質

2.1 地質概要

対象地域は南九州薩摩半島の南端にあり、枕崎市西方約5kmに位置する。

地質は四万十帯の川辺層群を基盤に、その上に堆積した南薩層群、阿多火碎流より構成される。川辺層群は白亜系からなり、主として砂岩、頁岩～粘板岩より構成される地層である。南薩層群は新第三系に属し川辺層群を不整合に被覆して分布しており、安山岩質火山噴出物を主体とする半深海性～浅海性堆積物より成る。阿多火碎流は第四系に属し溶結凝灰岩を主とする地層で平野部を広く覆っている。

2.2 層序及び岩相

対象地域内には白亜紀の川辺層群、第三紀の南薩層群及び第四紀の阿多火碎流が分布する（図-2 地質図 参照）。これらの模式的な地質層序を 図-3 に示した。川辺層群と南薩層群、南薩層群と阿多火碎流の関係はいずれも不整合である。

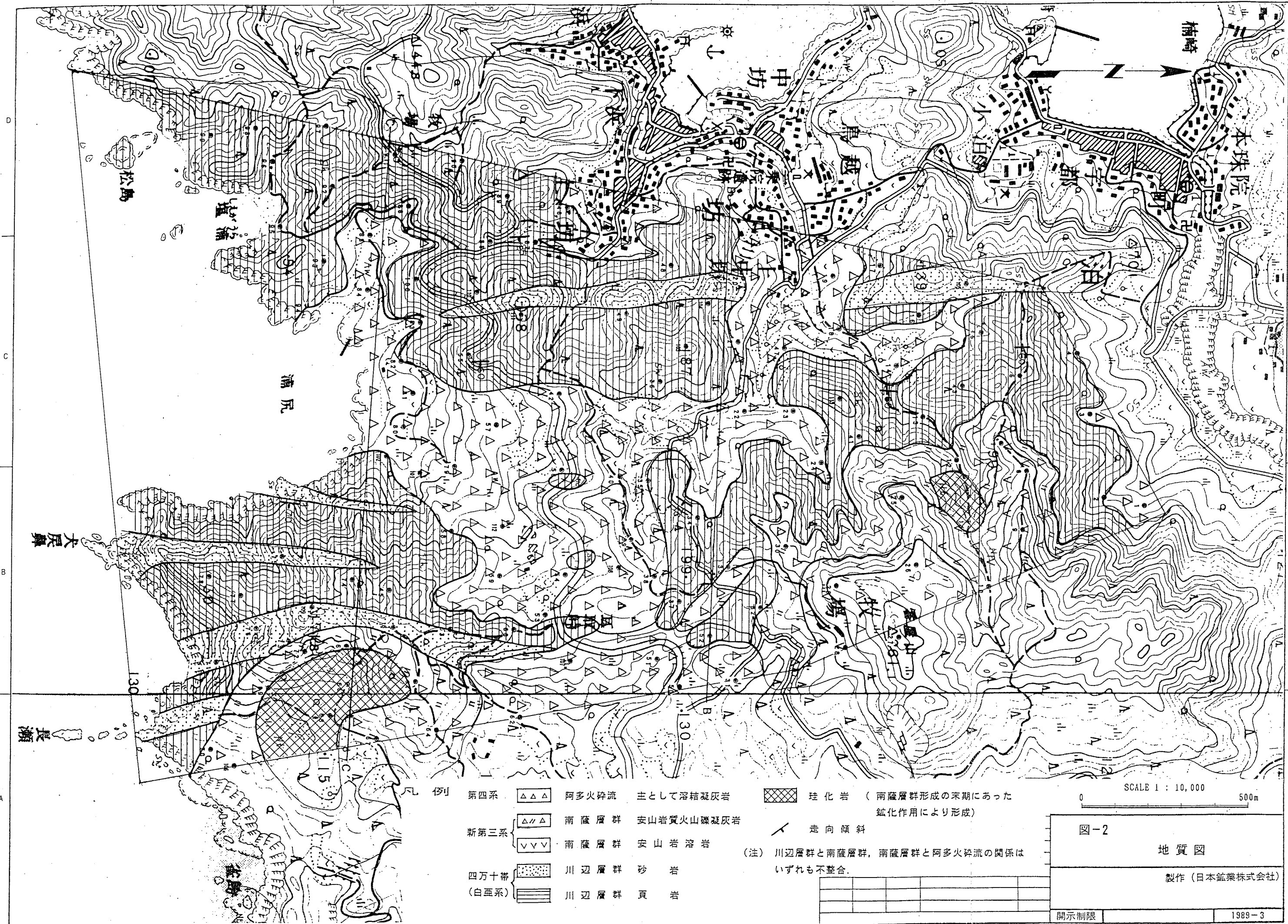
(1) 四万十帯（川辺層群）

九州地方の四万十帯は、これまでの研究によると、白亜系から成る諸塚帯、古第三系からなる神門・日向・日南帯及び白亜系～古第三系からなる高隅帯に区分される。各帯は断層で境され、九州東部では諸塚帯及び神門帯の南縁に大規模なスラストがある。諸塚帯は佐伯より南西方向に川内まで延び、川内から南に向きをかえ薩摩半島に至る間に広く分布している。諸塚帯の白亜系は諸塚層群と呼ばれ、その下部は千枚岩質粘板岩・砂岩からなり、しばしば塩基性火山岩類を挟み、ときにチャートを伴う。上部は泥質岩より砂岩が概して優勢である。諸塚層群の時代については、対象地域の北方の川辺において上部白亜系を示す化石が報告されている（松本ほか、1973）。

対象地域では四万十帯は川辺層群と呼称されており、上記の諸塚層群に対比されている。川辺層群は対象地域の大部分を構成し、北部、中央部～南西部及び南東部に露出する。構成岩類は砂岩及び頁岩の互層である。

砂岩は灰白色中～粗粒砂岩で対象地域中央部に南北の走向をもって分布するほか、南東部にも多層分布する。走向100m内外を示し堅硬な岩相を示す。構成粒子は主として石英及び斜長石でこのほかセリサイト、緑泥石も含まれ、時に2～3m/m程度の頁岩の礫を含む礫質の砂岩層も認められる。

砂岩及び頁岩互層は本地域の基盤の大部分を構成し一般に20～30cmの砂岩と頁岩が互層するものである。砂岩はアルコース砂岩で均質な岩相を示し、石英及び斜長石の



時代	柱状図	地層名	岩相
第四紀		阿多火碎流	溶結凝灰岩 (未変質)
第三紀		南薩層群	安山岩質火山礫凝灰岩 安山岩溶岩 安山岩質火山礫凝灰岩 珪化帯を含む (地層全体にプロピライト化)
白亜紀後期		川辺層群 (四万十帶)	砂岩／頁岩互層 頁岩 砂岩 頁岩 (砂岩は灰白色中～粗粒砂岩， 頁岩は一部千枚岩状を呈す)

図-3 模式柱状図

粒子で構成され少量ではあるが粘土鉱物、緑泥石なども含まれる。頁岩は黒色を示し弱い片理構造を示すが、一部に千枚岩状を示す部分もある。微細な石英、緑泥石及びセリサイトの粒子からなるものである。

(2) 南薩層群

対象地域では番屋山周辺と南東端部に分布する。構成岩類は安山岩質火山礫凝灰岩と安山岩溶岩である。火山礫凝灰岩は、一般に無層理で凝灰岩を挟在し、礫は直径3 cm以下である。全般に淡青色～白色を呈し粘土化及びプロピライト化作用を受けており、所により珪化作用を受け、南東部では栗ヶ野鉱化帯を形成している。南薩層群は本地域から東方に向かって厚く発達しており、四万十帶との境界部には基底礫岩を伴うことがある。

(3) 阿多火碎流

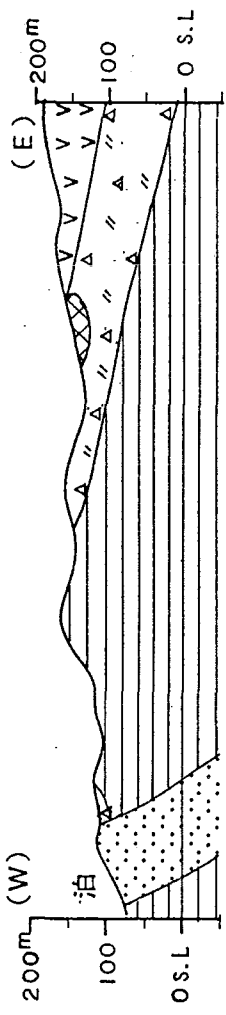
阿多火碎流は南九州一帯に広く分布する溶結凝灰岩よりなる火碎流で本地域では低地に分布する。一般に弱ないし中溶結の淡褐灰色の安山岩質基質に、多量の石質岩片及び普通輝石紫蘇輝石・斜長石を斑晶として含むもので、本岩同成分の安山岩質物レンズが多く含まれているが、その輪郭は明瞭でない。

本地区の阿多火碎流は異質岩塊が少なく、火山灰からなる細粒物質が多い。溶結部は大きさ5~6cmのレンズ状をなし、均質岩である。

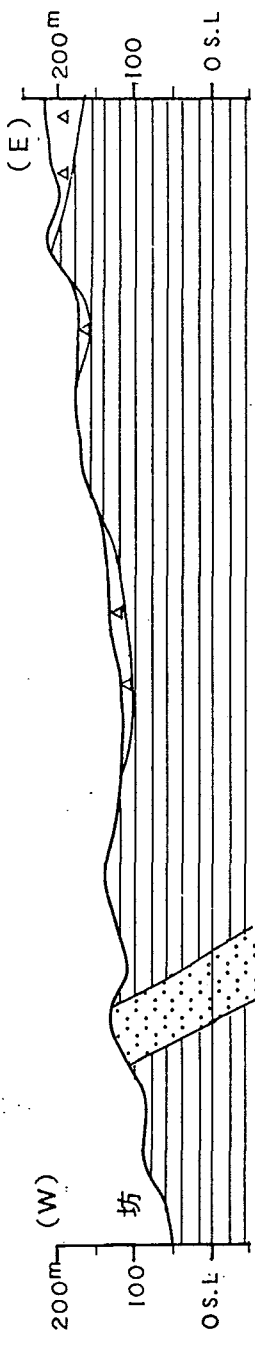
2.3 地質構造

川辺層群の構造は地層の走向ほぼN-Sで60~80° 東傾斜の単斜構造を示す（図-4 地質断面図 参照）。場所によっては小断層が発達し、地層（特に頁岩部）は局部的に擾乱を受けているが、全体的には堅硬で均質な岩相を示すことが多い。南薩層群との境界は東に向かって沈み枕崎市を中心とした盆状構造を示すが、本地区はその西縁部に位置している。南薩層群及び阿多火碎流は本地区では分布が薄く地表下浅部に分布するに過ぎない。大部分は基盤である四万十帯で構成されており、これは岩質及び地質構造とも安定した地層であると考えられる。

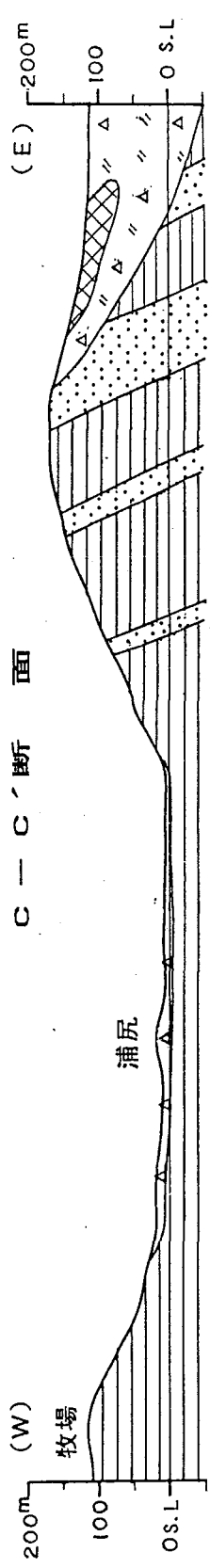
A—A'断面



B—B'断面



C—C'断面



凡例

- | | | | |
|------|--|-------|------------|
| 第四系. | | 阿多火碎流 | 主として溶結凝灰岩 |
| | | (白系) | 四万十帶 |
| 新第三系 | | 南薩層群 | 安山岩質火山礁凝灰岩 |
| | | 南薩層群 | 安山岩溶岩 |

- | | |
|----------------------------------|--|
| 川辺層群 | |
| 川辺層群 | |
| 珪化岩 (南薩層群形成の末期にあつた
鉱化作用により形成) | |

図-4 地質断面図 (A-A', B-B', C-C'断面)

3. 地表物理探査 (PLMT法)

3.1 調査方法

3.1.1 調査方法

大地の比抵抗分布を調査する電気探査の一種に地磁気一地電流法 (Magnetotelluric Method) があり、略してMT法と呼ばれている。この方法は地磁気と地電流を同時測定することにより、地下の比抵抗構造を求めるものである。

このMT法の一種に人工の信号源を使用する方法としてCSAMT法及びPLMT法がある。CSAMT法 (Controlled Source Audiofrequency Magneto-telluric Method) は使用する周波数が可聴波域のもので、近年金属鉱床や地熱を対象とする比抵抗分布調査にひんぱんに使われるようになった。

PLMT法は信号源として商用の送電線を利用するもので、50または60 Hzの電位及び磁場を測定して波形のフーリエ解析を行って高次の高調波の電位及び磁場を求める。

これらの人工信号源を用いる方法の利点は人工信号源のためSN比が良くなること、測定周波数が高いため測定時間が短縮されること、さらに装置が小型軽量にできるため地形の急峻な地域でも測定機器の搬入が容易なことなどが挙げられる。

PLMT法の理論および測定方法は人工の信号源を用いることを除けば従来のMT法と同じである。すなわち、図-5に示すように遠方に存在する送電線を送信源電極としてこれと平行な方向の地表の電位傾度 E_x と、これに直交する水平磁場の強さ H_y を測定することにより、次式を用いて大地の見掛け比抵抗 ρ_a が算出される。

$$\rho_a = \frac{1}{5f} \left| \frac{E_x}{H_y} \right|^2 \quad (1)$$

ここで、

ρ_a : 大地の見掛け比抵抗 (ohm-m)

f : 送信周波数 (Hz)

E_x : 地表面における電位傾度 (mV/km)

H_y : 地表面における E_x と直交する水平磁場の強さ (γ)

本地域の商用周波数は60Hzであるので、解析に使用した周波数範囲は60～660 Hzである。

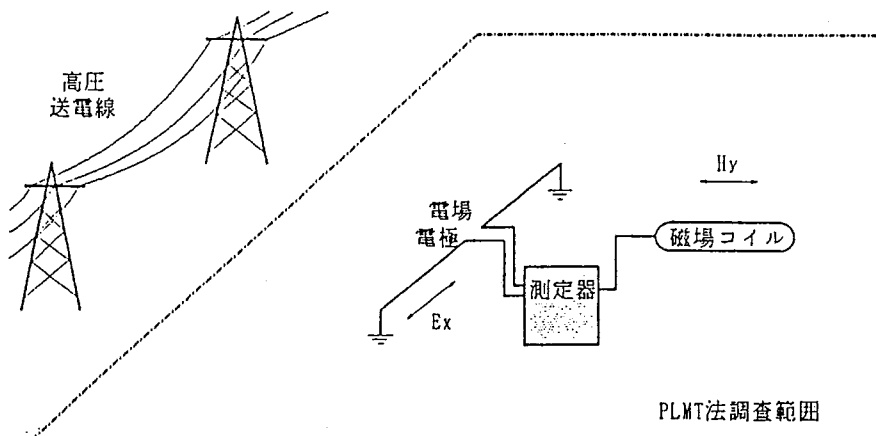


図-5 PLMT法測定概念図

人工送信源を用いたMT法では送信源と測定点が近いと平面電磁波であるという仮定が成立しなくなる。また、遠方では信号が小さくなりS/N比が悪化するため、測定には十分な注意を払うことが望まれるが、PLMT法では下記の事項に注意を払う必要がある。

- ① 測定点は信号源から十分に離れていること。
- ② S/Nが十分得られるよう、人工物（特に家庭用電線、工場等）から可能な限り離れて測定をおこなうこと。
- ③ 測定点は可能な限り地形変化の少ない場所に位置すること。

3.1.2 測定条件

本調査の信号送信源（高圧送電線）としては対象地域の東方約5kmに位置する枕崎市街地に電気を供給している送電線が北北東方より同市に延びてきている（図-6 送電線位置図 参照）。この送電線は66,000Vの高圧線で、全体としてN25°E方向にほぼ直線状に延びている。また、さらに20km東方にはNW-SSE方向に延びる開聞町からの高圧送電線が1ルート存在するが影響度が少ないと考えられた。本地域の信号源としては前者を考慮して測定が実施されているが、これと直交するN65°W方向も同時に測定している。なお、本報告書ではN25°Eの電極配置をN-S電極配置、N65°Wの電極配置をE-W電極配置と呼称する。

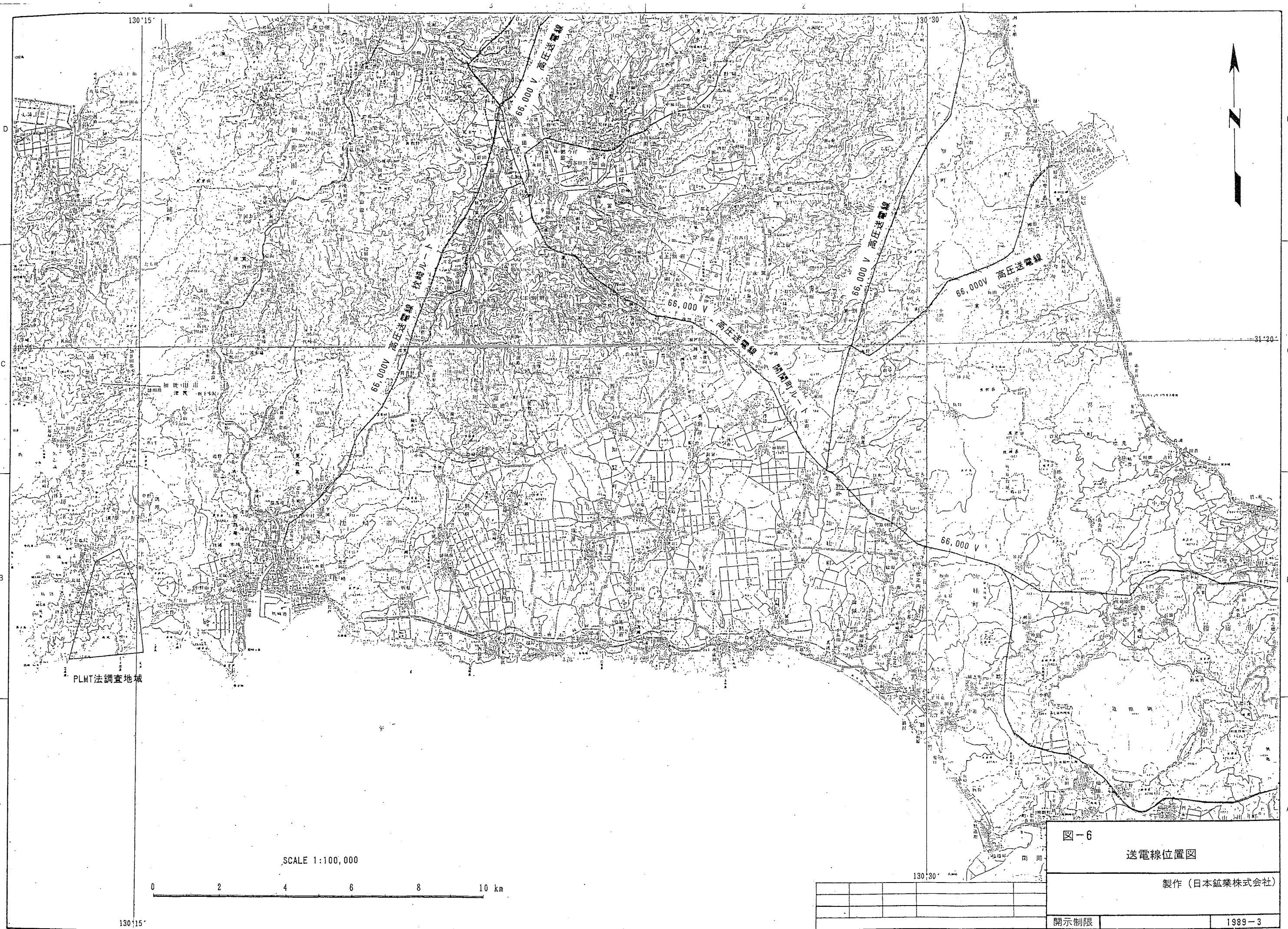


図-6
送電線位置図

製作（日本鉛筆株式会社）

開示制限

1989-3

測定点は原則として等間隔になるよう配点計画を立てたが、家庭用の送電線(地域中央部、西部)及び地形条件(地域南部及び北部)等の制約があって測定点間隔の粗い部分も存在する(図-7 測定点位置図 参照)。配点及び位置決定に際しては国土地理院の縮尺1/25,000の地形図を1/10,000に拡大した図副を利用し、特徴ある地形または構造物等を基点として、測定点の位置を決定している。

測定に際しては3回以上の測定を行い数値の再現性が得られるよう努めている。また明らかにノイズの影響を受けていると考えられる測定点については、位置を変更し新たに測定を実施しているが、市街地に近いこともあるて良好な波形が得られる測定点は少ない。

3.1.3 測定機器

使用した測定機器は、MODEL PLA216で周辺機材も含めて表-1に示す。これらの測定機器配置は図-5に示すように配置して測定する。測定時は、受信機に内蔵されたコンピュータにより自動的に測定条件が設定され、データのファイル処理がおこなわれる。あらかじめ、磁場及び電場共に自動的に利得調整、回路定数が補正される。データの取り込み後はA/D変換、FFT演算処理が行われ、各周波数成分の振幅が磁場値のパワーH_p [nT]²と電場入力値のパワーE_p [μ V/m]²に変換され、次式にしたがって見掛け抵抗が計算される。

$$R [\text{ohm-m}] = 0.2 \cdot T \cdot (E_p / H_p)$$

T : 周期 [sec]

得られるデータは、見掛け抵抗および電場と磁場の位相差である。これらのデータは受信機の液晶に表示され、内蔵のフロッピーディスクに記録されるとともに必要に応じてRS-232Cインターフェイスを経由して出力される。

3.2 データ処理・解析方法

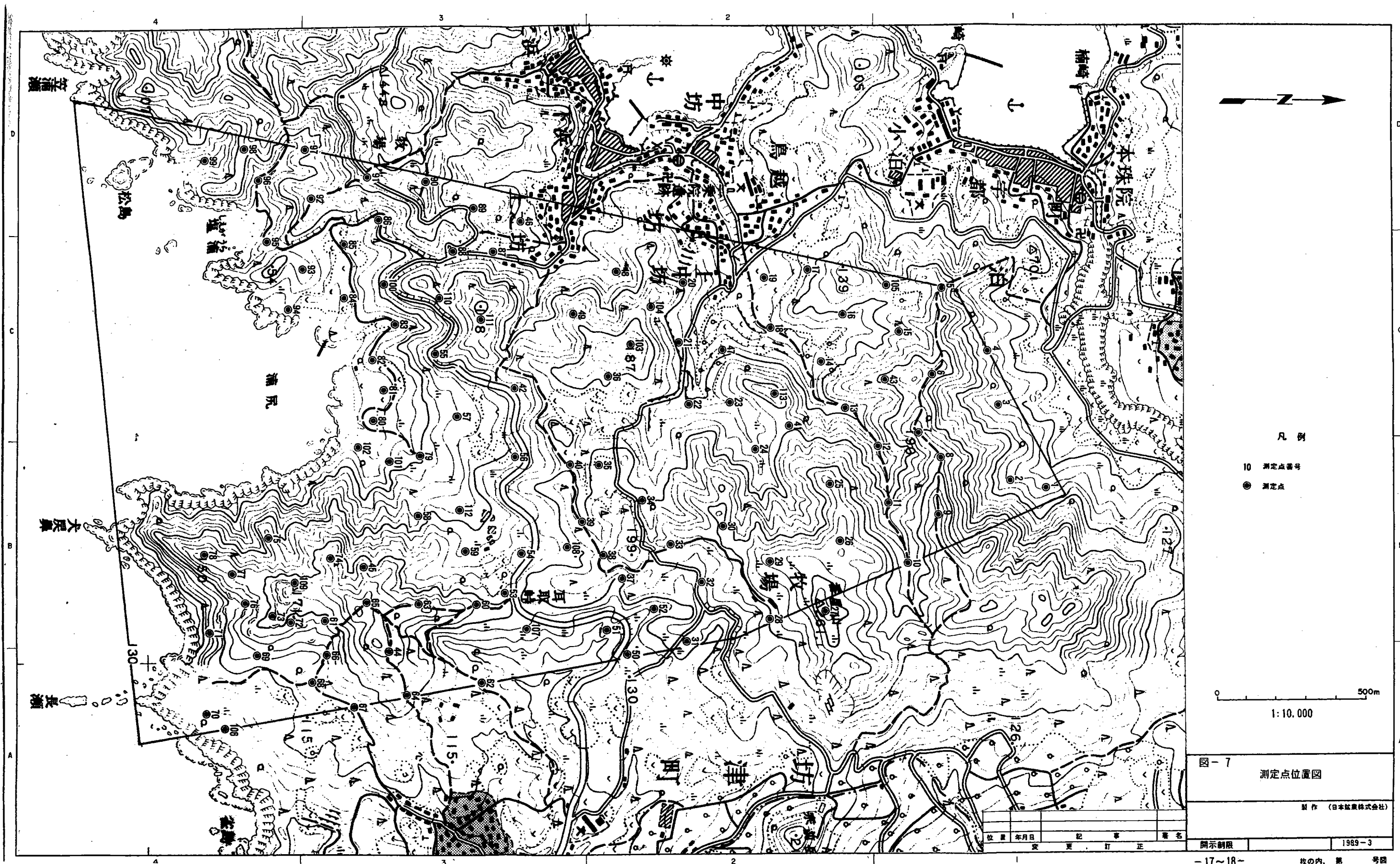
3.2.1 データ処理法

現場測定で得られたデータはつきの手順によって処理している(図-8 参照)。

- Step 1. ファイルの整理：各測定点ではN-S, E-W方向ともそれぞれ3回以上の測定値を記録しているが、このうち再現性の良好な3個のデータを採用しファイルの整理をおこなった。
- Step 2. 異常値の除去：3個のデータにバラツキが認められるため、3個のデータをティングしてそれぞれ値の差が中央値の2倍以上あるものを除去した。2個が除去された場合は中央値を採用した。

表-1 PLMT法 測定機器 及び 仕様一覧表

1) PLMT受信機 Model PLA 216		
	測定成分	電場及び磁場、それぞれ1成分
	磁場成分	増幅率 Max 144 dB 自動設定 付属 インダクションコイル 使用
	電場設定	増幅率 Max 144 dB 自動設定 ステンレス丸棒電極
本体部	デジタル部 記録部 表示項目 電源	CPU V20+8087, AD変換 12ビット, FFTポイント 512 表示 240×128 ドット 液晶 3.5 FDD(IBM Format) RS-232C インターフェイス使用可能 電場、磁場の入力波形及びFFT後のパワースペクトル ρ_a-f 位相グラフ 内臓バッテリー - DC12 V, 7Ah
2) インダクションコイル 3.7 μ /nT.Hz ソレノイドコイル		
3) 電位電極 ステンレス丸棒		
4) 測量機器 牛方ポケットコンパス		



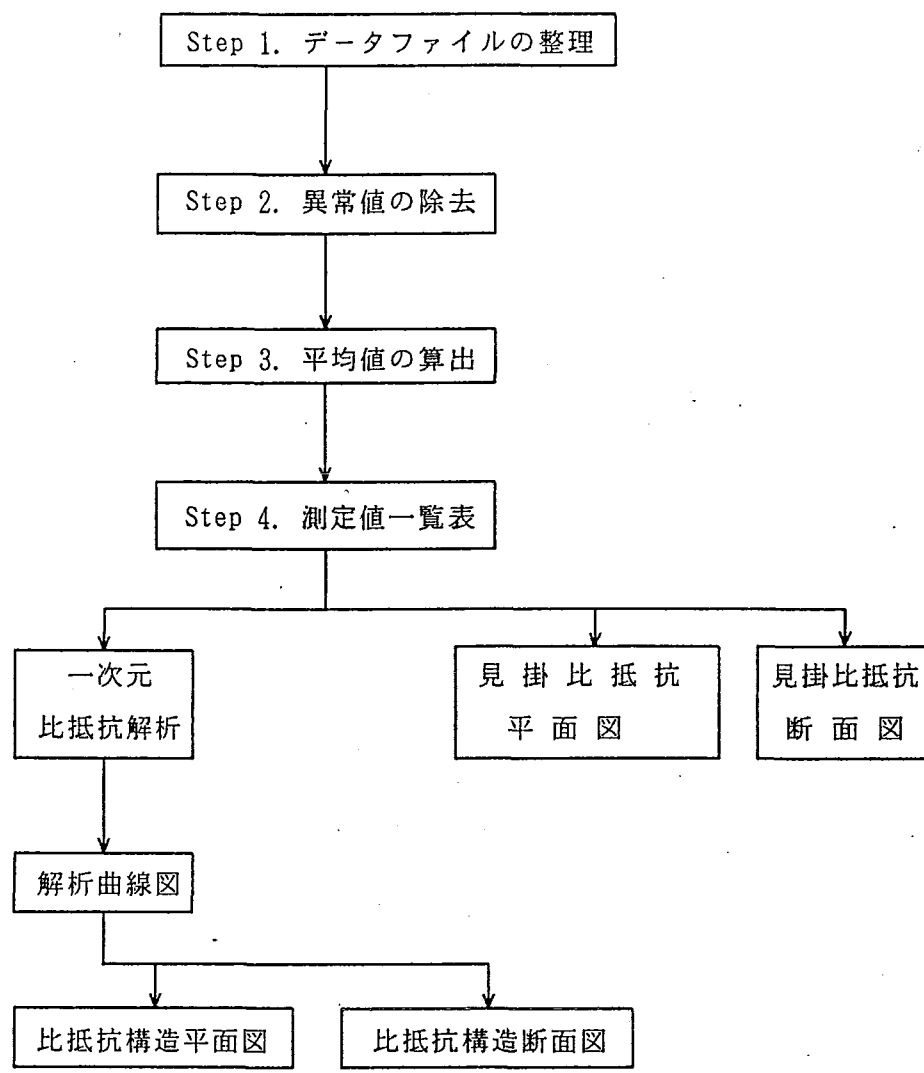


図-8 PLMT法データ処理の流れ図

Step 3. 平均値の算出：N-S 及び E-W 方向の電極配置、それぞれの平均値を算出した。比抵抗値が 10,000 ohm-m 以上のものについては上限値を 10,000 ohm-m とした。

Step 4. 測定値一覧表の作成：N-S 及び E-W 方向それぞれの一覧表を作成した。

また、これらの両方向のデータを横軸に周波数、縦軸に見掛け比抵抗にとって作成した見掛け比抵抗曲線を巻末に一覧した。

(1) 見掛け比抵抗平面図

送電線の方向である N-S 方向の値を用いて周波数毎 (60~660 Hz : 11種類) の見掛け比抵抗の分布を見掛け比抵抗平面図に示した。

(2) 見掛け比抵抗断面図

本地域の北部、中央部及び南部について E-W 方向の見掛け比抵抗断面図を示した。周波数が低い場合は深部、高い場合は浅部の比抵抗情報が得られるので断面図の縦軸は周波数とし周波数の高いものから低いものを地表浅部から深部にプロットしている。

3.2.2 解析方法

測定データの解析は、水平多層構造の仮定の下に行われるが、これは各測定点の実測見掛け比抵抗曲線に対し理論見掛け比抵抗曲線をマッチングさせることにより、最適の水平多層構造モデルを求めるものである。

水平多層構造における MT 法の見掛け比抵抗の理論式は次式で表される。

$$\rho_a = \frac{1}{i\omega\mu} |Z|^2$$
$$Z = \frac{i\omega\mu}{\gamma_1} \coth [\gamma_1 h_1 + \coth^{-1} \left\{ \frac{\gamma_1}{\gamma_2} \coth (\gamma_2 h_2 + \coth^{-1} \frac{\gamma_2}{\gamma_3} \dots \dots \right. \\ \left. \dots \dots \coth^{-1} \left\{ \frac{\gamma_{n-2}}{\gamma_{n-1}} \coth (\gamma_{n-1} h_{n-1} + \coth^{-1} \frac{\gamma_{n-1}}{\gamma_n}) \right\} \dots \dots \right\}]$$

ここで、

$$\gamma_m = \frac{i2\pi f\mu}{\rho_m} \quad \rho_m : \text{第 } m \text{ 層の比抵抗}$$
$$h_m : \text{第 } m \text{ 層の厚さ}$$
$$i = \sqrt{-1} \quad \mu : \text{透磁率}$$

この式を用いた自動解析法の手順を以下に述べる（図-9 参照）。

- ① 実測見掛け比抵抗曲線を定性的に解析し、初期モデルのパラメータとして各層の比抵抗値および層厚を設定する。
- ② 初期モデルによる理論見掛け比抵抗曲線と実測見掛け比抵抗曲線とのずれを判定し、非線形最小二乗法（修正Marquaidt法）によりモデルのパラメータの修正を行う。
- ③ モデルの理論見掛け比抵抗曲線が、実測見掛け比抵抗曲線に十分近似しているかを判定する。
- ④ ② および ③の手順を繰り返し、最適モデルを求める。

このようにして求めたモデル構造の各層の比抵抗と深さ（厚さ）から、断面図を作成したものを比抵抗構造断面図（図-14 参照）と呼ぶ。また、一定深度における比抵抗分布図を比抵抗構造平面図と呼んでいる。本調査の解析平面図では、データにバラツキが多く、自動解析に十分なマッチングがとれない測定点は除外している（図-13-1～図-13-3）。

なお、各測定点のデータには、PLMT法及びCSAMT法でしばしば観測されるニアフィールド現象は、顕著には認められない。

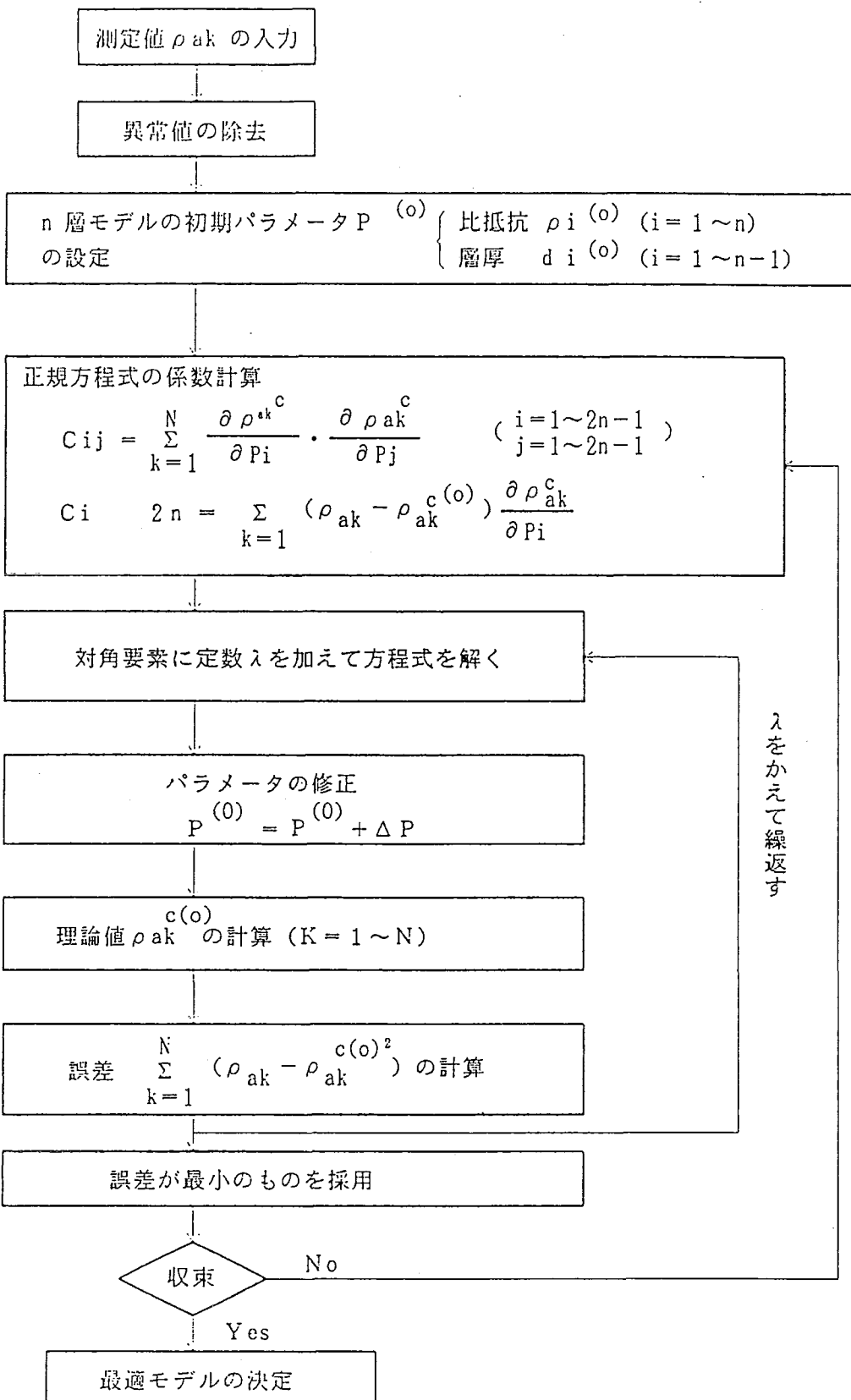


図-9 PLMT法自動解析法の流れ図

3.3 解析結果

測定された見掛け比抵抗値をN-S電極配置とE-W電極配置に分けて各周波数毎に平面図にプロットした。また地域北部、中央部及び南部を東西に切る断面線を設定し見掛け比抵抗断面図を作成した。この断面図では見掛け比抵抗が、高い周波数では地表下浅部の比抵抗特性が、低い周波数ではより深部の比抵抗特性が得られるという特徴を考慮し高周波数の値を地表浅部に低周波数の値を深部にプロットした。

深度解析はN-S電極配置及びE-W電極配置のそれぞれのデータについて実施したが、これらの結果を平面図及び断面図に表す時採用した値は両電極配置の解析結果を比較し妥当性のある方の値を採用してプロットした。また、ノイズ等で解析不可能な測定点は除外し、10,000 $\text{ohm}\cdot\text{m}$ 以上の解析値は10,000 $\text{ohm}\cdot\text{m}$ とした。

センター間隔は対数等間隔となるよう 1, 3, 10, 30, 100, 300, 1,000, 3,000, 10,000 $\text{ohm}\cdot\text{m}$ とした。また、本解析では比抵抗を、低比抵抗（30 $\text{ohm}\cdot\text{m}$ 以下）、中間比抵抗（30 ~ 300 $\text{ohm}\cdot\text{m}$ ）及び高比抵抗（300 $\text{ohm}\cdot\text{m}$ 以上）に分類した。

3.3.1 見掛け比抵抗平面図

見掛け比抵抗平面図はN-S電極配置及びE-W電極配置のそれぞれについて11周波数の平面を作成した。本項ではデータの再現性が良好であった基本波及び奇数次の高調波について見掛け比抵抗の特性を述べる。

【E-W電極配置】

(1) 60 Hz [図-10-1 参照]

本平面は 300 $\text{ohm}\cdot\text{m}$ 以上の高見掛け比抵抗が支配的で対象地域をほぼ全域を占めている。一方、30 $\text{ohm}\cdot\text{m}$ 以下の低見掛け比抵抗は地域の南東部の浦尻東部にまとまった分布をする外は上之坊の東部(No. 49)と耳取峠(No. 108)に各1測定点で測定されているにすぎない。

(2) 180 Hz [図-10-2 参照]

本平面の見掛け比抵抗分布は概ね上述の 60 Hz の平面と類似した比抵抗分布を示しているが 300 $\text{ohm}\cdot\text{m}$ 以上の高見掛け比抵抗は主として地域の西側に広く分布している。一方 30 $\text{ohm}\cdot\text{m}$ 以下の値は浦尻東部に低比抵抗ゾーンを形成し、北部の耳取峠の南にまで分布範囲を広げている、さらに番屋山、上之坊及び地域北部の No. 3 には新たな低見掛け比抵抗が出現しているが、前述の No. 49 及び No. 108 では中間見掛け比抵抗値に変化している。

(3) 300 Hz [図-10-3 参照]

本平面では 300 $\text{ohm}\cdot\text{m}$ 以上の高見掛け比抵抗ゾーンが再び広がり地域北東部を除き 60 Hz の

平面図と類似した分布形態を示す。地域北東部では高見掛比抵抗ゾーンが縮小し $30\sim300\text{ ohm}\cdot\text{m}$ の中間見掛比抵抗が卓越するようになる。一方、耳取岬の中間見掛比抵抗ゾーンは逆に高見掛比抵抗に変化している。

(4) 420 Hz [図-10-4 参照]

本平面では上述した 300 Hz 平面と全体としてほぼ同様な見掛け抵抗分布特性を示しているといえるが、高見掛け抵抗ゾーンが縮小していることと浦尻東部の低見掛け抵抗が分布範囲を拡大していることと地域中央部の坊津町に通じる県道沿いと浦尻西部に中間見掛け抵抗ゾーンが広がりを増していることが相異点として挙げられる。

(5) 540 Hz [図-10-5 参照]

本平面では $30\sim300\text{ ohm}\cdot\text{m}$ の中間見掛け抵抗値が支配的になっており、前述の 420 Hz 平面と比較して $30\text{ ohm}\cdot\text{m}$ 以下の低見掛け抵抗ゾーンも分布範囲が拡大している。この中で浦尻東部と番屋山周辺に分布する低見掛け抵抗ゾーンは一段と分布範囲が拡大しており顕著な変化として指摘できる。また、地域の北部及び浦尻西部に新たな低見掛け抵抗ゾーンの分布が認められる。一方 $300\text{ ohm}\cdot\text{m}$ 以上の高見掛け抵抗ゾーンは上之坊東部から耳取岬にかけて分布するものと上中坊の北部及び東部に分布するものが主要なものである。

(6) 660 Hz [図-10-6 参照]

本平面は最も高い周波数であり、地表最浅部の比抵抗特性を示す平面である。本平面は上述の 540 Hz の平面図よりさらに中間見掛け抵抗値が卓越するようになる。また、 $30\text{ ohm}\cdot\text{m}$ 以下の低見掛け抵抗も低い周波数から顕著なゾーンとして指摘されている浦尻東部と番屋山の低見掛け抵抗ゾーンに加え、小規模のものは 1 測定点ながら各所で検出されている。一方、高見掛け抵抗は浦尻から耳取岬にかけて分布するもの、上之坊の東部及び上中坊の北部に分布する 3 高見掛け抵抗ゾーンが主要なもので、これらは NE-SW 方向に分布する傾向が認められる。

【N-S 電極配置】

(1) 60 Hz [図-11-1 参照]

本平面は $300\text{ ohm}\cdot\text{m}$ 以上の高見掛け抵抗値が支配的である。この高見掛け抵抗ゾーンは地域南部の浦尻湾周辺、地域中央部の耳取岬西部及び地域北部の泊南東部、番屋山北西部に広く分布している。一方、 $30\text{ ohm}\cdot\text{m}$ 以下の低見掛け抵抗値は上中坊の東部、耳取岬に比較的まとまった中規模の低見掛け抵抗ゾーンを形成している。又、番屋山の西部と地域南西部の塩浦の西にも 1 測定点の低見掛け抵抗値が検出されている。

E-W 電極配置の平面図と比較すると上中坊の東部から上之坊南部にかけた範囲に相異点が

認められる。本図では上中坊の東部は低見掛比抵抗が、上之坊の東部～南部は中間見掛比抵抗ゾーンであるが図-10-1 では両地域とも高見掛比抵抗ゾーンが広く分布している。又、耳取岬の低見掛比抵抗も同図では高見掛比抵抗ゾーンの一部となっている。

(2) 180 Hz [図-11-2 参照]

本平面の見掛比抵抗分布は概ね上述 60 Hz の平面と類似した比抵抗分布を示しているが、 300 ohm-m 以上の高見掛比抵抗ゾーンの分布域が縮小しており、代わりに $30 \sim 300 \text{ ohm-m}$ の中間見掛比抵抗ゾーンが耳取岬周辺、上中坊の東部で分布域の広がりを増し、さらに新たな分布域として地域北端及び番屋山周辺に中間比抵抗ゾーンが出現している。一方 30 ohm-m 以下の低見掛比抵抗ゾーンに関しては上中坊東部のものが分布域を拡大しており、また地域南東部の浦尻東部には新たな低見掛比抵抗ゾーンが出現している。耳取岬周辺及び番屋山西部では小規模分布の低見掛比抵抗ゾーンが消滅している。

E-W電極配置の図-10-3 と比較すると顕著な差異が上之坊東部に認められる。本図では低～中間見掛比抵抗が分布するのに対してE-W電極配置では高見掛比抵抗ゾーンが広がっている。

(3) 300 Hz [図-11-3 参照]

本平面では $30 \sim 300 \text{ ohm-m}$ の中間見掛比抵抗値が卓越しており、 300 ohm-m 以上の高見掛比抵抗ゾーンは 180 Hz の平面よりさらに分布域が縮小し、またその分布も地域全体に散在している。一方 30 ohm-m 以下の低見掛比抵抗ゾーンは耳取岬の北部、浦尻東部及び塩浦の西部にそれぞれ各1測定点で測定されている。

E-W電極配置との相異点は地域中央部に大きく異なっており本図では中間見掛比抵抗が分布するのに対し図-10-3 では高見掛比抵抗が広く分布している。また同図に認められる浦尻東部の低見掛比抵抗も本図では小規模な分布になっており、さらに番屋山の低見掛比抵抗は本図では認められない。

(4) 420 Hz [図-11-4 参照]

本平面では上述した 300 Hz 平面と全体としてほぼ同様な見掛け抵抗分布特性を示しているといえるが、高見掛け抵抗ゾーンの分布が更に縮小し、番屋山北部及び中央部の小規模な高見掛け抵抗ゾーンは消滅している。また、低見掛け抵抗に関しては犬戻鼻岬から浦尻の東部にかけて広がる 30 ohm-m 以下の分布域が顕著なものとして指摘できる。また、新たに出現した小規模な分布域としては地域の中央部、南西部及び北西部に認められる事項等が相異点として挙げられる。

E-W電極配置との比較では地域中央部に差異が認められる。すなわち、耳取岬北西部と上中坊東部には本図は高見掛け抵抗ゾーンが分布するが図-10-4では低見掛け抵抗が分布して

いる。また浦尻北部の高見掛比抵抗の分布形態が相異する点と同図には番屋山の低見掛比抵抗が存在することも相異点として指摘できる。

(5) 540 Hz [図-11-5 参照]

本平面では30~300 ohm-mの中間見掛比抵抗値が支配的になっており、前述の420 Hz平面と比較して30 ohm-m以下の低見掛比抵抗ゾーンも分布範囲が拡大している。この中で犬戻鼻岬から耳取岬にかけて分布する低見掛比抵抗ゾーンは一段と分布範囲が拡大しており顕著な変化として指摘できる。また、地域の北端部及び番屋山西部に新たな低見掛比抵抗ゾーンの分布が認められる。

E-W電極配置の図-10-5と比較すると番屋山北西部は低~中間見掛比抵抗ゾーンが分布するのに対し、本図では高見掛比抵抗が分布する。また、上之坊東部は高見掛比抵抗ゾーンが分布するのに対し本図では低見掛比抵抗ゾーンとなっている点が顕著な相異点と言える。

(6) 660 Hz [図-11-6 参照]

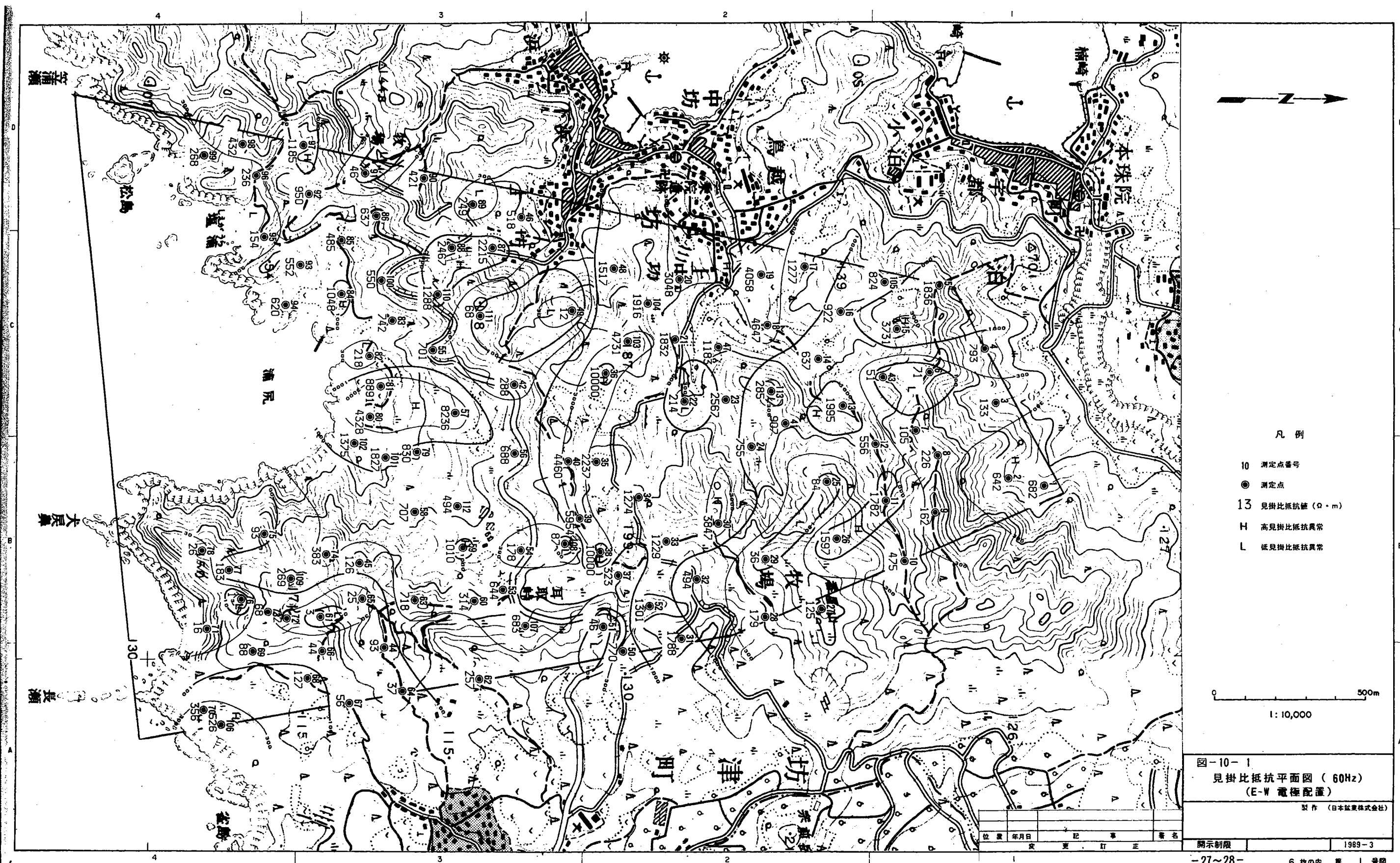
本平面では中間見掛比抵抗値が卓越しており、高見掛比抵抗ゾーンの小分布していたものは消滅している。主要な高見掛比抵抗ゾーンは上中坊北東部、浦尻北東部及び上之坊東部の3分布が指摘できる。一方、低見掛比抵抗値は地域南部の浦尻西部と東部及び地域北端部のものが顕著な低見掛比抵抗ゾーンとして指摘できる。また、地域中央部から北東部にかけては小規模分布する低見掛比抵抗ゾーンが多数認められる。

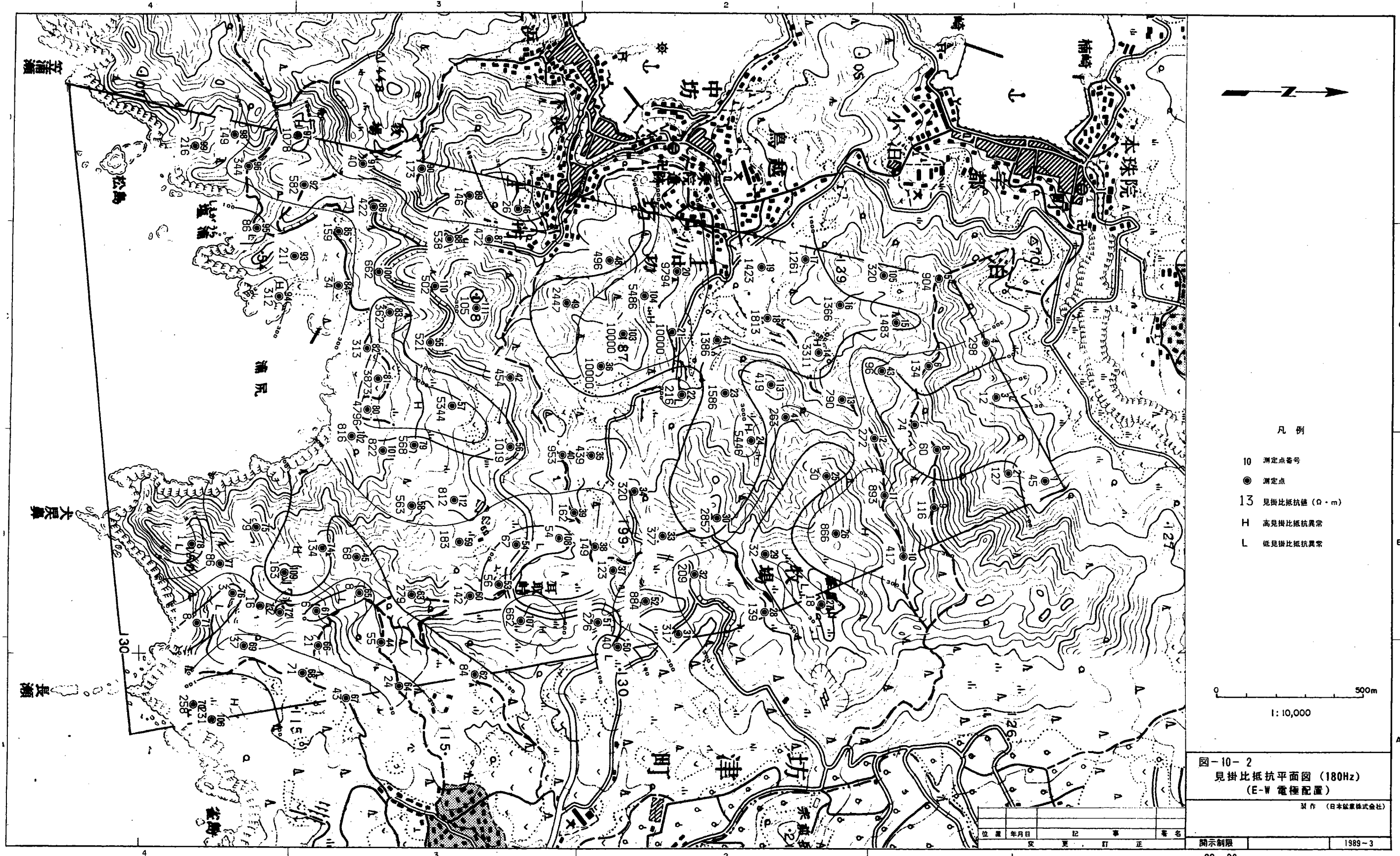
E-W電極配置の図-10-6と比較すると耳取岬付近に顕著な相異点があってE-W電極配置では高見掛比抵抗ゾーンとなっているが本図では低~中間見掛比抵抗ゾーンとなっている。また、高見掛比抵抗ゾーンの分布方向は同図ほど明確ではない。

以上見掛比抵抗の平面図から本地域の見掛け比抵抗の特性及び問題点としてつぎの3項目が指摘できる。

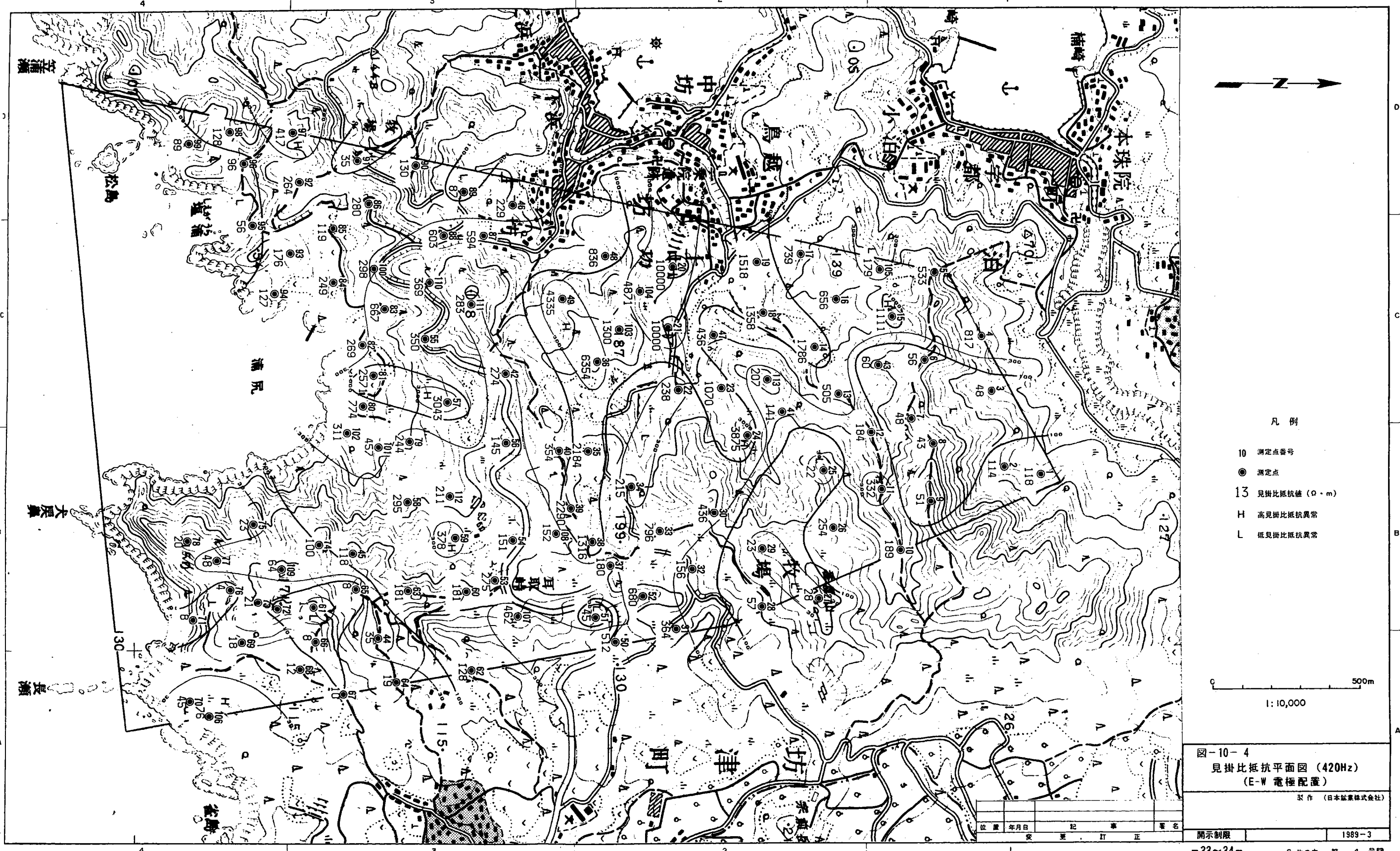
① 地表下深部の比抵抗特性を示す 60~180 Hz では、300 ohm-m以上の高見掛け比抵抗ゾーンが卓越している。これは地下深部の川辺層群を反映したものと考えられるが測定された見掛け比抵抗値は1,000 ohm-m以上の値もあり同層の砂岩及び頁岩の値としては若干高すぎる値と考えられる。しかし、石英を主体とした古い時代の砂岩等は第3紀の砂岩に比べ比抵抗は遙かに高い値を示す場合も多い。一方、低見掛け比抵抗ゾーンはE-W電極配置では浦尻東部と番屋山付近に、N-S電極配置では上中坊東部、耳取岬周辺にまとまった分布が指摘できる。また、塩浦の西部にも小規模分布が認められる。

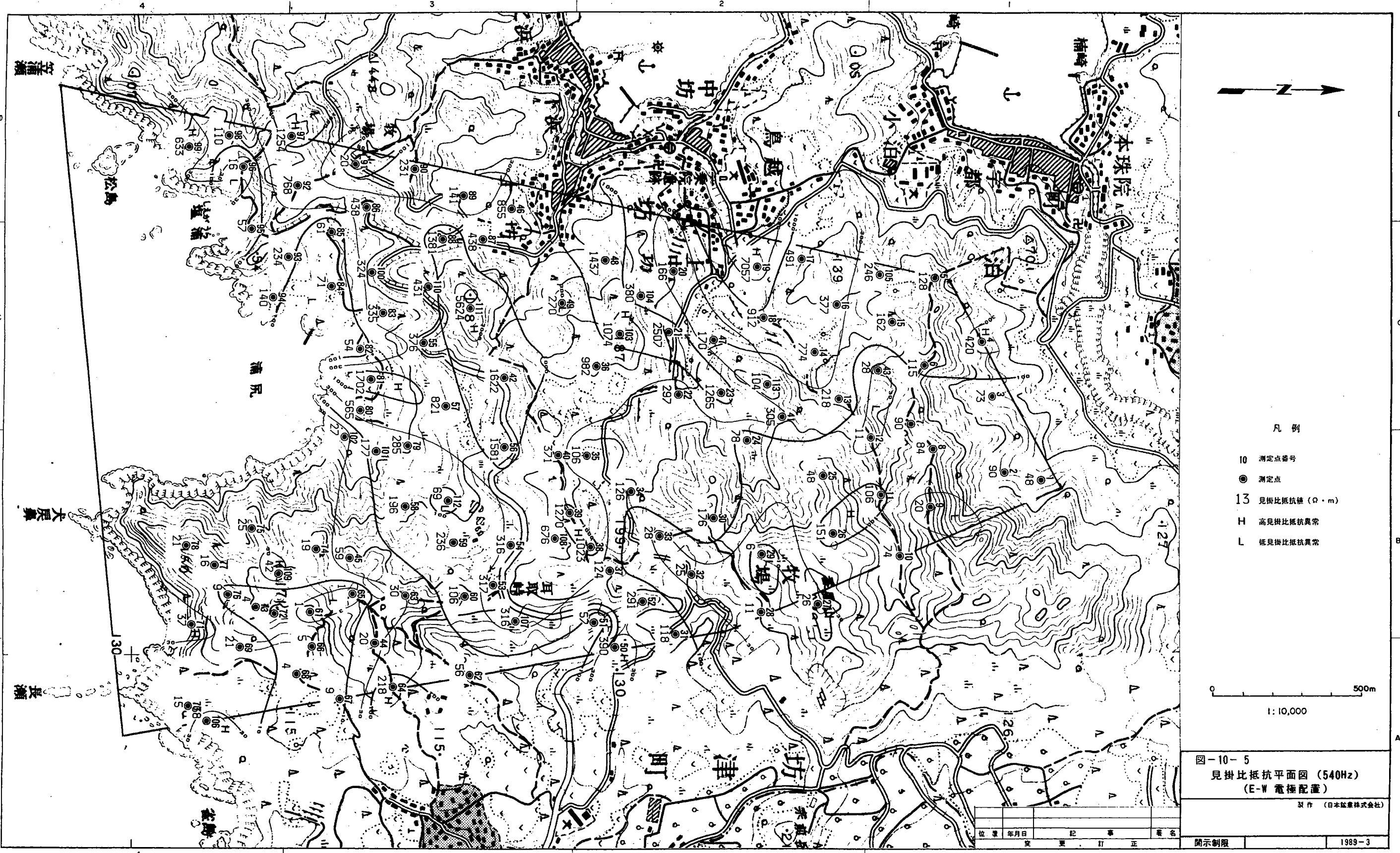
② 周波数の増加に伴い高見掛け比抵抗ゾーンは分布範囲が縮小しており、中間の見掛け比抵抗

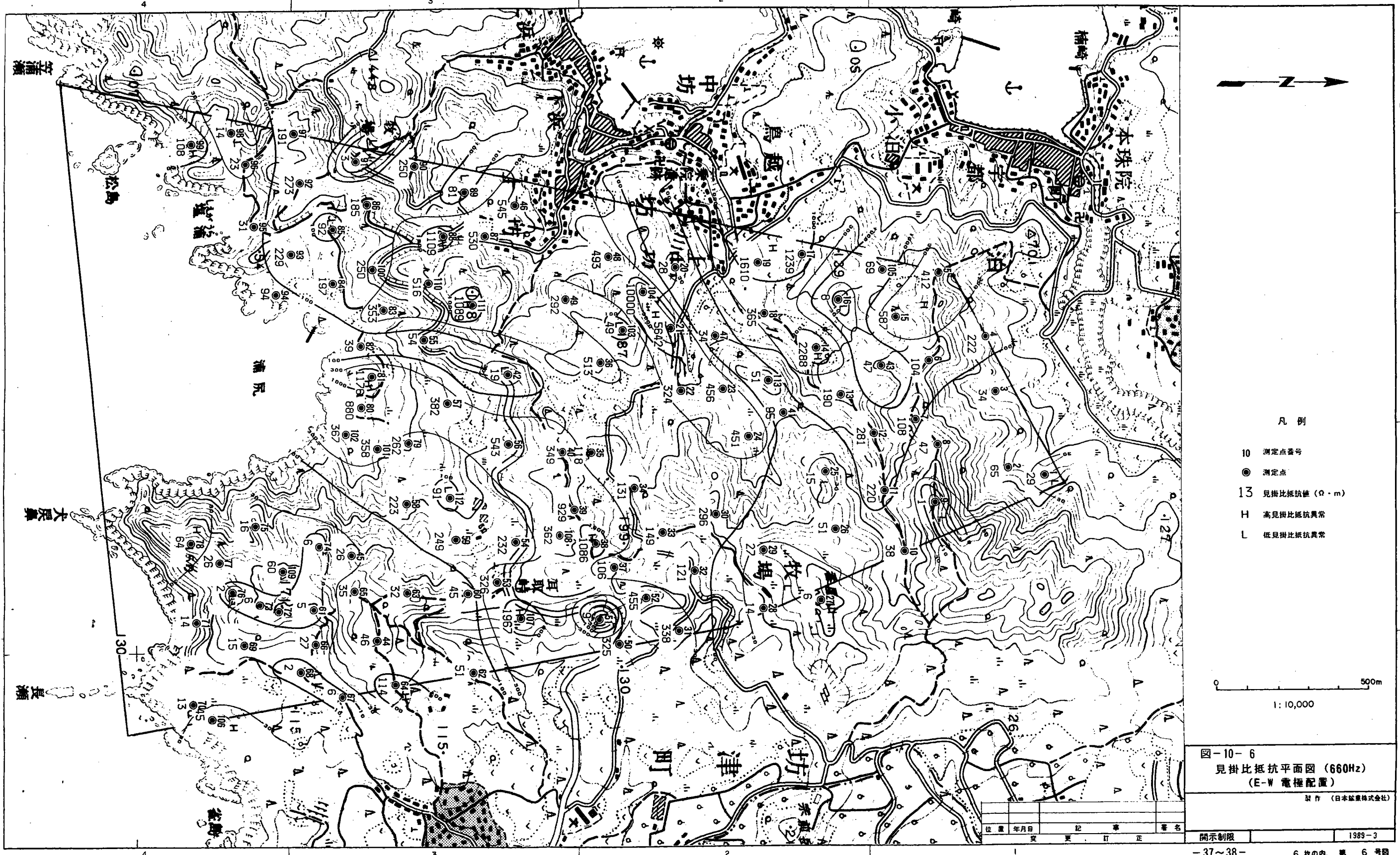


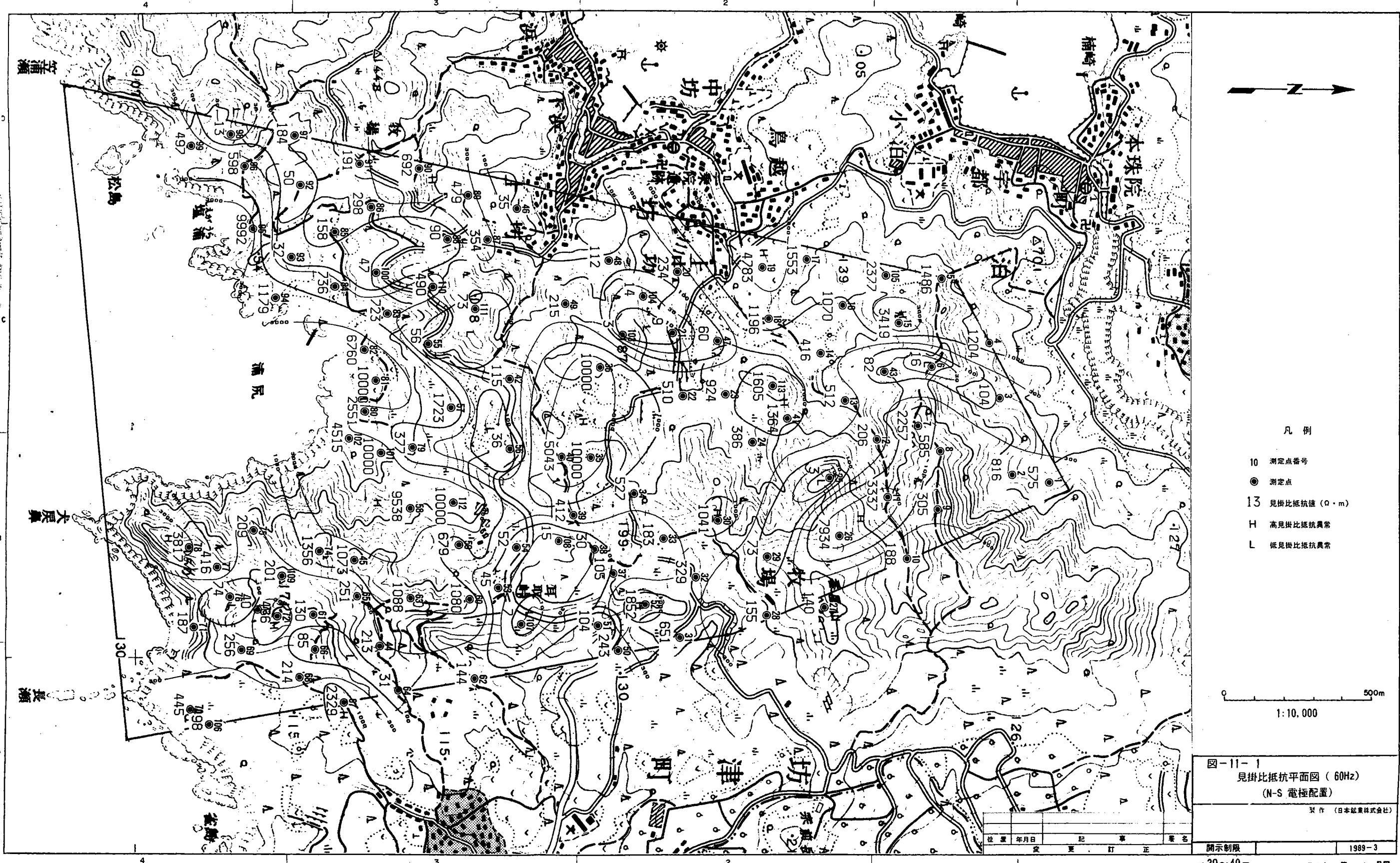


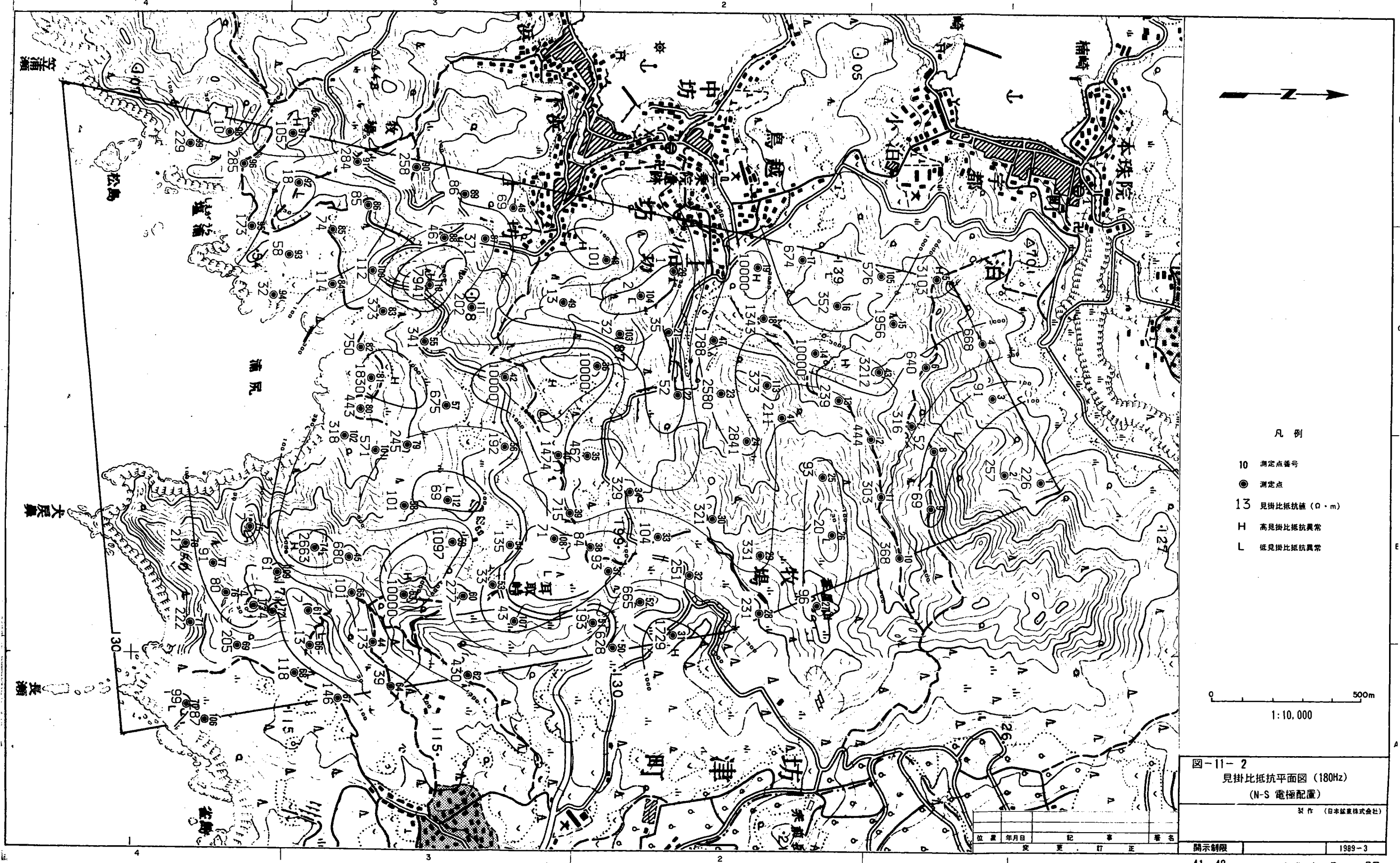


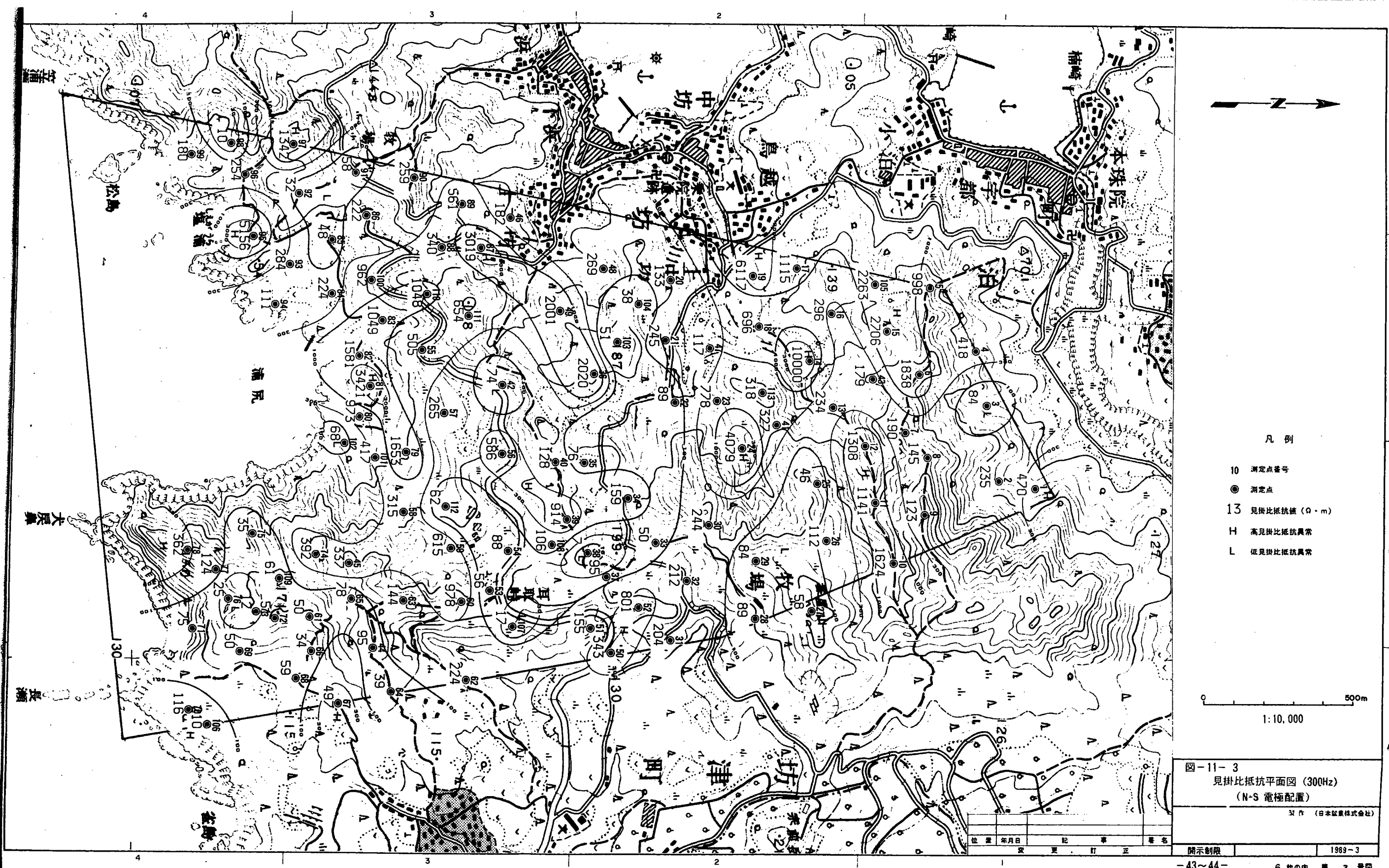


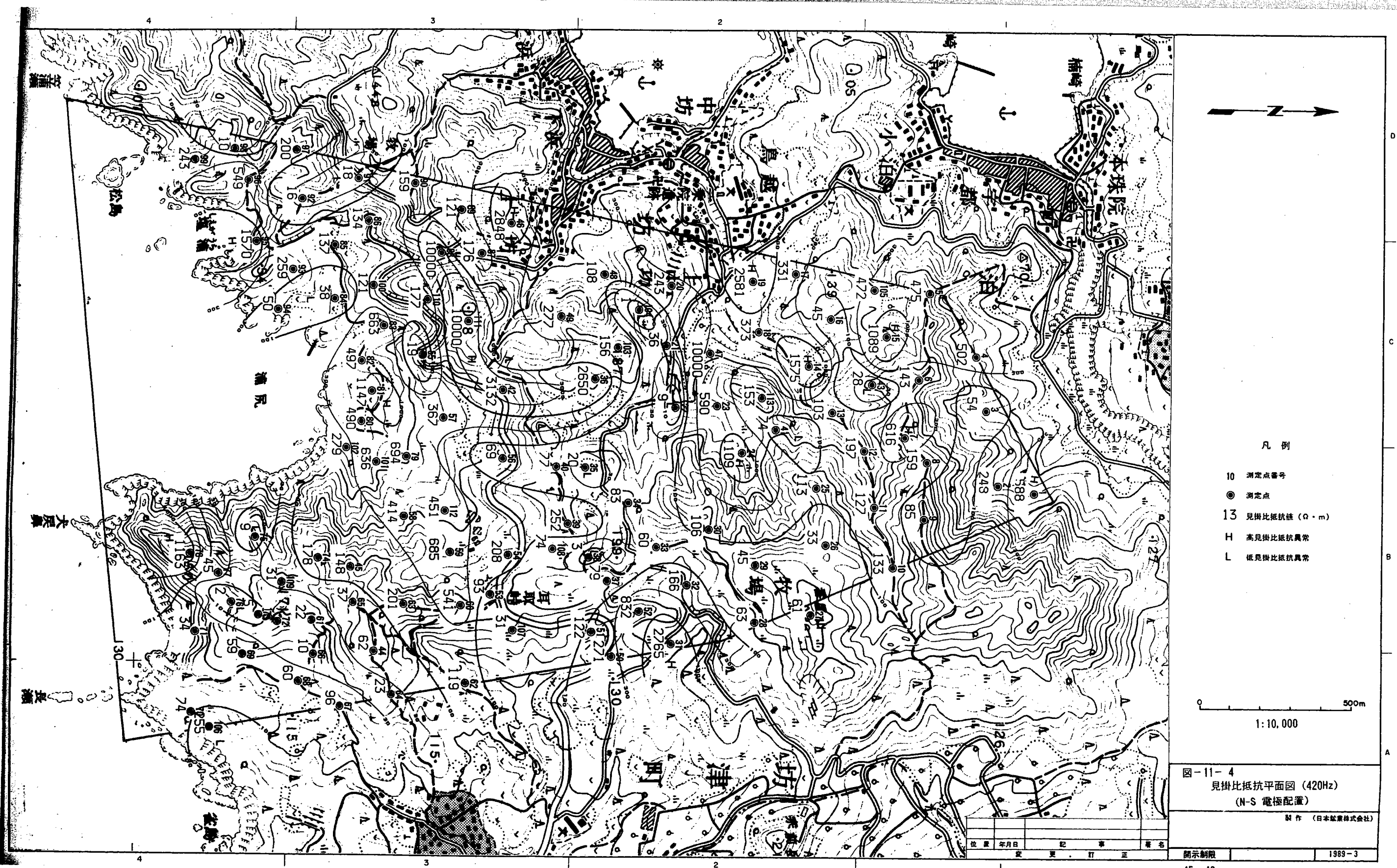


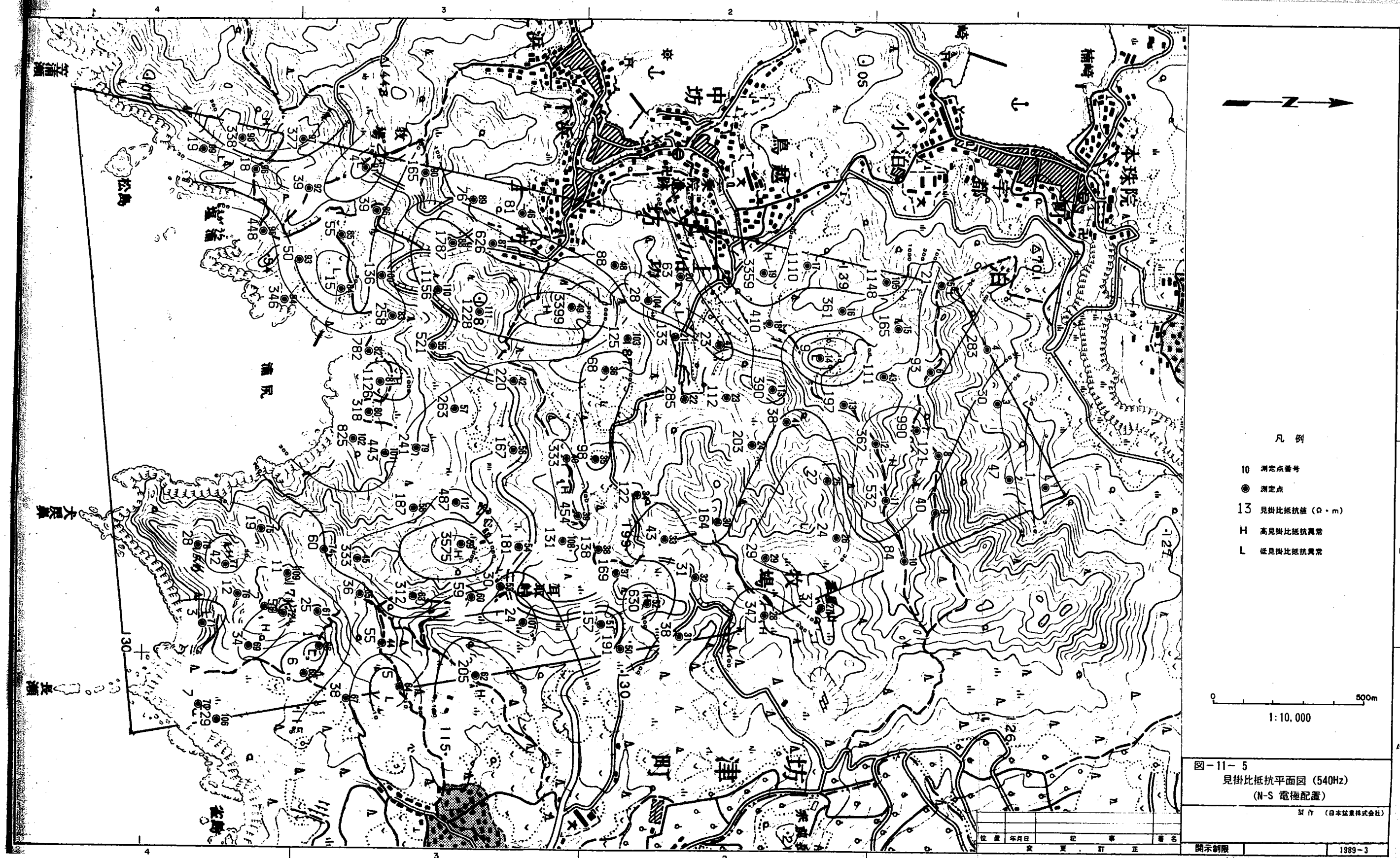


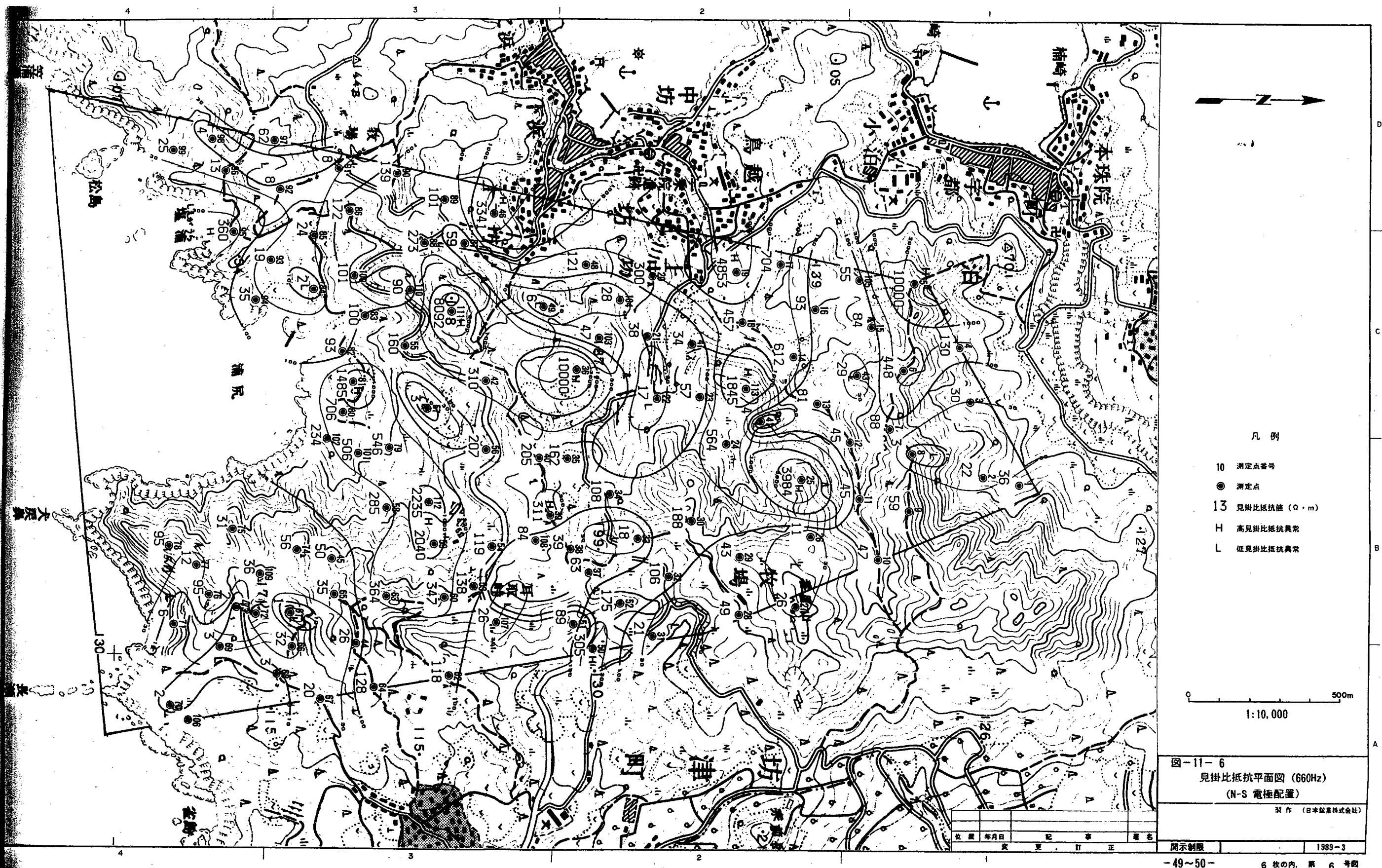












値が卓越するようになる。これにともなって30 $\text{ohm}\cdot\text{m}$ 以下の低見掛比抵抗ゾーンが地域南部で分布範囲を拡大しており、この傾向は浦尻東部で顕著である。E-W電極配置では番屋山から地域北部にかけて低～中間見掛比抵抗が分布範囲を拡大し、また、N-S電極配置では地域中央から北部にかけて小規模分布域の低見掛比抵抗ゾーンが散在する。

地域中央部から北部にかけては低見掛比抵抗の分布にE-W電極配置とN-S電極配置のデータに差異が認められる。一般に周波数が増加するにつれて、より浅部の地質分布を反映すると考えられるので番屋山周辺の低比抵抗の分布状況から判断してE-W電極配置による比抵抗分布のほうが地質分布に調和的である。

③ 地表下浅部の比抵抗特性を示す540～660 Hzの平面では30～300 $\text{ohm}\cdot\text{m}$ の中間見掛比抵抗値が卓越する。また、ほぼ地域全域で30 $\text{ohm}\cdot\text{m}$ 以下の低見掛比抵抗ゾーンが認められる。これらの低見掛比抵抗分布域は特定な地層と対応するとは言いがたく、その分布域の多くが低地に位置することを考慮すれば地下水の影響が大きいことが推定できる。一方、浦尻の北部には高見掛比抵抗ゾーンが分布しており阿多火碎流分布域にはほぼ対応している。特にE-W電極配置では地域中央部の測定点では150 $\text{ohm}\cdot\text{m}$ 以上であって、南薩地域で実施されたCSAMT法によるデータでは阿多火碎流が120 $\text{ohm}\cdot\text{m}$ 以上の値を示すことから、これら中央部の測定点も併せた範囲を考えると阿多火碎流の分布域にはほぼ一致する。しかし上之坊東部及び上中坊北東部の高見掛比抵抗ゾーン等は川辺層群の分布域であり測定値も1,000 $\text{ohm}\cdot\text{m}$ 以上の値を示している部分もあり、540～660 Hzの平面の高見掛比抵抗ゾーン総てが阿多火碎流の比抵抗特性を反映しているもとは言いがたい。

3.3.2 見掛け比抵抗断面図

本地域の四万十層の地質構造は、ほぼNSの走向で60～80°で東傾斜の単斜構造（図-4参照）を示すことから本地域の見掛け比抵抗の深度方向の特徴を把握するためE-W方向の断面図を作成した。断面線の位置は図-2 地質図に示したように地域の北部、中央部及び南部の地質を代表する位置とした。

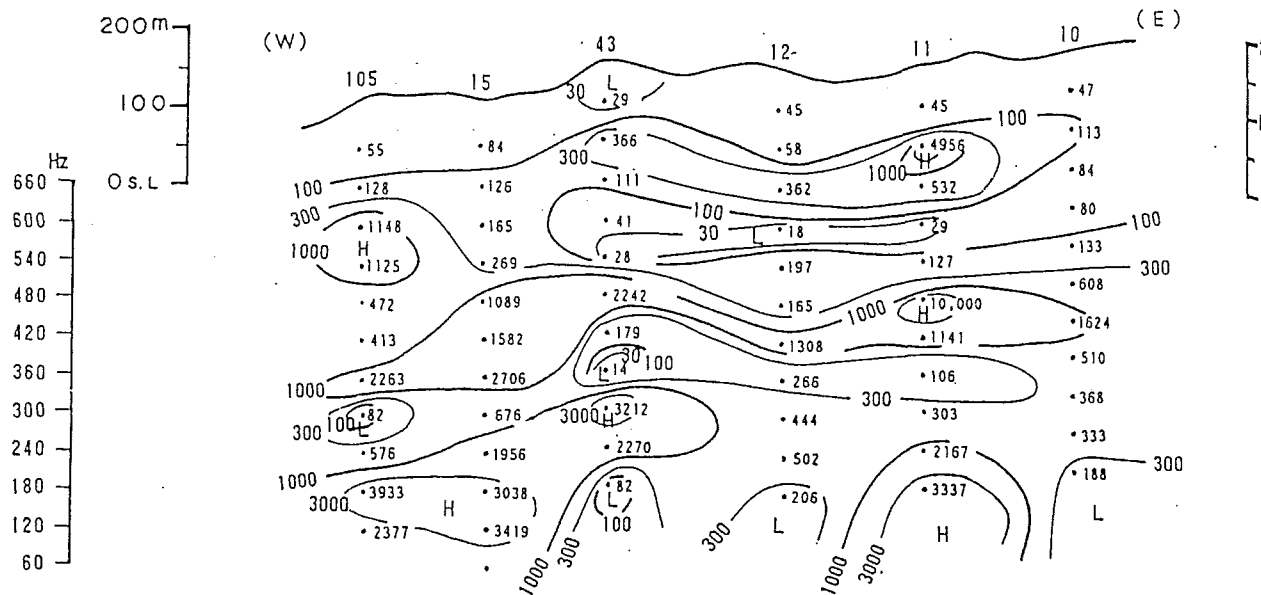
見掛け比抵抗の周波数に関する特性は前述したように、周波数が低いほど深部の比抵抗特性を示すことから地表下浅部に高い周波数の見掛け比抵抗を、深部に向かって低い周波数の見掛け比抵抗値をプロットした。

(1) A-A' 断面 [図-12-1 参照]

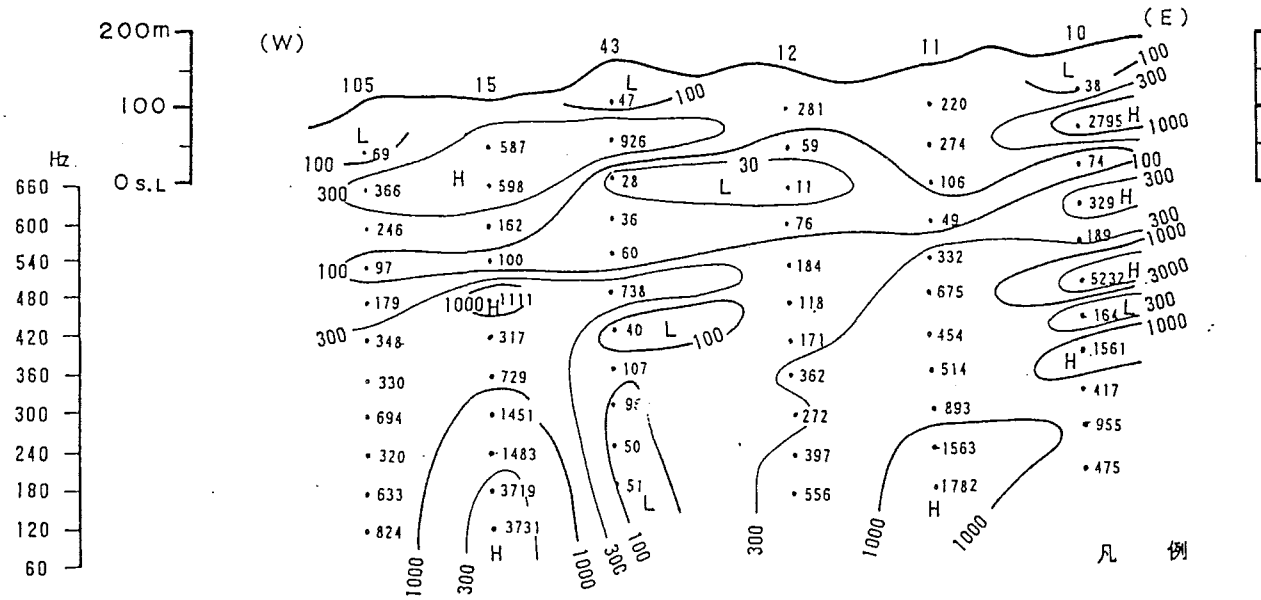
本断面は地域北部のNo. 15とNo. 10を通る断面で、地質の分布は断面中央より東側には南薩層群の安山岩質火山礫凝灰岩及び安山岩溶岩、西側では川辺層群の砂岩及び頁岩が分布する。

本断面の見掛け比抵抗は概ね地表下浅部の特性を示す600～660 Hzで中間見掛け比抵抗が検出されており360 Hz以下では高比抵抗を示す。断面のほぼ中央のNo. 43～No. 11ではN-S電極配

N-S 電極配置



E-W 電極配置



凡例

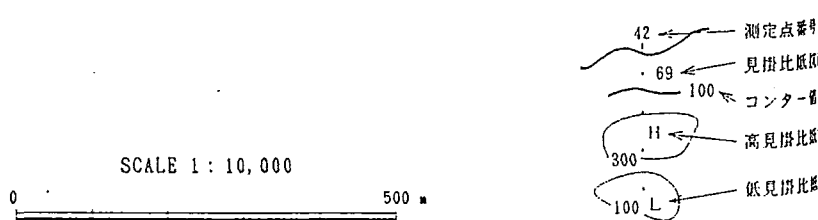


図-12-1 見掛比抵抗断面図 (A-A' 断面)

E)
置の場合は540~600 Hzで高比抵抗となり、420~480 Hzで再び低比抵抗、360 Hz以下の周波数域では高比抵抗となっている。一方E-W電極配置では300 Hz以下の周波数域で中間比抵抗が検出されておりN-S電極配置とは異なった比抵抗分布を示す。No. 10, 11, 105の測定点でE-W電極配置とN-S電極配置で著しく測定値が異なっており比抵抗の異方性が認められる。

(2) B-B'断面 [図-12-2 参照]

本断面は地域中央を東西に切る断面である。分布する地質はほぼ全域で川辺層群の砂岩及び頁岩が分布し、No. 22~34及びNo. 34以東では薄い阿多火碎流が分布している。比抵抗の特性は各測定点でN-S電極配置とE-W電極配置で測定値が異なることから、N-S電極配置の断面とE-W電極配置の断面では全く違ったコンターパターンを示す。

地下深部では川辺層群が断面全域に分布することを考慮すればE-W電極配置の断面図の方が地質状況に調和的であると考えられる。

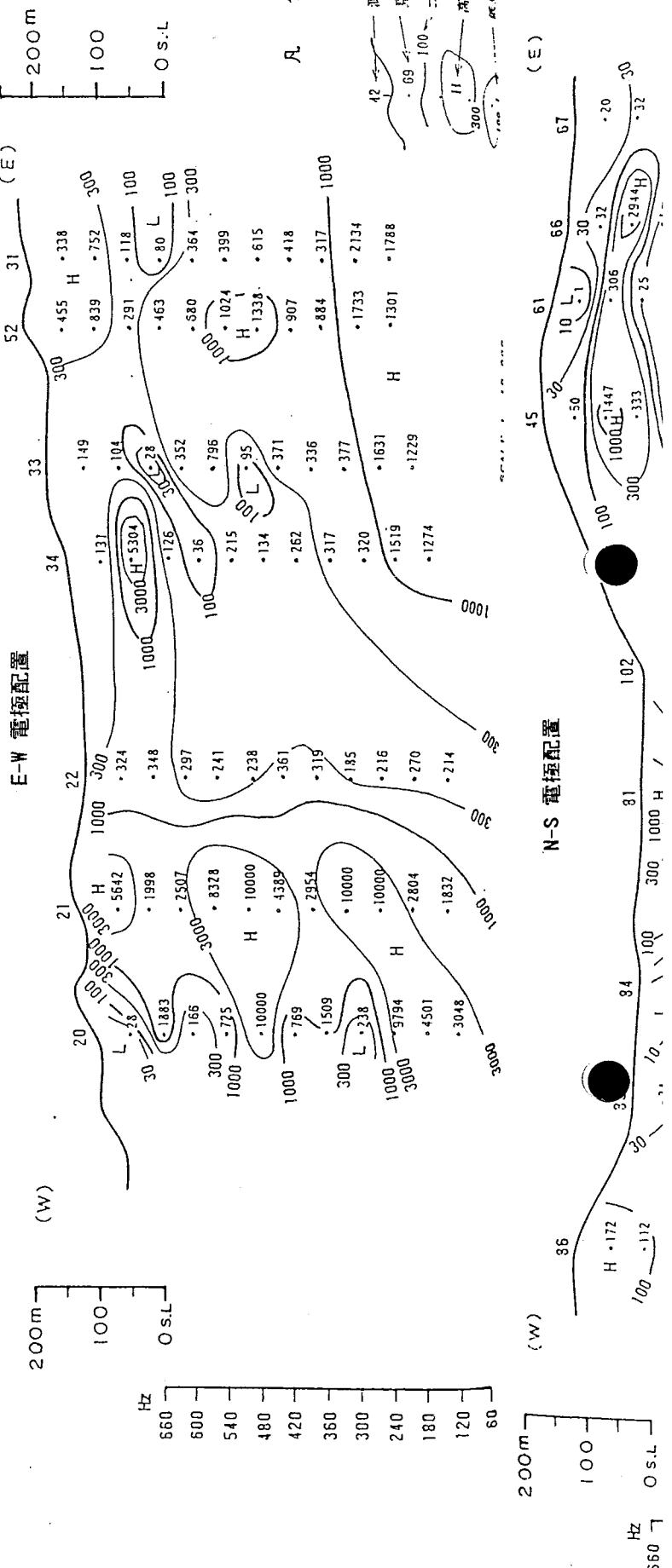
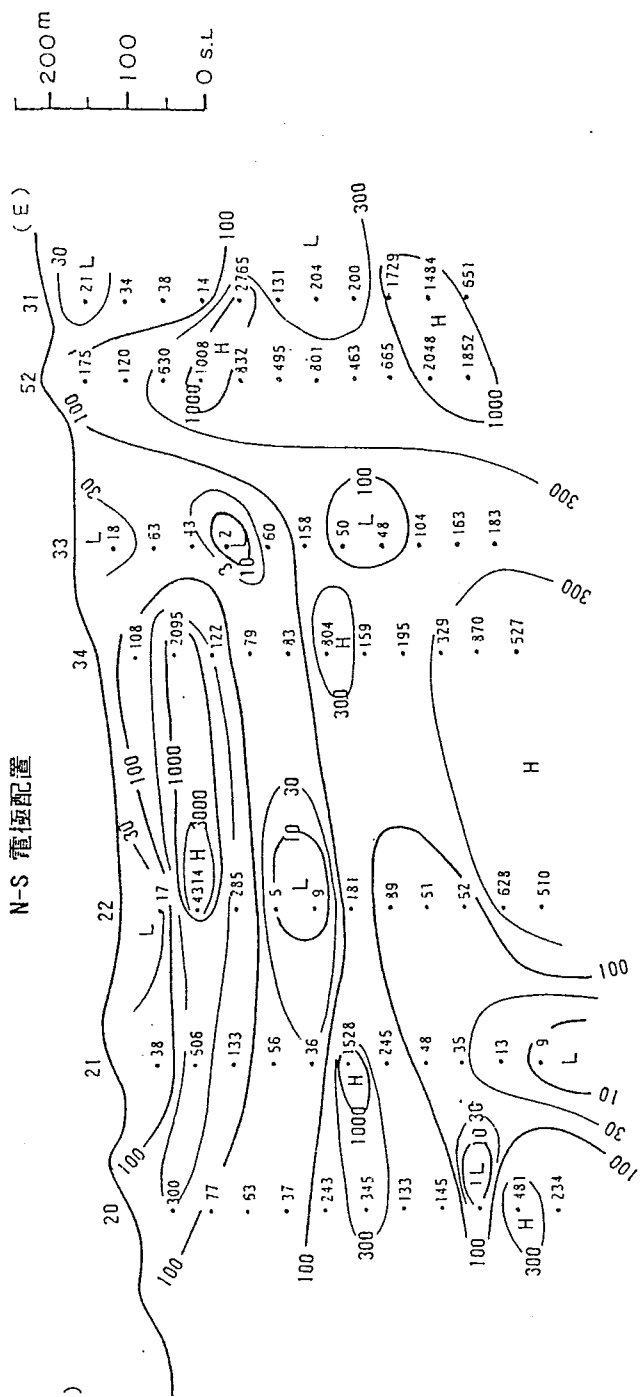
(3) C-C'断面 [図-12-3 参照]

本断面は地域南部の浦尻海岸を東西に切る断面でNo. 45より東側では南薩層群の安山岩質火山礫凝灰岩及び珪化岩が分布し、西側では川辺層群の砂岩及び頁岩が分布するがNo. 85~102では阿多火碎流が薄く分布している。

見掛け比抵抗のコンターパターンは東部のNo. 45以東を除きE-W電極配置とN-S電極配置の断面図では概ね類似した形状を示す。No. 45以東ではN-S電極配置の場合周波数の高いほうからL→H→L→H→Lの層状分布が顕著で、またHの見掛け比抵抗値が300 ohm-m以上と高い値となっている。N-S電極配置とE-W電極配置の両見掛け比抵抗断面図を地質断面図と比較するとE-W電極配置の方が地質データに調和的である。

例

- 测定点番号
- ← 見掛け比抵抗
- 100 ← コンターパターン
- 高見掛け比抵抗
- 低見掛け比抵抗



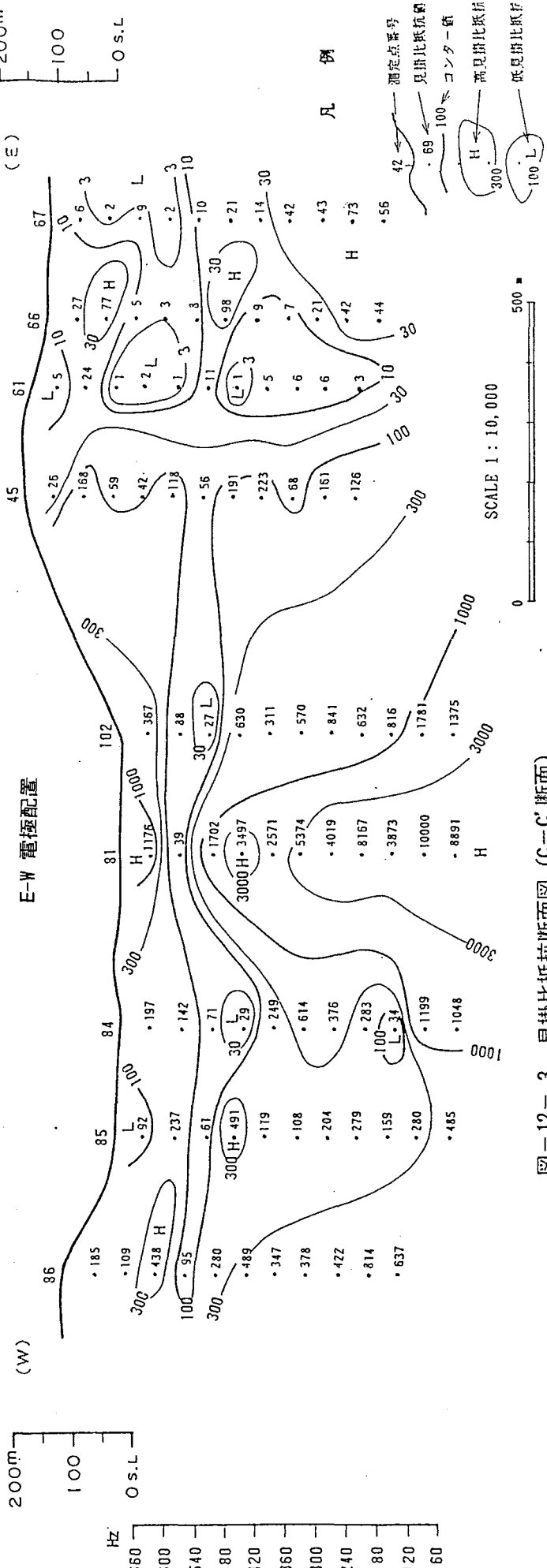
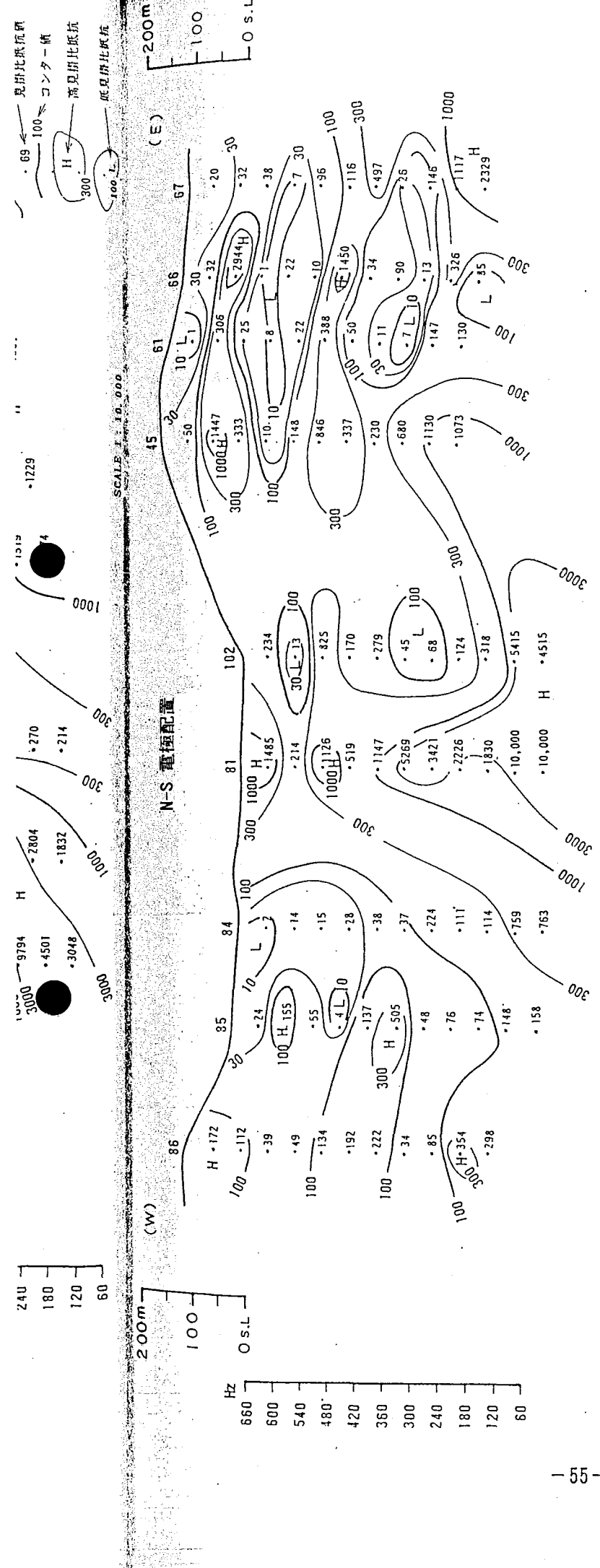


図-12-3 昇掛比抵抗断面図 (C-C'断面)

3.3.3 比抵抗平面図

各測定点での見掛け比抵抗値を用いて一次元の自動解析を実施した。解析結果は地表下浅部が低比抵抗で深部が高比抵抗を示す2層構造ケースが多く（一部で3～4層構造）、また1層目と2層目の境界は地表下浅部にあるケースが多数を占めた。したがって、深部では同じ比抵抗値が連続することとなるので深部の比抵抗平面は海拔-100m平面で代表させた。作成した平面は海拔0mを基準に50m～0m、-100mの3平面である。

解析された比抵抗値が10,000 ohm-m以上の測定点は10,000 ohm-mを上限値としN-S電極配置とE-W電極配置の解析結果を比較検討し妥当性のある電極配置の比抵抗値を用いた。

(1) 海抜 50m [図-13-1 参照]

本平面では300 ohm-m以上の高比抵抗値が支配的で対象地域のほぼ全域に分布する。特に3,000 ohm-m以上の特に高い比抵抗ゾーンが地域中央部～北部にかけて広く分布しており、顕著なものとしては、番屋山西部、耳取峠西部、上中坊北部及び浦尻東北部が高比抵抗として指摘できる。一方、低比抵抗は地域南東部の浦尻東部（南薩層群安山岩質火山礫凝灰岩分布域）、耳取峠（阿多火碎流分布域）、地域北端部から上中坊に向か延びる低比抵抗ゾーン（南薩層群安山岩質火山礫凝灰岩及び安山岩溶岩分布域）が小規模分布するに過ぎない。

(2) 海抜 0m [図-13-2 参照]

本平面でも300 ohm-m以上の高比抵抗値が支配的で上述の海拔50mレベルの平面図と同様な比抵抗分布を示す。3,000 ohm-mを越す特に高い比抵抗ゾーンは上中坊から番屋山西部かけた地域に広く分布し、小規模なものは地域中央部から南西部にかけた範囲に分布が認められる。低比抵抗ゾーンとしては耳取峠のものが残存しているのみで他は中間比抵抗に変化している。低比抵抗としては、浦尻西部の中間比抵抗ゾーン中のNo.94に1測定点ではあるが新たな低比抵抗が分布が認められる。

(3) 海抜 -100m [図-13-3 参照]

本平面でも高比抵抗値が支配的であって上述の2平面と同様な比抵抗特性を示す。3,000 ohm-m以上の高い比抵抗で分布範囲の広いものは地域の北半分に、小規模なものは地域中央部から南部と南西部に分布している。低比抵抗ゾーンは耳取峠に分布するものが唯一のものである。30～300 ohm-mの中間比抵抗ゾーンは地域北部、番屋山、上中坊東部及び浦尻東部に小規模分布が認められる。

これらの比抵抗構造平面図から下記の事項が指摘できる。

① 海拔50 m の平面図は、地表または浅部の比抵抗分布を示しており、地表地質との対比から次の事項が指摘できる。

- a. 地域南東部では南薩層群の安山岩質火山礫凝灰岩及び安山岩溶岩が分布する。これらはCSAMT法などのデータ（金属鉱業事業団、1986, 1987）によれば低比抵抗帯を形成するものと考えられるがPLMT法の結果では、南薩層群の分布する浦尻東部及び番屋山周辺は 300 ohm-m 以下の低～中間比抵抗ゾーンと高比抵抗ゾーンにまたがって分布している。
- b. 阿多火碎流はほぼ中央に分布するがこれらは、300 ohm-m 以上の高比抵抗ゾーンに含まれ下位の四万十帯と一体になって識別が困難である。

② 海拔 0 m 及び -100 m の平面図では、比抵抗の分布特性が類似することから海拔 0 m 以深では地質構造も大きな変化は無いものと推定され、四万十帯の砂岩及び頁岩の厚く安定した分布が続くものと考えられる。

耳取峠の低比抵抗ゾーンでは、地表の地質分布は阿多火碎流と四万十帯の砂岩及び頁岩が分布する。地表浅部から深部まで続いている状況から地層の境界に沿って浸入した地下水または風化により比抵抗の低下が生じたものと推定される。

③ 地域の地質構造の走向は、ほぼ N-S であるが比抵抗構造平面からは地質構造の方向を示唆するコンターパターンは得られていない。

3.3.3 比抵抗構造断面図

解析した比抵抗構造の東西 3 断面を作成した。断面の位置は地質断面と同じ位置とした（図-2 参照）。以下、これらの各断面の比抵抗構造について記載する。

(1) A-A' 断面 [図-14 上段 参照]

地表部は断面中央部を境に東部では南薩層群の安山岩質火山礫凝灰岩及び安山岩溶岩が分布し、西部では川辺層群の砂岩及び頁岩が分布している。

比抵抗構造の分布は、No. 11を除き低比抵抗値が第1層目に分布し第2層目は 300 ohm-m 以上の高比抵抗となっている。No. 15はデータのバラツキが大きく除外した。第1層目は低比抵抗であること、また、2層目との境界が 10 m 以下のケースが多いことを考慮すればこの低比抵抗は川辺層群表層の風化ゾーンを反映したものと考えられる。No. 11の表層部が 119 ohm-m と高い値を示すのは、珪化岩が地表に分布することに起因するものと推定される。

(2) B - B' 断面 [図-14 中段 参照]

本断面の地質分布は断面中央部と東部で阿多火碎流が小範囲に分布し、他は川辺層群が分布する。

比抵抗構造の分布特性はNo. 22を除きA - A' 断面と同様の事項が指摘できる。即ち、表層部には、薄い低比抵抗ゾーンがあって深部では、高比抵抗ゾーンが存在する。断面中央部のNo. 22は、表層から高比抵抗で深部が中間比抵抗値となっている。これは表層部の阿多火碎流による高比抵抗と推定される。

なお、断面西部にはNo. 20, 21の測定点があるがデータのバラツキが大きく除外した。

(3) C - C' 断面 [図-14 下段 参照]

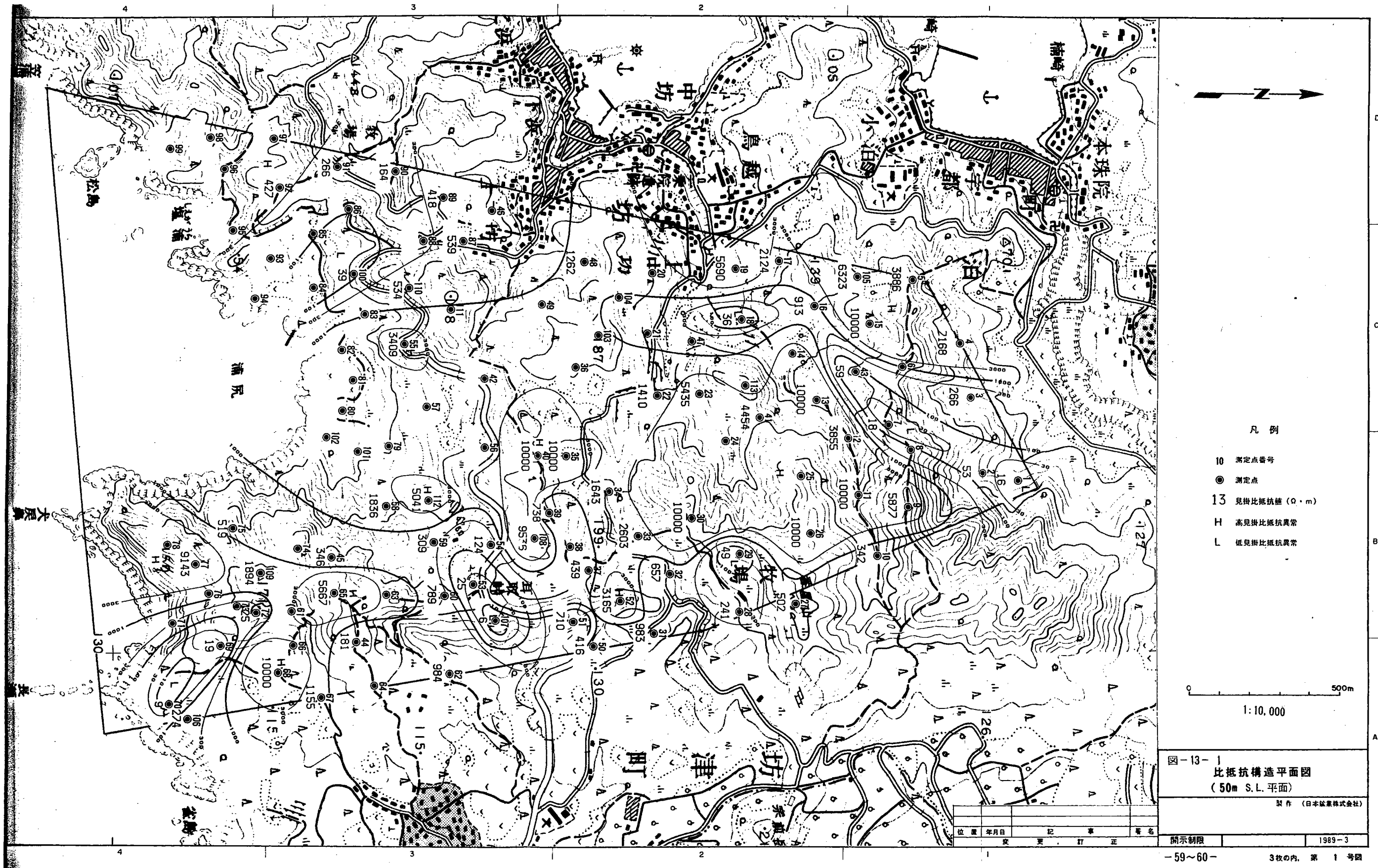
本断面も中央部の低地に阿多火碎流が分布し、東端部付近に南薩層群の安山岩質火山礫凝灰岩及び珪化岩が分布する。

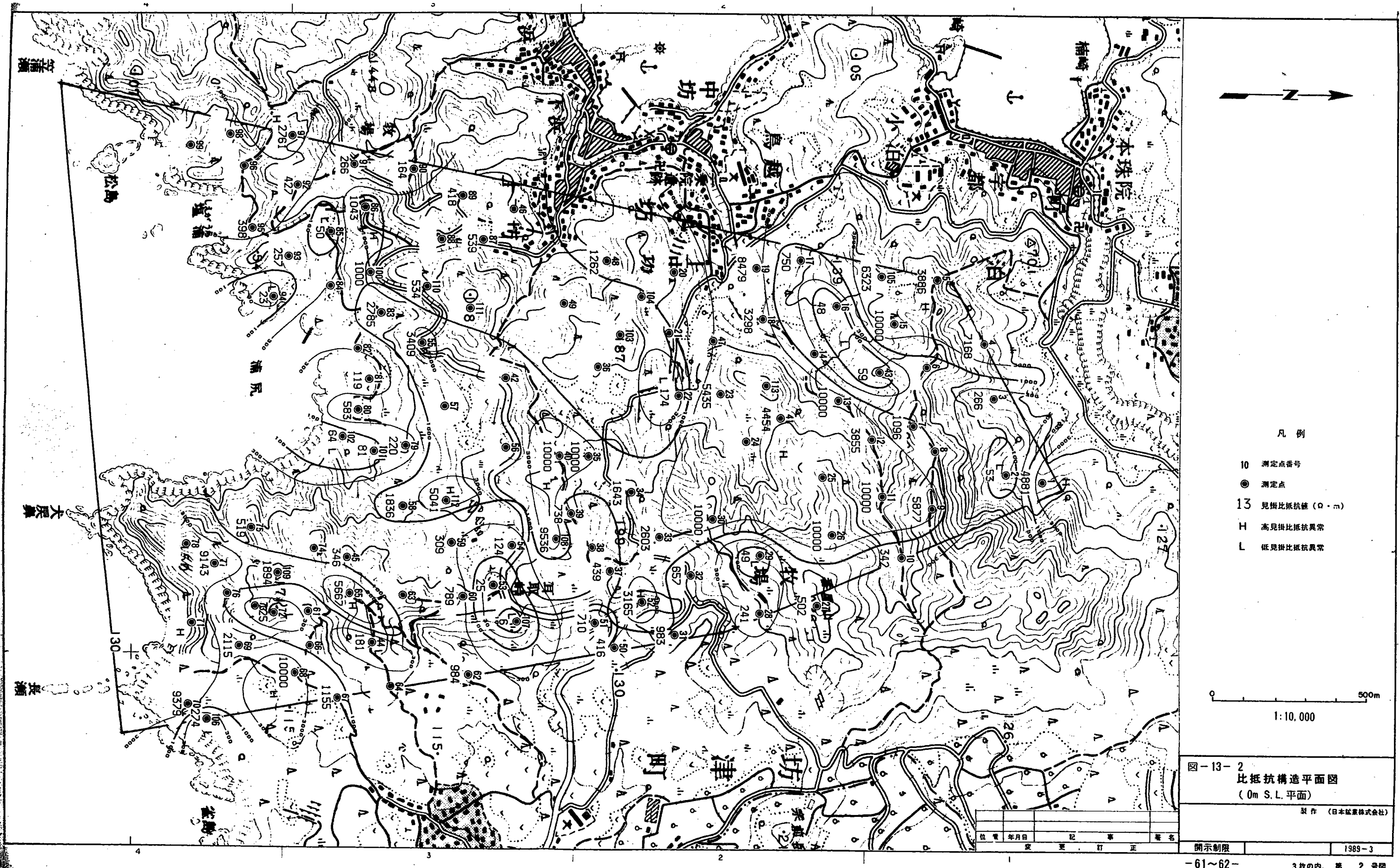
断面中央から西部の低地では表層部に阿多火碎流による中間比抵抗層が解析されている。この部分の層厚は、ほぼ地表より海平面付近までであって深部では 3000 ohm-m 以上の高比抵抗となっている。

断面東部の南薩層群が分布する範囲では表層部に低比抵抗層がある。No. 61では深部まで低比抵抗が続いており明瞭な不連続の見られる比抵抗構造を示す。

総合解析平面図

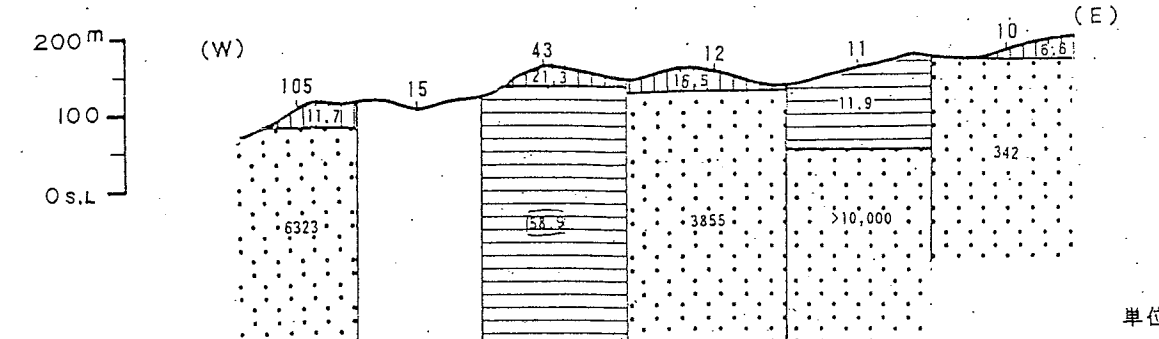
比抵抗解析結果を総合解析平面図として図-15に示す。本図には一次元比抵抗解析結果の第1層目の比抵抗値について 300 ohm-m 以上を高比抵抗ゾーン(H), 30 ohm-m 以下を低比抵抗ゾーン(L)として表し、また地質の分布も併せて記載した。





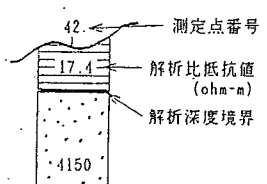


A-A'断面

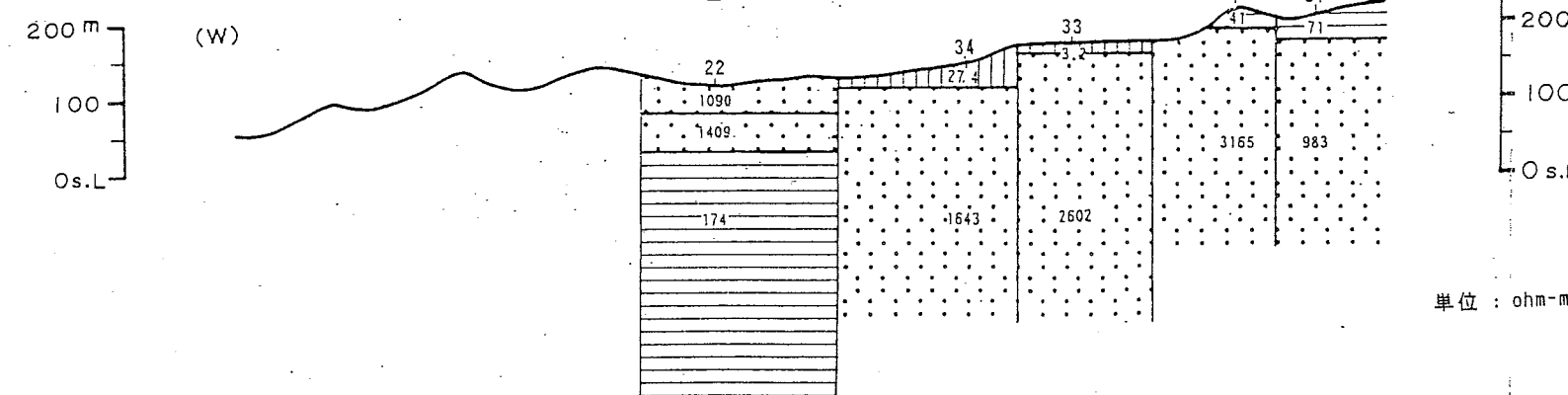


凡例

- 高比抵抗 300 ohm-m 以上
- 中間比抵抗 30 ~ 300 ohm-m
- 低比抵抗 30 ohm-m 以下



B-B'断面



C-C'断面

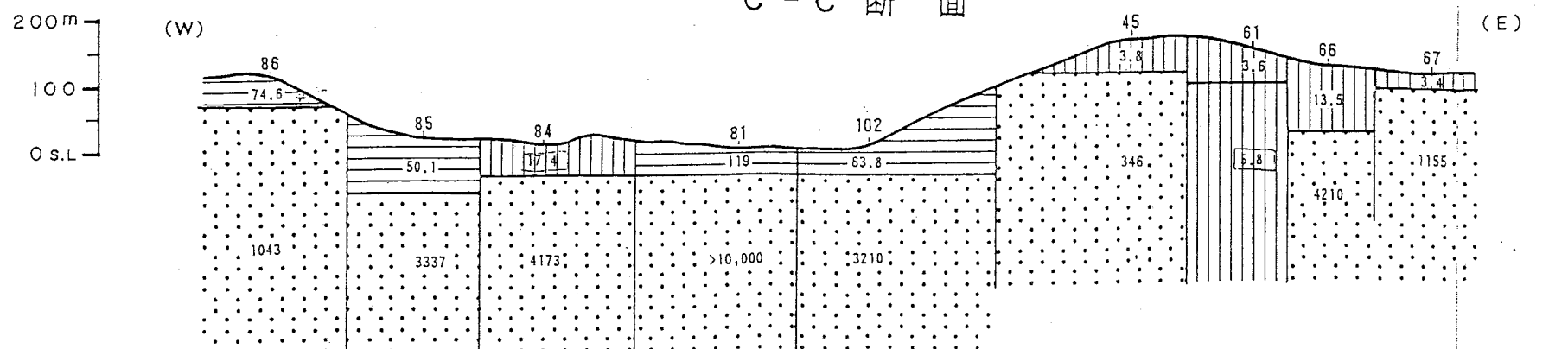


図-14 比抵抗構造断面図
(A-A', B-B', C-C'断面)

製作 (日本鉱業株式会社)

開示制限 1989-3

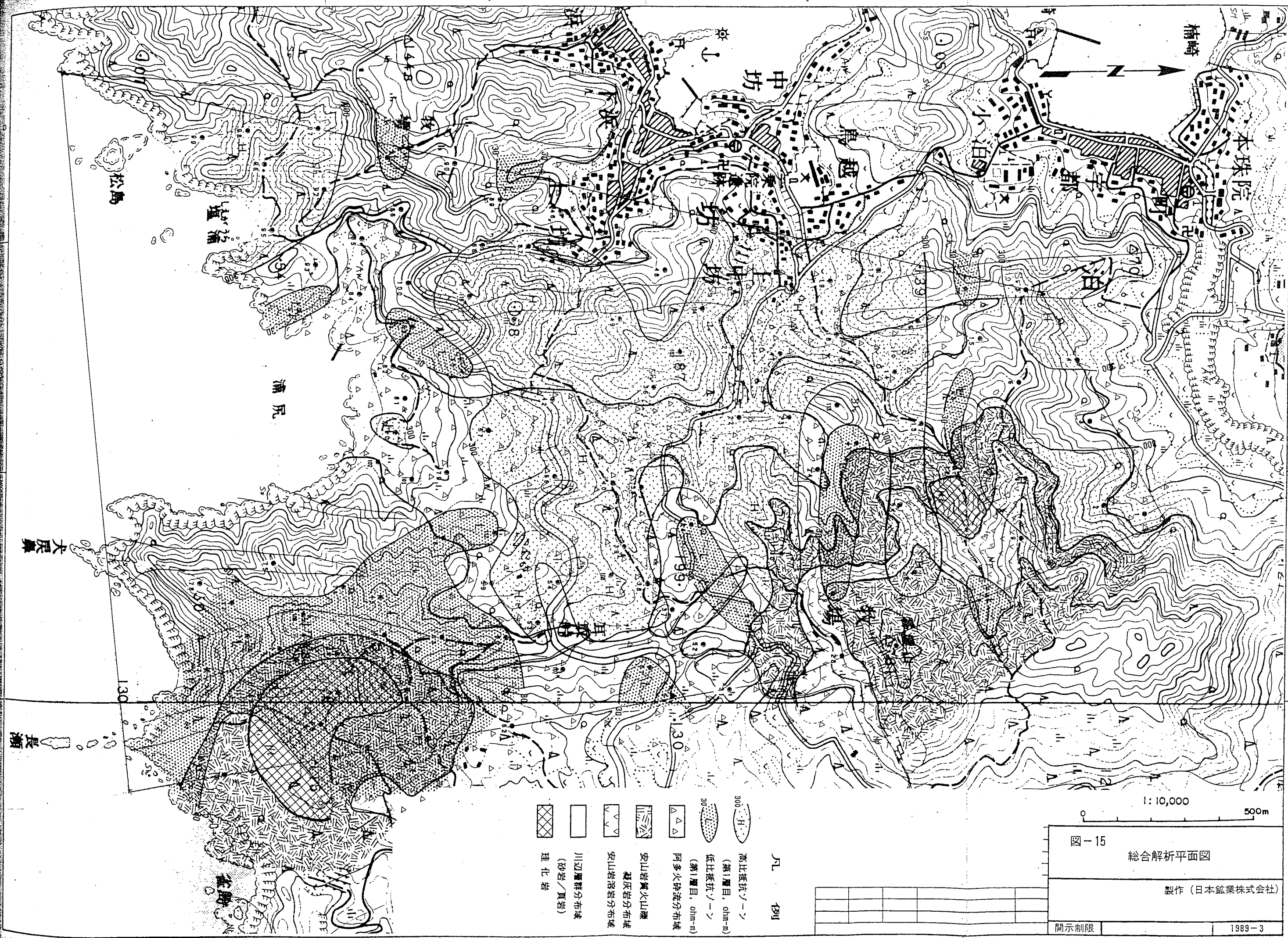


図-15 総合解析平面図

製作（日本鉱業株式会社）

開示制限 | 1989-3

4 考 察

P L M T 法による見掛け比抵抗分布と一次元解析による比抵抗構造がとりまとめられた。これらの結果をもとに地質分布との対応を考察しました本探査法の問題点等を検討する。

- ① 対象地域は主として四万十帯川辺層群の砂岩及び頁岩（高比抵抗）が分布し、地域中央部ではこの上位に第四系の阿多火砕流（中間～高比抵抗）がうすく覆っている。また、地域南東部と番屋山周辺では南薩層群の安山岩質火山礫凝灰岩や安山岩溶岩（低比抵抗）が分布する。比抵抗分布と地質分布は、概ね調和的であるが細部では合致しない箇所も認められた。そのような箇所は地形の急峻な起伏の激しい所に多く認められことから測定されたデータには地形の影響が作用しているものと推定される。
- ② 一次元解析の結果では表層部（第1層目）が低～中間比抵抗に解析された測定点が多く、またその層厚も50m以下のケースが多く認められた。この傾向は地域北部と南部で顕著であった。このことは川辺層群の砂岩及び頁岩の表層風化帯が解析されたものと解釈できる。2層構造で一次元解析を実施した主な理由は、測定値が高周波数域では比抵抗値が低く低周波数域では高くなる単純な2層構造の曲線が多かったこと、基盤である川辺層群が60～80°の東急傾斜であること、データのバラツキが認められる測定点が多く、3～4層の詳細な構造解析は困難であったことが挙げられる。
- ③ 電位の測定はN-S電極配置（正確にはN25°E方向）とE-W電極配置（同 N65°W）で測定が行われているが解析の結果はE-W電極配置のデータがバラツキも少なく地質分布とより調和的であった。このことは対象地域に最も近い枕崎ルートの高圧送電線よりも、このルートの約20km東に位置する開聞町ルート(NW-SE方向)の方が送信源になっていることを示唆している。枕崎ルートが適切な送信源になりえなかった理由は、本地域の基盤である川辺層群の地質構造がほぼNS方向であって、N-S電極配置や枕崎ルートと平行に近いこと、枕崎ルートは枕崎市内北部の変電所が終点であり、対象地域は送信源の垂直2等分線の±45°の範囲外となっているため平面電磁波であるというMT法理論適用条件から外れることの2項目が考えられる。
- ④ 測定データにはバラツキが多いものが認められる。この原因としては下記の事項が指摘できる。対象地域は枕崎郊外の栗ヶ野部落や坊津町に近くに位置すること、地域中央には6,600Vの送電線が過ぎていることなどノイズが多いことが指摘できる。地形条件としては、地域全般に起伏が激しく、特に地域南部の塩浦及び犬戸鼻岬等急峻な地形で

測定可能箇所が制限をうける、また電位電極の展開等にもに制約が考えられることなど
P L M T 法を適用する環境は良好とはいえない。また、対象地域は海岸に至近で海流、
潮の干満等の影響により地電流も局所的に急変化することも考えられる。

これらの点は P L M T 法を計画実施する場合の問題点として指摘できる。

【地

波多

通商

金属

今井

() 岡

【物理探

Cagnia

Strang

Goldst

D. C. Mc

Power

金属鉱

金属鉱

金属鉱

花 岡

など
海流,

参考文献

【地質】

波多江信弘他(?)：鹿児島県の地質(1/20万)

通商産業省資源エネルギー庁(1985)：昭和59年度広域調査報告書「南薩地域」

金属鉱業事業団(1980)：昭和55年度広域調査南薩地域地質調査報告書

今井功, 寺岡易司, 奥村公男(1971)：九州四万十帯北東部の地質構造と変成分帶,
地質雑誌, Vol. 77, P207~220

寺岡易司(1977)：西南日本中軸帯と四万十帯の白亜系砂岩の比較, 地質雑誌,
Vol. 83, p 795~810

【物理探査(PLMT法)】

Cagniar, L. (1953) : Basic theory of the magnetotellurics method of Geophysical
prospecting. Geophysics, Vol. 37, pp. 605-635

Strangway, D. W., Swift, C. M. and Holmer, R. C. (1973) : The application of audio
frequency magnetotellurics(AMT) to mineral exploration. Geophysics, Vol. 38,
pp. 1159-1175

Goldstein, M. A. and Strangway, D. W. (1975) : Audio frequency magnetotellurics with
a grounded electric dipole source. Geophysics, Vol. 40, pp. 669-683.

D. C. McCollor, et al (1983) : An E. M. Method for Earth Resistivity Measurements Using
Power Line Harmonic Fields, J. Geomag. Geoelectr., Vol. 35 pp221-244

金属鉱業事業団内部資料(1981)：昭和56年度広域調査南薩地域重力探査報告書

金属鉱業事業団内部資料(1982)：昭和57年度広域調査南薩地域電気探査報告書

金属鉱業事業団内部資料(1982)：新技術の探査への応用開発

花岡尚之(1982)：マグネットテルリック法とその周辺, 物理探鉱, Vol. 35,
No. 5, pp. 262-276

村上 裕 (1983) : マグネットテルリイク法の基礎概念, 物理探鉱 Vol. 36,
No. 6, pp. 382-391

金属鉱業事業団内部資料 (1986) : 昭和61年度広域地質構造調査南薩地域物理探査報告書

金属鉱業事業団内部資料 (1987) : 昭和62年度広域地質構造調査南薩地域物理探査報告書

坪田浩二, 他 (1987) : 商用周波数及びその高調波を使った簡易電磁探査法の開発(その1),
物理探査学会昭和62年度秋季学術講演会講演論文集

坪田浩二, 他 (1988) : 商用周波数及びその高調波を使った簡易電磁探査法の開発
動燃技法 No. 66, pp82-90

1

坪田浩二, 他 (1988) : 商用周波数及びその高調波を使った簡易電磁探査法の開発(その2),
物理探査学会昭和63年度春季学術講演会講演論文集

2

3

4

付 金录

1. P L M T 法 測定値一覧表(N-S電極配置) 付-1 ~ 付-6
2. P L M T 法 測定値一覧表(E-W電極配置) 付-7 ~ 付-12
3. P L M T 法 測定見掛比抵抗曲線集 付-13~付-69
4. P L M T 法 解析比抵抗曲線集 付-70~付-182

見掛比抵抗一覧表(N-S電極配置)

単位: ohm-m

周波数 (Hz)	測定点番号									
	1	2	3	4	5	6	7	8	9	10
60	575	816	104	1204	1486	16	2257	585	305	188
120	679	640	159	1234	1326	320	1456	895	559	333
180	226	257	91	668	3103	640	316	52	69	368
240	159	358	62	521	61	125	128	55	72	510
300	470	235	84	418	998	1838	190	145	123	1624
360	113	2150	144	154	339	552	265	75	2359	608
420	588	248	54	502	475	143	616	159	85	133
480	100	99	3	368	297	60	69	7	2	80
540	1	47	30	283	21	93	990	121	40	84
600	72	1664	18	60	126	373	269	123	323	113
660	36	22	30	130	10000	448	88	3	59	47

周波数 (Hz)	測定点番号									
	11	12	13	14	15	16	17	18	19	20
60	3337	206	512	416	3419	1070	1553	1196	4783	234
120	2167	502	2213	372	3038	1194	4739	1914	1440	481
180	303	444	239	10000	1956	352	674	1343	10000	1
240	106	266	432	2155	676	678	1527	668	4651	145
300	1141	1308	234	10000	2706	296	1115	696	6117	133
360	10000	165	3330	344	1582	391	1959	809	4701	345
420	127	197	103	1575	1089	45	331	373	2581	243
480	29	18	69	3912	269	1591	1106	255	2509	37
540	532	362	197	9	165	361	1110	410	3359	63
600	4956	58	1249	169	126	60	1412	289	3163	77
660	45	45	81	612	84	93	704	457	4853	300

見掛比抵抗一覽表(N-S電極配置)

単位: ohm-m

周波数(Hz)	測定点番号					
	21	22	23	24	25	26
60	9	510	924	386	3984	7934
120	13	628	1186	327	2078	645
180	35	52	2580	2841	27	20
240	48	51	715	1142	393	54
300	245	89	778	4079	113	112
360	1528	181	278	927	131	870
420	36	9	590	1109	46	33
480	56	5	405	160	2	13
540	133	285	112	203	93	24
600	506	4314	43	310	4100	859
660	38	17	57	564	3	11

周波数(Hz)	測定点番号					
	31	32	33	34	35	36
60	651	329	183	527	10000	105
120	1484	351	163	870	1372	10000
180	1729	251	104	329	462	10000
240	200	245	48	195	138	4582
300	204	212	50	159	76	2020
360	131	347	158	804	64	571
420	2765	166	60	83	20	2650
480	14	33	2	79	66	2850
540	38	31	43	122	98	68
600	34	131	63	2095	79	32
660	21	106	18	108	162	10000

見掛比抵抗一覽表(N-S電極配置)

単位: ohm-m

周波数(Hz)	測定点番号					48	49	50
	41	42	43	44	45			
60	1364	115	82	213	1073	35	60	112
120	1057	180	2270	170	1130	78	58	256
180	211	10000	3212	173	680	69	1788	101
240	106	2517	14	153	230	128	5	555
300	327	74	179	95	337	182	117	269
360	829	196	2242	34	846	412	49	324
420	74	3132	28	62	148	2848	10000	108
480	59	1451	41	79	10	62	18	37
540	38	220	111	55	333	81	23	88
600	314	168	366	117	1447	3534	60	238
660	4	310	29	26	50	3341	34	121

周波数(Hz)	測定点番号					59	60
	51	52	53	54	55		
60	104	1852	45	52	56	36	1723
120	166	2048	61	63	66	47	2122
180	193	665	33	135	341	192	675
240	87	463	48	91	378	315	1968
300	155	801	56	88	505	586	265
360	72	495	69	121	163	883	451
420	122	832	93	208	19	69	367
480	57	1008	81	158	6	76	116
540	157	630	30	181	521	167	263
600	201	120	141	169	122	161	647
660	89	175	138	119	160	207	3

見掛抵抗一覧表(N-S電極配置)

単位: ohm-m

周波数(Hz)	測定点番号					
	61	62	63	64	65	66
60	130	144	1088	31	251	85
120	147	202	1197	47	205	326
180	7	430	10000	39	101	13
240	11	194	4354	10	131	90
300	50	224	144	39	78	34
360	388	131	91	273	70	1450
420	22	119	201	23	37	10
480	8	26	105	10	9	22
540	25	205	312	5	36	1
600	306	60	386	2825	113	2944
660	1	118	364	128	35	32

周波数(Hz)	測定点番号					
	71	72	73	74	75	76
60	187	466	40	1356	209	74
120	158	517	73	981	627	186
180	222	174	4	2663	7	80
240	23	35	14	601	34	47
300	75	51	12	392	35	25
360	66	76	91	5453	6529	1228
420	34	16	5	178	9	2
480	1	9	5	110	54	20
540	3	59	7	60	19	12
600	7	353	139	579	7738	320
660	6	47	2	56	31	95

見掛比抵抗一覧表(N-S電極配置)

単位: ohm-m

周波数(Hz)	測定点番号					
	81	82	83	84	85	86
60	10000	6760	723	736	158	298
120	10000	7276	944	759	148	354
180	1830	750	373	114	74	85
240	2226	1472	441	111	76	34
300	3421	1581	1049	224	48	222
360	5269	1665	4	37	505	192
420	1147	497	663	38	137	134
480	519	279	297	28	4	49
540	1126	782	258	15	55	39
600	214	14	155	14	155	112
660	1485	93	100	2	24	172

周波数(Hz)	測定点番号					
	91	92	93	94	95	96
60	191	50	32	1179	9992	598
120	186	89	77	550	10000	655
180	284	18	58	32	173	285
240	47	14	34	194	181	95
300	58	32	284	111	5156	254
360	205	71	417	1606	362	234
420	18	16	259	50	1570	549
480	3	3	30	3	5	6
540	4	39	50	346	448	18
600	69	68	273	157	167	99
660	8	8	19	35	360	13

見掛比抵抗一覧表(N-S電極配置)

単位: ohm-m

周波数(Hz)	測定点番号		
	101	102	103
60	10000	4515	3
120	100'000	5415	5
180	571	318	32
240	2200	124	62
300	417	68	51
360	346	45	42
420	636	279	156
480	411	170	33
540	443	825	125
600	104	13	13
660	506	234	47

周波数(Hz)	測定点番号		
	111	112	113
60	73	10000	1605
120	62	10000	10000
180	202	69	373
240	106	3260	374
300	654	62	318
360	424	316	10000
420	10000	451	153
480	490	404	251
540	1228	487	390
600	382	544	7144
660	8092	2335	1845

見掛比抵抗一覧表(E-W電極配置)

単位: ohm-m

周波数 (Hz)	測定点番号									
	1	2	3	4	5	6	7	8	9	10
60	682	642	133	793	1836	71	105	226	162	475
120	1970	661	205	970	3466	103	90	184	212	955
180	45	127	12	298	904	134	74	60	116	417
240	167	407	113	98	540	372	12	97	68	1561
300	150	167	58	232	348	65	43	42	40	164
360	56	119	52	140	569	836	38	516	36	5232
420	118	114	48	817	533	56	48	43	51	189
480	66	22	74	64	65	24	110	3	3	329
540	48	90	73	420	128	115	90	84	20	74
600	14	120	73	181	3590	3355	49	540	195	2795
660	29	65	34	222	412	104	108	47	1	38

周波数 (Hz)	測定点番号									
	11	12	13	14	15	16	17	18	19	20
60	1782	556	1995	637	3731	922	1277	4647	4058	3048
120	1563	397	2867	340	3719	1344	1196	5332	1115	4501
180	893	272	790	3311	1483	1366	1261	1813	1423	9794
240	514	362	215	4007	1451	2325	1980	1122	3531	238
300	454	171	583	1410	729	313	1035	1327	298	1509
360	657	118	205	1317	317	561	175	963	9971	769
420	332	184	505	1786	1111	656	739	1358	1518	10000
480	49	76	85	358	100	914	1465	621	5723	725
540	106	11	218	774	162	377	491	912	7057	166
600	274	59	265	395	598	98	835	715	8057	1883
660	220	281	190	2288	587	8	1239	365	1610	28

見掛抵抗一覧表(E-W電極配置)

単位: ohm-m

周波数(Hz)	測定点番号					
	21	22	23	24	25	26
60	1832	214	2567	755	84	1597
120	2804	270	4682	776	101	2109
180	10000	216	1586	5446	30	866
240	10000	185	2119	919	2	250
300	2954	319	974	1136	16	270
360	4389	361	2270	968	254	558
420	10000	238	1070	3875	22	254
480	8328	241	609	176	6	8
540	2507	297	1265	78	48	151
600	1998	348	23	142	110	144
660	5642	324	456	451	15	51

周波数(Hz)	測定点番号					
	31	32	33	34	35	36
60	1788	494	1229	1274	2237	10000
120	2134	715	1631	1519	2124	10000
180	317	209	377	320	439	10000
240	418	398	336	317	337	10000
300	615	206	371	262	264	2506
360	399	108	95	134	229	10000
420	364	156	796	215	2184	6354
480	80	41	352	36	141	8882
540	118	25	28	126	106	982
600	752	90	104	5304	403	907
660	338	121	149	131	118	513

見掛比抵抗一覧表(E-W電極配置)

単位: ohm-m

周波数 (Hz)	測定点番号					41	42	43	44	45	46	47	48	49	50	
	41	42	43	44	45											
60	907	288	51	93	126	518	1183	1517	12	770						
120	1862	347	50	501	161	716	1209	1270	16	752						
180	263	454	96	55	68	26	1386	496	2447	40						
240	253	2113	107	45	223	302	1986	153	540	63						
300	221	1839	40	64	191	328	432	710	428	561						
360	669	1182	738	5067	56	4020	308	238	528	213						
420	141	274	60	35	118	229	436	836	4335	512						
480	38	332	36	44	42	315	240	580	7267	263						
540	305	1622	28	20	59	855	170	1437	270	390						
600	1180	821	926	10000	168	4214	230	459	445	118						
660	95	19	47	46	26	545	34	493	292	325						

周波数 (Hz)	測定点番号					51	52	53	54	55	56	57	58	59	60	
	51	52	53	54	55											
60	46	1301	644	178	701	688	8236	707								
120	54	1733	844	217	672	868	10000	808	1240	383						
180	276	884	56	67	521	1019	5344	563	183	142						
240	217	907	540	260	207	608	494	410	846	292						
300	145	1338	327	135	158	381	242	353	600	214						
360	178	1024	722	222	2045	276	699	259	429	347						
420	45	680	275	151	350	145	3043	295	378	181						
480	41	463	212	155	426	225	1515	77	250	303						
540	57	291	317	316	376	1581	821	196	236	106						
600	359	839	318	217	124	256	184	70	154	147						
660	9	455	326	232	54	543	382	223	249	45						

見掛比抵抗一覽表(E-W電極配置)

単位: ohm-m

周波数(Hz)	測定点番号					
	61	62	63	64	65	66
60	3	257	718	37	25	44
120	6	285	1049	306	48	42
180	6	84	279	24	8	21
240	5	176	304	355	15	7
300	1	160	275	10	9	9
360	11	117	2080	8459	40	98
420	1	128	181	19	8	8
480	2	115	86	230	1	3
540	1	56	30	218	1	5
600	24	47	822	10000	45	77
660	5	51	32	114	35	27

周波数(Hz)	測定点番号					
	71	72	73	74	75	76
60	16	22	68	383	93	1
120	25	33	78	424	115	48
180	8	12	16	134	79	3
240	3	34	12	157	54	44
300	12	11	21	161	45	2
360	1	6	18	104	331	1079
420	8	5	21	100	23	4
480	1	13	13	16	2	4
540	37	4	4	19	25	9
600	1	4	35	485	154	4443
660	14	7	6	6	16	2

見掛比抵抗一覽表(E-W電極配置)

単位: ohm-m

周波数(Hz)	測定点番号					
	81	82	83	84	85	86
60	8891	218	742	1048	485	637
120	10000	257	1063	1199	280	814
180	3873	313	3627	34	159	422
240	8167	444	517	283	279	378
300	4019	136	279	376	204	347
360	5374	156	262	614	108	489
420	2571	269	667	249	119	280
480	3497	235	1434	29	491	95
540	1702	54	335	71	61	438
600	39	30	223	142	237	109
660	1176	39	353	197	92	185

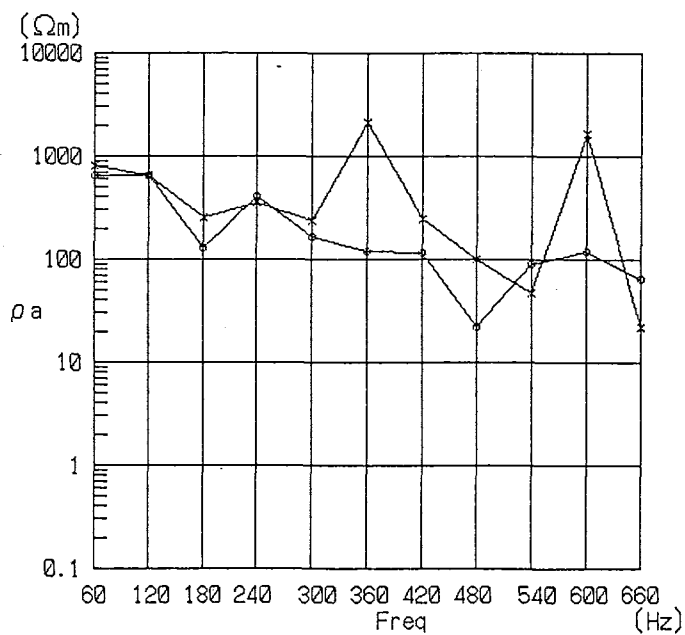
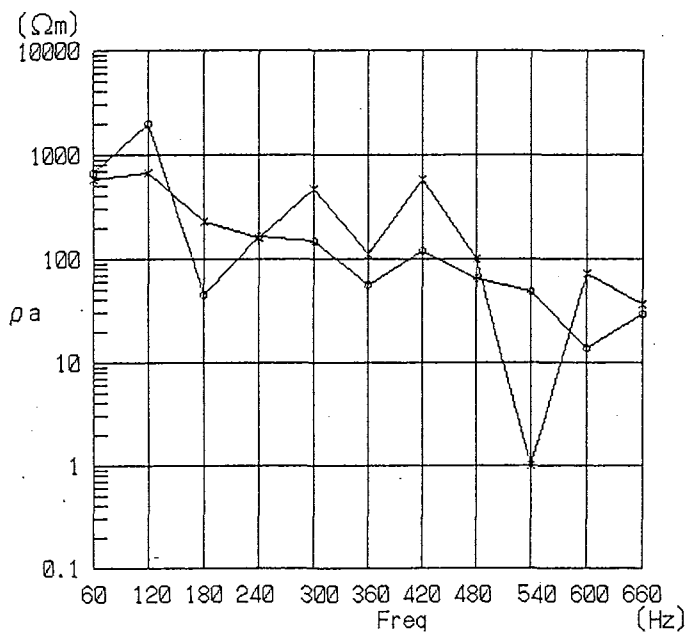
周波数(Hz)	測定点番号					
	91	92	93	94	95	96
60	46	950	552	620	154	236
120	37	1293	752	878	262	339
180	40	582	211	312	86	344
240	21	1091	84	224	31	124
300	26	454	220	210	58	155
360	30	153	471	185	148	39
420	35	264	176	127	56	96
480	17	47	14	6	28	2
540	20	768	234	140	57	16
600	150	112	384	451	191	4
660	3	273	229	94	31	23

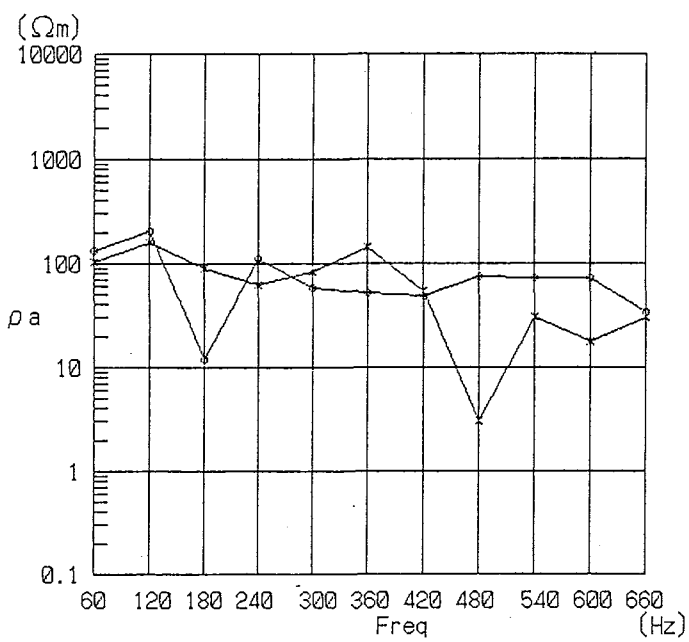
見掛抵抗一覧表(E-W電極配置)

単位: ohm-m

周波数(Hz)	測定点番号					
	101	102	103	104	105	106
60	1827	1375	4731	1916	824	526
120	2139	1781	7740	1691	633	555
180	822	816	10000	5486	320	231
240	424	632	350	9424	694	134
300	899	841	452	4956	330	153
360	551	570	1463	395	348	88
420	457	311	1300	4871	179	76
480	107	630	808	7520	97	7
540	177	27	1074	380	246	38
600	644	88	2952	9682	366	23
660	358	367	49	10000	69	45

周波数(Hz)	測定点番号					
	111	112	113			
60	68	494	285			
120	82	569	526			
180	105	812	419			
240	426	694	63			
300	631	380	110			
360	670	583	1356			
420	283	211	207			
480	1241	168	37			
540	5624	69	104			
600	3677	299	5327			
660	1089	91	51			

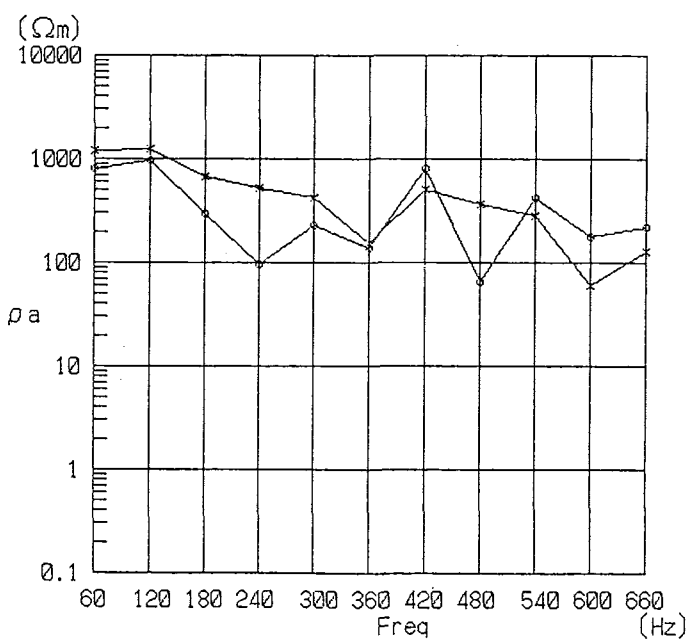




STATION NO. 003

F(Hz)	$\rho_a (\Omega\text{m})$ N-S	$\rho_a (\Omega\text{m})$ E-W
60	104.0	133.0
120	159.0	205.0
180	91.0	12.0
240	62.0	113.0
300	84.0	58.0
360	144.0	52.0
420	54.0	48.0
480	3.0	74.0
540	30.0	73.0
600	18.0	73.0
660	30.0	34.0

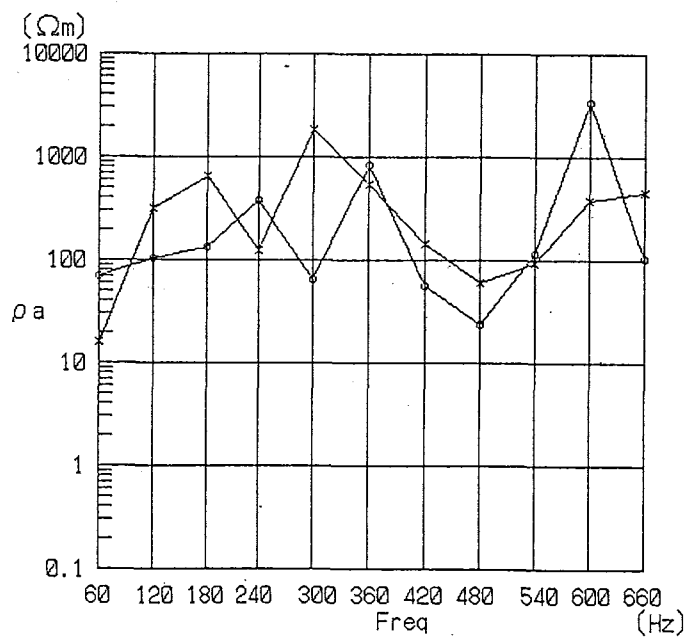
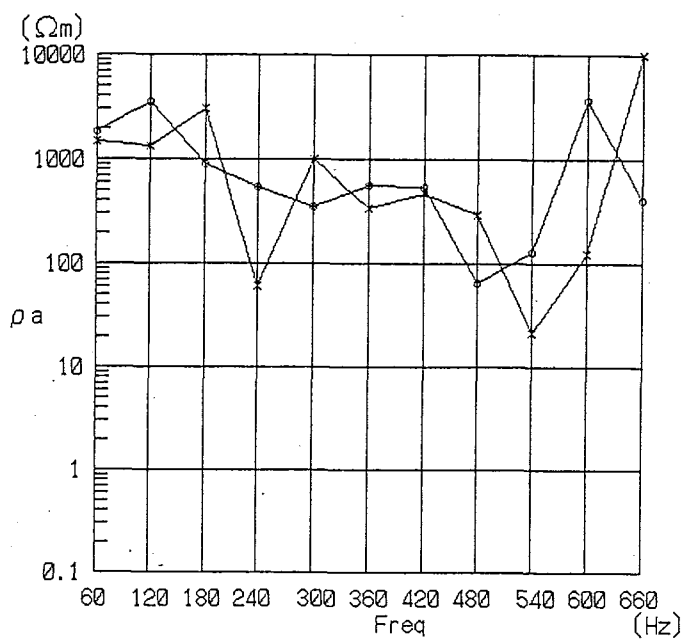
————— × ————— ◊

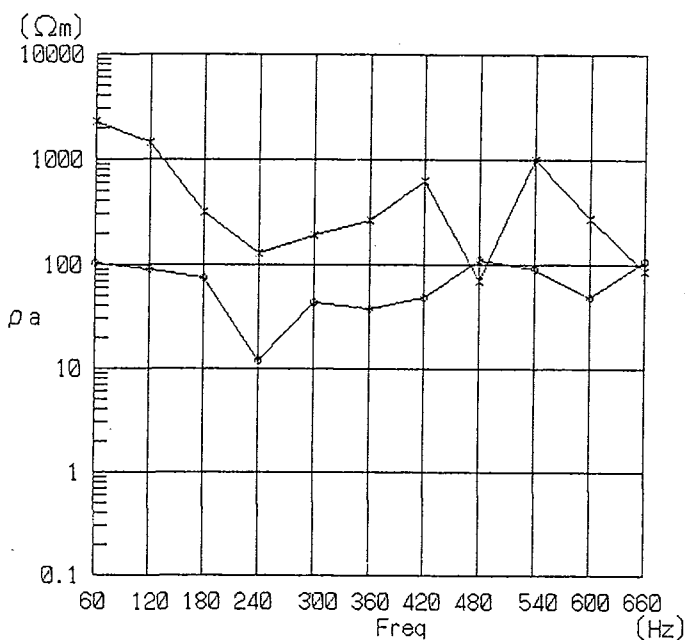


STATION NO. 004

F(Hz)	$\rho_a (\Omega\text{m})$ N-S	$\rho_a (\Omega\text{m})$ E-W
60	1204.0	793.0
120	1234.0	970.0
180	668.0	298.0
240	521.0	98.0
300	418.0	232.0
360	154.0	140.0
420	502.0	817.0
480	368.0	64.0
540	283.0	420.0
600	60.0	181.0
660	130.0	222.0

————— × ————— ◊

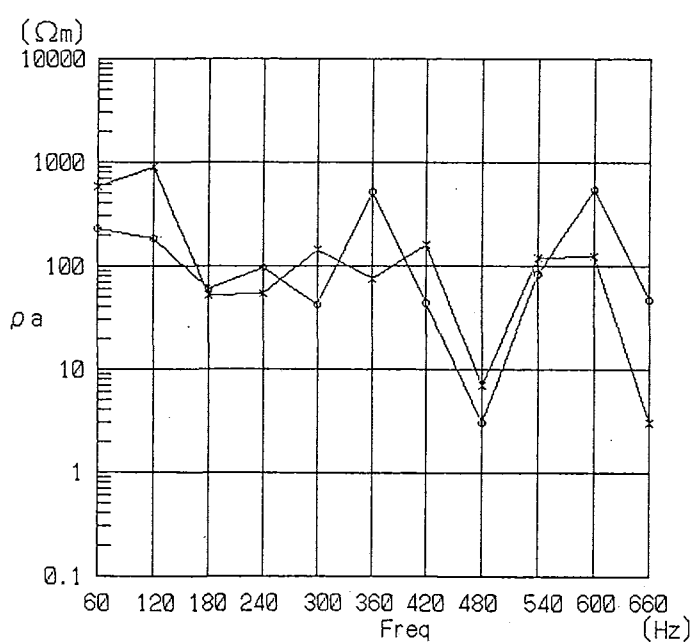




STATION NO. 007

F (Hz)	ρ_a (Ωm) N-S	ρ_a (Ωm) E-W
60	2257.0	105.0
120	1456.0	90.0
180	316.0	74.0
240	128.0	12.0
300	190.0	43.0
360	265.0	38.0
420	616.0	48.0
480	69.0	110.0
540	990.0	90.0
600	269.0	49.0
660	88.0	108.0

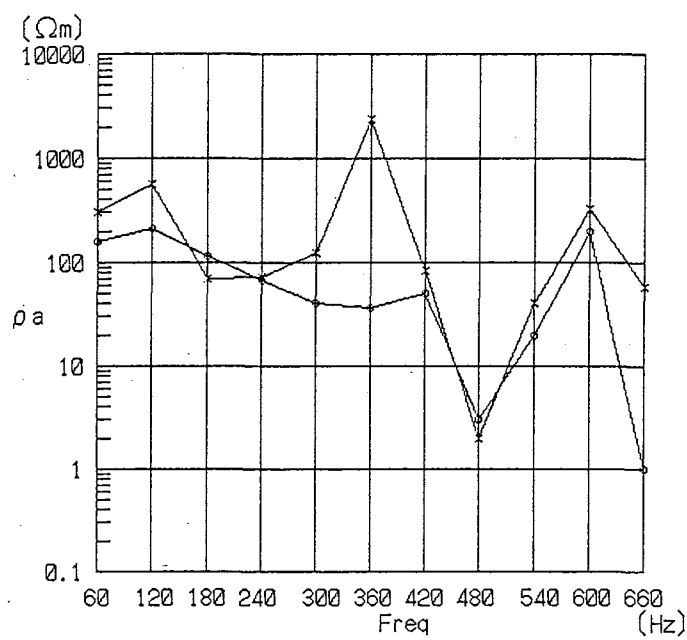
————— x ————— ————— o —————



STATION NO. 008

F (Hz)	ρ_a (Ωm) N-S	ρ_a (Ωm) E-W
60	585.0	226.0
120	895.0	184.0
180	52.0	60.0
240	55.0	97.0
300	145.0	42.0
360	75.0	516.0
420	159.0	43.0
480	7.0	3.0
540	121.0	84.0
600	123.0	540.0
660	3.0	47.0

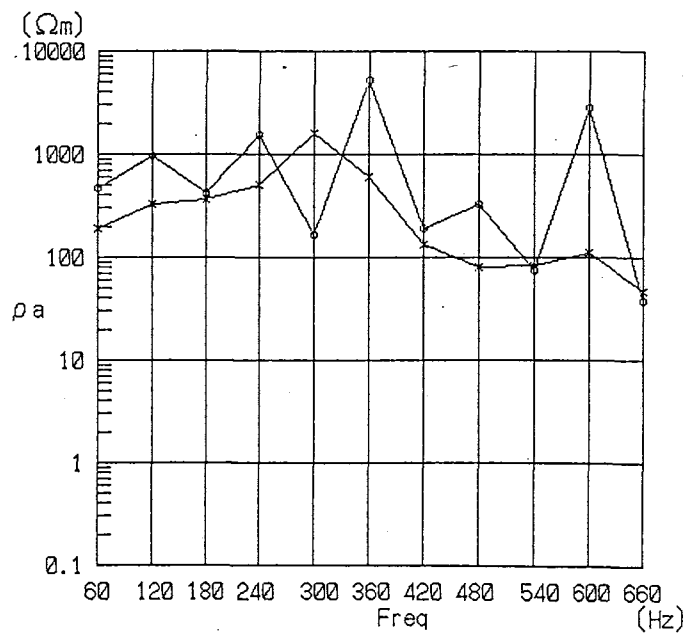
————— x ————— ————— o —————



STATION NO. 009

F (Hz)	$\rho_a (\Omega\text{m})$ N-S	$\rho_a (\Omega\text{m})$ E-W
60	305.0	162.0
120	559.0	212.0
180	69.0	116.0
240	72.0	68.0
300	123.0	40.0
360	2359.0	36.0
420	85.0	51.0
480	2.0	3.0
540	40.0	20.0
600	323.0	195.0
660	59.0	1.0

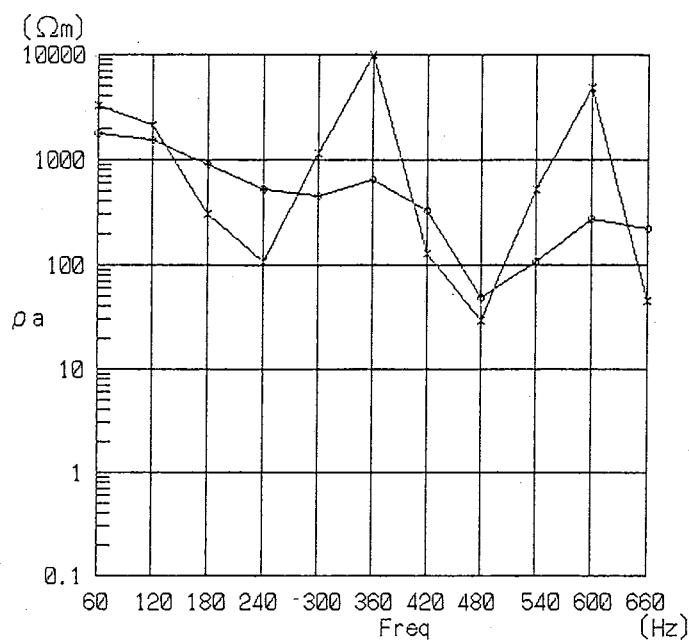
————— x ————— ○ —————



STATION NO. 010

F (Hz)	$\rho_a (\Omega\text{m})$ N-S	$\rho_a (\Omega\text{m})$ E-W
60	188.0	475.0
120	333.0	955.0
180	368.0	417.0
240	510.0	1561.0
300	1624.0	164.0
360	608.0	5232.0
420	133.0	189.0
480	80.0	329.0
540	84.0	74.0
600	113.0	2795.0
660	47.0	38.0

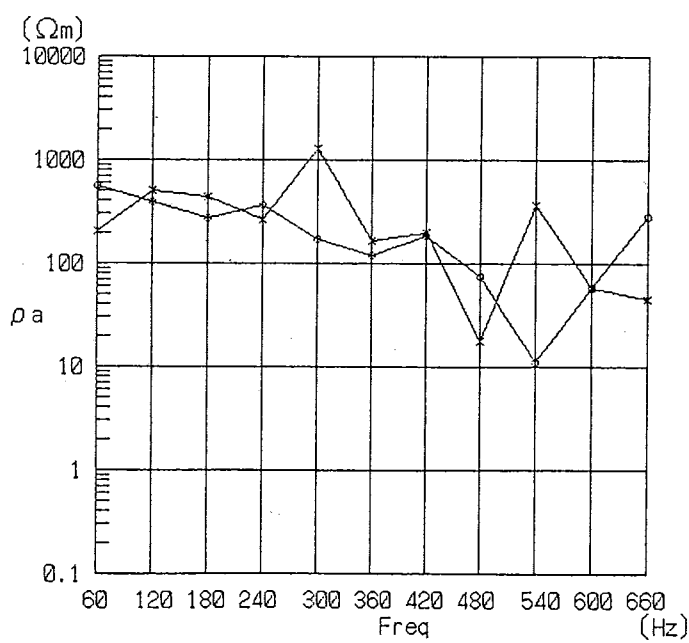
————— x ————— ○ —————



STATION NO. 011

F(Hz)	ρ_a (Ωm) N-S	ρ_a (Ωm) E-W
60	3337.0	1782.0
120	2167.0	1563.0
180	303.0	893.0
240	106.0	514.0
300	1141.0	454.0
360	10000.0	657.0
420	127.0	332.0
480	29.0	49.0
540	532.0	106.0
600	4956.0	274.0
660	45.0	220.0

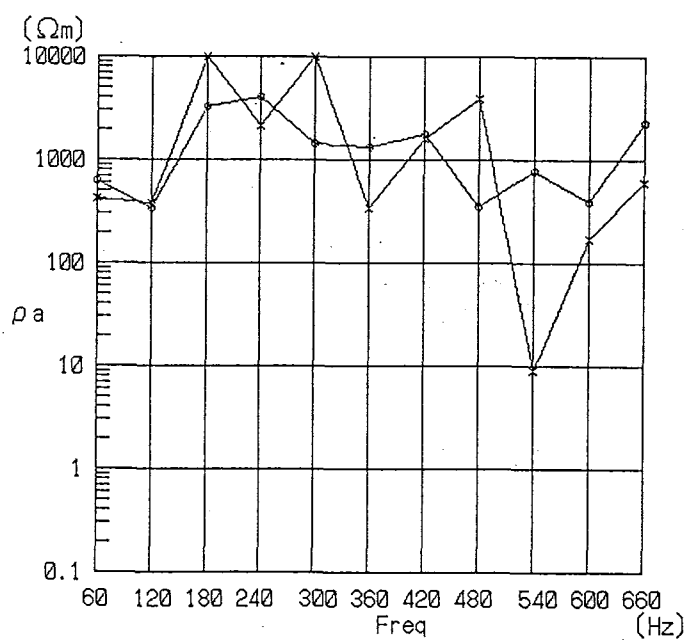
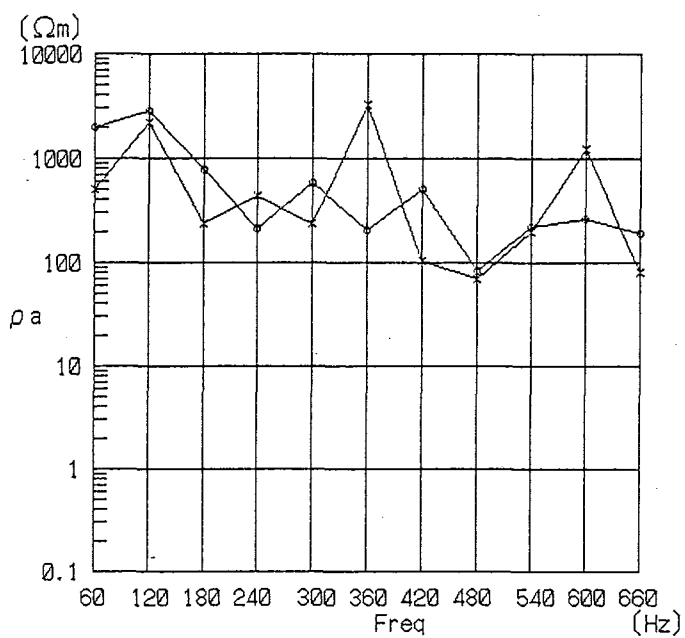
————— x ————— ————— o —————

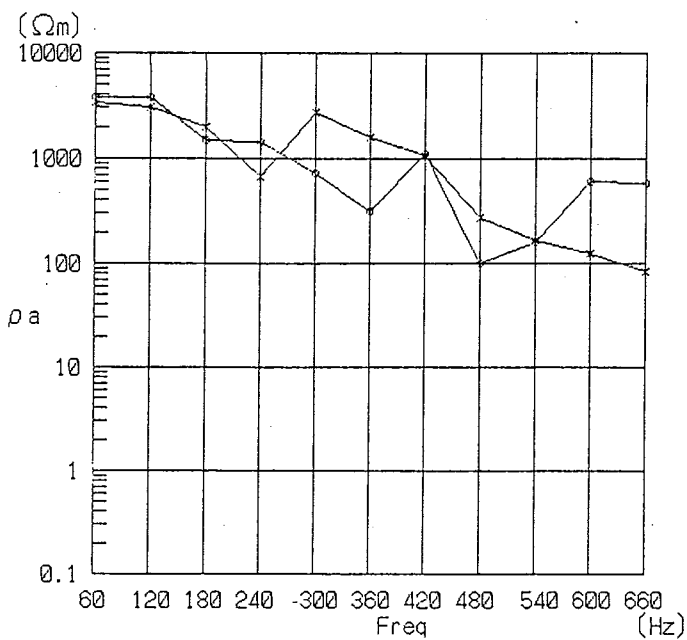


STATION NO. 012

F(Hz)	ρ_a (Ωm) N-S	ρ_a (Ωm) E-W
60	206.0	556.0
120	502.0	397.0
180	444.0	272.0
240	266.0	362.0
300	1308.0	171.0
360	165.0	118.0
420	197.0	184.0
480	18.0	76.0
540	362.0	11.0
600	58.0	59.0
660	45.0	281.0

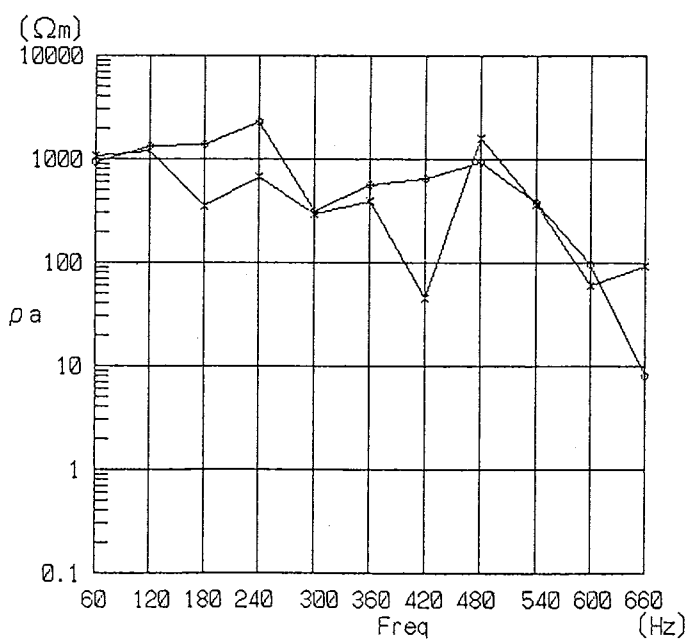
————— x ————— ————— o —————





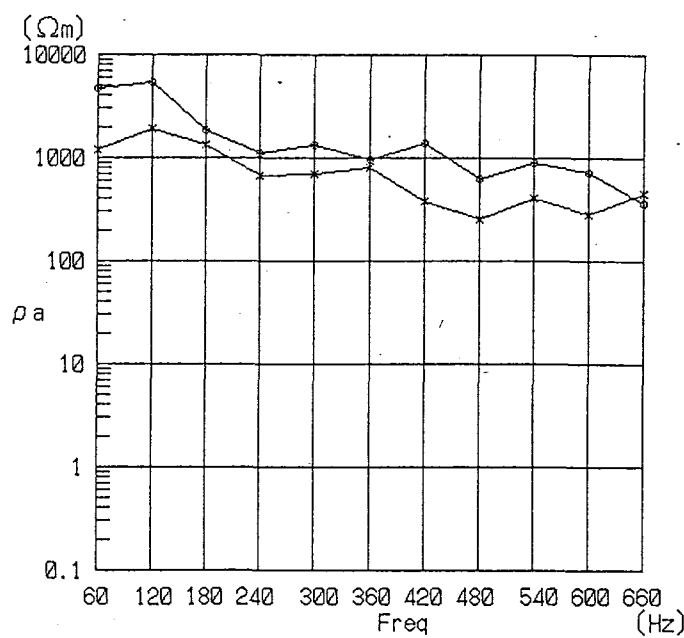
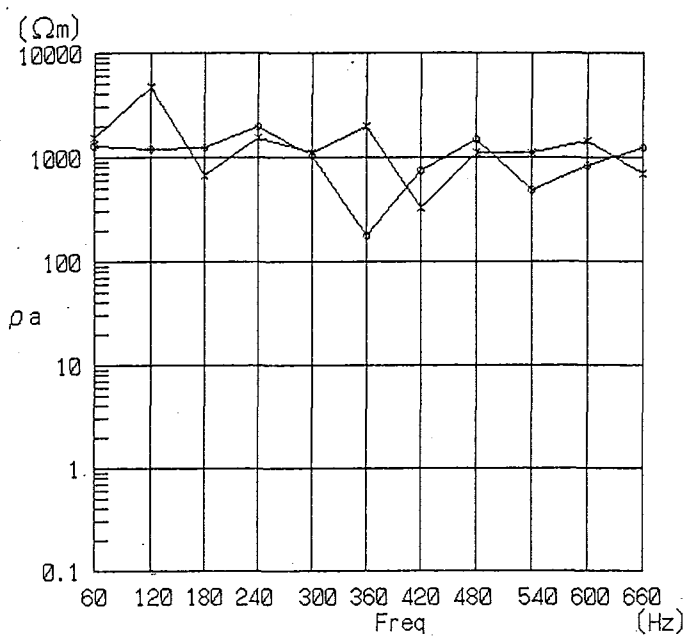
STATION NO. 015

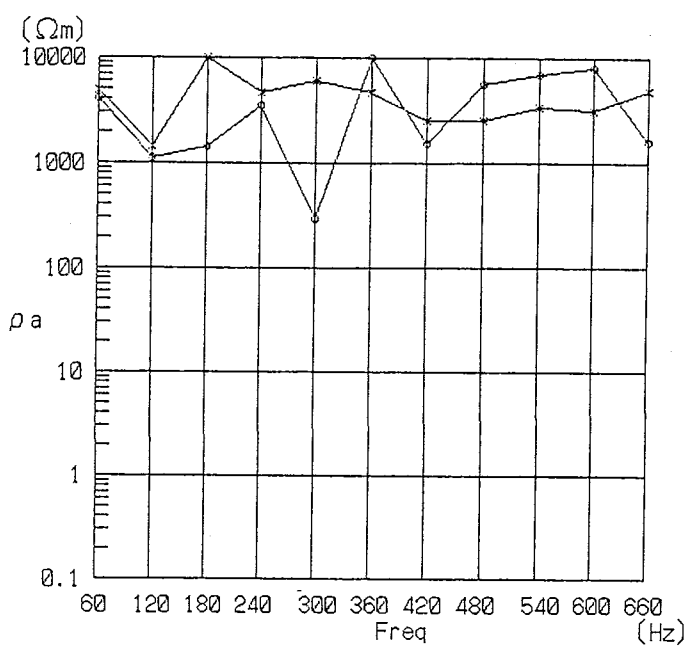
F (Hz)	ρ_a (Ωm) N-S	ρ_a (Ωm) E-W
60	3419.0	3731.0
120	3038.0	3719.0
180	1956.0	1483.0
240	676.0	1451.0
300	2706.0	729.0
360	1582.0	317.0
420	1089.0	1111.0
480	269.0	100.0
540	165.0	162.0
600	126.0	598.0
660	84.0	587.0



STATION NO. 016

F (Hz)	ρ_a (Ωm) N-S	ρ_a (Ωm) E-W
60	1070.0	922.0
120	1194.0	1344.0
180	352.0	1366.0
240	678.0	2325.0
300	296.0	313.0
360	391.0	561.0
420	45.0	656.0
480	1591.0	914.0
540	361.0	377.0
600	60.0	98.0
660	93.0	8.0

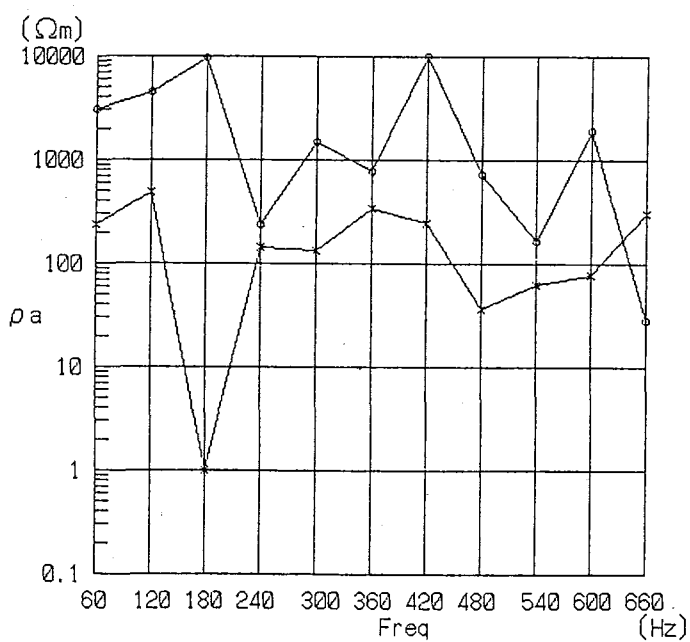




STATION NO. 019

F(Hz)	ρ_a (Ωm) N-S	ρ_a (Ωm) E-W
60	4783.0	4058.0
120	1440.0	1115.0
180	10000.0	1423.0
240	4651.0	3531.0
300	6117.0	298.0
360	4701.0	9971.0
420	2581.0	1518.0
480	2509.0	5723.0
540	3359.0	7057.0
600	3163.0	8057.0
660	4853.0	1610.0

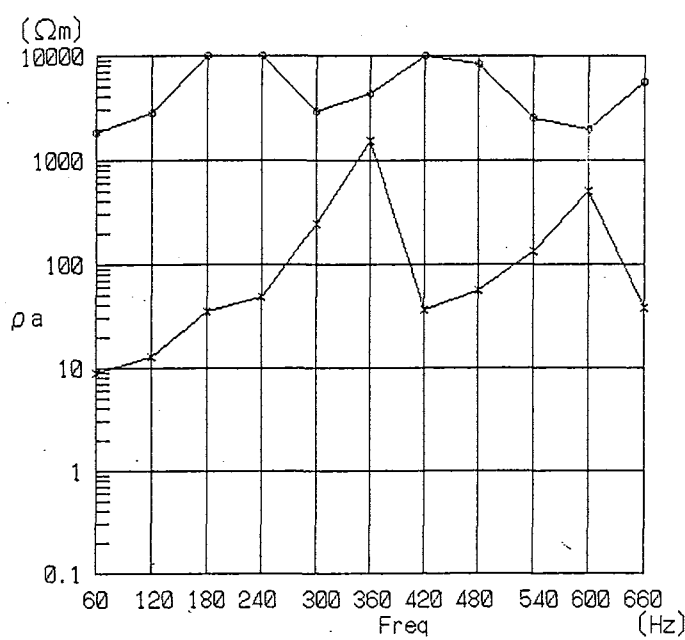
—x— —○—



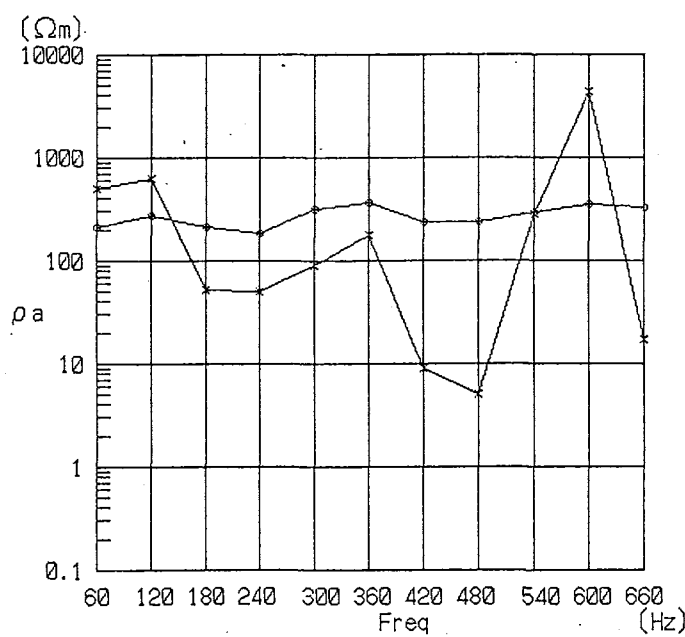
STATION NO. 020

F(Hz)	ρ_a (Ωm) N-S	ρ_a (Ωm) E-W
60	234.0	3048.0
120	481.0	4501.0
180	1.0	9794.0
240	145.0	238.0
300	133.0	1509.0
360	345.0	769.0
420	243.0	10000.0
480	37.0	725.0
540	63.0	166.0
600	77.0	1883.0
660	300.0	28.0

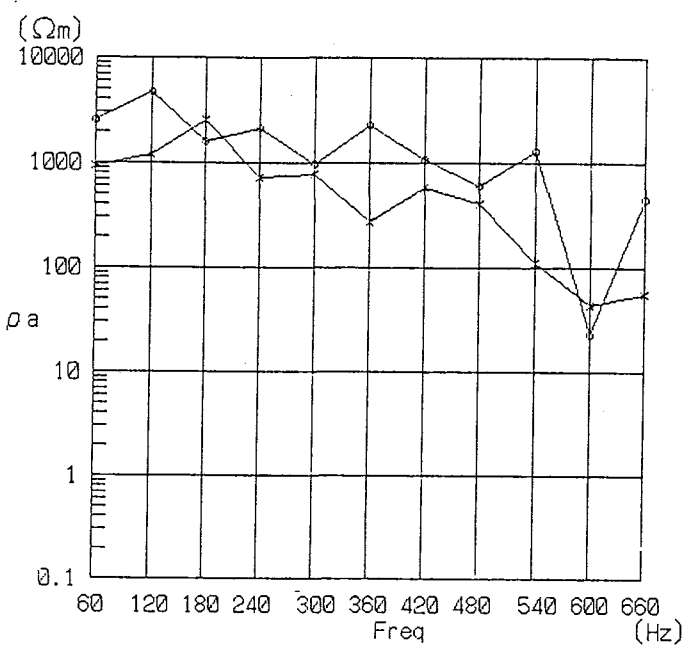
—x— —○—



STATION NO. 021



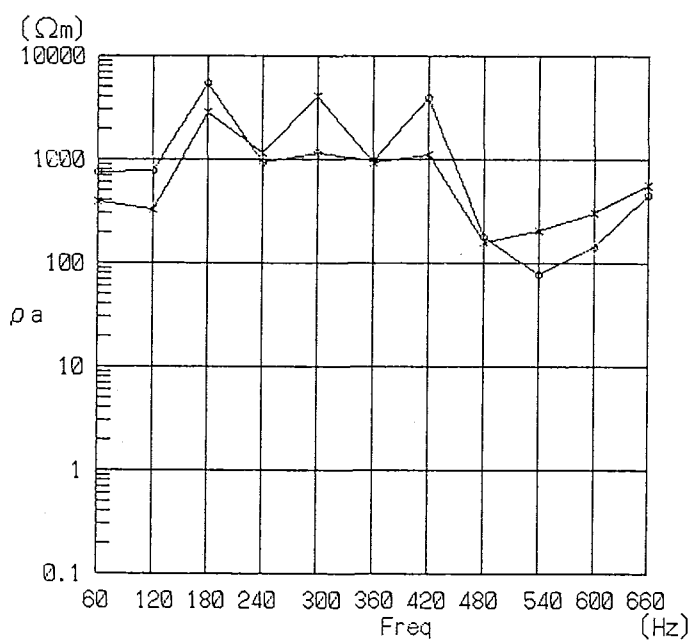
STATION NO. 022



STATION NO. 023

F (Hz)	$\rho_a (\Omega\text{m})$ N-S	$\rho_a (\Omega\text{m})$ E-W
60	924.0	2567.0
120	1186.0	4682.0
180	2580.0	1586.0
240	715.0	2119.0
300	778.0	974.0
360	278.0	2270.0
420	590.0	1070.0
480	405.0	609.0
540	112.0	1265.0
600	43.0	23.0
660	57.0	456.0

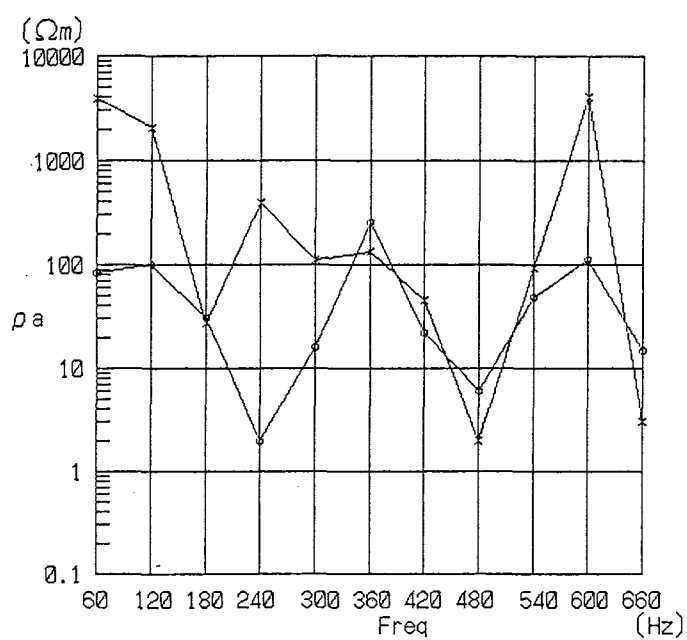
—x— —○—



STATION NO. 024

F (Hz)	$\rho_a (\Omega\text{m})$ N-S	$\rho_a (\Omega\text{m})$ E-W
60	386.0	755.0
120	327.0	776.0
180	2841.0	5446.0
240	1142.0	919.0
300	4079.0	1136.0
360	927.0	968.0
420	1109.0	3875.0
480	160.0	176.0
540	203.0	78.0
600	310.0	142.0
660	564.0	451.0

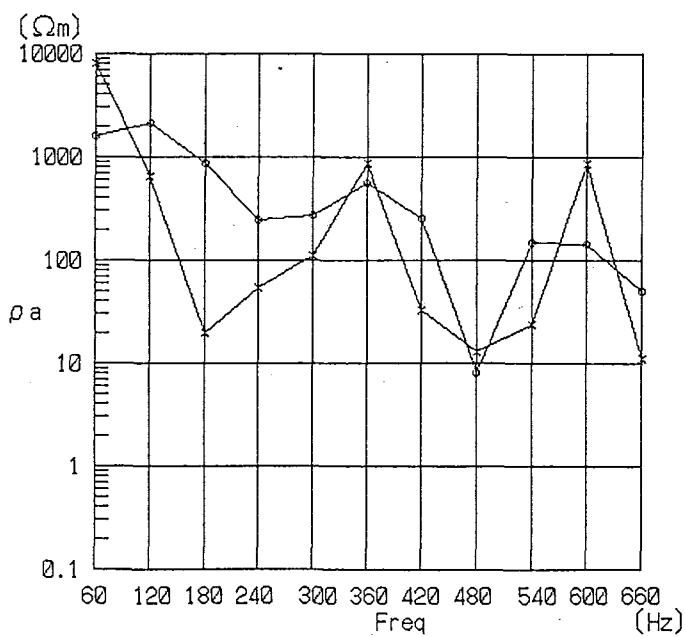
—x— —○—



STATION NO. 025

F(Hz)	$\rho_a (\Omega\text{m})$ N-S	$\rho_a (\Omega\text{m})$ E-W
60	3984.0	84.0
120	2078.0	101.0
180	27.0	30.0
240	393.0	2.0
300	113.0	16.0
360	131.0	254.0
420	46.0	22.0
480	2.0	6.0
540	93.0	48.0
600	4100.0	110.0
660	3.0	15.0

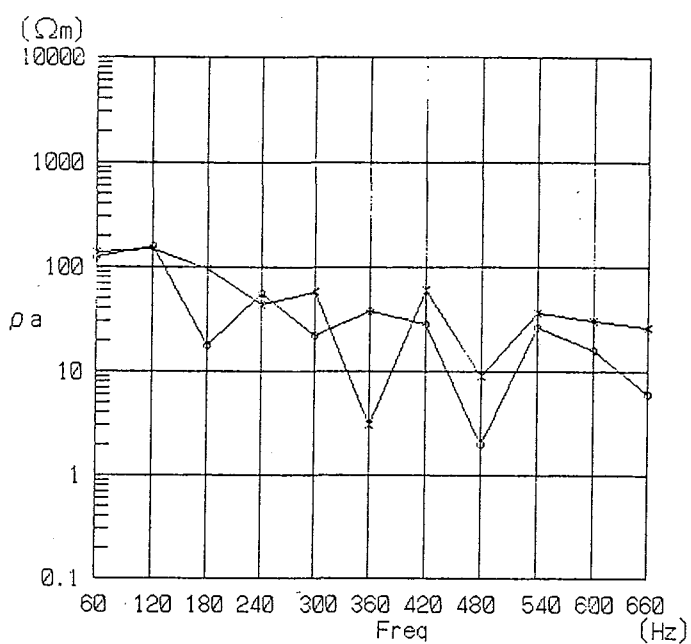
————— x ————— ————— o —————



STATION NO. 026

F(Hz)	$\rho_a (\Omega\text{m})$ N-S	$\rho_a (\Omega\text{m})$ E-W
60	7934.0	1597.0
120	645.0	2109.0
180	20.0	866.0
240	54.0	250.0
300	112.0	270.0
360	870.0	558.0
420	33.0	254.0
480	13.0	8.0
540	24.0	151.0
600	859.0	144.0
660	11.0	51.0

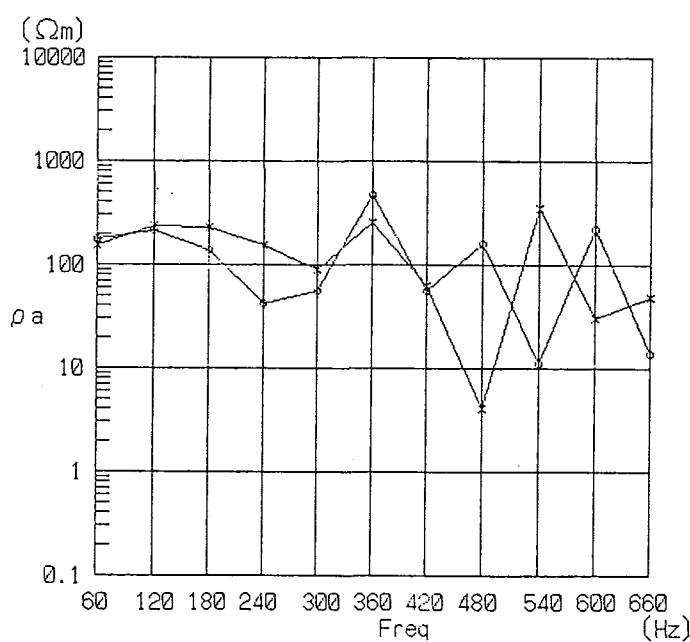
————— x ————— ————— o —————



STATION NO. 027

F(Hz)	ρ_a (Ωm) N-S	ρ_a (Ωm) E-W
60	140.0	125.0
120	150.0	159.0
180	96.0	18.0
240	44.0	56.0
300	58.0	22.0
360	3.0	38.0
420	61.0	28.0
480	9.0	2.0
540	37.0	26.0
600	30.0	16.0
660	26.0	6.0

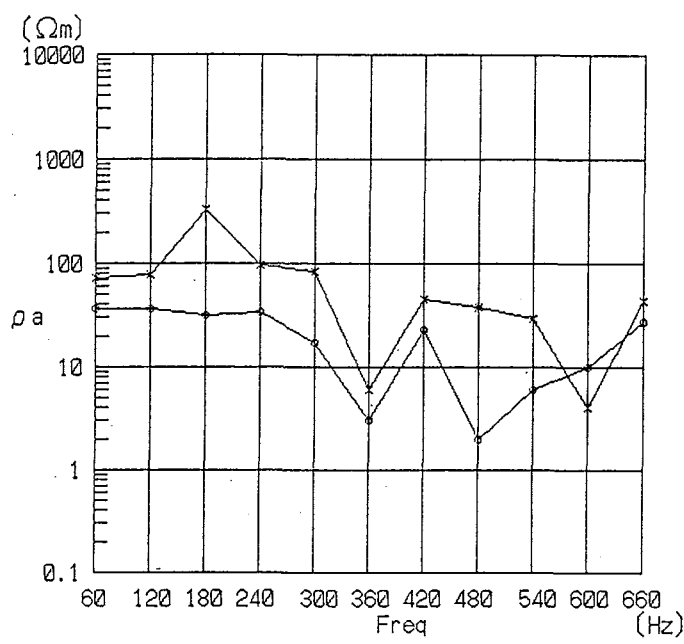
————— × ————— ○ —————



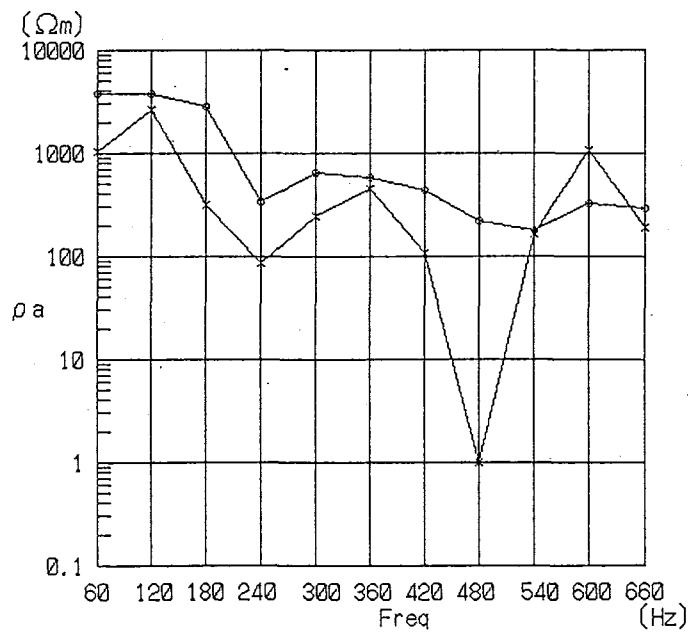
STATION NO. 028

F(Hz)	ρ_a (Ωm) N-S	ρ_a (Ωm) E-W
60	155.0	179.0
120	237.0	215.0
180	231.0	139.0
240	154.0	42.0
300	89.0	56.0
360	251.0	471.0
420	63.0	57.0
480	4.0	160.0
540	347.0	11.0
600	31.0	221.0
660	49.0	14.0

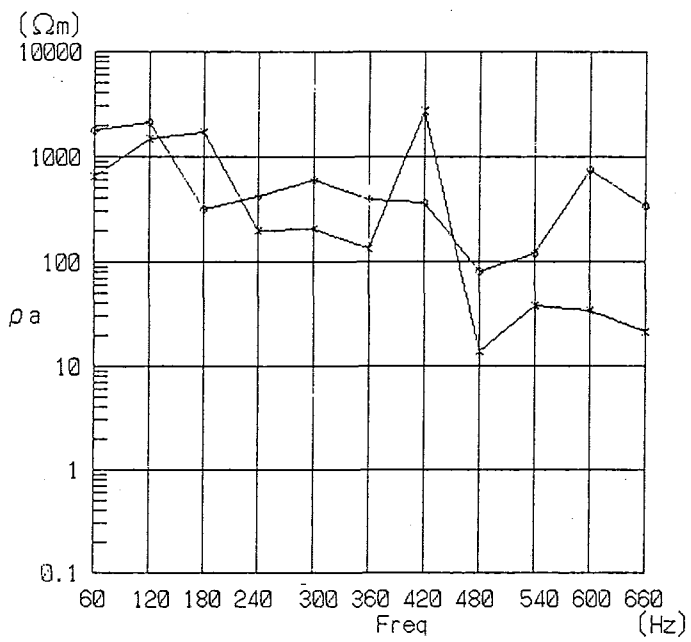
————— × ————— ○ —————



STATION NO. 029



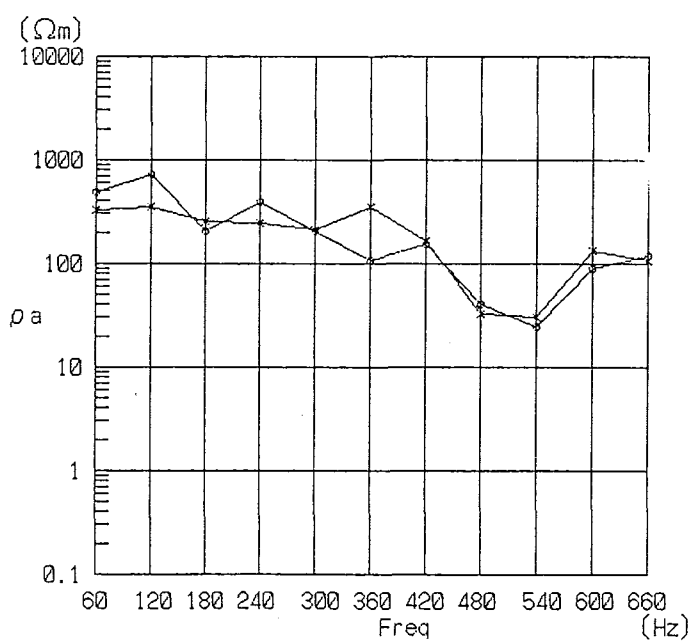
STATION NO. 030



STATION NO. 031

F (Hz)	ρ_a (Ωm) N-S	ρ_a (Ωm) E-W
60	651.0	1788.0
120	1484.0	2134.0
180	1729.0	317.0
240	200.0	418.0
300	204.0	615.0
360	131.0	399.0
420	2765.0	364.0
480	14.0	80.0
540	38.0	118.0
600	34.0	752.0
660	21.0	338.0

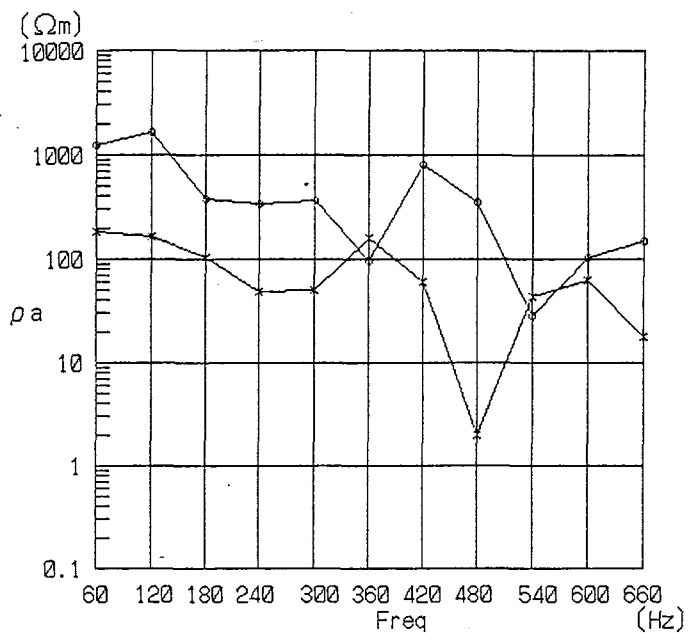
————— x ————— ————— o —————



STATION NO. 032

F (Hz)	ρ_a (Ωm) N-S	ρ_a (Ωm) E-W
60	329.0	494.0
120	351.0	715.0
180	251.0	209.0
240	245.0	398.0
300	212.0	206.0
360	347.0	108.0
420	166.0	156.0
480	33.0	41.0
540	31.0	25.0
600	131.0	90.0
660	106.0	121.0

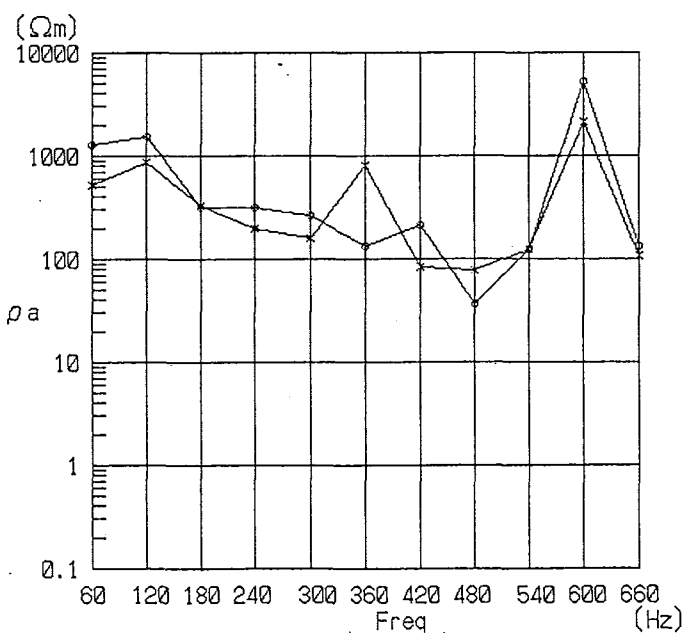
————— x ————— ————— o —————



STATION NO. 033

F(Hz)	ρ_a (Ωm)	N-S	E-W
60	183.0	1229.0	
120	163.0	1631.0	
180	104.0	377.0	
240	48.0	336.0	
300	50.0	371.0	
360	158.0	95.0	
420	60.0	796.0	
480	2.0	352.0	
540	43.0	28.0	
600	63.0	104.0	
660	18.0	149.0	

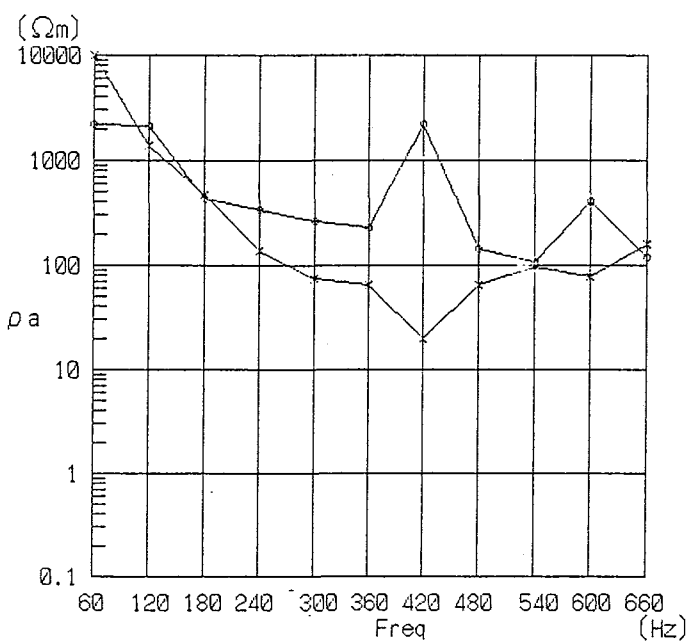
————— x ————— ————— o —————



STATION NO. 034

F(Hz)	ρ_a (Ωm)	N-S	E-W
60	527.0	1274.0	
120	870.0	1519.0	
180	329.0	320.0	
240	195.0	317.0	
300	159.0	262.0	
360	804.0	134.0	
420	83.0	215.0	
480	79.0	36.0	
540	122.0	126.0	
600	2095.0	5304.0	
660	108.0	131.0	

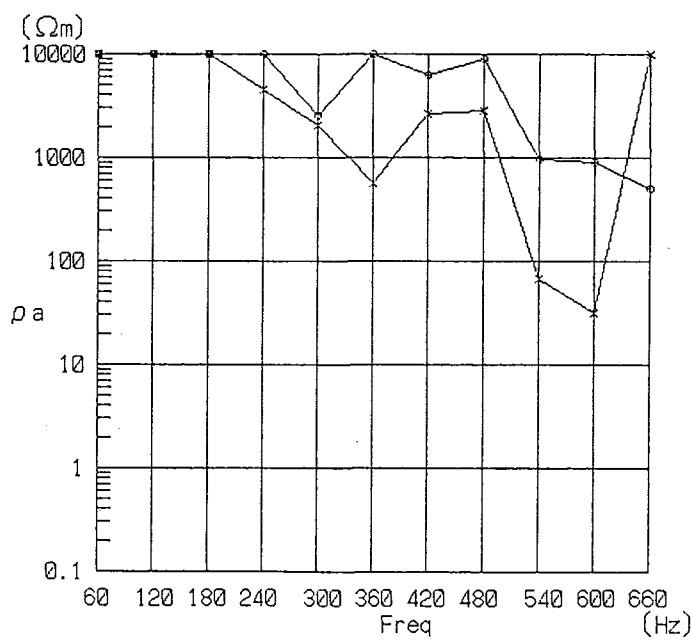
————— x ————— ————— o —————



STATION NO. 035

F(Hz)	$\rho_a (\Omega\text{m})$ N-S	$\rho_a (\Omega\text{m})$ E-W
60	10000.0	2237.0
120	1372.0	2124.0
180	462.0	439.0
240	138.0	337.0
300	76.0	264.0
360	64.0	229.0
420	20.0	2184.0
480	66.0	141.0
540	98.0	106.0
600	79.0	403.0
660	162.0	118.0

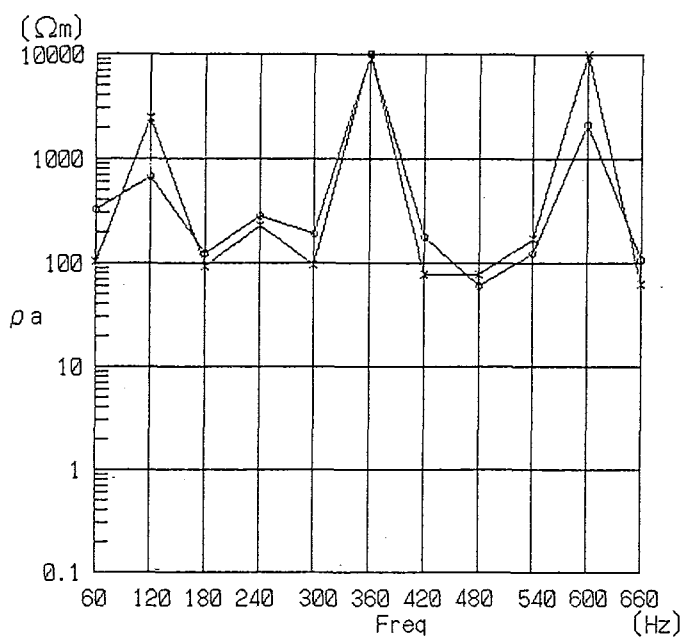
↔ →



STATION NO. 036

F(Hz)	$\rho_a (\Omega\text{m})$ N-S	$\rho_a (\Omega\text{m})$ E-W
60	10000.0	10000.0
120	10000.0	10000.0
180	10000.0	10000.0
240	4582.0	10000.0
300	2020.0	2506.0
360	571.0	10000.0
420	2650.0	6354.0
480	2850.0	8882.0
540	68.0	982.0
600	32.0	907.0
660	10000.0	513.0

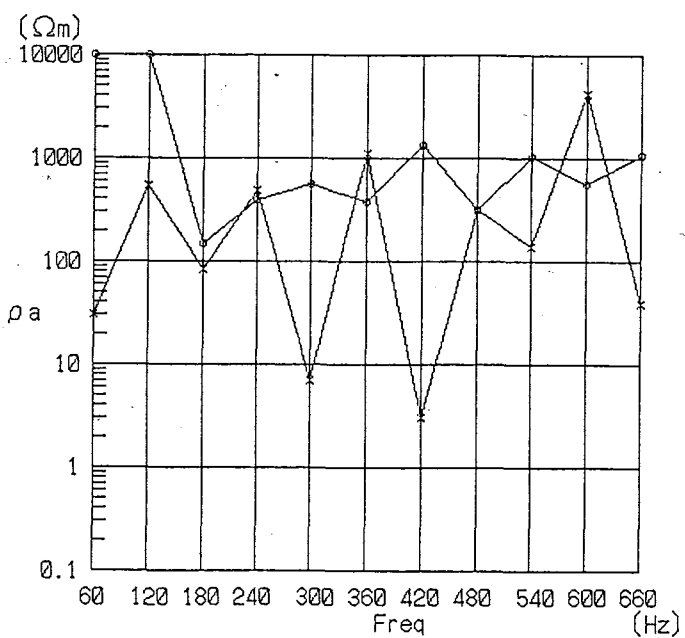
↔ →



STATION NO. 037

F(Hz)	ρ a (Ωm)	
N-S	E-W	
60	105.0	323.0
120	2454.0	672.0
180	93.0	123.0
240	229.0	289.0
300	95.0	193.0
360	10000.0	10000.0
420	79.0	180.0
480	77.0	61.0
540	169.0	124.0
600	10000.0	2139.0
660	63.0	106.0

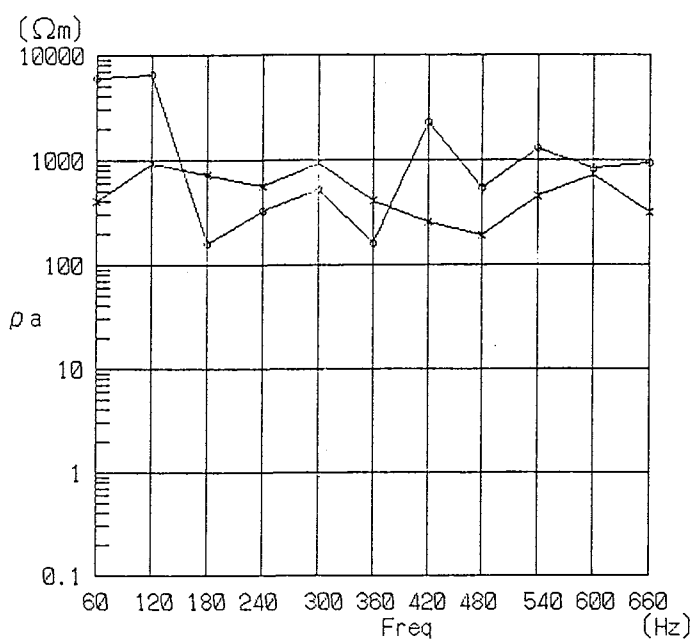
————— x ————— o —————



STATION NO. 038

F(Hz)	ρ a (Ωm)	
N-S	E-W	
60	30.0	10000.0
120	547.0	10000.0
180	84.0	149.0
240	494.0	387.0
300	7.0	569.0
360	1117.0	385.0
420	3.0	1316.0
480	317.0	318.0
540	138.0	1023.0
600	4237.0	555.0
660	39.0	1086.0

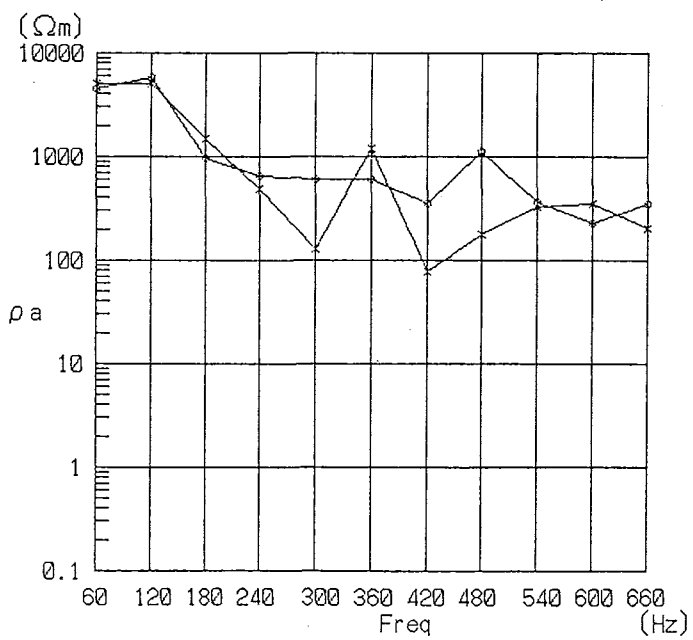
————— x ————— o —————



STATION NO. 039

F(Hz)	$\rho_a (\Omega\text{m})$	
N-S	E-W	
60	412.0	5954.0
120	923.0	6386.0
180	715.0	162.0
240	555.0	323.0
300	914.0	517.0
360	406.0	159.0
420	252.0	2230.0
480	190.0	539.0
540	454.0	1270.0
600	731.0	823.0
660	311.0	929.0

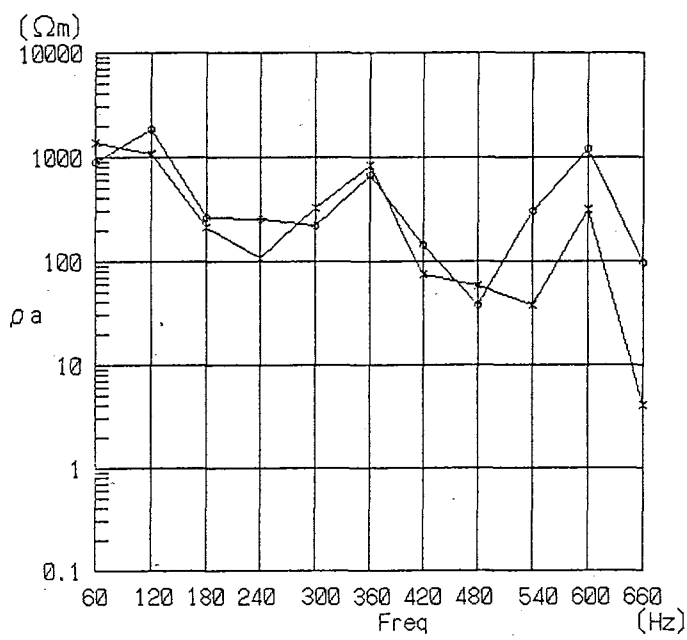
————— x ————— ————— o —————



STATION NO. 040

F(Hz)	$\rho_a (\Omega\text{m})$	
N-S	E-W	
60	5043.0	4480.0
120	5091.0	5916.0
180	1474.0	953.0
240	495.0	648.0
300	128.0	601.0
360	1200.0	610.0
420	77.0	354.0
480	177.0	1104.0
540	333.0	371.0
600	357.0	226.0
660	205.0	349.0

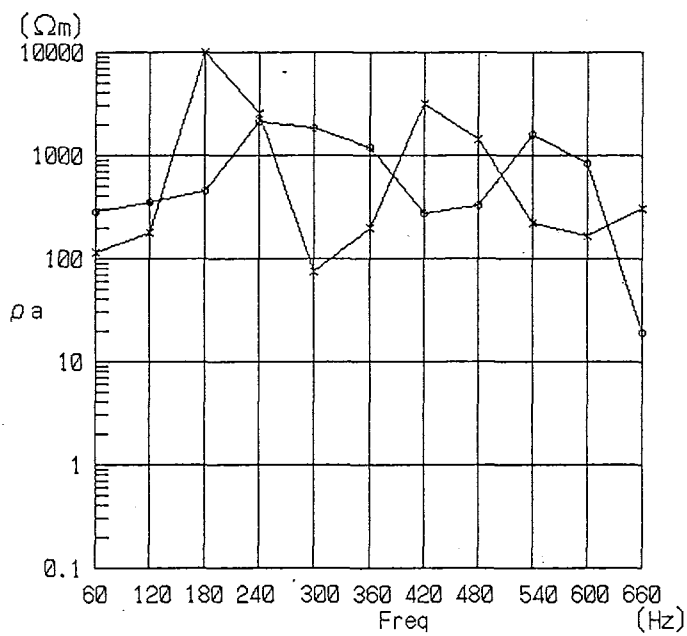
————— x ————— ————— o —————



STATION NO. 041

F(Hz)	$\rho_a(\Omega\text{m})$	
	N-S	E-W
60	1364.0	907.0
120	1057.0	1862.0
180	211.0	263.0
240	106.0	253.0
300	327.0	221.0
360	829.0	669.0
420	74.0	141.0
480	59.0	38.0
540	38.0	305.0
600	314.0	1180.0
660	4.0	95.0

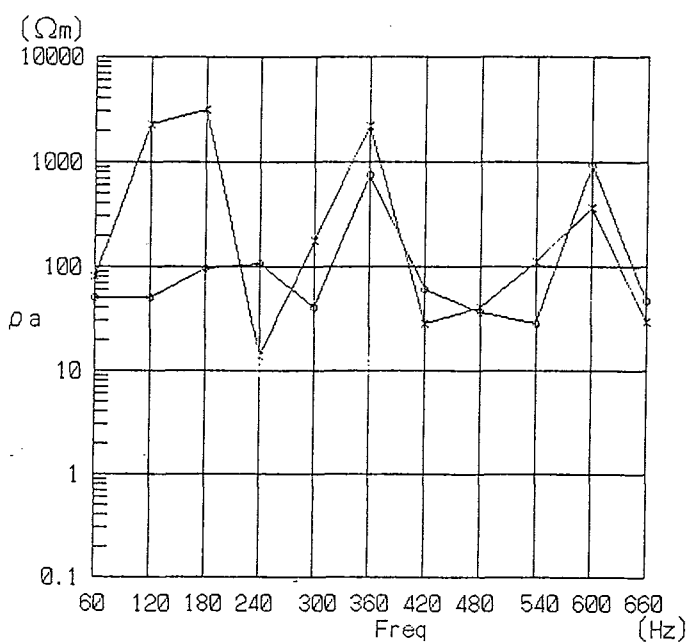
————— × ————— ◊—————



STATION NO. 042

F(Hz)	$\rho_a(\Omega\text{m})$	
	N-S	E-W
60	115.0	288.0
120	180.0	347.0
180	10000.0	454.0
240	2517.0	2113.0
300	74.0	1839.0
360	196.0	1182.0
420	3132.0	274.0
480	1451.0	332.0
540	220.0	1622.0
600	168.0	821.0
660	310.0	19.0

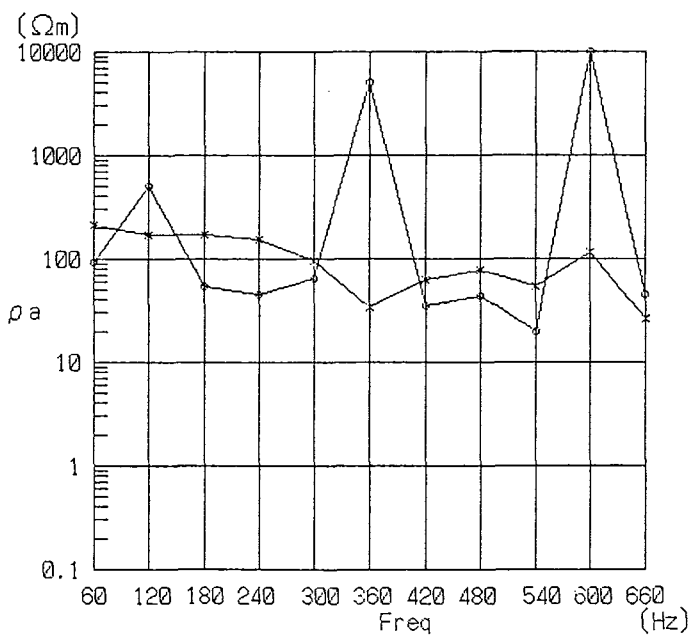
————— × ————— ◊—————



STATION NO. 043

F (Hz)	$\rho_a (\Omega\text{m})$	
	N-S	E-W
60	82.0	51.0
120	2270.0	50.0
180	3212.0	96.0
240	14.0	107.0
300	179.0	40.0
360	2242.0	738.0
420	28.0	60.0
480	41.0	36.0
540	111.0	28.0
600	366.0	926.0
660	29.0	47.0

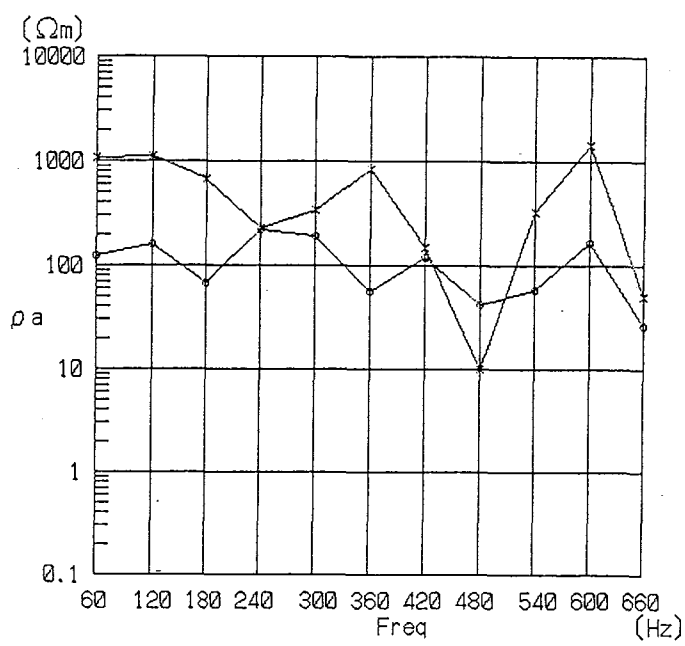
————— x ————— —— o ——



STATION NO. 044

F (Hz)	$\rho_a (\Omega\text{m})$	
	N-S	E-W
60	213.0	93.0
120	170.0	501.0
180	173.0	55.0
240	153.0	45.0
300	95.0	64.0
360	34.0	5067.0
420	62.0	35.0
480	79.0	44.0
540	55.0	20.0
600	117.0	10000.0
660	26.0	46.0

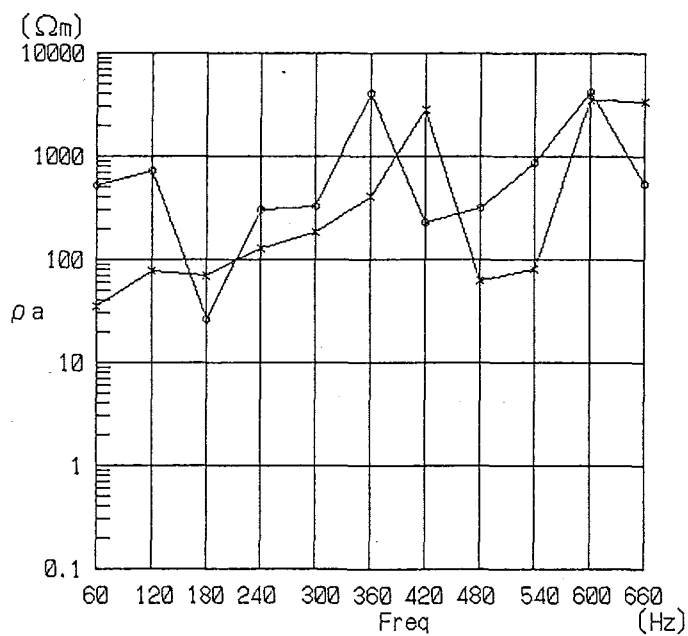
————— x ————— —— o ——



STATION NO. 045

F(Hz)	ρ_a (Ωm)	
	N-S	E-W
60	1073.0	126.0
120	1130.0	161.0
180	680.0	68.0
240	230.0	223.0
300	337.0	191.0
360	846.0	56.0
420	148.0	118.0
480	10.0	42.0
540	333.0	59.0
600	1447.0	168.0
660	50.0	26.0

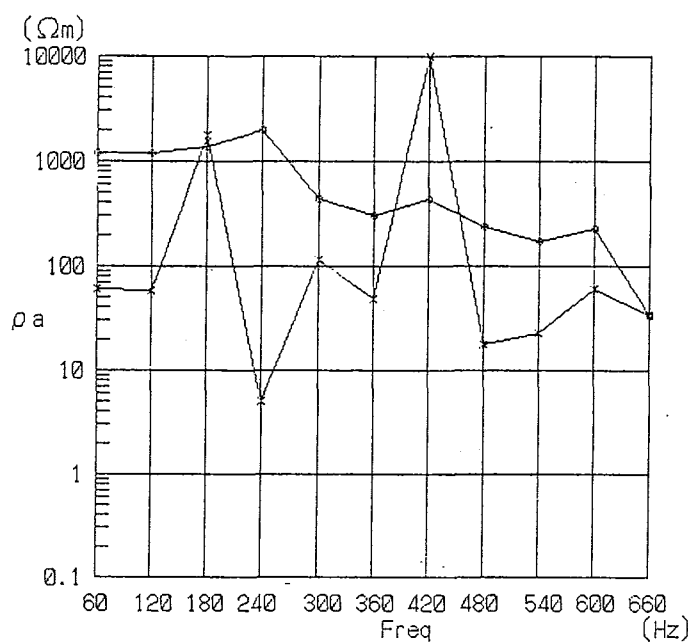
————— x —————



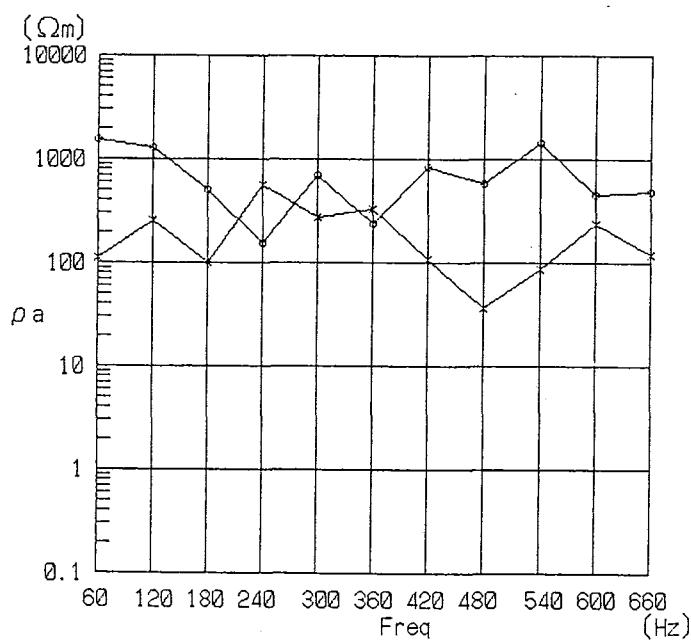
STATION NO. 046

F(Hz)	ρ_a (Ωm)	
	N-S	E-W
60	35.0	518.0
120	78.0	716.0
180	69.0	26.0
240	128.0	302.0
300	182.0	328.0
360	412.0	4020.0
420	2848.0	229.0
480	62.0	315.0
540	81.0	855.0
600	3534.0	4214.0
660	3341.0	545.0

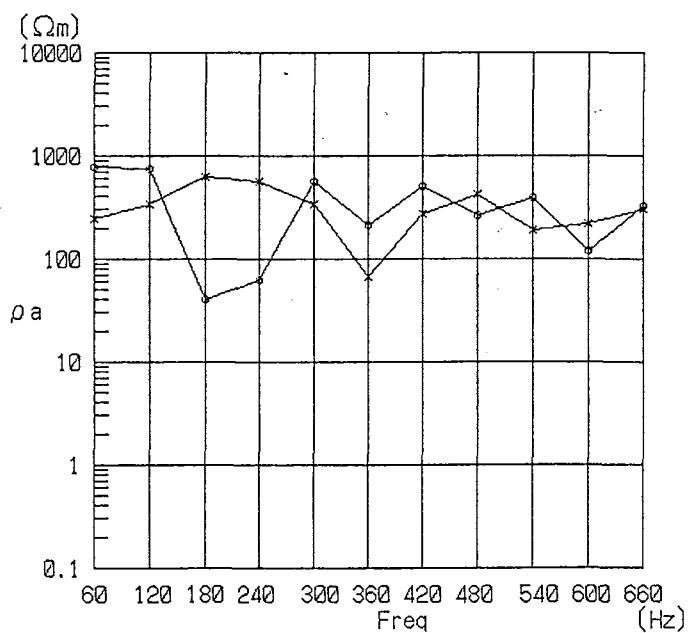
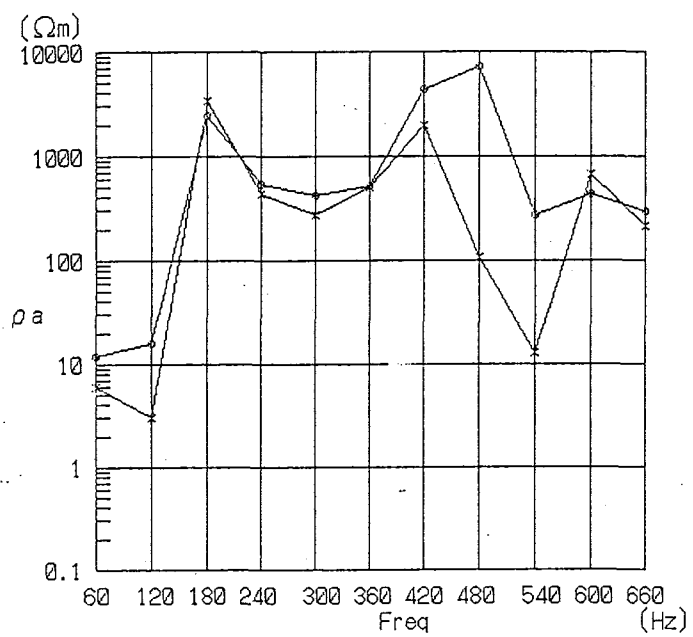
————— x —————

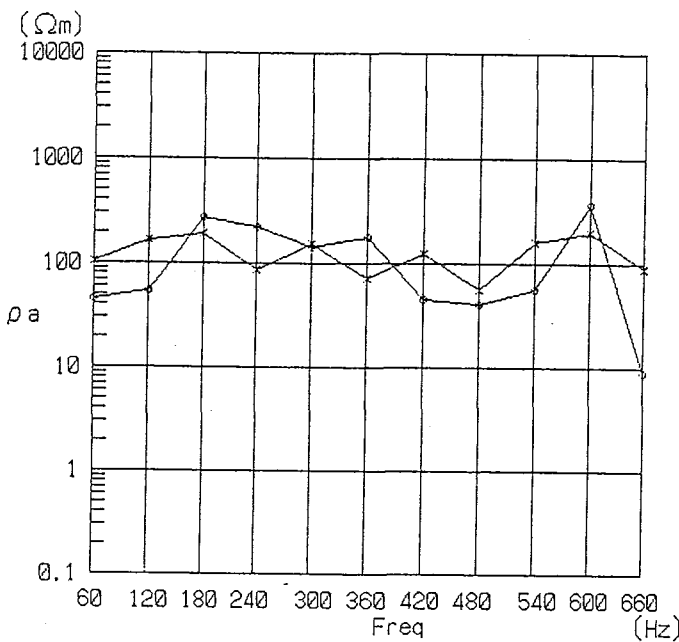


STATION NO. 047



STATION NO. 048

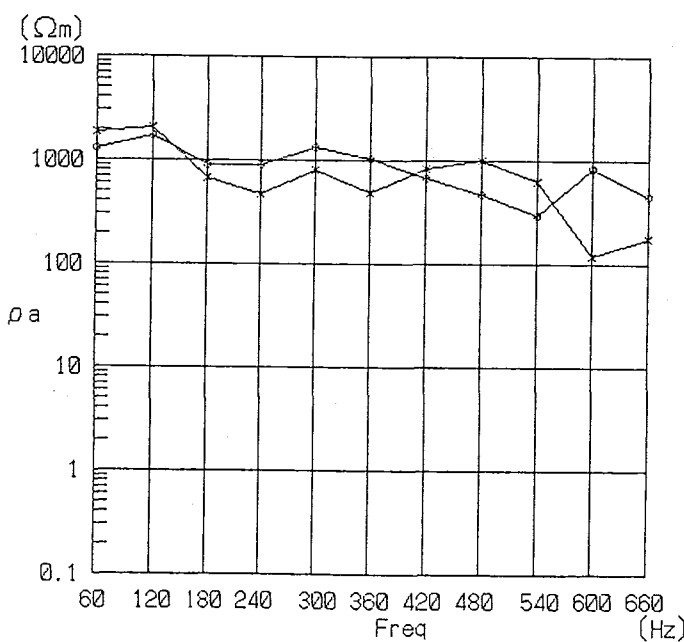




STATION NO. 051

F(Hz)	ρ_a (Ωm) N-S	ρ_a (Ωm) E-W
60	104.0	46.0
120	166.0	54.0
180	193.0	276.0
240	87.0	217.0
300	155.0	145.0
360	72.0	178.0
420	122.0	45.0
480	57.0	41.0
540	157.0	57.0
600	201.0	359.0
660	89.0	9.0

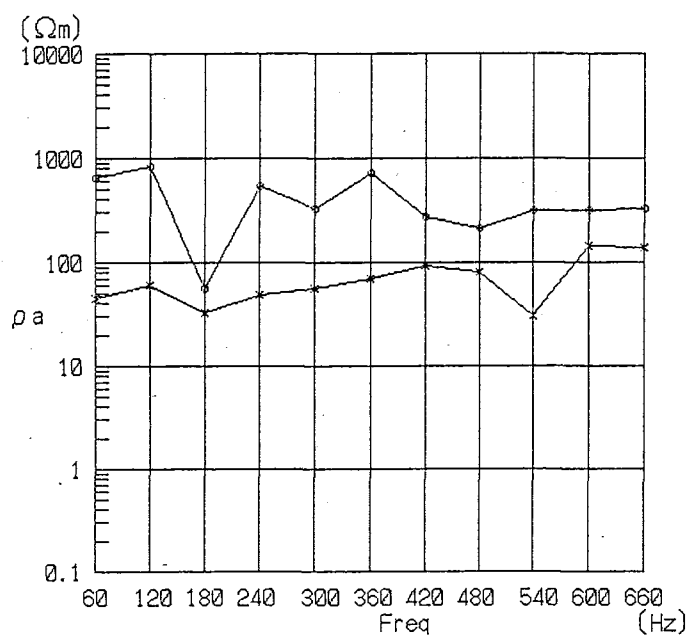
————— x ————— ————— o —————



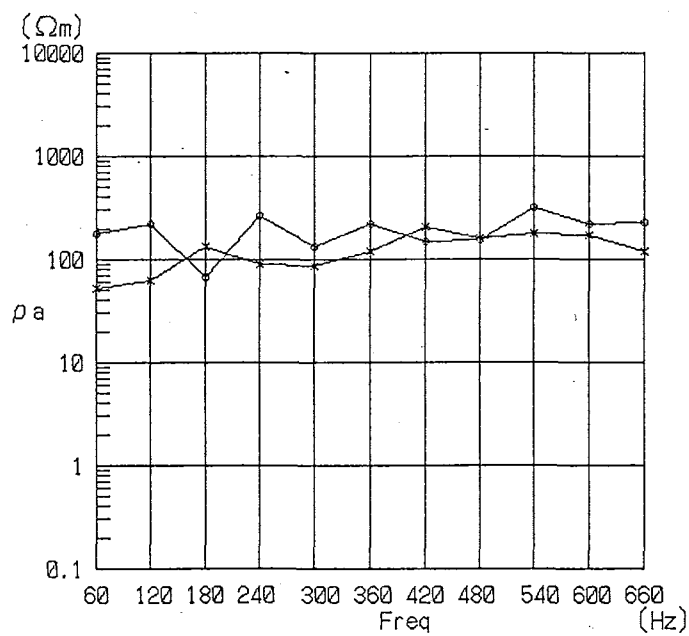
STATION NO. 052

F(Hz)	ρ_a (Ωm) N-S	ρ_a (Ωm) E-W
60	1852.0	1301.0
120	2048.0	1733.0
180	665.0	884.0
240	463.0	907.0
300	801.0	1338.0
360	495.0	1024.0
420	832.0	680.0
480	1008.0	463.0
540	630.0	291.0
600	120.0	839.0
660	175.0	455.0

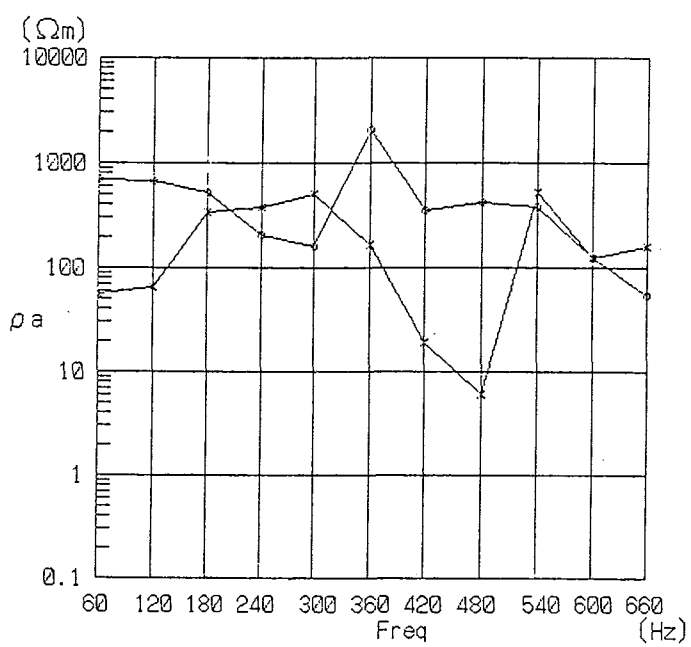
————— x ————— ————— o —————



STATION NO. 053



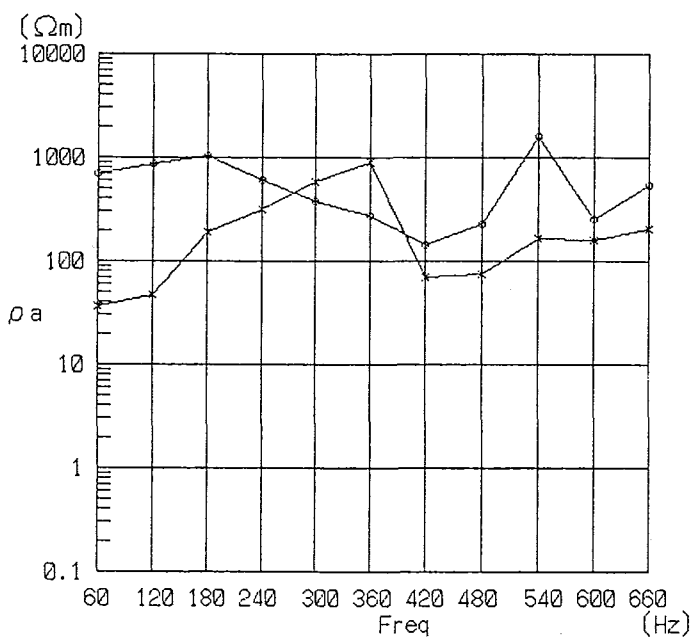
STATION NO. 054



F (Hz) ρ_a (Ωm)
N-S E-W

60	56.0	701.0
120	66.0	672.0
180	341.0	521.0
240	378.0	207.0
300	505.0	158.0
360	163.0	2045.0
420	19.0	350.0
480	6.0	426.0
540	521.0	376.0
600	122.0	124.0
660	160.0	54.0

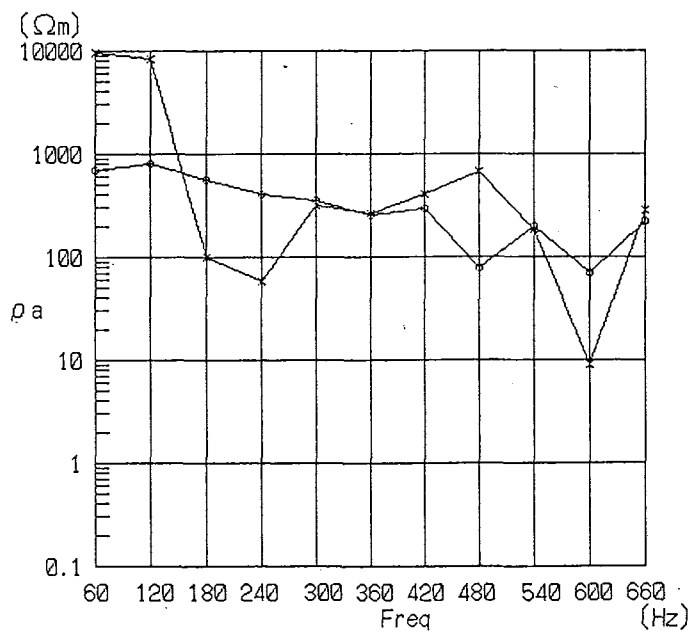
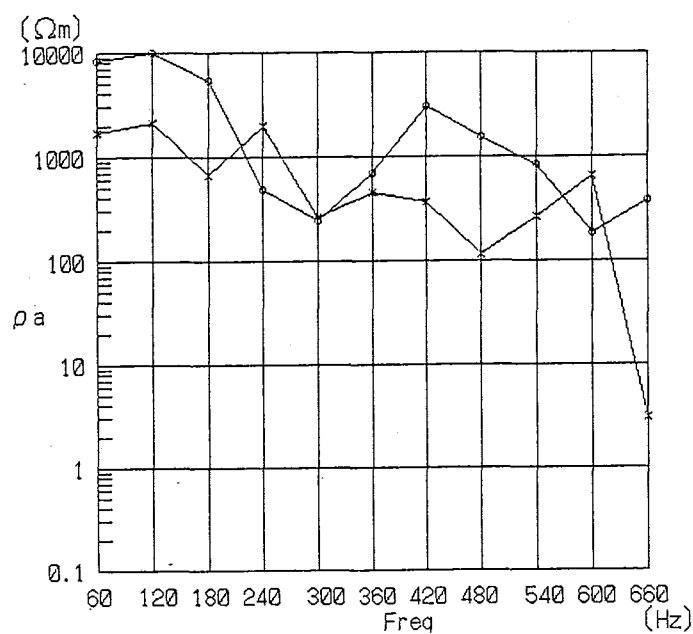
————— × ————— —○—

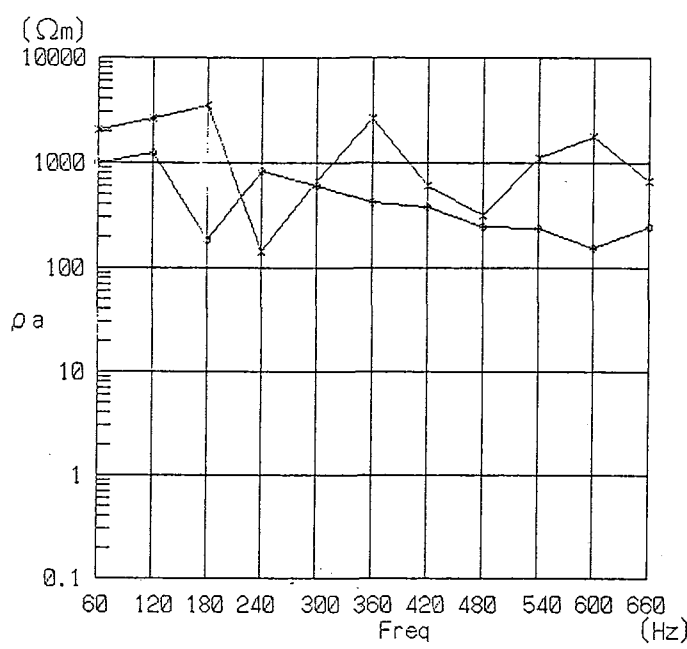


F (Hz) ρ_a (Ωm)
N-S E-W

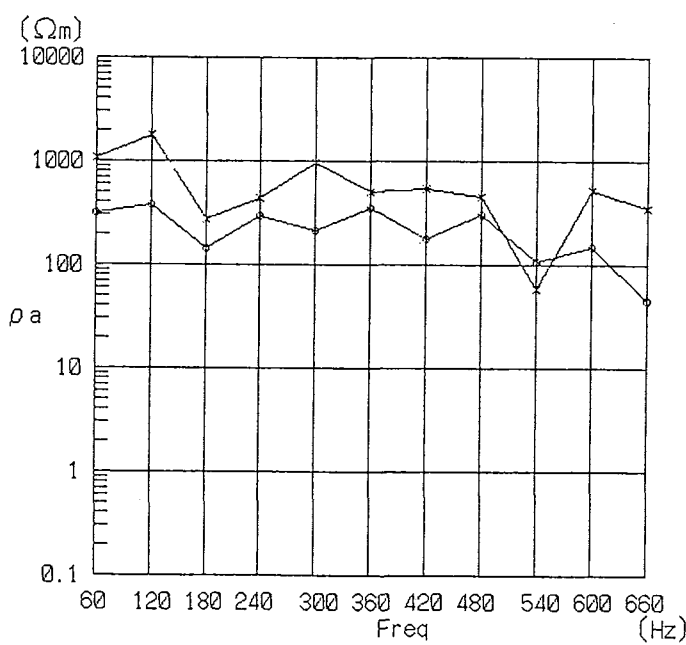
60	36.0	688.0
120	47.0	868.0
180	192.0	1019.0
240	315.0	608.0
300	586.0	381.0
360	883.0	276.0
420	69.0	145.0
480	76.0	225.0
540	167.0	1581.0
600	161.0	256.0
660	207.0	543.0

————— × ————— —○—

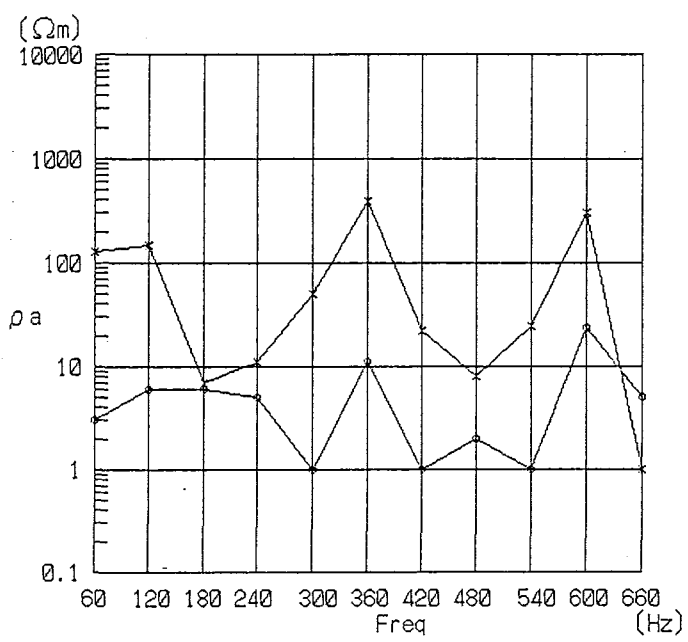




STATION NO. 059



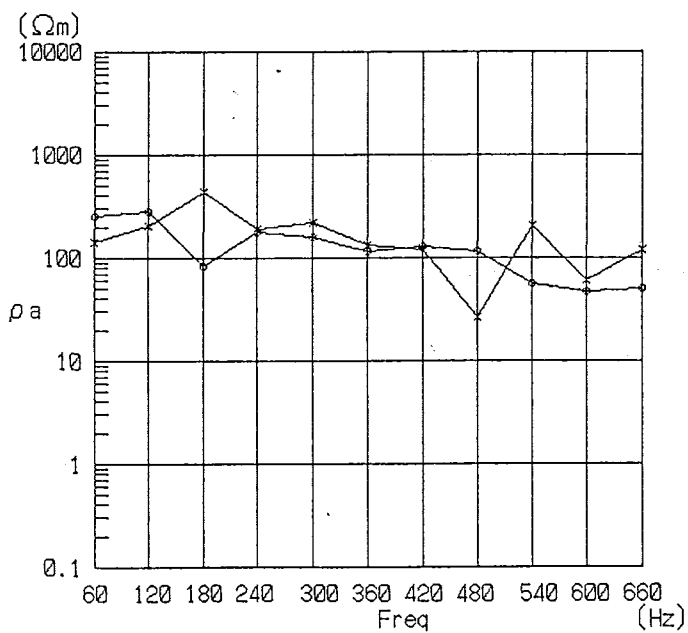
STATION NO. 060



STATION NO. 061

F(Hz)	$\rho_a(\Omega\text{m})$	
N-S	E-W	
60	130.0	3.0
120	147.0	6.0
180	7.0	6.0
240	11.0	5.0
300	50.0	1.0
360	388.0	11.0
420	22.0	1.0
480	8.0	2.0
540	25.0	1.0
600	306.0	24.0
660	1.0	5.0

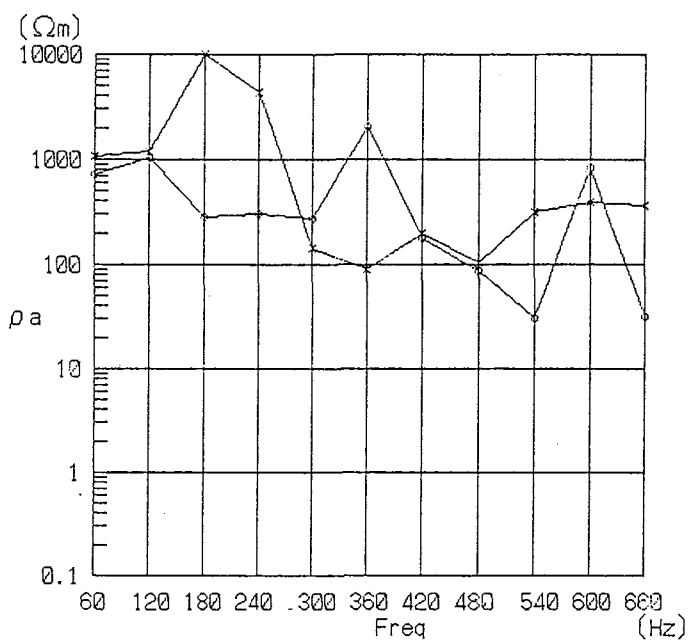
————— x ————— o —————



STATION NO. 062

F(Hz)	$\rho_a(\Omega\text{m})$	
N-S	E-W	
60	144.0	257.0
120	202.0	285.0
180	430.0	84.0
240	194.0	176.0
300	224.0	160.0
360	131.0	117.0
420	119.0	128.0
480	26.0	115.0
540	205.0	56.0
600	60.0	47.0
660	118.0	51.0

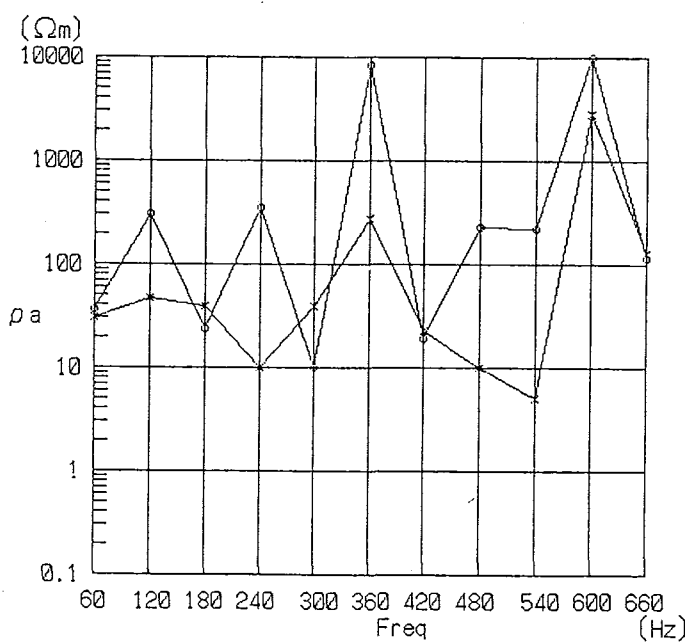
————— x ————— o —————



STATION NO. 063

F(Hz)	ρ_a (Ωm) N-S	ρ_a (Ωm) E-W
60	1088.0	718.0
120	1197.0	1049.0
180	10000.0	279.0
240	4354.0	304.0
300	144.0	275.0
360	91.0	2080.0
420	201.0	181.0
480	105.0	86.0
540	312.0	30.0
600	386.0	822.0
660	364.0	32.0

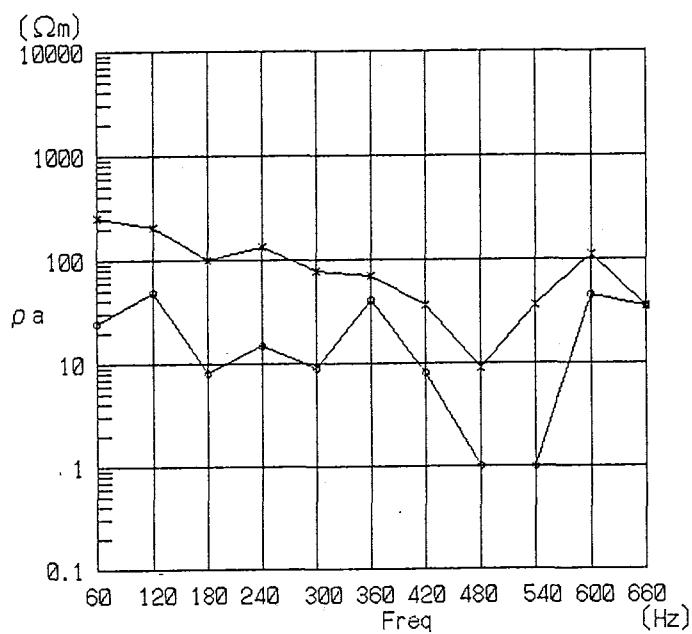
x—x o—o



STATION NO. 064

F(Hz)	ρ_a (Ωm) N-S	ρ_a (Ωm) E-W
60	31.0	37.0
120	47.0	306.0
180	39.0	24.0
240	10.0	355.0
300	39.0	10.0
360	273.0	8459.0
420	23.0	19.0
480	10.0	230.0
540	5.0	218.0
600	2825.0	10000.0
660	128.0	114.0

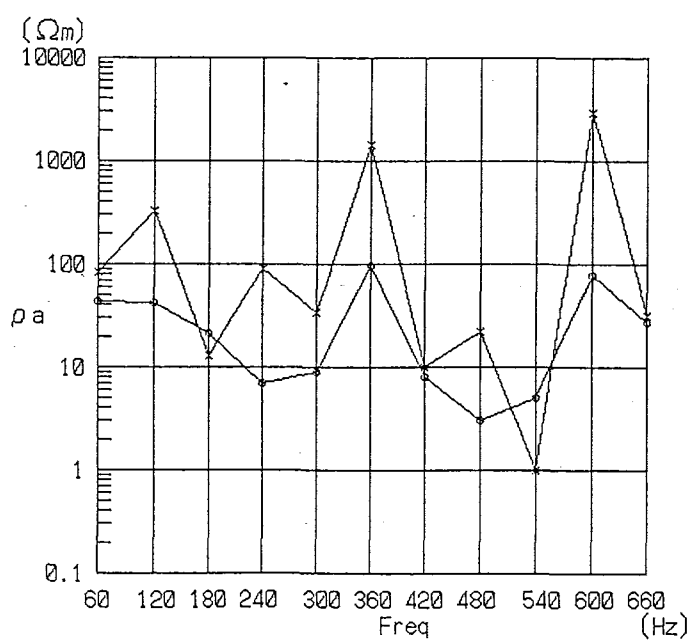
x—x o—o



STATION NO. 065

F (Hz)	ρ_a (Ω_m) N-S	ρ_a (Ω_m) E-W
60	251.0	25.0
120	205.0	48.0
180	101.0	8.0
240	131.0	15.0
300	78.0	9.0
360	70.0	40.0
420	37.0	8.0
480	9.0	1.0
540	36.0	1.0
600	113.0	45.0
660	35.0	35.0

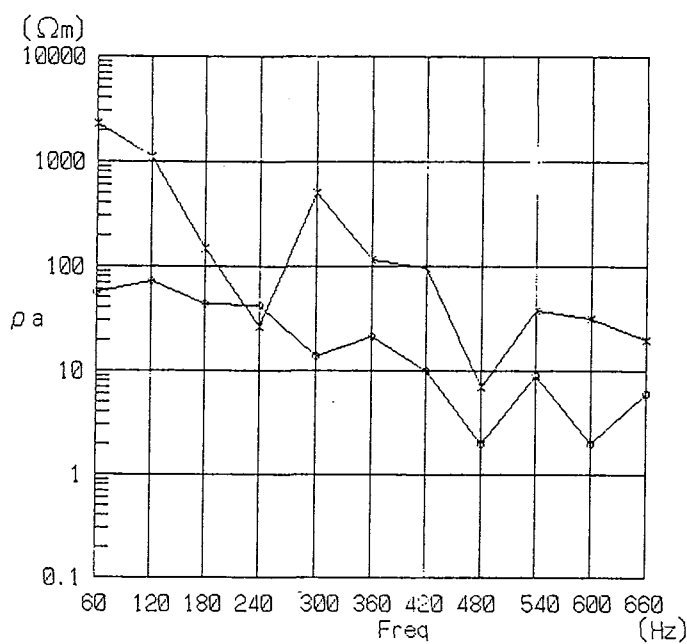
————— x ————— o —————



STATION NO. 066

F (Hz)	ρ_a (Ω_m) N-S	ρ_a (Ω_m) E-W
60	85.0	44.0
120	326.0	42.0
180	13.0	21.0
240	90.0	7.0
300	34.0	9.0
360	1450.0	98.0
420	10.0	8.0
480	22.0	3.0
540	1.0	5.0
600	2944.0	77.0
660	32.0	27.0

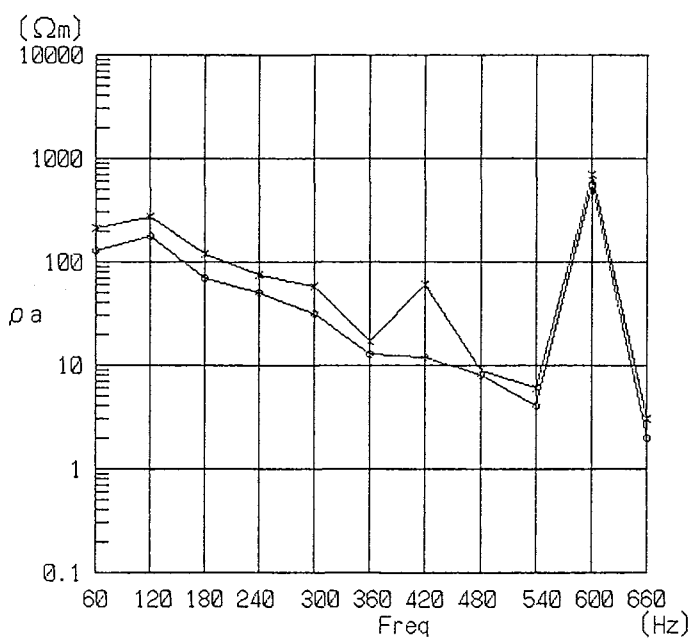
————— x ————— o —————



STATION NO. 067

F(Hz)	$\rho_a (\Omega\text{m})$ N-S	$\rho_a (\Omega\text{m})$ E-W
60	2329.0	56.0
120	1117.0	73.0
180	146.0	43.0
240	26.0	42.0
300	497.0	14.0
360	116.0	21.0
420	96.0	10.0
480	7.0	2.0
540	38.0	9.0
600	32.0	2.0
660	20.0	6.0

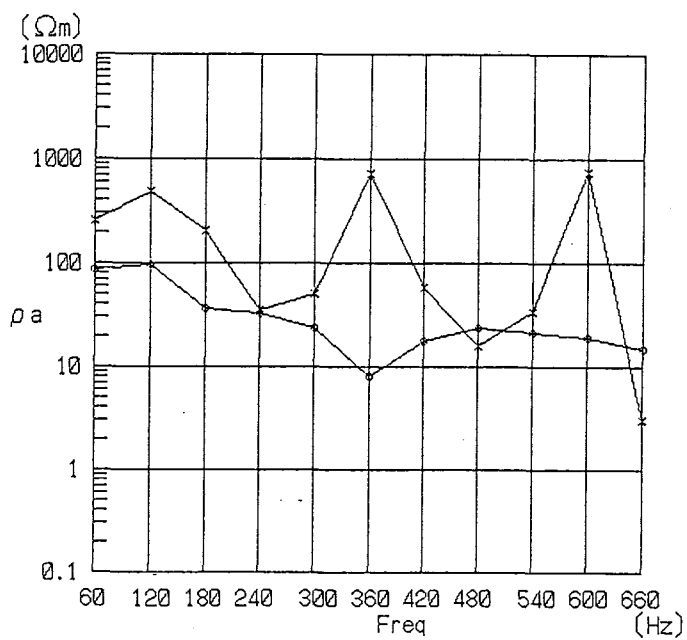
↔ ↔ ○○



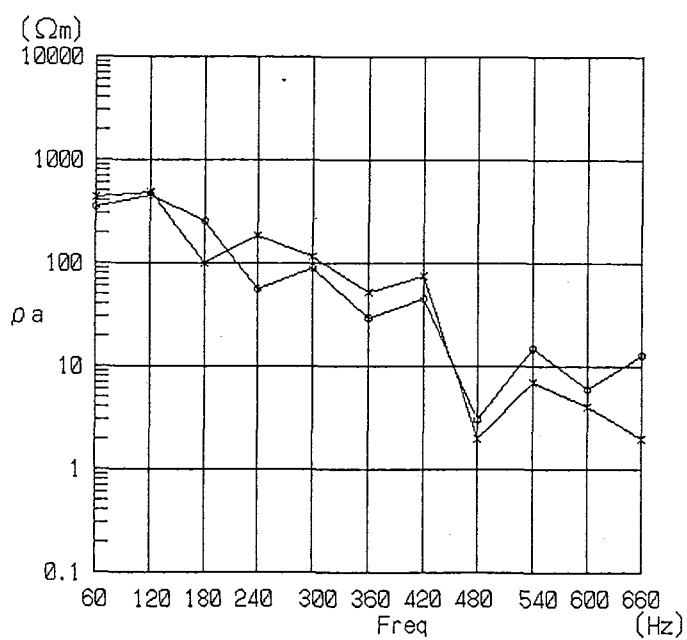
STATION NO. 068

F(Hz)	$\rho_a (\Omega\text{m})$ N-S	$\rho_a (\Omega\text{m})$ E-W
60	214.0	127.0
120	277.0	178.0
180	118.0	71.0
240	76.0	51.0
300	59.0	32.0
360	17.0	13.0
420	60.0	12.0
480	9.0	8.0
540	6.0	4.0
600	709.0	568.0
660	3.0	2.0

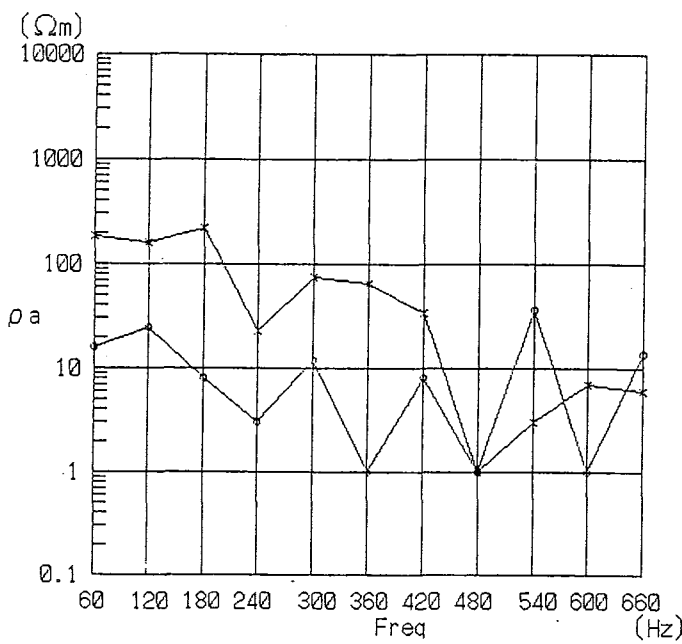
↔ ↔ ○○



STATION NO. 069



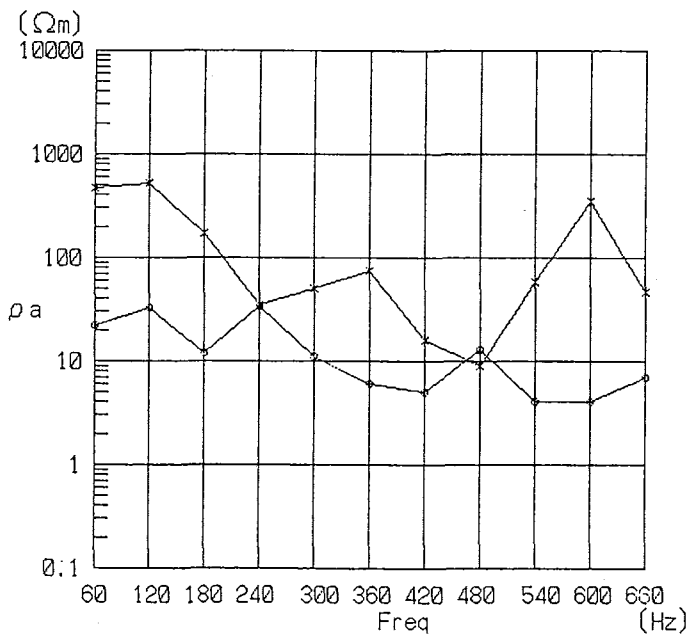
STATION NO. 070



STATION NO. 071

F(Hz)	$\rho_a(\Omega\text{m})$	
	N-S	E-W
60	187.0	16.0
120	158.0	25.0
180	222.0	8.0
240	23.0	3.0
300	75.0	12.0
360	66.0	1.0
420	34.0	8.0
480	1.0	1.0
540	3.0	37.0
600	7.0	1.0
660	6.0	14.0

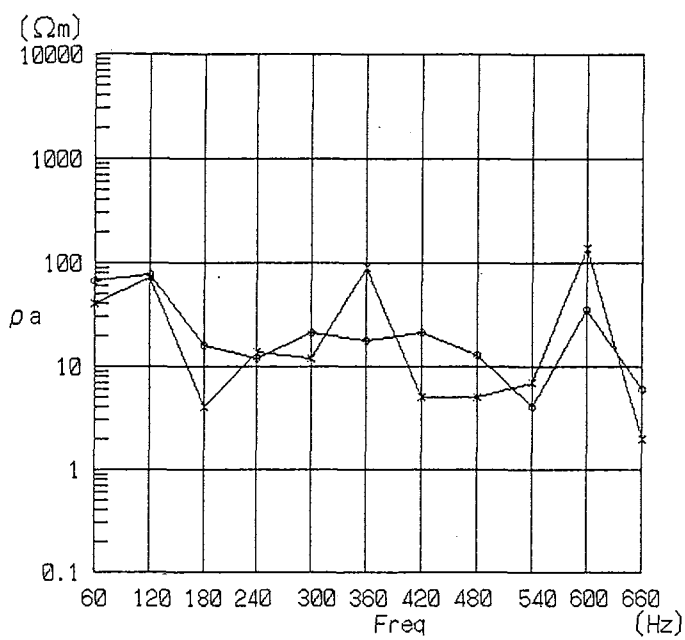
————— x —————— o ——————



STATION NO. 072

F(Hz)	$\rho_a(\Omega\text{m})$	
	N-S	E-W
60	466.0	22.0
120	517.0	33.0
180	174.0	12.0
240	35.0	34.0
300	51.0	11.0
360	76.0	6.0
420	16.0	5.0
480	9.0	13.0
540	59.0	4.0
600	353.0	4.0
660	47.0	7.0

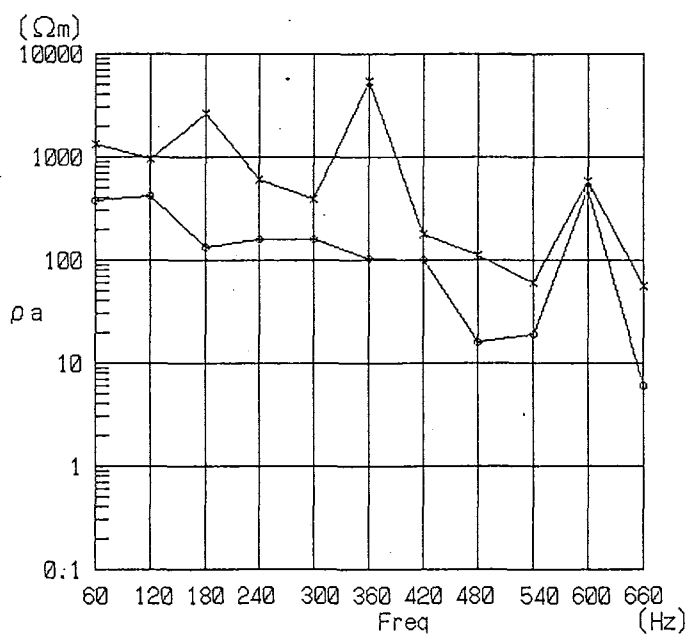
————— x —————— o ——————



STATION NO. 073

F(Hz)	$\rho_a (\Omega\text{m})$ N-S	$\rho_a (\Omega\text{m})$ E-W
60	40.0	68.0
120	73.0	78.0
180	4.0	16.0
240	14.0	12.0
300	12.0	21.0
360	91.0	18.0
420	5.0	21.0
480	5.0	13.0
540	7.0	4.0
600	139.0	35.0
660	2.0	6.0

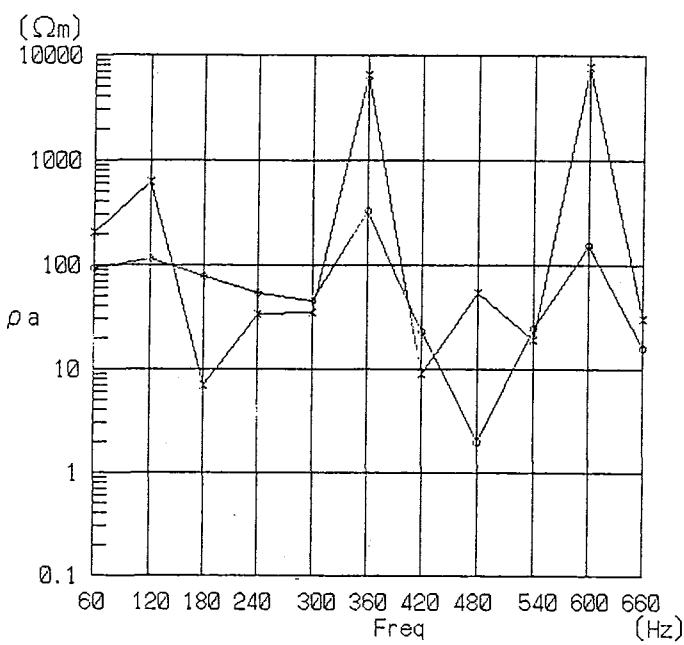
—————
x ——
○ ——



STATION NO. 074

F(Hz)	$\rho_a (\Omega\text{m})$ N-S	$\rho_a (\Omega\text{m})$ E-W
60	1356.0	383.0
120	981.0	424.0
180	2663.0	134.0
240	601.0	157.0
300	392.0	161.0
360	5453.0	104.0
420	178.0	100.0
480	110.0	16.0
540	60.0	19.0
600	579.0	485.0
660	56.0	6.0

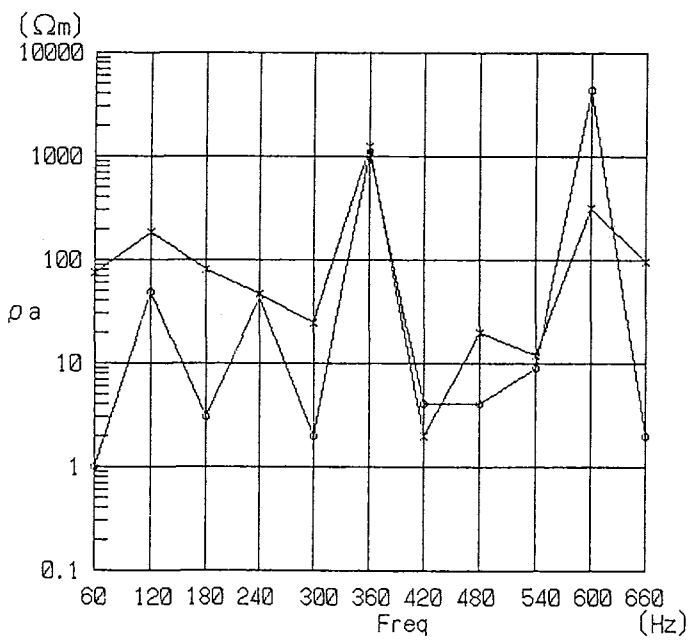
—————
x ——
○ ——



STATION NO. 075

F(Hz)	ρ_a (Ωm)	
	N-S	E-W
60	209.0	93.0
120	627.0	115.0
180	7.0	79.0
240	34.0	54.0
300	35.0	45.0
360	6529.0	331.0
420	9.0	23.0
480	54.0	2.0
540	19.0	25.0
600	7738.0	154.0
660	31.0	16.0

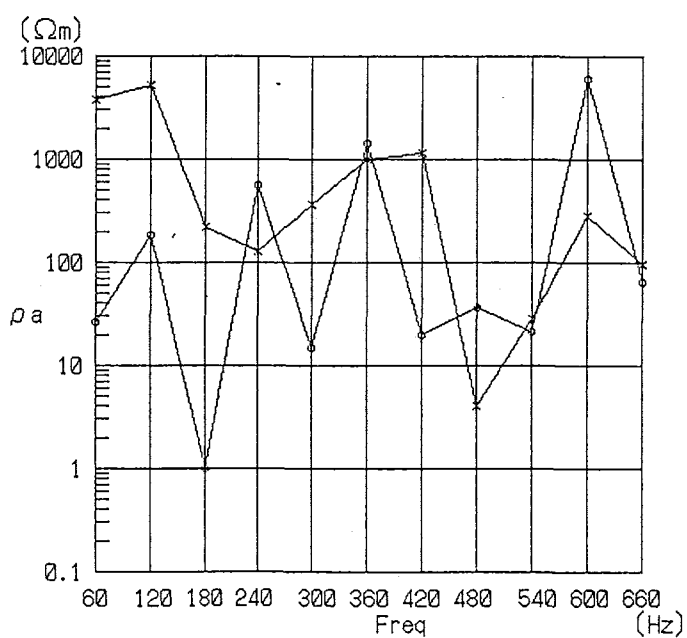
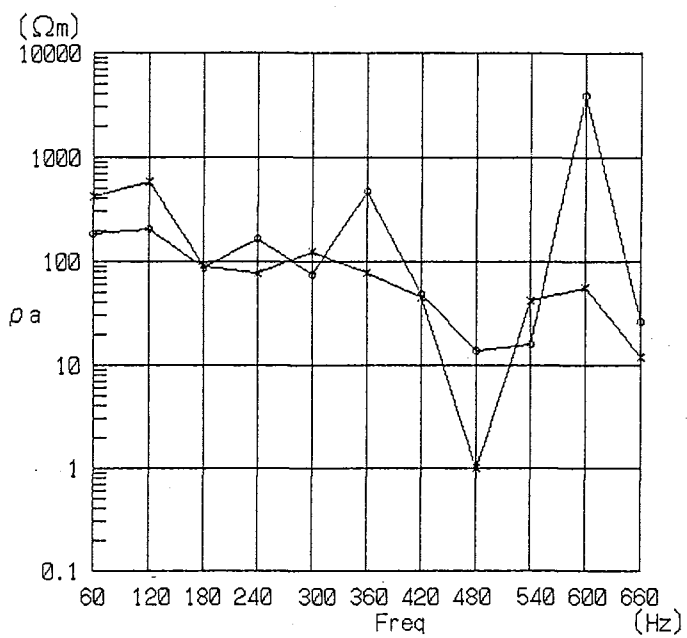
—x— —○—

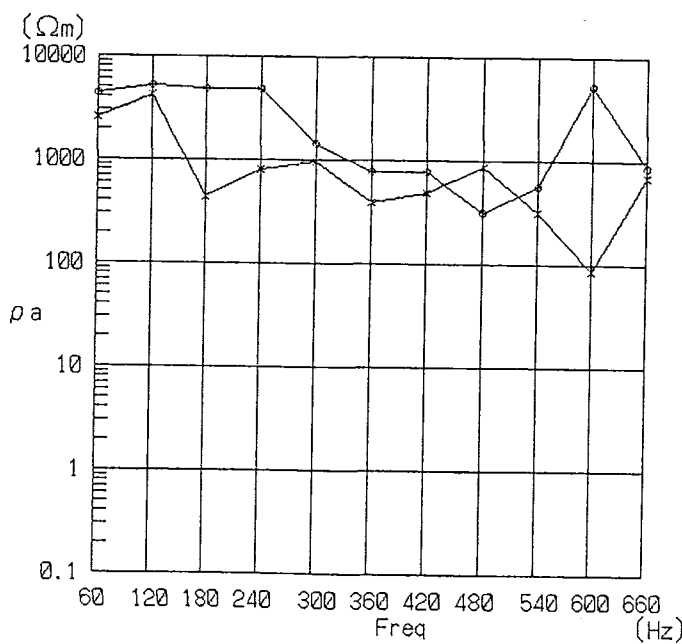
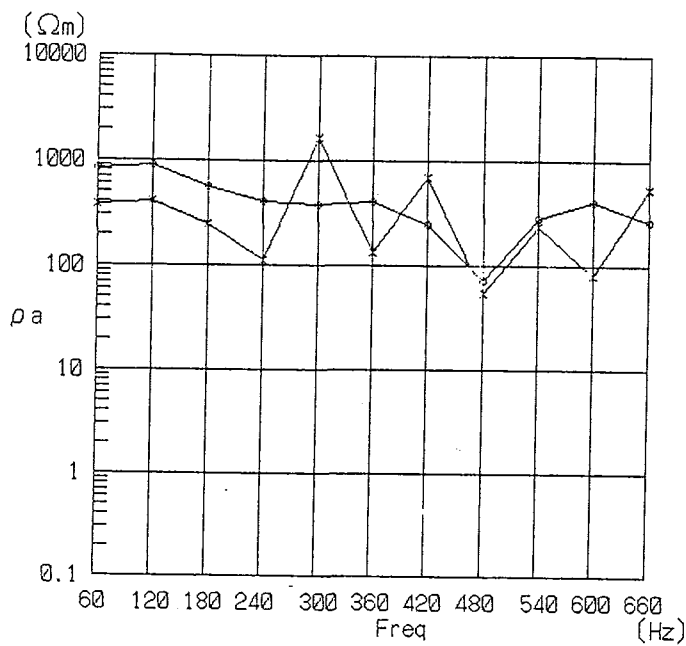


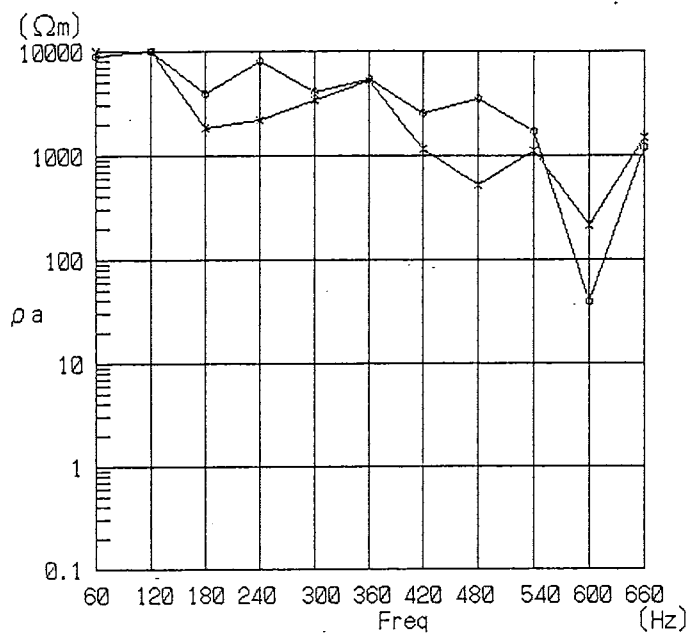
STATION NO. 076

F(Hz)	ρ_a (Ωm)	
	N-S	E-W
60	74.0	1.0
120	186.0	48.0
180	80.0	3.0
240	47.0	44.0
300	25.0	2.0
360	1228.0	1079.0
420	2.0	4.0
480	20.0	4.0
540	12.0	9.0
600	320.0	4443.0
660	95.0	2.0

—x— —○—





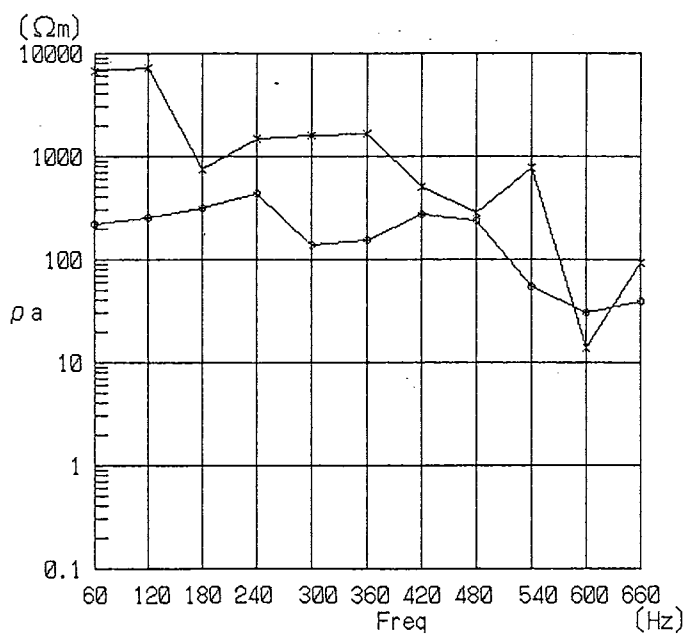


STATION NO. 081

F (Hz) ρ_a (Ωm)
N-S E-W

60	10000.0	8891.0
120	10000.0	10000.0
180	1830.0	3873.0
240	2226.0	8167.0
300	3421.0	4019.0
360	5269.0	5374.0
420	1147.0	2571.0
480	519.0	3497.0
540	1126.0	1702.0
600	214.0	39.0
660	1485.0	1176.0

— x — — o —

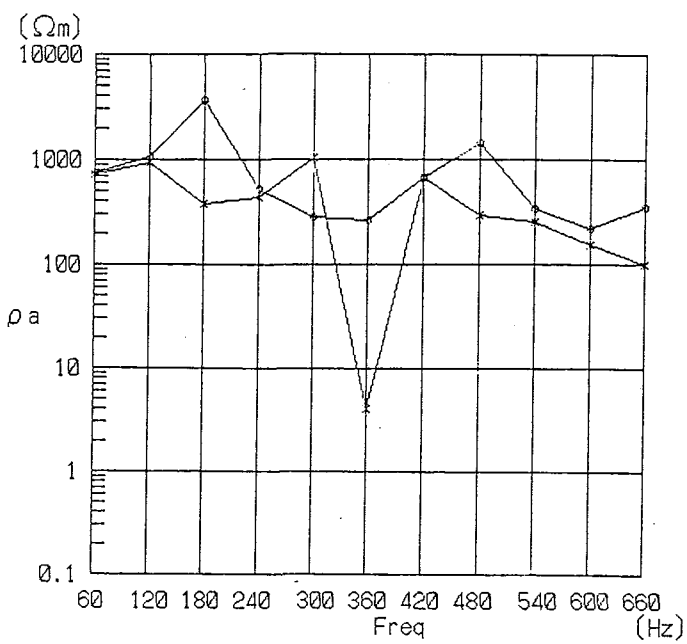


STATION NO. 082

F (Hz) ρ_a (Ωm)
N-S E-W

60	6760.0	218.0
120	7276.0	257.0
180	750.0	313.0
240	1472.0	444.0
300	1581.0	136.0
360	1665.0	156.0
420	497.0	269.0
480	279.0	235.0
540	782.0	54.0
600	14.0	30.0
660	93.0	39.0

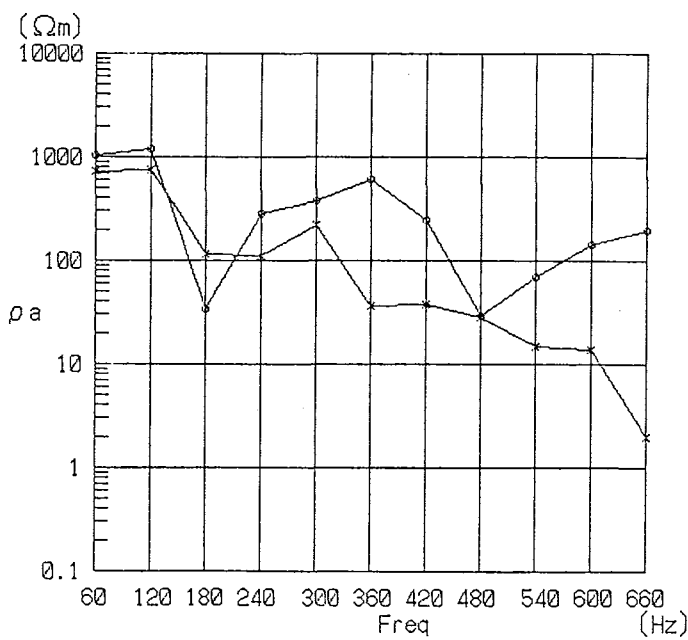
— x — — o —



STATION NO. 083

F(Hz)	$\rho_a (\Omega\text{m})$	
N-S	E-W	
60	723.0	742.0
120	944.0	1063.0
180	373.0	3627.0
240	441.0	517.0
300	1049.0	279.0
360	4.0	262.0
420	663.0	667.0
480	297.0	1434.0
540	258.0	335.0
600	155.0	223.0
660	100.0	353.0

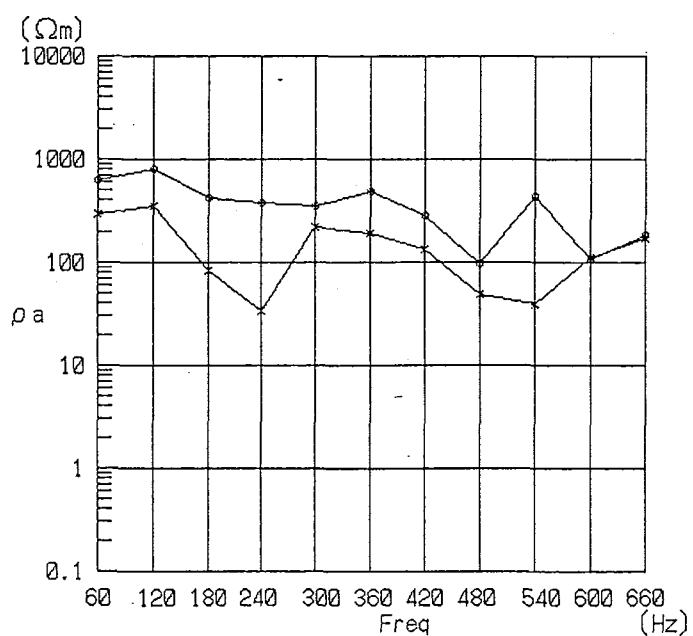
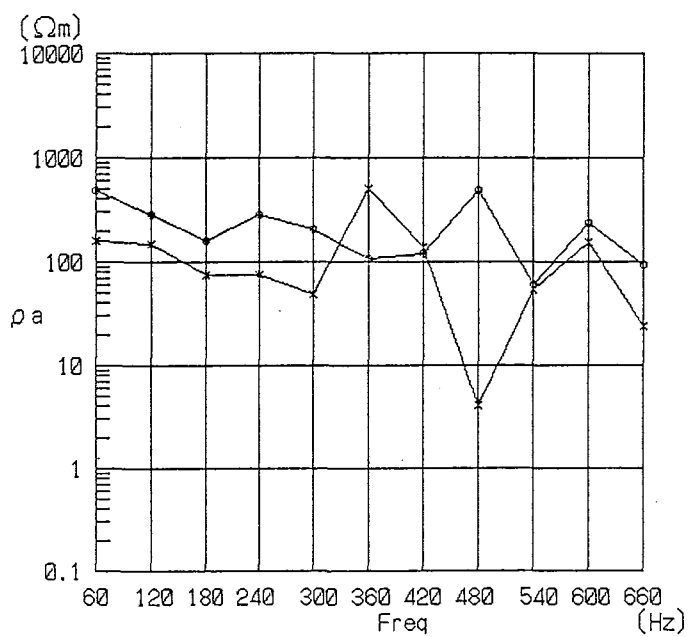
————— x ————— ————— o —————

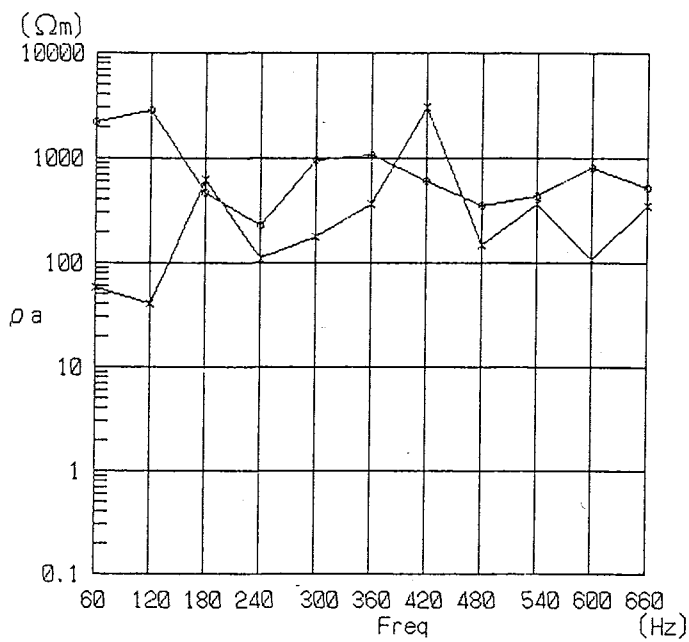


STATION NO. 084

F(Hz)	$\rho_a (\Omega\text{m})$	
N-S	E-W	
60	736.0	1048.0
120	759.0	1199.0
180	114.0	34.0
240	111.0	283.0
300	224.0	376.0
360	37.0	614.0
420	38.0	249.0
480	28.0	29.0
540	15.0	71.0
600	14.0	142.0
660	2.0	197.0

————— x ————— ————— o —————

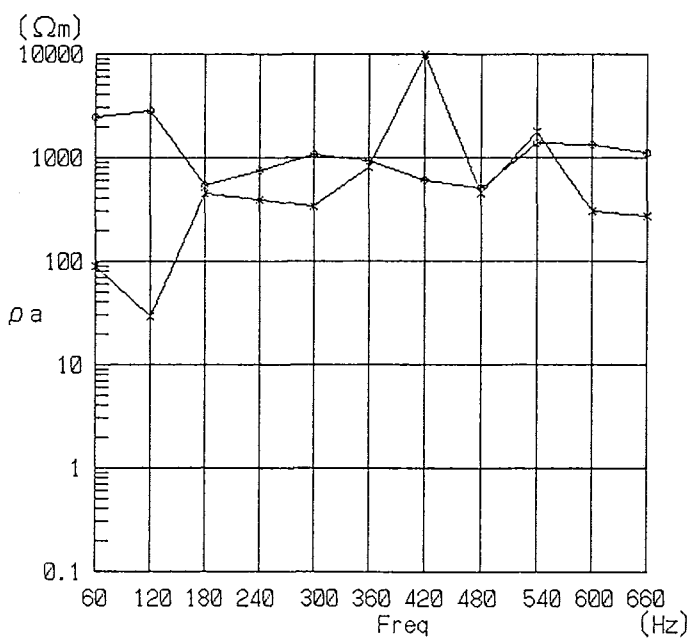




STATION NO. 087

F(Hz)	ρ_a (Ωm)	N-S	E-W
60	59.0	2215.0	
120	41.0	2883.0	
180	626.0	472.0	
240	110.0	230.0	
300	176.0	967.0	
360	370.0	1065.0	
420	3019.0	594.0	
480	148.0	357.0	
540	371.0	438.0	
600	108.0	819.0	
660	354.0	530.0	

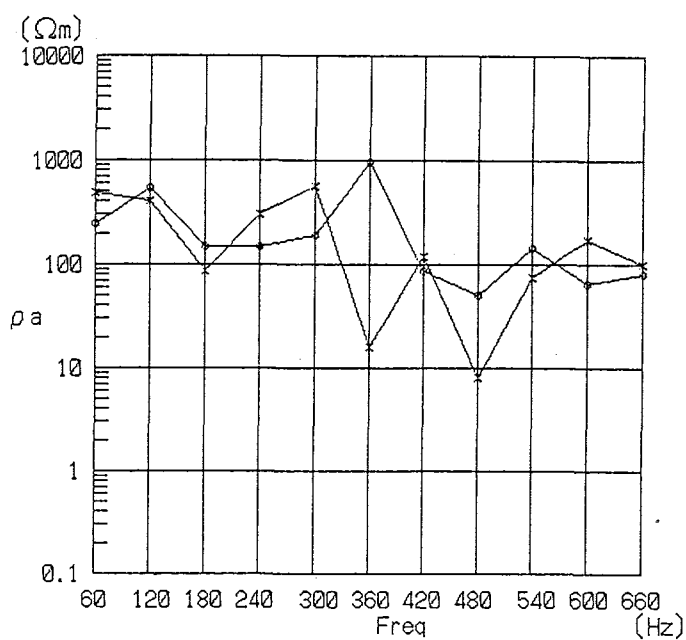
—x— —○—



STATION NO. 088

F(Hz)	ρ_a (Ωm)	N-S	E-W
60	90.0	2467.0	
120	29.0	2829.0	
180	461.0	538.0	
240	390.0	740.0	
300	340.0	1072.0	
360	805.0	939.0	
420	10000.0	603.0	
480	449.0	512.0	
540	1787.0	1381.0	
600	305.0	1333.0	
660	273.0	1109.0	

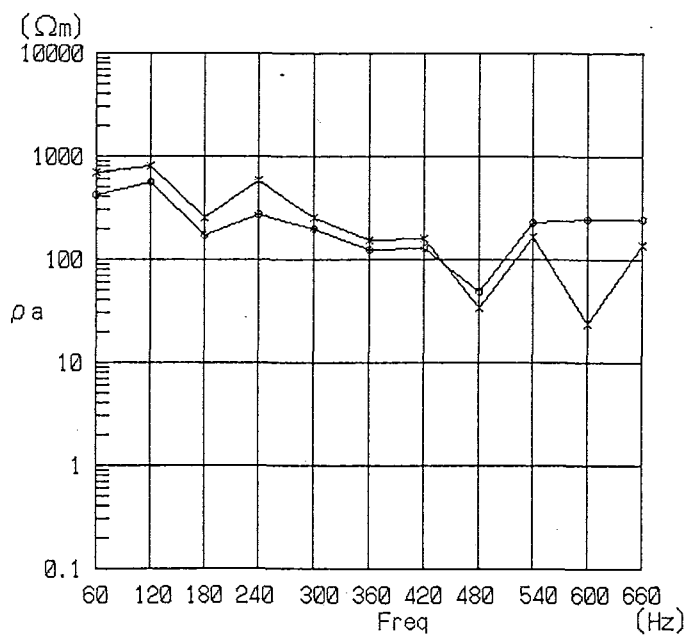
—x— —○—



STATION NO. 089

F (Hz)	ρ_a (Ωm)	N-S	E-W
60	479.0	249.0	
120	407.0	538.0	
180	86.0	146.0	
240	308.0	150.0	
300	561.0	194.0	
360	16.0	956.0	
420	121.0	87.0	
480	8.0	50.0	
540	76.0	141.0	
600	169.0	65.0	
660	101.0	81.0	

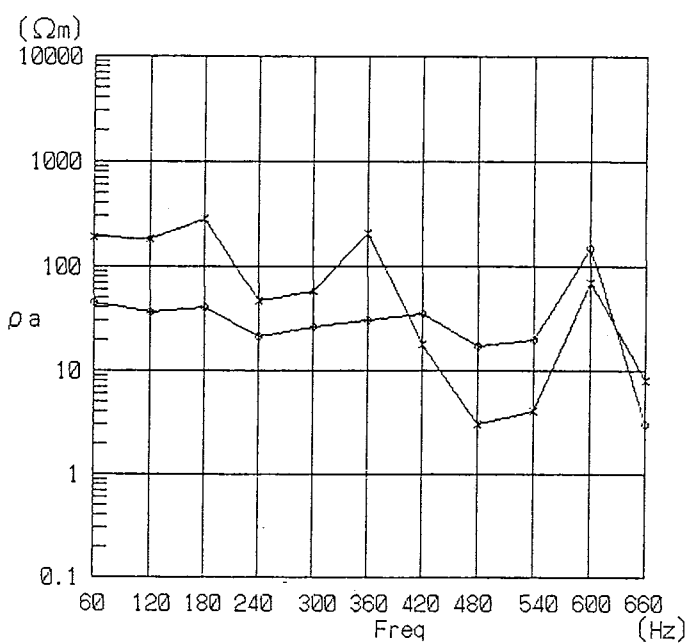
————— x —————— o ——————



STATION NO. 090

F (Hz)	ρ_a (Ωm)	N-S	E-W
60	692.0	421.0	
120	805.0	557.0	
180	258.0	173.0	
240	578.0	275.0	
300	259.0	200.0	
360	152.0	123.0	
420	159.0	130.0	
480	34.0	49.0	
540	165.0	231.0	
600	24.0	250.0	
660	139.0	250.0	

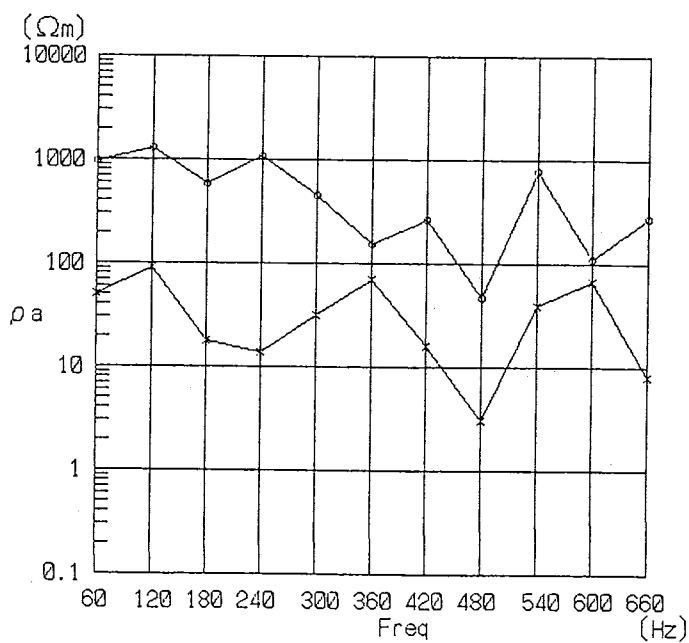
————— x —————— o ——————



STATION NO. 091

F(Hz)	$\rho_a (\Omega\text{m})$ N-S	$\rho_a (\Omega\text{m})$ E-W
60	191.0	46.0
120	186.0	37.0
180	284.0	40.0
240	47.0	21.0
300	58.0	26.0
360	205.0	30.0
420	18.0	35.0
480	3.0	17.0
540	4.0	20.0
600	69.0	150.0
660	8.0	3.0

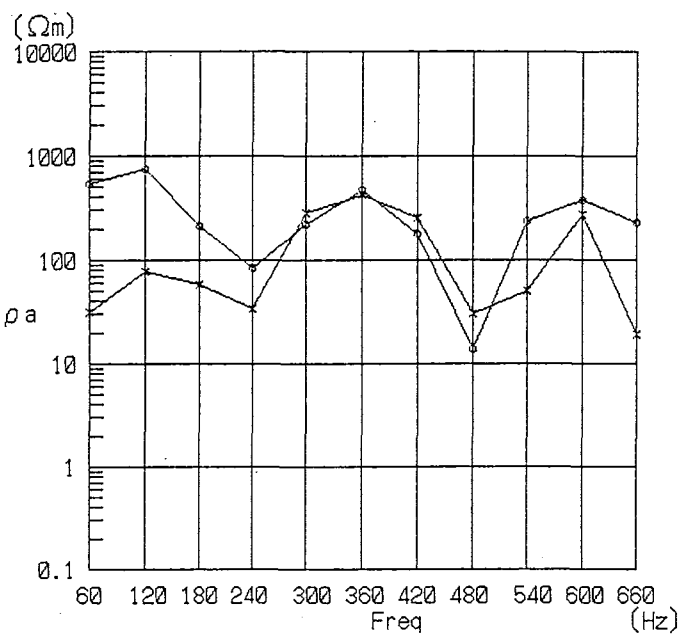
x—x o—o



STATION NO. 092

F(Hz)	$\rho_a (\Omega\text{m})$ N-S	$\rho_a (\Omega\text{m})$ E-W
60	50.0	950.0
120	89.0	1293.0
180	18.0	582.0
240	14.0	1091.0
300	32.0	454.0
360	71.0	153.0
420	16.0	264.0
480	3.0	47.0
540	39.0	768.0
600	68.0	112.0
660	8.0	273.0

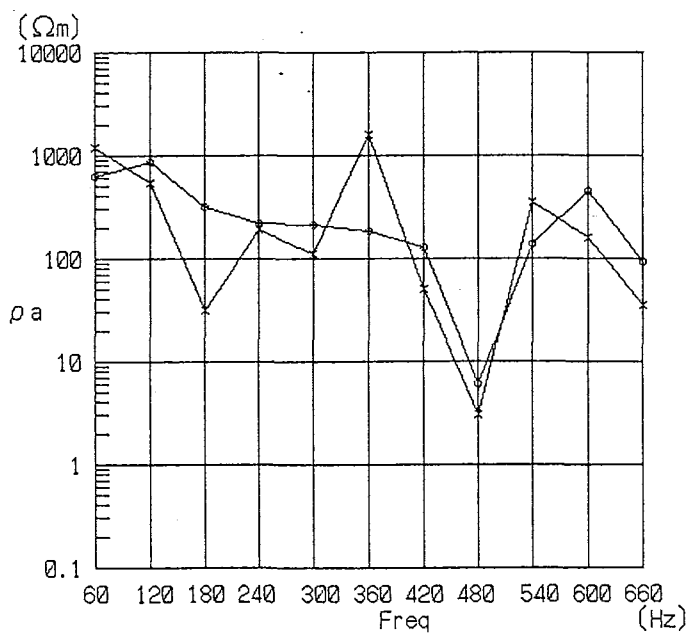
x—x o—o



STATION NO. 093

F(Hz)	$\rho_a(\Omega\text{m})$	
	N-S	E-W
60	32.0	552.0
120	77.0	752.0
180	58.0	211.0
240	34.0	84.0
300	284.0	220.0
360	417.0	471.0
420	259.0	176.0
480	30.0	14.0
540	50.0	234.0
600	273.0	384.0
660	19.0	229.0

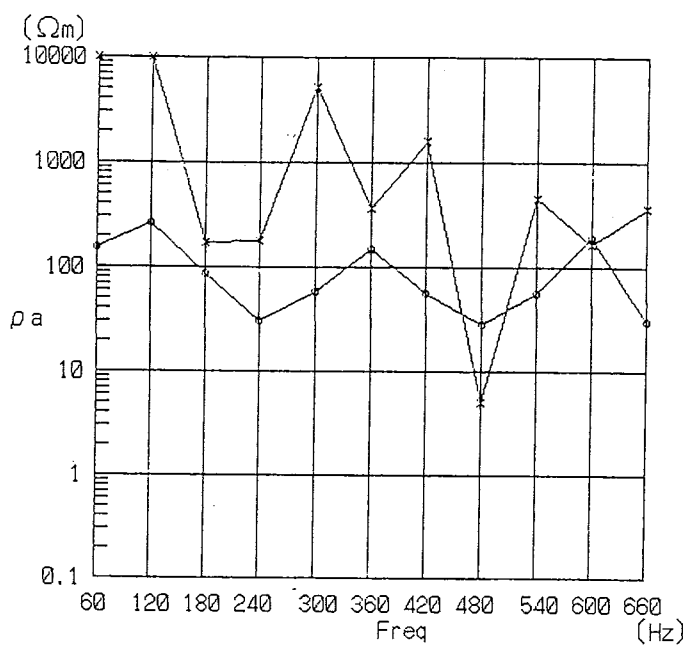
—x— —○—



STATION NO. 094

F(Hz)	$\rho_a(\Omega\text{m})$	
	N-S	E-W
60	1179.0	620.0
120	550.0	878.0
180	32.0	312.0
240	194.0	224.0
300	111.0	210.0
360	1606.0	185.0
420	50.0	127.0
480	3.0	6.0
540	346.0	140.0
600	157.0	451.0
660	35.0	94.0

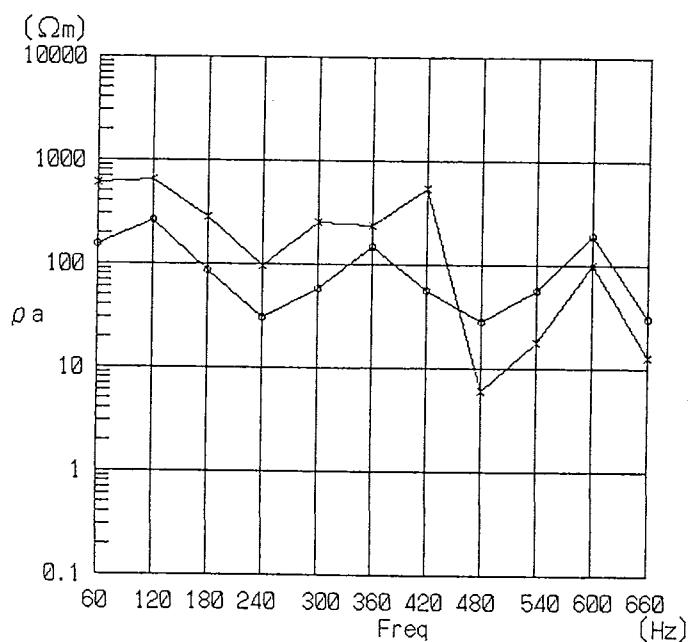
—x— —○—



STATION NO. 095

F (Hz)	$\rho_a (\Omega\text{m})$	
N-S	E-W	
60	9992.0	154.0
120	10000.0	262.0
180	173.0	86.0
240	181.0	31.0
300	5156.0	58.0
360	362.0	148.0
420	1570.0	56.0
480	5.0	28.0
540	448.0	57.0
600	167.0	191.0
660	360.0	31.0

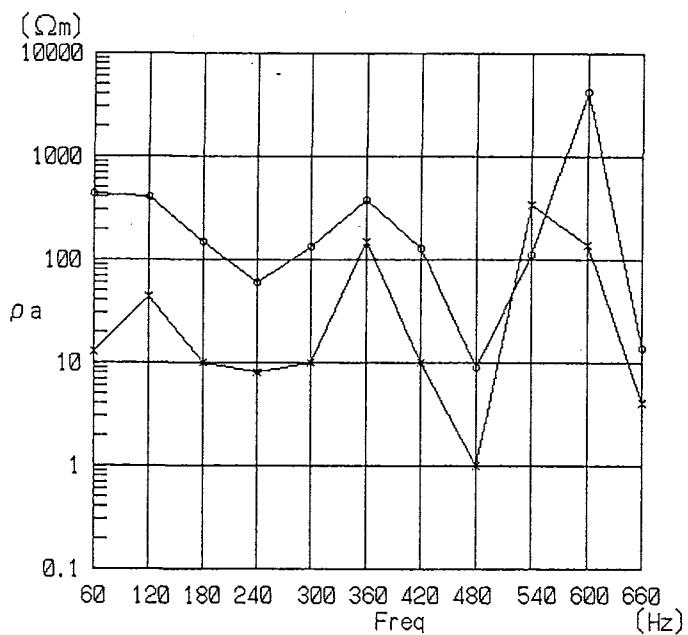
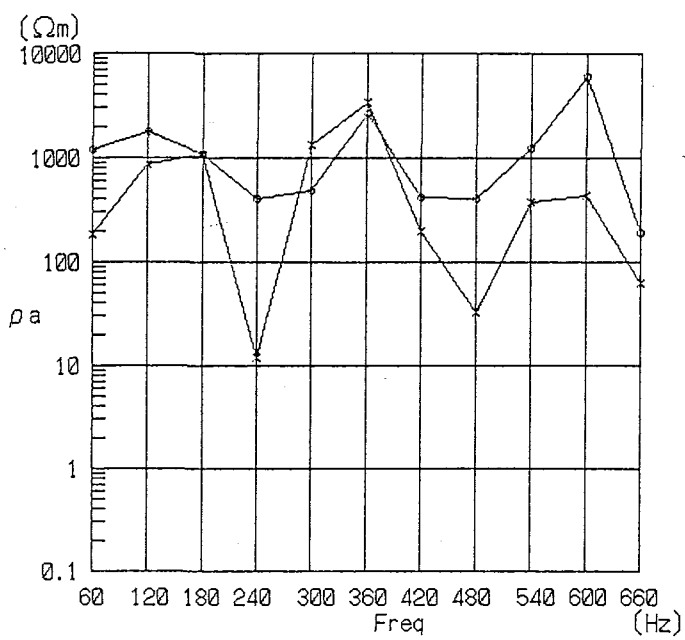
————— x ————— ————— o —————

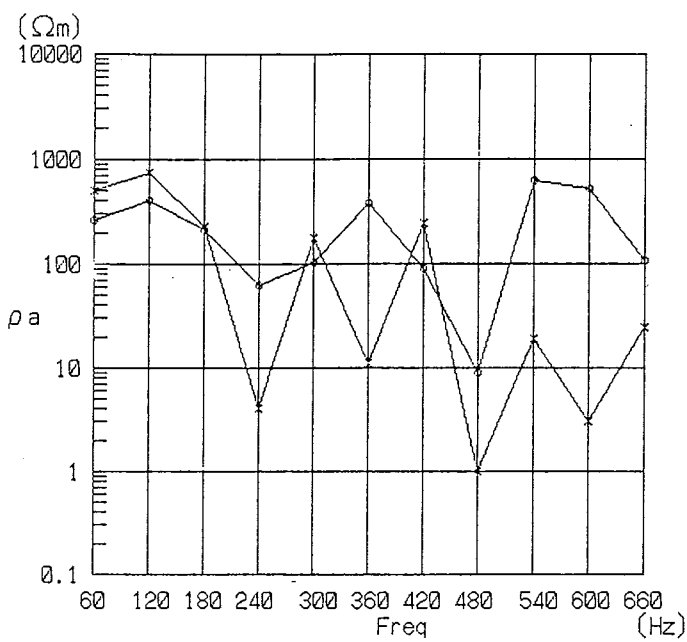


STATION NO. 096

F (Hz)	$\rho_a (\Omega\text{m})$	
N-S	E-W	
60	598.0	154.0
120	655.0	262.0
180	285.0	86.0
240	95.0	31.0
300	254.0	58.0
360	234.0	148.0
420	549.0	56.0
480	6.0	28.0
540	18.0	57.0
600	99.0	191.0
660	13.0	31.0

————— x ————— ————— o —————

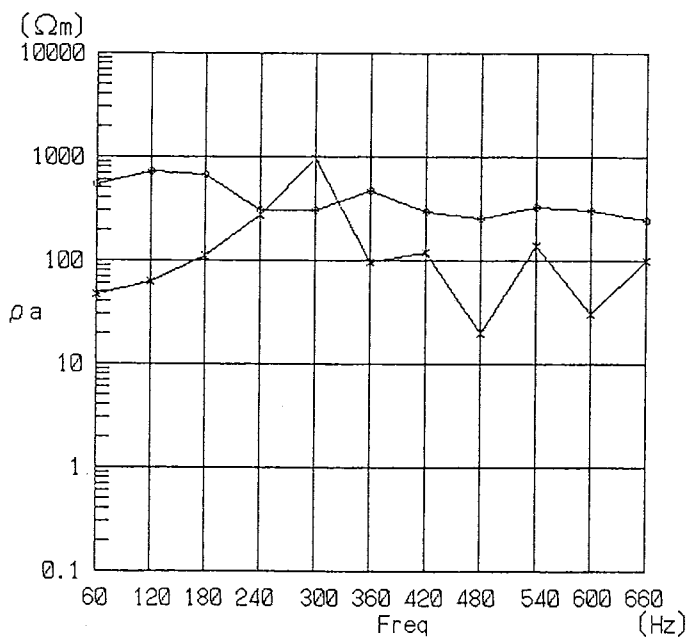




STATION NO. 099

F (Hz)	$\rho_a (\Omega\text{m})$ N-S	$\rho_a (\Omega\text{m})$ E-W
60	497.0	268.0
120	756.0	405.0
180	229.0	216.0
240	4.0	62.0
300	180.0	105.0
360	11.0	379.0
420	243.0	89.0
480	1.0	9.0
540	19.0	633.0
600	3.0	522.0
660	25.0	103.0

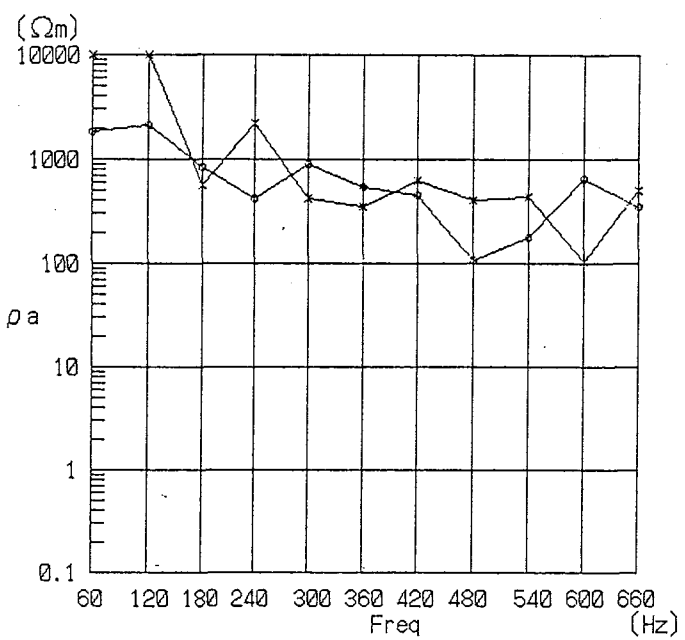
—×— —○—



STATION NO. 100

F (Hz)	$\rho_a (\Omega\text{m})$ N-S	$\rho_a (\Omega\text{m})$ E-W
60	47.0	550.0
120	62.0	723.0
180	112.0	662.0
240	271.0	302.0
300	962.0	304.0
360	98.0	463.0
420	121.0	298.0
480	20.0	259.0
540	136.0	324.0
600	31.0	301.0
660	101.0	250.0

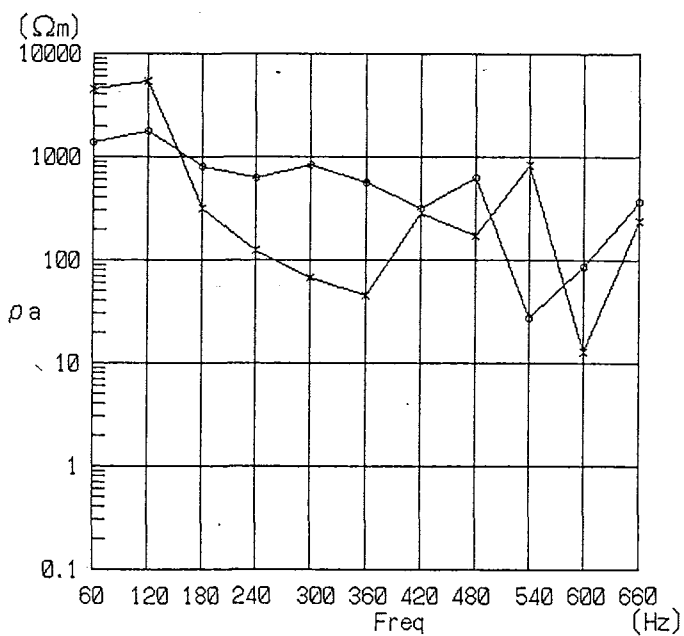
—×— —○—



STATION NO. 101

F(Hz)	$\rho_a (\Omega\text{m})$	
N-S	E-W	
60	10000.0	1827.0
120	10000.0	2139.0
180	571.0	822.0
240	2200.0	424.0
300	417.0	899.0
360	346.0	551.0
420	636.0	457.0
480	411.0	107.0
540	443.0	177.0
600	104.0	644.0
660	506.0	358.0

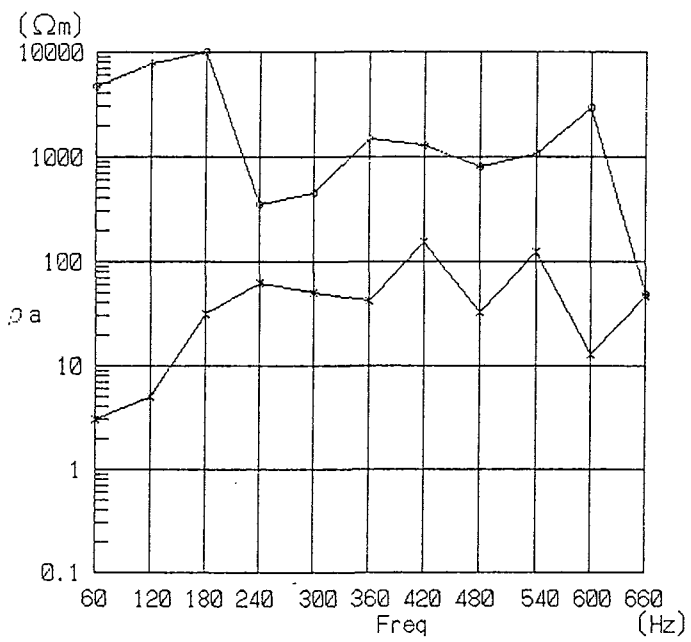
—x— —○—



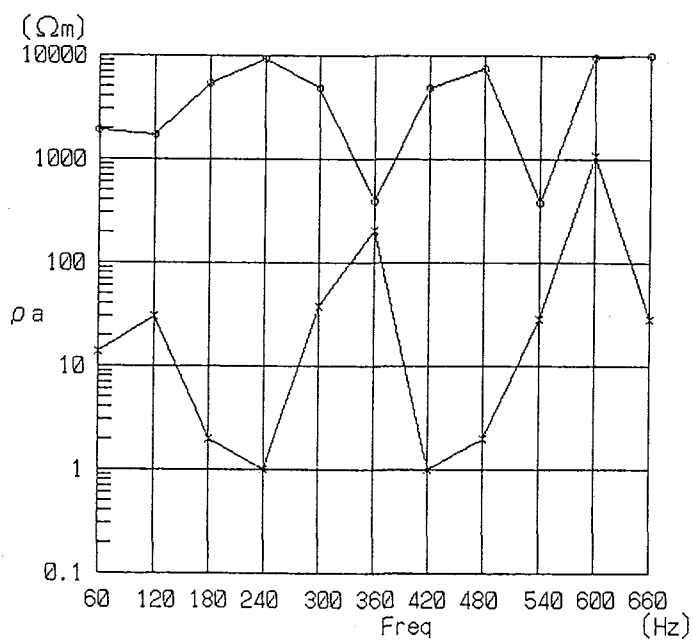
STATION NO. 102

F(Hz)	$\rho_a (\Omega\text{m})$	
N-S	E-W	
60	4515.0	1375.0
120	5415.0	1781.0
180	318.0	816.0
240	124.0	632.0
300	68.0	841.0
360	45.0	570.0
420	279.0	311.0
480	170.0	630.0
540	825.0	27.0
600	13.0	88.0
660	234.0	367.0

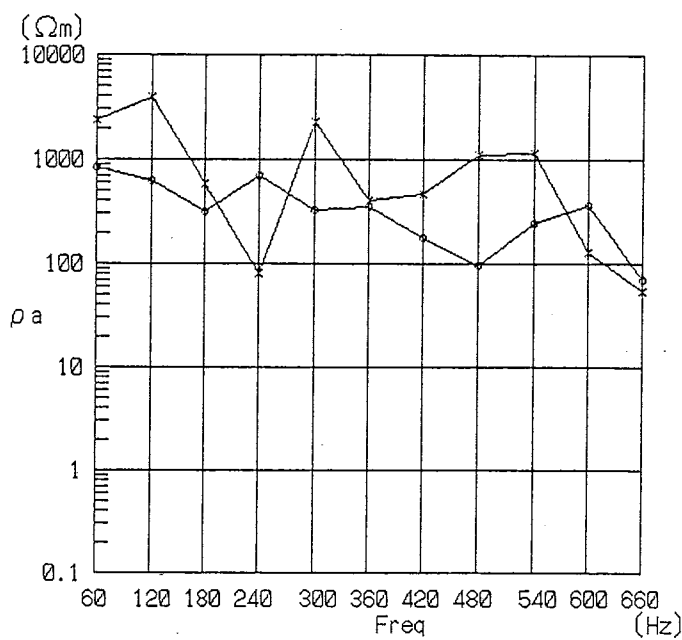
—x— —○—



STATION NO. 103



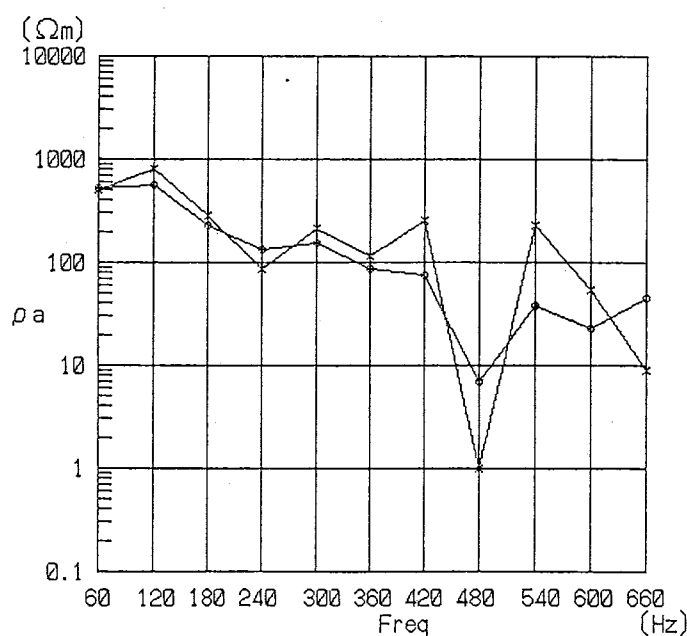
STATION NO. 104



STATION NO. 105

F(Hz)	ρ_a (Ωm) N-S	ρ_a (Ωm) E-W
60	2377.0	824.0
120	3933.0	633.0
180	576.0	320.0
240	82.0	694.0
300	2263.0	330.0
360	413.0	348.0
420	472.0	179.0
480	1125.0	97.0
540	1148.0	246.0
600	128.0	366.0
660	55.0	69.0

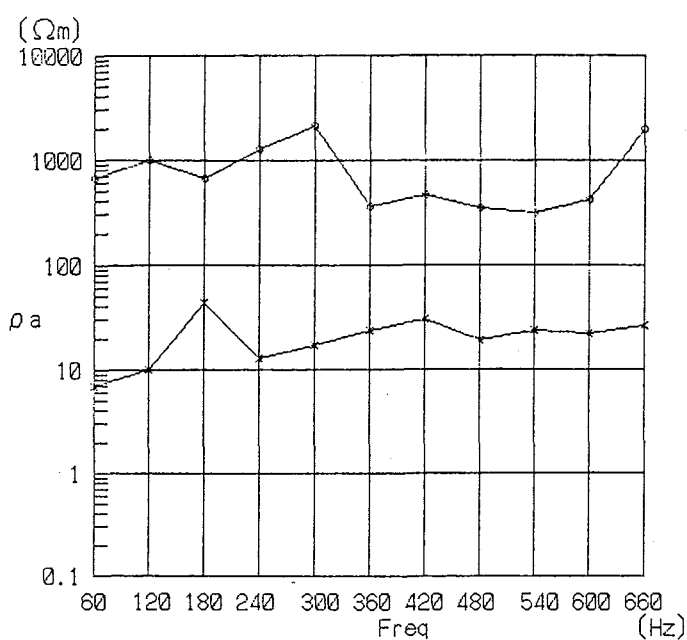
————— x ————— — o —



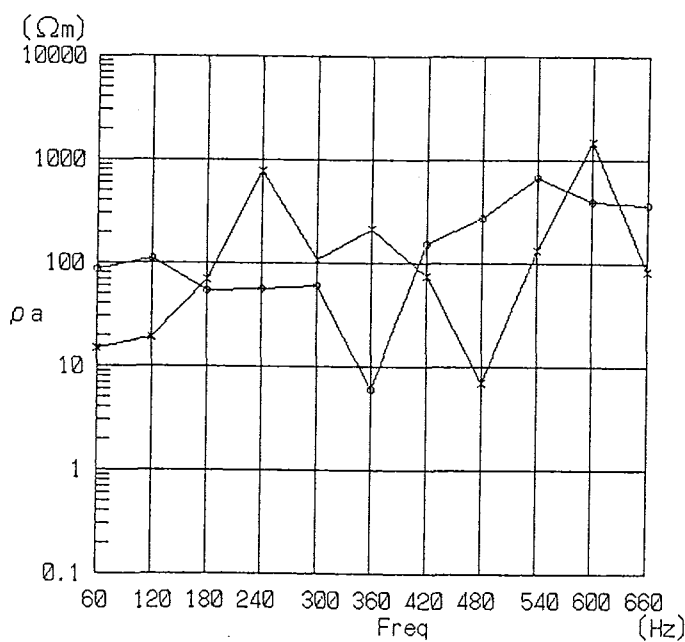
STATION NO. 106

F(Hz)	ρ_a (Ωm) N-S	ρ_a (Ωm) E-W
60	498.0	526.0
120	818.0	555.0
180	287.0	231.0
240	86.0	134.0
300	210.0	153.0
360	114.0	88.0
420	255.0	76.0
480	1.0	7.0
540	229.0	38.0
600	55.0	23.0
660	9.0	45.0

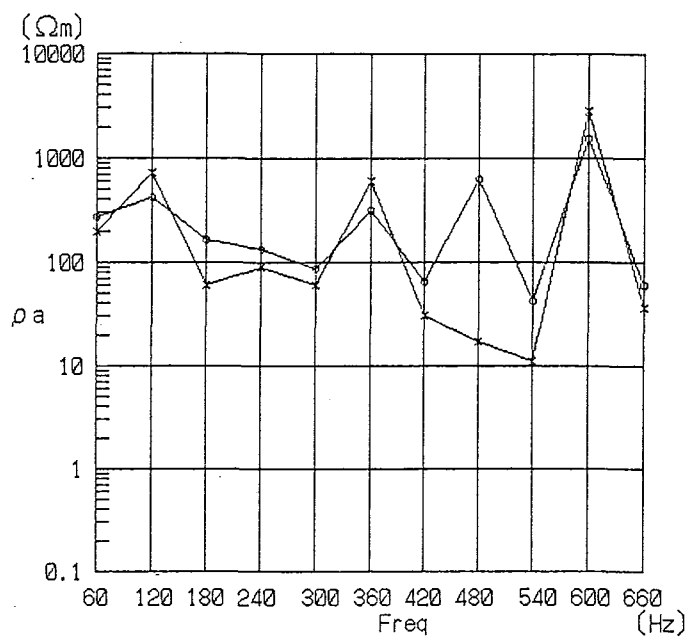
————— x ————— — o —



STATION NO. 107



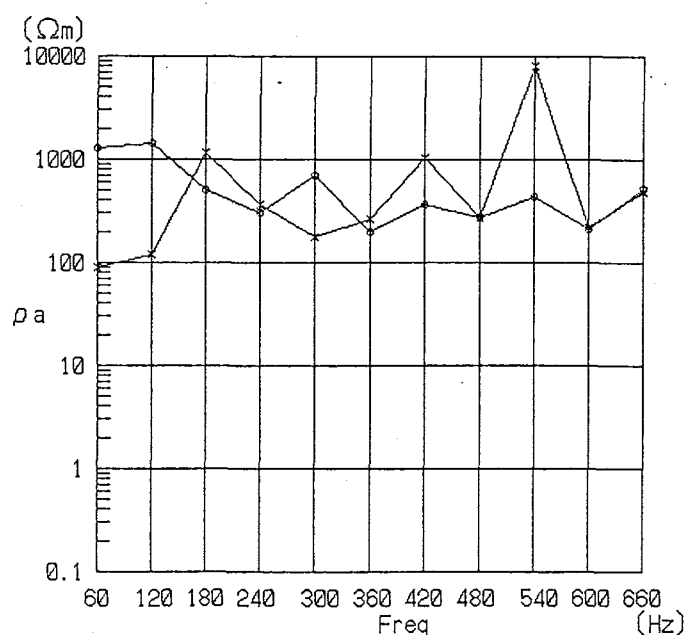
STATION NO. 108



STATION NO. 109

F(Hz)	ρ_a (Ωm)	
	N-S	E-W
60	201.0	269.0
120	726.0	418.0
180	61.0	163.0
240	90.0	132.0
300	61.0	87.0
360	605.0	321.0
420	31.0	64.0
480	17.0	625.0
540	11.0	42.0
600	2836.0	1526.0
660	36.0	60.0

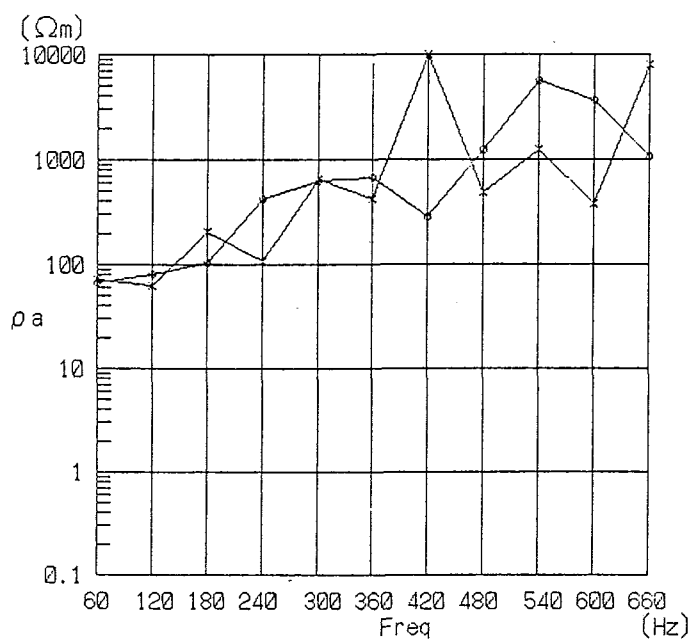
————— × ————— ○ —————



STATION NO. 110

F(Hz)	ρ_a (Ωm)	
	N-S	E-W
60	90.0	1288.0
120	120.0	1430.0
180	1156.0	502.0
240	370.0	309.0
300	177.0	689.0
360	263.0	201.0
420	1048.0	369.0
480	273.0	274.0
540	7941.0	431.0
600	217.0	211.0
660	490.0	516.0

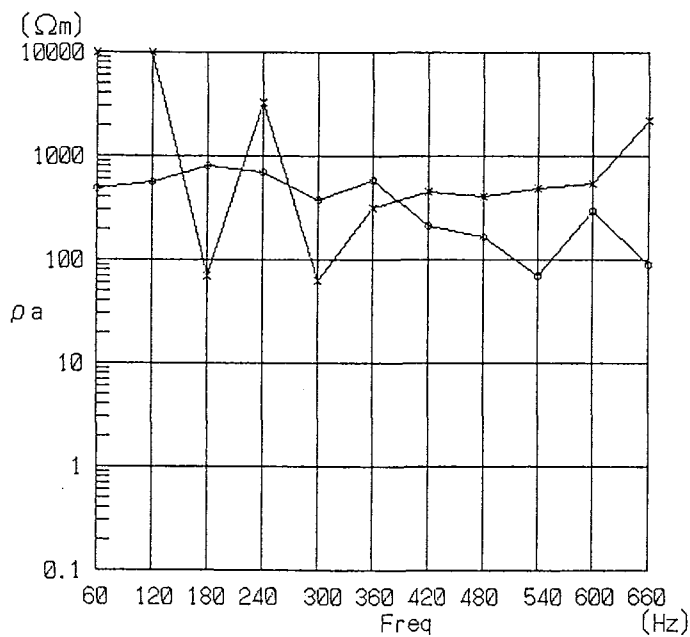
————— × ————— ○ —————



STATION NO. 111

F(Hz)	ρ_a (Ωm) N-S	ρ_a (Ωm) E-W
60	73.0	68.0
120	62.0	82.0
180	202.0	105.0
240	106.0	426.0
300	654.0	631.0
360	424.0	670.0
420	10000.0	283.0
480	490.0	1241.0
540	1228.0	5624.0
600	382.0	3677.0
660	8092.0	1089.0

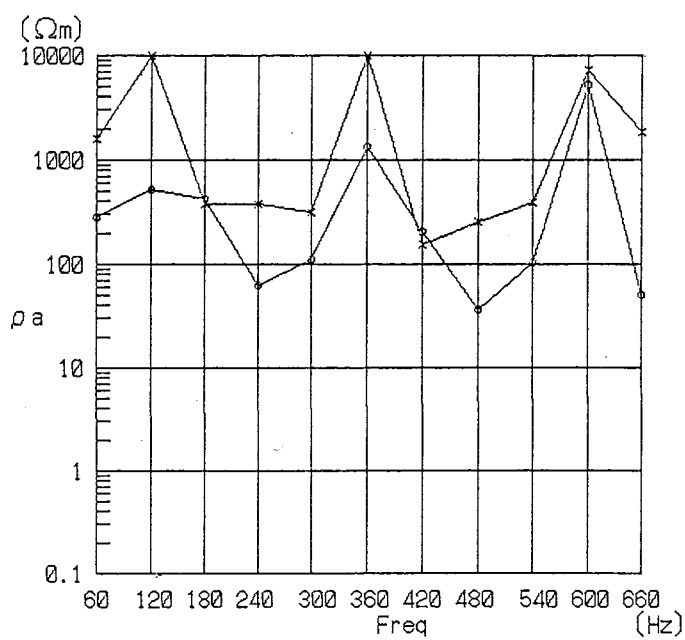
————— x ————— ——○——

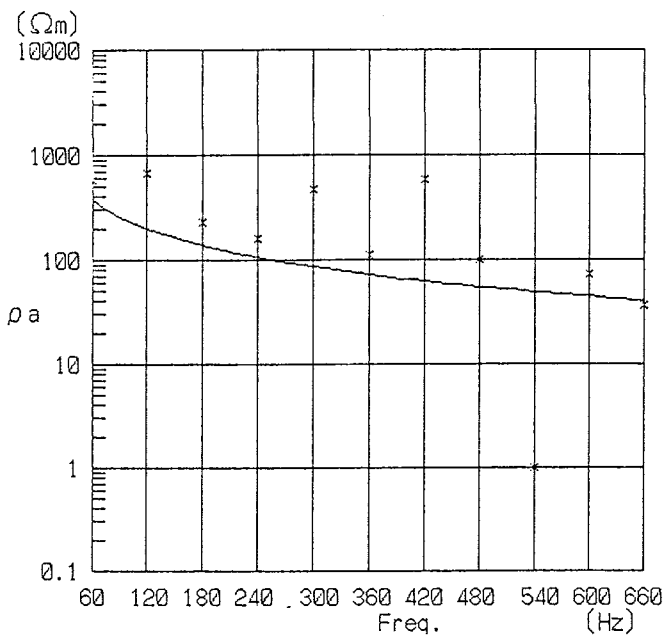


STATION NO. 112

F(Hz)	ρ_a (Ωm) N-S	ρ_a (Ωm) E-W
60	10000.0	494.0
120	10000.0	569.0
180	69.0	812.0
240	3260.0	694.0
300	62.0	380.0
360	316.0	583.0
420	451.0	211.0
480	404.0	168.0
540	487.0	69.0
600	544.0	299.0
660	2235.0	91.0

————— x ————— ——○——

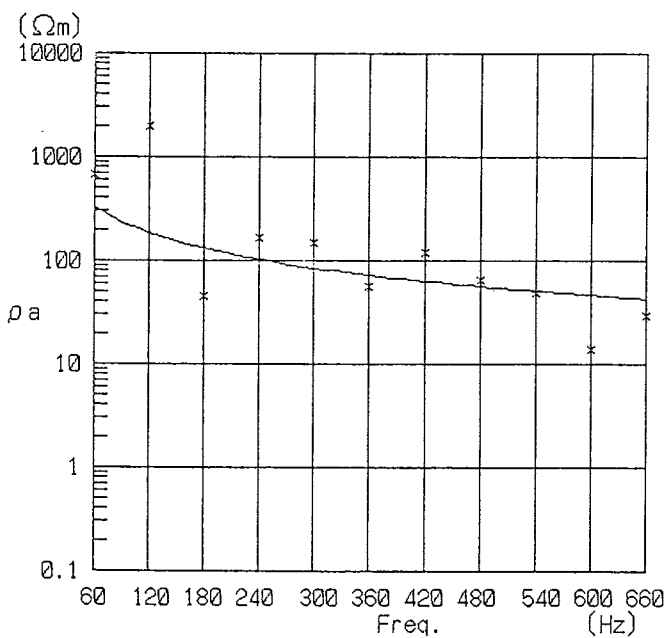




STATION NO. 001 (N-S)

F	ρ_a OBS	ρ_a CAL
60	575.0	371.8
120	679.0	200.5
180	226.0	138.3
240	159.0	105.9
300	470.0	85.9
360	113.0	72.3
420	588.0	62.5
480	100.0	55.1
540	1.0	49.2
600	72.0	44.5
660	36.0	40.7

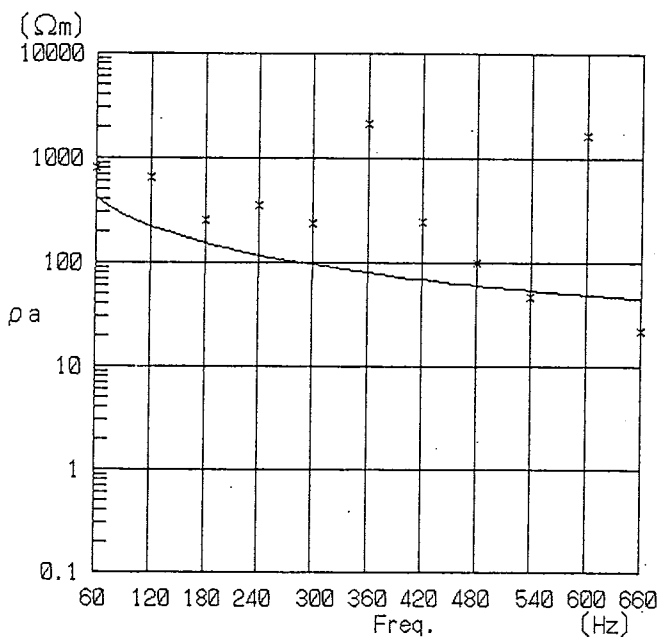
RESISTIVITY (Ωm)	DEPTH (m)
1	449.7
2	2.2
3	14064.0



STATION NO. 001 (E-W)

F	ρ_a OBS	ρ_a CAL
60	682.0	325.4
120	1970.0	185.6
180	45.0	131.7
240	167.0	102.8
300	150.0	84.7
360	56.0	72.3
420	118.0	63.2
480	66.0	56.3
540	48.0	50.9
600	14.0	46.5
660	29.0	42.9

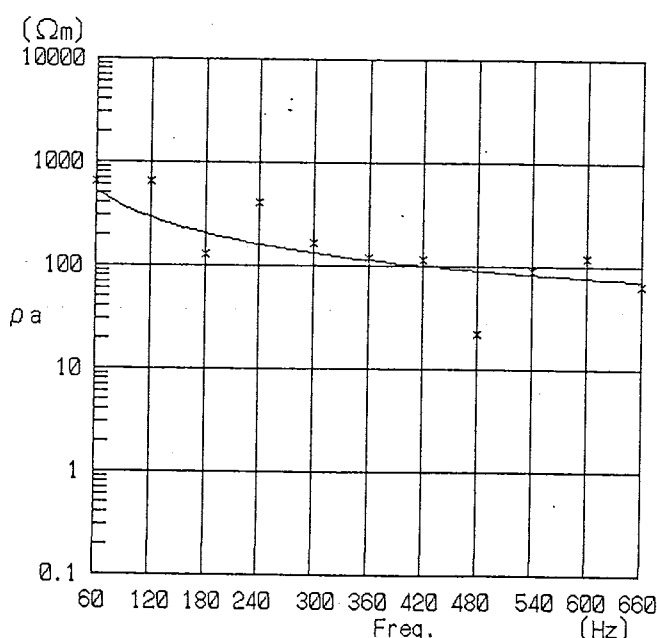
RESISTIVITY (Ωm)	DEPTH (m)
1	464.6
2	15.5
3	4880.7



STATION NO. 002(N-S)

F	ρ_a OBS	ρ_a CAL
60	816.0	416.9
120	640.0	223.2
180	257.0	153.4
240	358.0	117.2
300	235.0	94.9
360	2150.0	79.8
420	248.0	68.9
480	99.0	60.7
540	47.0	54.2
600	1664.0	49.0
660	22.0	44.7

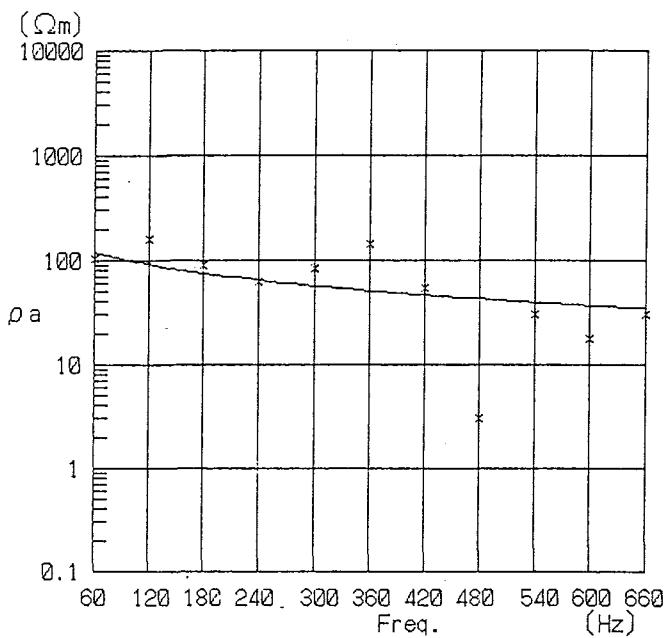
RESISTIVITY (Ωm)	DEPTH (m)
1 -	571.5
2	0.1
3	18734.0



STATION NO. 002(E-W)

F	ρ_a OBS	ρ_a CAL
60	642.0	530.3
120	661.0	291.8
180	127.0	204.8
240	407.0	159.6
300	167.0	132.0
360	119.0	113.6
420	114.0	100.4
480	22.0	90.7
540	90.0	83.2
600	120.0	77.4
660	65.0	72.7

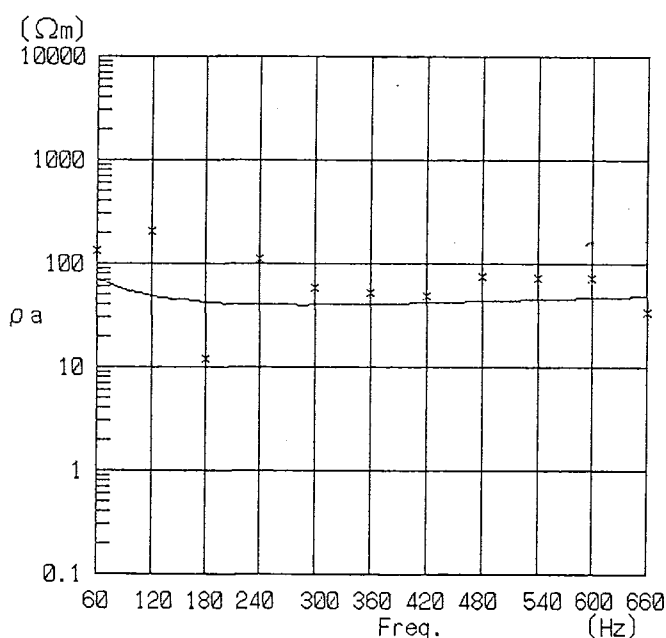
RESISTIVITY (Ωm)	DEPTH (m)
1	778.9
2	52.9
3	16373.2



STATION NO. 003(N-S)

F	ρ_a OBS	ρ_a CAL
60	104.0	120.8
120	159.0	91.5
180	91.0	75.4
240	62.0	64.8
300	84.0	57.2
360	144.0	51.4
420	54.0	46.7
480	3.0	43.0
540	30.0	39.8
600	18.0	37.2
660	30.0	34.9

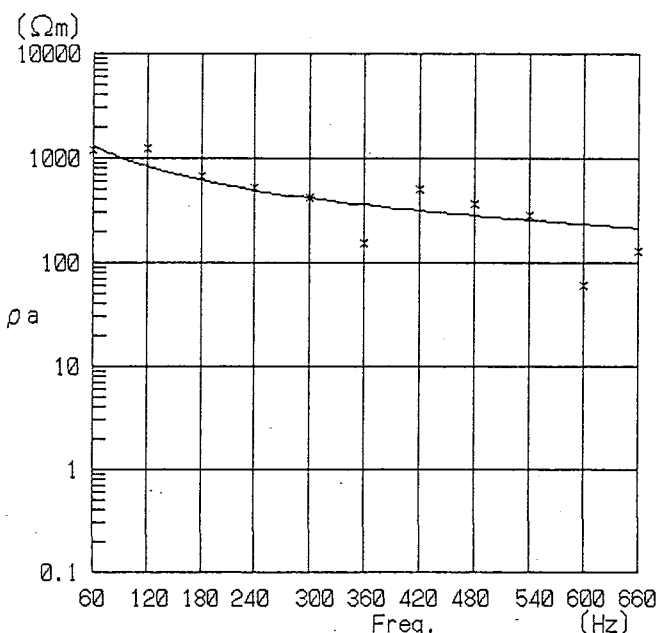
RESISTIVITY (Ωm)	DEPTH (m)
1	31.9
2	2.7
3	265.8



STATION NO. 003(E-W)

F	ρ_a OBS	ρ_a CAL
60	133.0	71.0
120	205.0	49.4
180	12.0	42.6
240	113.0	40.3
300	58.0	40.0
360	52.0	40.6
420	48.0	41.8
480	74.0	43.3
540	73.0	44.9
600	73.0	46.7
660	34.0	48.5

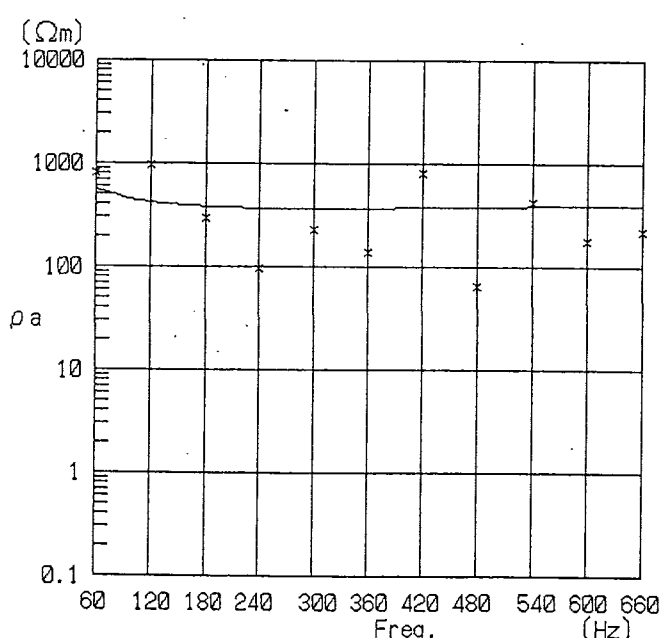
RESISTIVITY (Ωm)	DEPTH (m)
1	94.8
2	28.5
3	616.8



STATION NO. 004(N-S)

F	ρ_a OBS	ρ_a CAL
60	1204.0	1314.8
120	1234.0	830.1
180	668.0	617.7
240	521.0	495.6
300	418.0	415.6
360	154.0	358.8
420	502.0	316.2
480	368.0	283.1
540	283.0	256.5
600	60.0	234.6
660	130.0	216.3

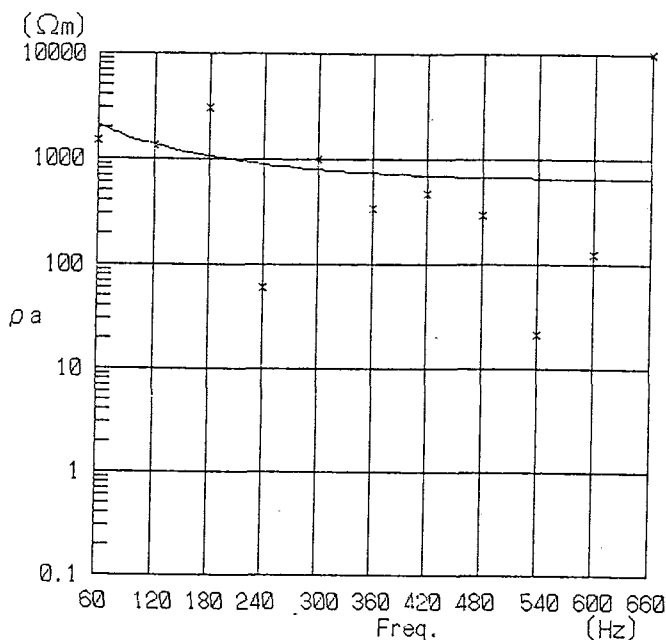
	RESISTIVITY (Ωm)	DEPTH (m)
1	450.7	3.6
2	15.5	16.3
3	7167.8	



STATION NO. 004(E-W)

F	ρ_a OBS	ρ_a CAL
60	793.0	560.4
120	970.0	425.8
180	298.0	383.7
240	98.0	369.7
300	232.0	367.1
360	140.0	369.7
420	817.0	374.5
480	64.0	380.2
540	420.0	386.1
600	181.0	391.6
660	222.0	396.7

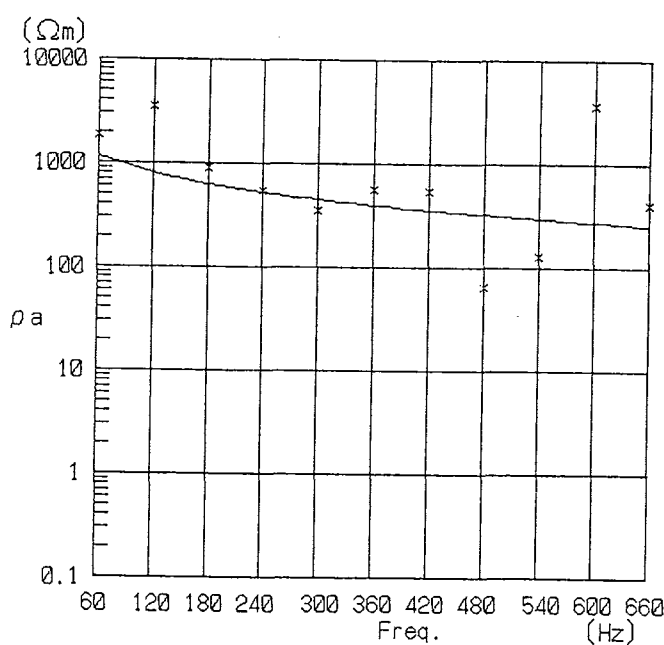
	RESISTIVITY (Ωm)	DEPTH (m)
1	478.3	23.8
2	410.4	698.6
3	2979.9	



STATION NO. 005 (N-S)

F	ρ_a OBS	ρ_a CAL
60	1486.0	2094.1
120	1326.0	1358.0
180	3103.0	1058.2
240	61.0	898.3
300	998.0	802.4
360	339.0	741.3
420	475.0	701.3
480	297.0	675.2
540	21.0	658.6
600	126.0	648.8
660	10000.0	644.1

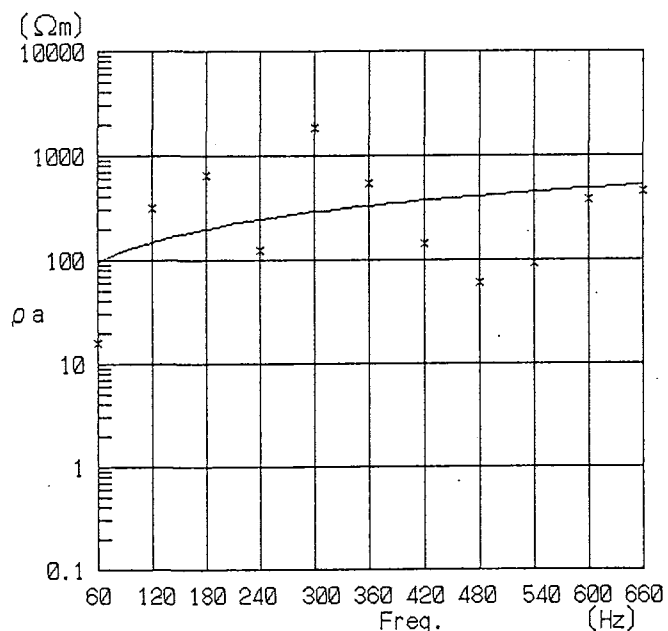
	RESISTIVITY (Ωm)	DEPTH (m)
1	3088.6	114.6
2	467.6	445.9
3	13430.5	



STATION NO. 005 (E-W)

F	ρ_a OBS	ρ_a CAL
60	1836.0	1169.0
120	3466.0	806.4
180	904.0	630.1
240	540.0	522.6
300	348.0	449.4
360	569.0	395.8
420	533.0	354.8
480	65.0	322.2
540	128.0	295.8
600	3590.0	273.8
660	412.0	255.2

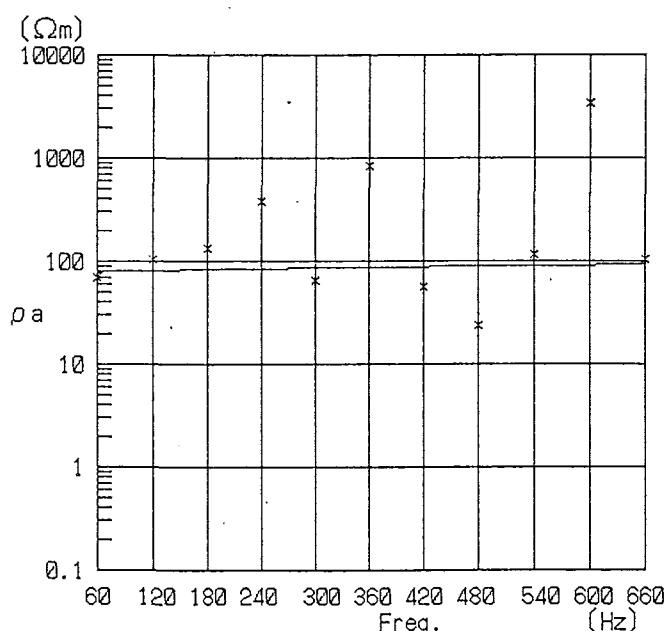
	RESISTIVITY (Ωm)	DEPTH (m)
1	486.7	10.1
2	63.2	55.3
3	3885.5	



STATION NO. 006(N-S)

F	ρ_a OBS	ρ_a CAL
60	16.0	97.1
120	320.0	150.5
180	640.0	199.2
240	125.0	245.3
300	1838.0	289.4
360	552.0	331.8
420	143.0	372.7
480	60.0	412.4
540	93.0	450.8
600	373.0	487.9
660	448.0	524.0

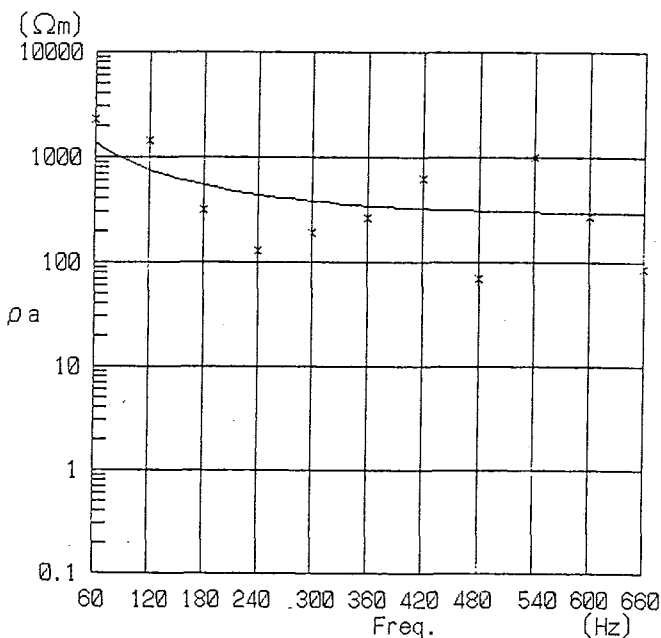
	RESISTIVITY (Ωm)	DEPTH (m)
1	1036.6	286.8
2	466.3	293.3
3	19.7	



STATION NO. 006(E-W)

F	ρ_a OBS	ρ_a CAL
60	71.0	78.7
120	103.0	81.0
180	134.0	82.8
240	372.0	84.4
300	65.0	85.7
360	836.0	87.0
420	56.0	88.2
480	24.0	89.2
540	115.0	90.3
600	3355.0	91.3
660	104.0	92.2

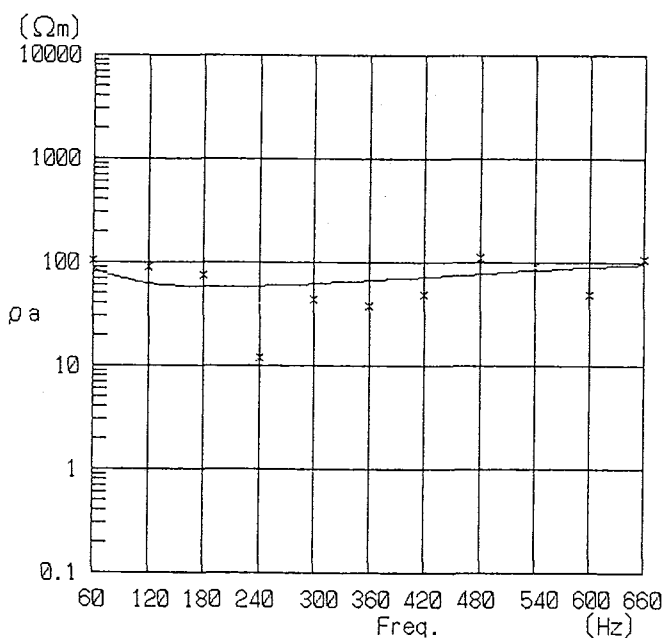
	RESISTIVITY (Ωm)	DEPTH (m)
1	1019.1	11.6
2	118.4	34.6
3	73.4	



STATION NO. 007(N-S)

F	ρ_a OBS	ρ_a CAL
60	2257.0	1369.8
120	1456.0	757.1
180	316.0	544.6
240	128.0	440.4
300	190.0	381.1
360	265.0	345.1
420	616.0	322.4
480	69.0	308.3
540	990.0	300.0
600	269.0	295.7
660	88.0	294.3

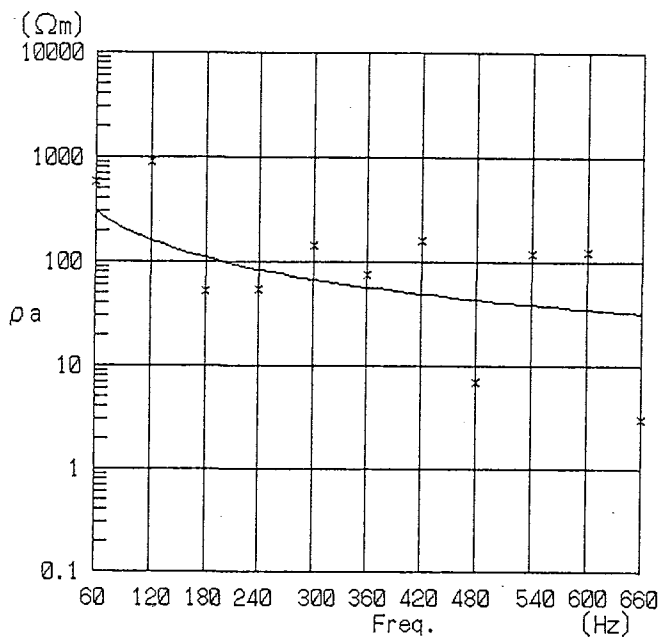
RESISTIVITY (Ωm)	DEPTH (m)
1 1030.6	153.9
2 86.9	239.2
3 66391.0	



STATION NO. 007(E-W)

F	ρ_a OBS	ρ_a CAL
60	105.0	87.5
120	90.0	63.2
180	74.0	58.2
240	12.0	58.9
300	43.0	62.1
360	38.0	66.6
420	48.0	71.8
480	110.0	77.5
540	90.0	83.5
600	49.0	89.7
660	108.0	96.0

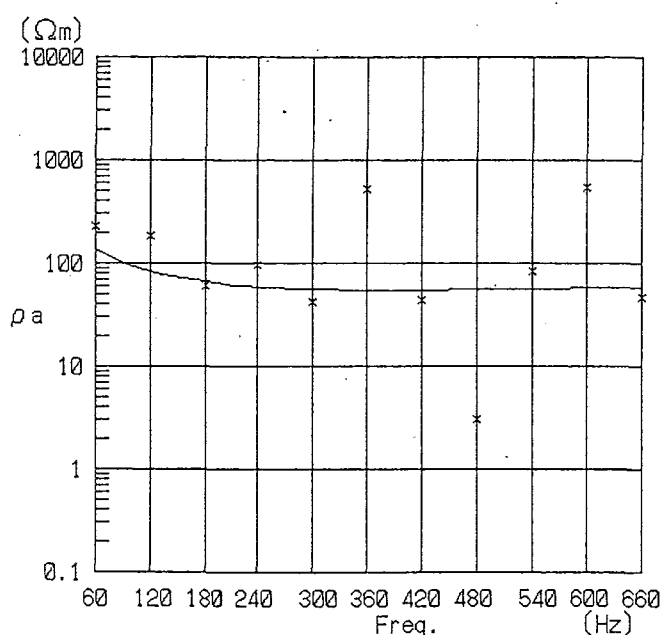
RESISTIVITY (Ωm)	DEPTH (m)
1 1077.6	101.4
2 17.8	179.3
3 1095.6	



STATION NO. 008 (N-S)

F	ρ_a OBS	ρ_a CAL
60	585.0	300.2
120	895.0	160.1
180	52.0	109.9
240	55.0	83.8
300	145.0	67.9
360	75.0	57.1
420	159.0	49.3
480	7.0	43.4
540	121.0	38.8
600	123.0	35.0
660	3.0	32.0

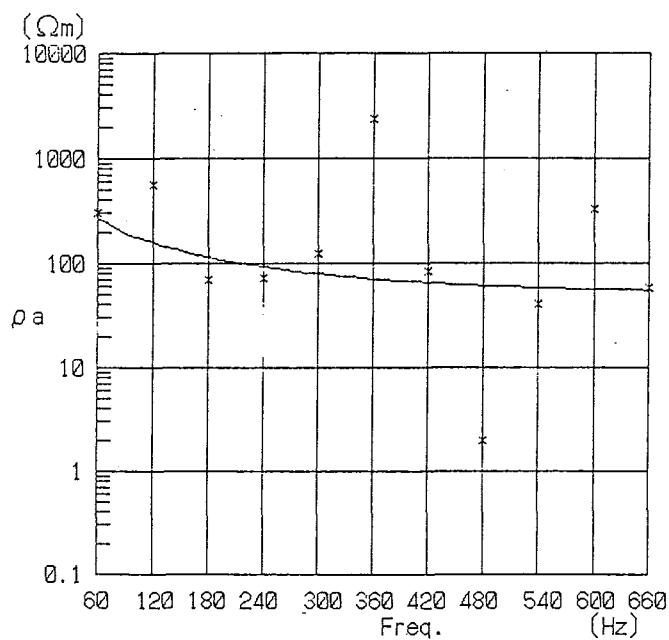
RESISTIVITY (Ωm)	DEPTH (m)
1	184.9
2	2.7
3	15266.0



STATION NO. 008 (E-W)

F	ρ_a OBS	ρ_a CAL
60	226.0	138.9
120	184.0	83.8
180	60.0	66.3
240	97.0	59.1
300	42.0	56.0
360	516.0	55.0
420	43.0	55.0
480	3.0	55.6
540	84.0	56.6
600	540.0	57.7
660	47.0	58.8

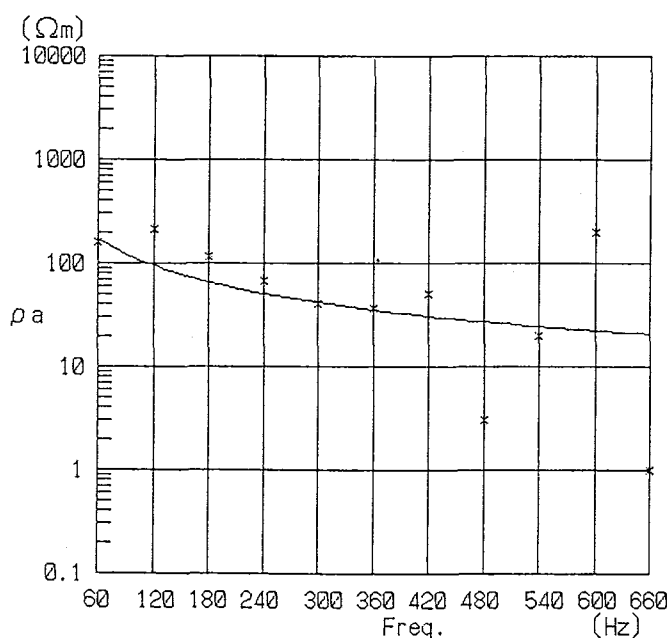
RESISTIVITY (Ωm)	DEPTH (m)
1	2165.5
2	66.8
3	5238.4



STATION NO. 009 (N-S)

F	ρ_a OBS	ρ_a CAL
60	305.0	272.3
120	559.0	156.9
180	69.0	114.3
240	72.0	92.4
300	123.0	79.4
360	2359.0	71.0
420	85.0	65.2
480	2.0	61.3
540	40.0	58.4
600	323.0	56.4
660	59.0	55.0

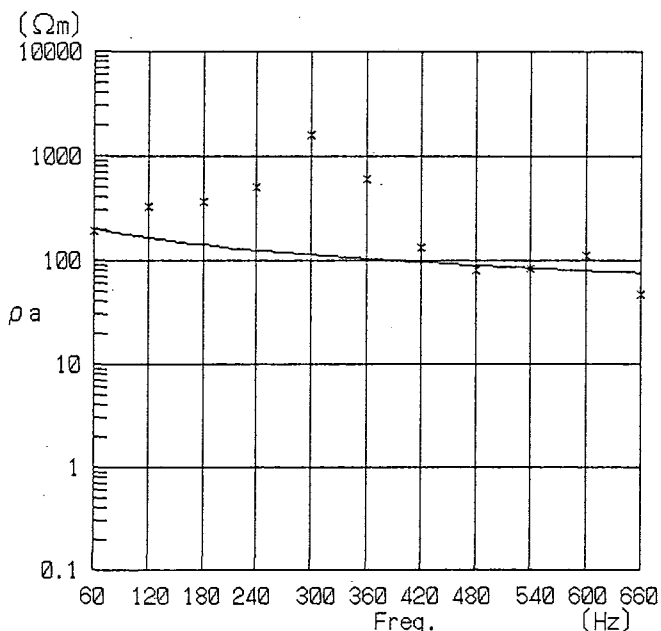
RESISTIVITY (Ωm)	DEPTH (m)
1 282.9	4.8
2 62.0	151.7
3 5352.0	



STATION NO. 009 (E-W)

F	ρ_a OBS	ρ_a CAL
60	162.0	174.5
120	212.0	95.0
180	116.0	65.9
240	68.0	50.8
300	40.0	41.5
360	36.0	35.2
420	51.0	30.6
480	3.0	27.2
540	20.0	24.5
600	195.0	22.4
660	1.0	20.6

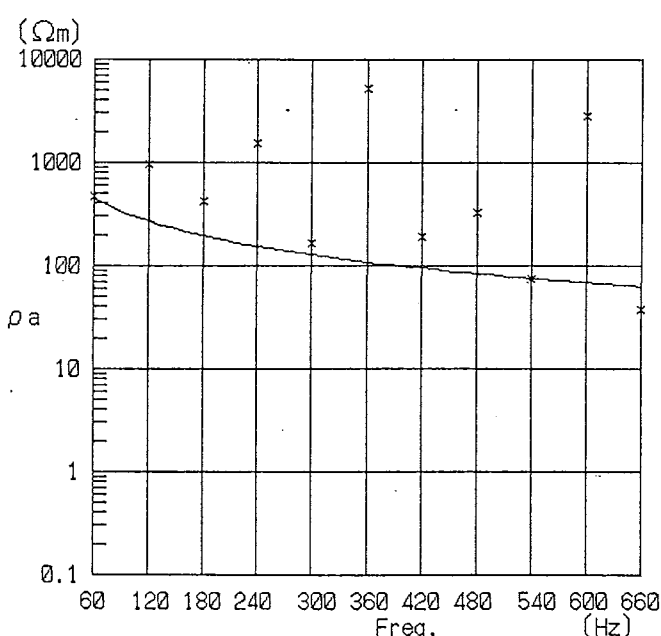
RESISTIVITY (Ωm)	DEPTH (m)
1 291.5	3.6
2 8.9	30.6
3 5876.5	



STATION NO. 010(N-S)

F	ρ_a OBS	ρ_a CAL
60	188.0	199.7
120	333.0	163.1
180	368.0	140.9
240	510.0	125.3
300	1624.0	113.5
360	608.0	104.1
420	133.0	96.5
480	80.0	90.1
540	84.0	84.6
600	113.0	79.8
660	47.0	75.7

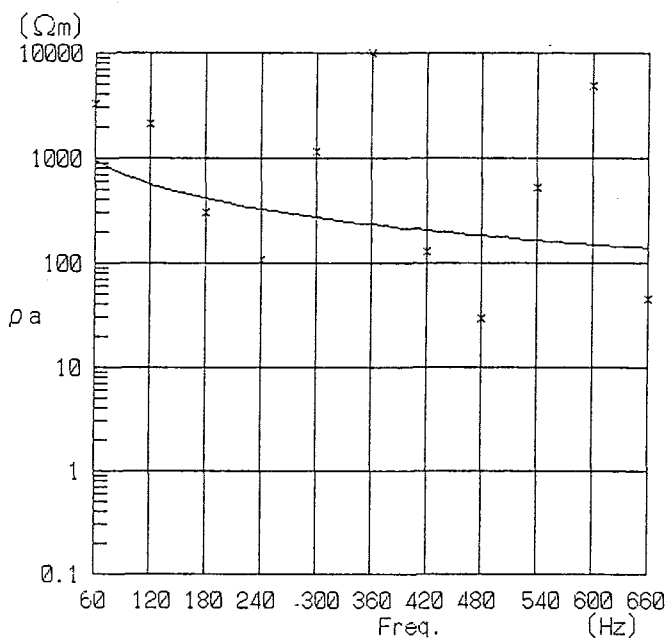
RESISTIVITY (Ωm)	DEPTH (m)
1	6.6
2	342.2



STATION NO. 010(E-W)

F	ρ_a OBS	ρ_a CAL
60	475.0	451.9
120	955.0	269.3
180	417.0	194.6
240	1561.0	153.3
300	164.0	126.8
360	5232.0	108.4
420	189.0	94.8
480	329.0	84.2
540	74.0	75.9
600	2795.0	69.1
660	38.0	63.4

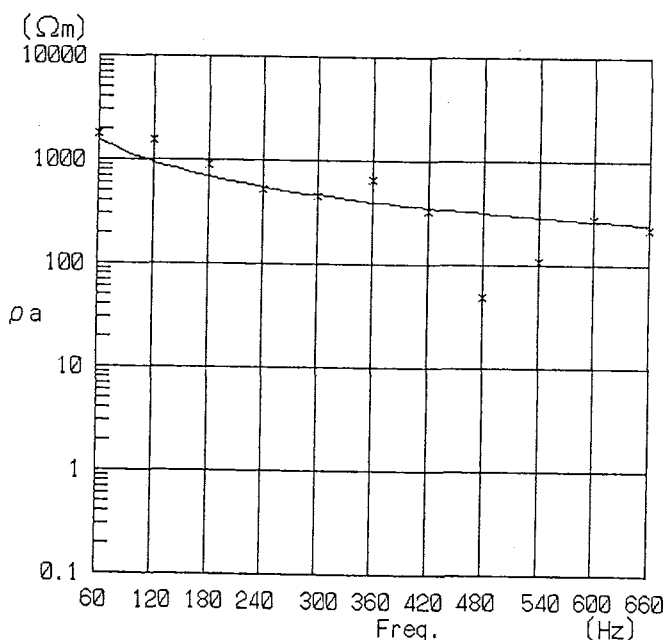
RESISTIVITY (Ωm)	DEPTH (m)
1	495.5
2	1.9
3	3918.0



STATION NO. 011(N-S)

F	ρ_a OBS	ρ_a CAL
60	3337.0	950.6
120	2167.0	571.1
180	303.0	414.8
240	106.0	328.1
300	1141.0	272.4
360	10000.0	233.6
420	127.0	204.8
480	29.0	182.6
540	532.0	164.9
600	4956.0	150.6
660	45.0	138.6

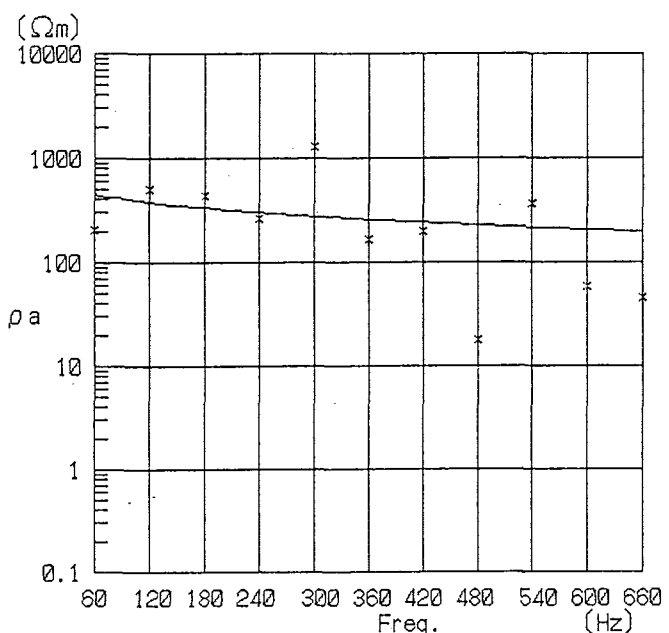
RESISTIVITY (Ωm)	DEPTH (m)
1	30.4
2	291.5
3	7823.4



STATION NO. 011(E-W)

F	ρ_a OBS	ρ_a CAL
60	1732.0	1540.8
120	1563.0	942.0
180	893.0	691.6
240	514.0	551.6
300	454.0	461.4
360	657.0	398.3
420	332.0	351.6
480	49.0	315.5
540	106.0	286.9
600	274.0	263.7
660	220.0	244.4

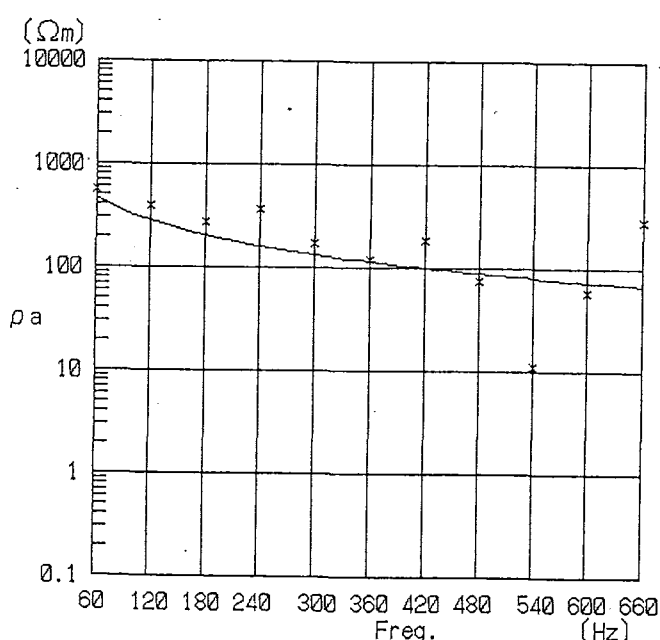
RESISTIVITY (Ωm)	DEPTH (m)
1	118.7
2	11242.0



STATION NO. 012(N-S)

F	ρ_a OBS	ρ_a CAL
60	206.0	446.5
120	502.0	377.8
180	444.0	334.4
240	266.0	303.0
300	1308.0	278.6
360	165.0	258.8
420	197.0	242.4
480	18.0	228.4
540	362.0	216.4
600	58.0	205.8
660	45.0	196.4

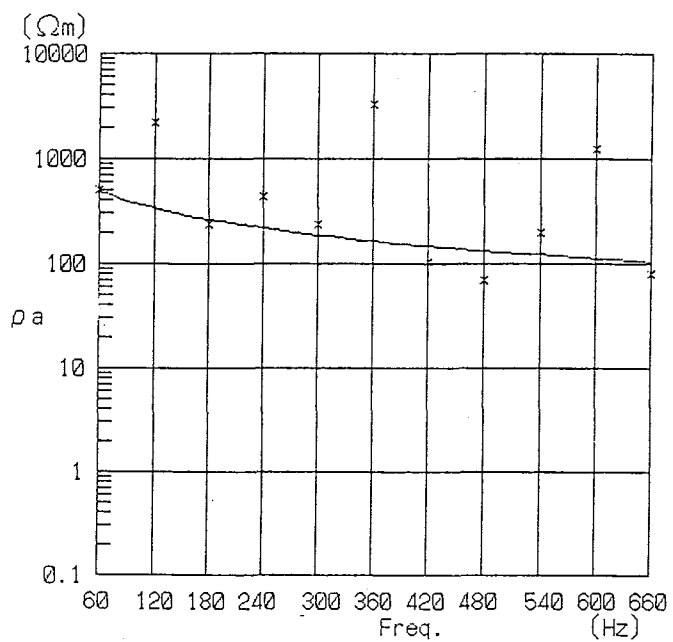
	RESISTIVITY (Ωm)	DEPTH (m)
1	500.6	5.1
2	17.1	14.7
3	688.4	



STATION NO. 012(E-W)

F	ρ_a OBS	ρ_a CAL
60	556.0	466.0
120	397.0	279.7
180	272.0	203.1
240	362.0	160.5
300	171.0	133.3
360	118.0	114.2
420	184.0	100.1
480	76.0	89.3
540	11.0	80.6
600	59.0	73.6
660	281.0	67.8

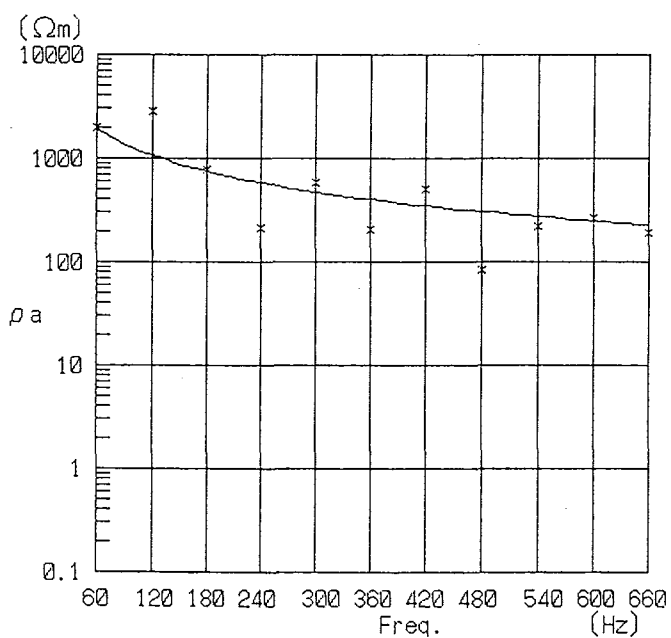
	RESISTIVITY (Ωm)	DEPTH (m)
1	16.5	25.6
2	3855.1	



STATION NO. 013(N-S)

F	ρ_a OBS	ρ_a CAL
60	512.0	493.6
120	2213.0	337.5
180	239.0	262.5
240	432.0	217.1
300	234.0	186.3
360	3330.0	163.8
420	103.0	146.7
480	69.0	133.1
540	197.0	122.1
600	1249.0	113.0
660	81.0	105.3

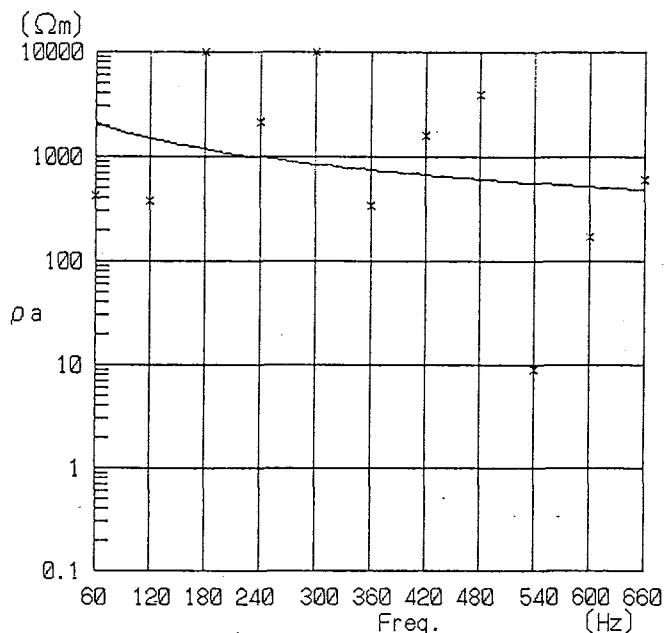
RESISTIVITY (Ωm)	DEPTH (m)
1	425.9
2	25.2
3	1716.9



STATION NO. 013(E-W)

F	ρ_a OBS	ρ_a CAL
60	1995.0	1910.2
120	2867.0	1067.2
180	790.0	748.2
240	215.0	578.5
300	583.0	472.7
360	205.0	400.1
420	505.0	347.3
480	85.0	307.0
540	218.0	275.2
600	265.0	249.5
660	190.0	228.3

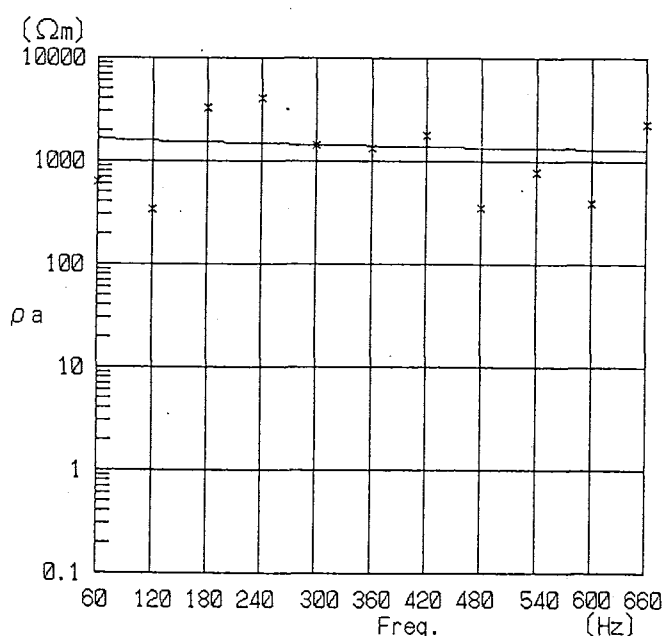
RESISTIVITY (Ωm)	DEPTH (m)
1	490.7
2	17.9
3	36565.0



STATION NO. 014(N-S)

F	ρ_a OBS	ρ_a CAL
60	416.0	2102.1
120	372.0	1486.3
180	10000.0	1175.9
240	2155.0	982.7
300	10000.0	848.8
360	344.0	749.8
420	1575.0	673.1
480	3912.0	611.9
540	9.0	561.7
600	169.0	519.7
660	612.0	484.0

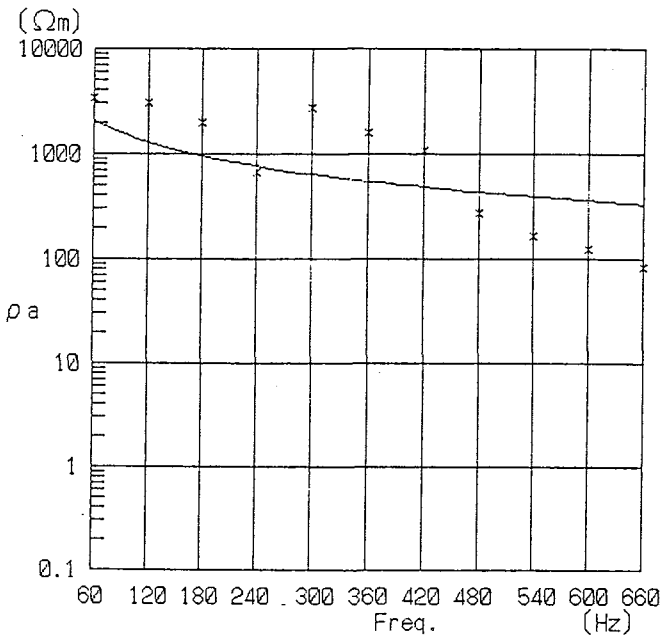
	RESISTIVITY (Ωm)	DEPTH (m)
1	965.1	6.8
2	48.5	30.9
3	6139.5	



STATION NO. 014(E-W)

F	ρ_a OBS	ρ_a CAL
60	637.0	1652.6
120	340.0	1577.5
180	3311.0	1522.5
240	4007.0	1477.8
300	1410.0	1439.8
360	1317.0	1406.3
420	1786.0	1376.4
480	358.0	1349.3
540	774.0	1324.4
600	395.0	1301.3
660	2288.0	1279.8

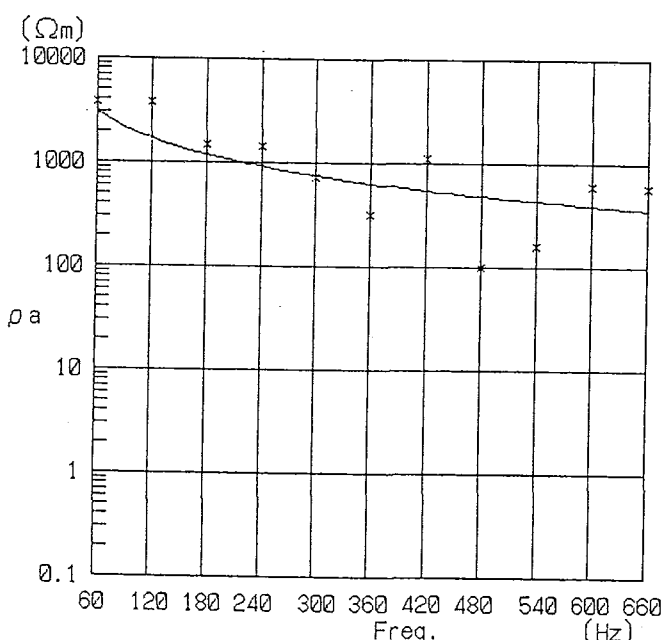
	RESISTIVITY (Ωm)	DEPTH (m)
1	1505.5	1.0
2	17.4	2.5
3	1850.3	



STATION NO. 015(N-S)

F	ρ_a OBS	ρ_a CAL
60	3419.0	2079.2
120	3038.0	1292.7
180	1956.0	955.3
240	676.0	763.7
300	2706.0	639.1
360	1582.0	551.2
420	1089.0	485.6
480	269.0	434.8
540	165.0	394.1
600	126.0	360.8
660	84.0	333.1

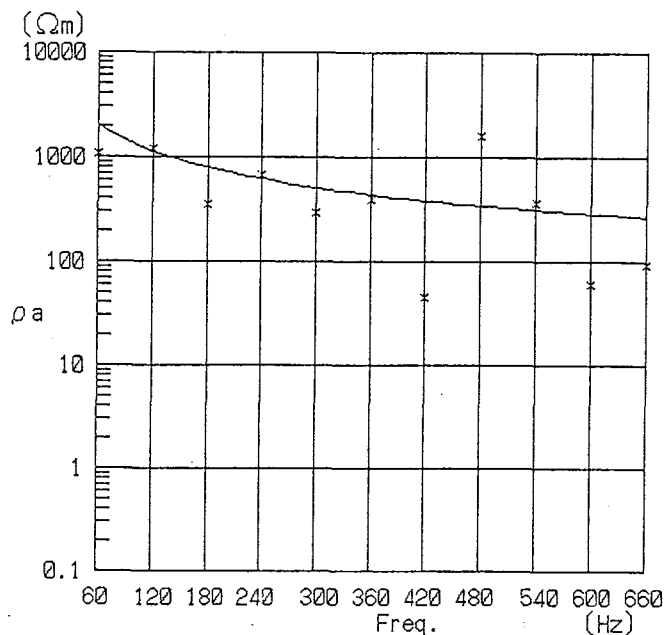
RESISTIVITY (Ωm)	DEPTH (m)
1 984.4	9.6
2 62.4	51.8
3 12856.3	



STATION NO. 015(E-W)

F	ρ_a OBS	ρ_a CAL
60	3731.0	3067.4
120	3719.0	1698.8
180	1483.0	1186.0
240	1451.0	914.7
300	729.0	745.9
360	317.0	630.6
420	1111.0	546.6
480	100.0	482.7
540	162.0	432.4
600	598.0	391.7
660	587.0	358.2

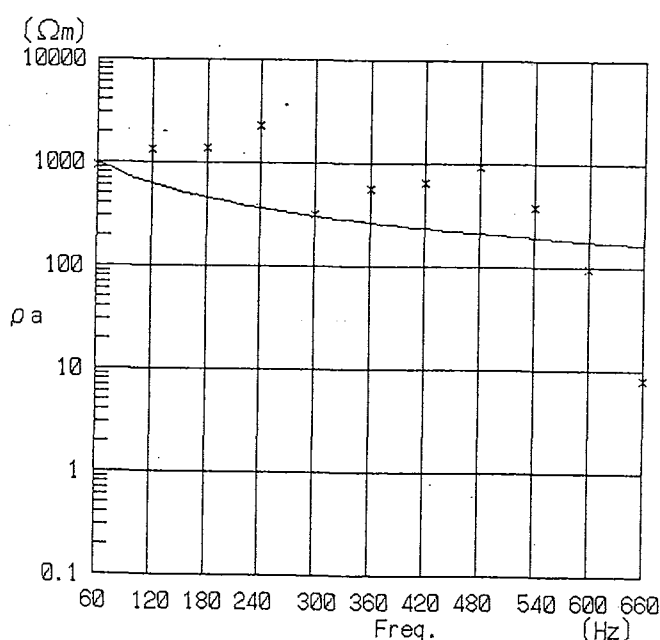
RESISTIVITY (Ωm)	DEPTH (m)
1 104.1	4.7
2 23.2	19.8
3 67670.0	



STATION NO. 016(N-S)

F	ρ_a OBS	ρ_a CAL
60	1070.0	2019.3
120	1194.0	1128.9
180	352.0	795.3
240	678.0	619.3
300	296.0	510.5
360	391.0	436.7
420	45.0	383.6
480	1591.0	343.6
540	361.0	312.5
600	60.0	287.8
660	93.0	267.8

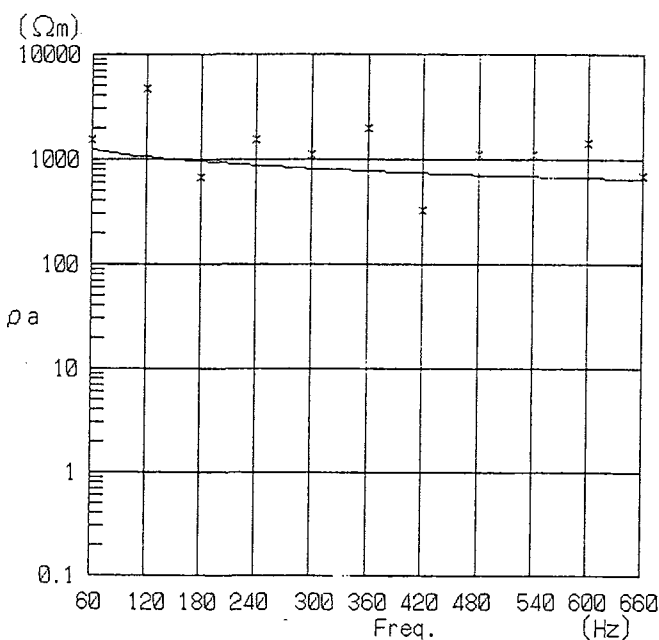
RESISTIVITY (Ωm)	DEPTH (m)
1 912.8	60.7
2 47.5	98.4
3 42545.0	



STATION NO. 016(E-W)

F	ρ_a OBS	ρ_a CAL
60	922.0	1017.4
120	1344.0	623.4
180	1366.0	458.4
240	2325.0	366.0
300	313.0	306.6
360	561.0	265.0
420	656.0	234.2
480	914.0	210.5
540	377.0	191.8
600	98.0	176.5
660	8.0	164.0

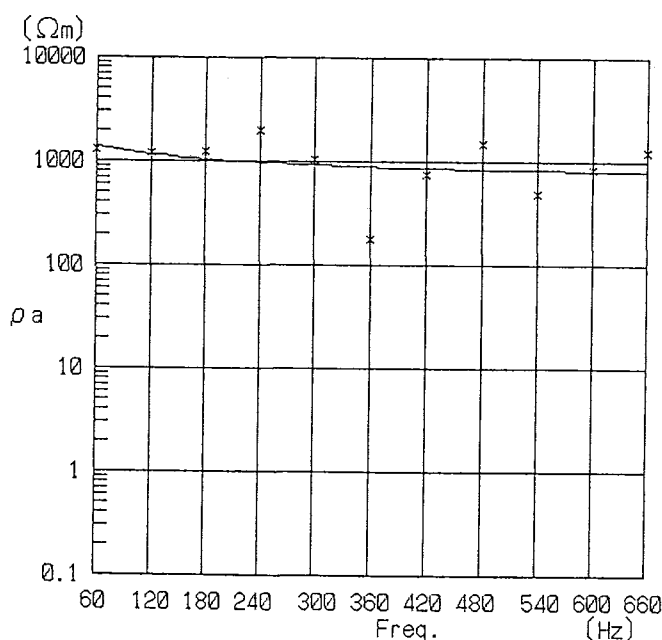
RESISTIVITY (Ωm)	DEPTH (m)
1 954.1	23.6
2 42.2	65.8
3 7277.6	



STATION NO. 017 (N-S)

F	ρ_a OBS	ρ_a CAL
60	1553.0	1246.3
120	4739.0	1063.2
180	674.0	953.1
240	1527.0	876.6
300	1115.0	819.7
360	1959.0	775.2
420	331.0	739.6
480	1106.0	710.4
540	1110.0	686.0
600	1412.0	665.4
660	704.0	647.8

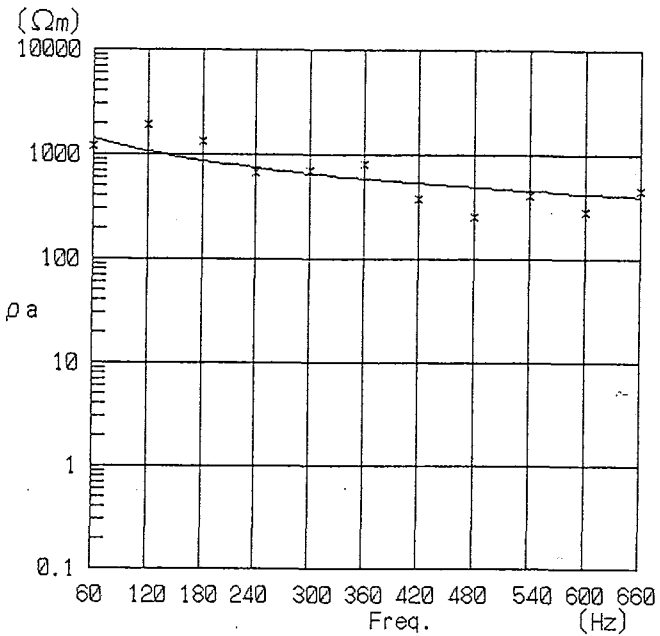
RESISTIVITY (Ωm)	DEPTH (m)
1	1116.1
2	516.7
3	1948.8



STATION NO. 017 (E-W)

F	ρ_a OBS	ρ_a CAL
60	1277.0	1383.3
120	1196.0	1167.6
180	1261.0	1050.1
240	1980.0	975.3
300	1035.0	924.1
360	175.0	887.5
420	739.0	860.7
480	1465.0	840.9
540	491.0	826.2
600	835.0	815.3
660	1239.0	807.4

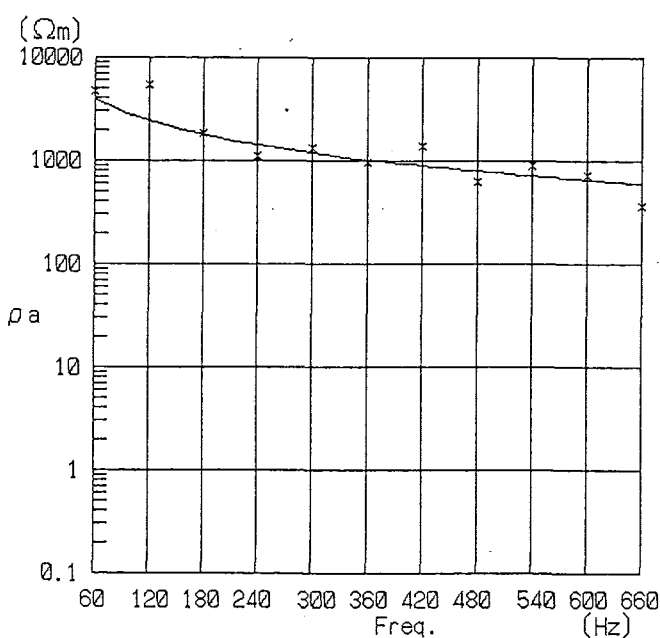
RESISTIVITY (Ωm)	DEPTH (m)
1	2123.8
2	749.5
3	2375.1



STATION NO. 018 (N-S)

F	ρ_a OBS	ρ_a CAL
60	1196.0	1428.3
120	1914.0	1069.1
180	1343.0	874.6
240	668.0	747.9
300	696.0	657.2
360	809.0	588.5
420	373.0	534.2
480	255.0	490.1
540	410.0	453.5
600	289.0	422.5
660	457.0	395.9

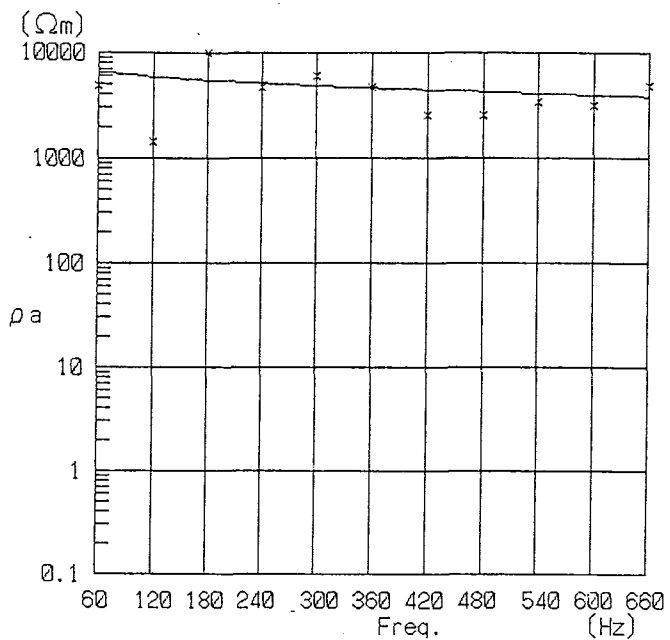
	RESISTIVITY (Ωm)	DEPTH (m)
1	919.1	6.1
2	36.3	24.7
3	3297.8	



STATION NO. 018 (E-W)

F	ρ_a OBS	ρ_a CAL
60	4647.0	3971.5
120	5332.0	2438.5
180	1813.0	1788.8
240	1122.0	1422.3
300	1327.0	1184.9
360	963.0	1017.8
420	1358.0	893.4
480	621.0	797.0
540	912.0	720.0
600	715.0	657.0
660	365.0	604.4

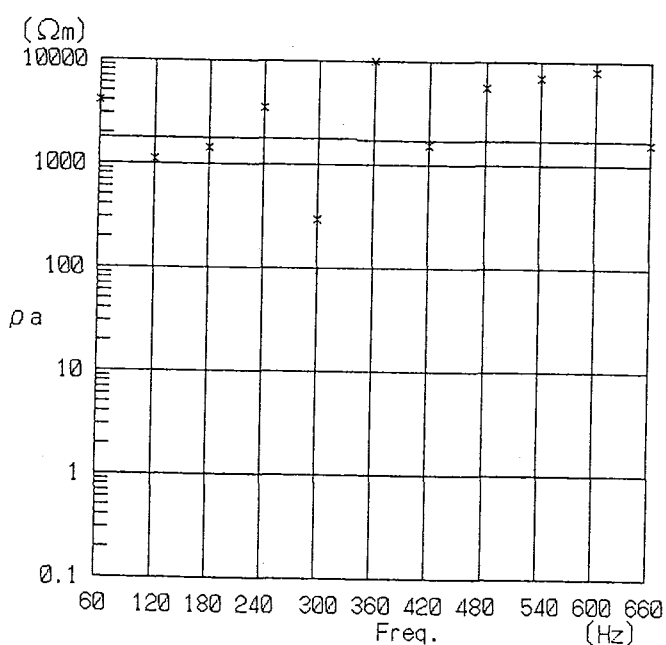
	RESISTIVITY (Ωm)	DEPTH (m)
1	997.1	4.9
2	29.5	19.6
3	26573.6	



STATION NO. 019(N-S)

F	ρ_a OBS	ρ_a CAL
60	4783.0	6572.3
120	1440.0	5932.7
180	10000.0	5493.4
240	4651.0	5154.8
300	6117.0	4878.3
360	4701.0	4645.7
420	2581.0	4444.3
480	2509.0	4267.3
540	3359.0	4109.6
600	3163.0	3967.8
660	4853.0	3839.0

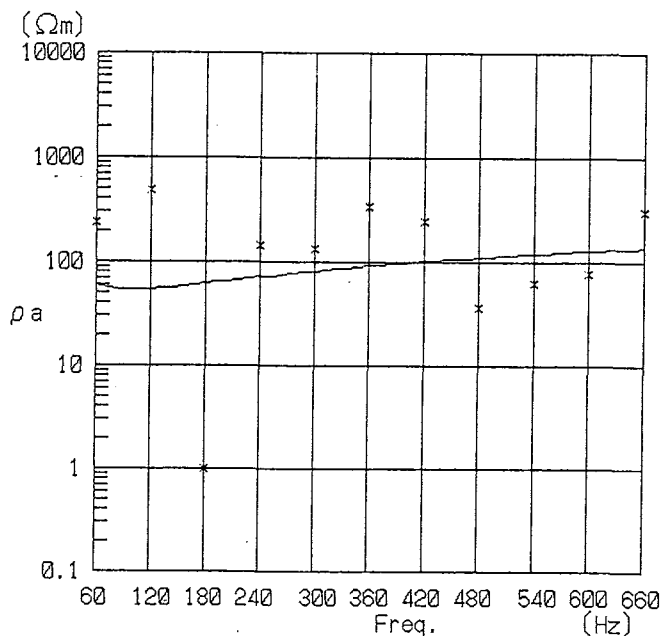
	RESISTIVITY ($\Omega\text{-m}$)	DEPTH (m)
1	5690.4	8.5
2	164.1	23.6
3	8478.9	



STATION NO. 019(E-W)

F	ρ_a OBS	ρ_a CAL
60	4058.0	1805.5
120	1115.0	1787.4
180	1423.0	1773.7
240	3531.0	1762.2
300	298.0	1752.2
360	9971.0	1743.2
420	1518.0	1734.9
480	5723.0	1727.3
540	7057.0	1720.1
600	8057.0	1713.4
660	1610.0	1707.1

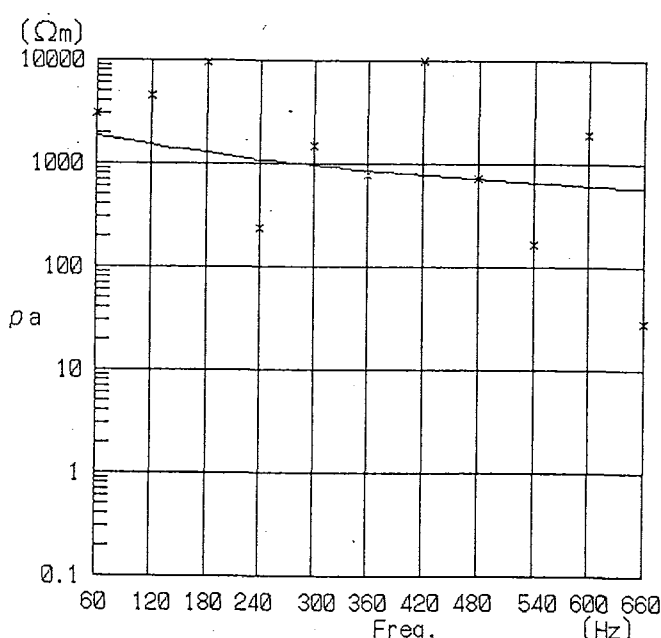
	RESISTIVITY ($\Omega\text{-m}$)	DEPTH (m)
1	3369.0	5.1
2	204.5	9.6
3	1849.8	



STATION NO. 020(N-S)

F	ρ_a OBS	ρ_a CAL
60	234.0	59.8
120	481.0	55.0
180	1.0	62.0
240	145.0	71.6
300	133.0	81.9
360	345.0	92.0
420	243.0	101.8
480	37.0	111.2
540	63.0	120.0
600	77.0	128.3
660	300.0	136.2

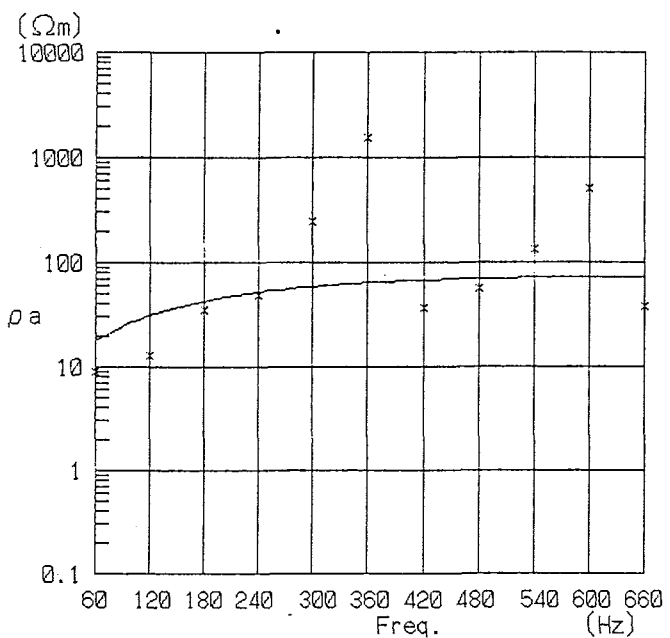
RESISTIVITY (Ωm)	DEPTH (m)
1	686.9
2	32.3
3	2916.5



STATION NO. 020(E-W)

F	ρ_a OBS	ρ_a CAL
60	3048.0	1834.1
120	4501.0	1512.9
180	9794.0	1271.1
240	238.0	1093.9
300	1509.0	961.0
360	769.0	858.6
420	10000.0	777.7
480	725.0	712.4
540	166.0	658.7
600	1883.0	613.9
660	28.0	575.9

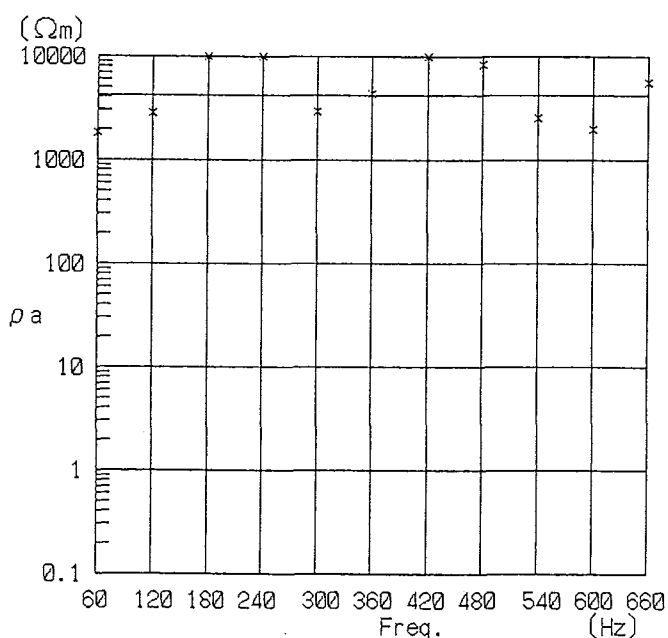
RESISTIVITY (Ωm)	DEPTH (m)
1	268.2
2	4994.5
3	1922.3



STATION NO. 021 (N-S)

F	ρ_a OBS	ρ_a CAL
60	9.0	17.6
120	13.0	31.2
180	35.0	42.6
240	48.0	51.9
300	245.0	59.1
360	1528.0	64.3
420	36.0	67.9
480	56.0	70.1
540	133.0	71.2
600	506.0	71.5
660	38.0	71.2

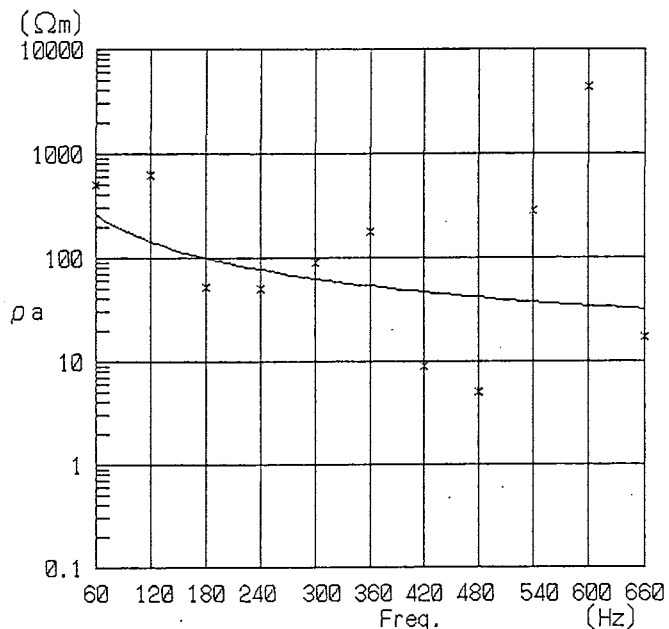
RESISTIVITY (Ωm)	DEPTH (m)
1	28.8
2	1712.0
3	0.5



STATION NO. 021 (E-W)

F	ρ_a OBS	ρ_a CAL
60	1832.0	4222.8
120	2804.0	4221.1
180	10000.0	4219.8
240	10000.0	4218.7
300	2954.0	4217.8
360	4389.0	4216.9
420	10000.0	4216.1
480	8328.0	4215.4
540	2507.0	4214.7
600	1998.0	4214.0
660	5642.0	4213.4

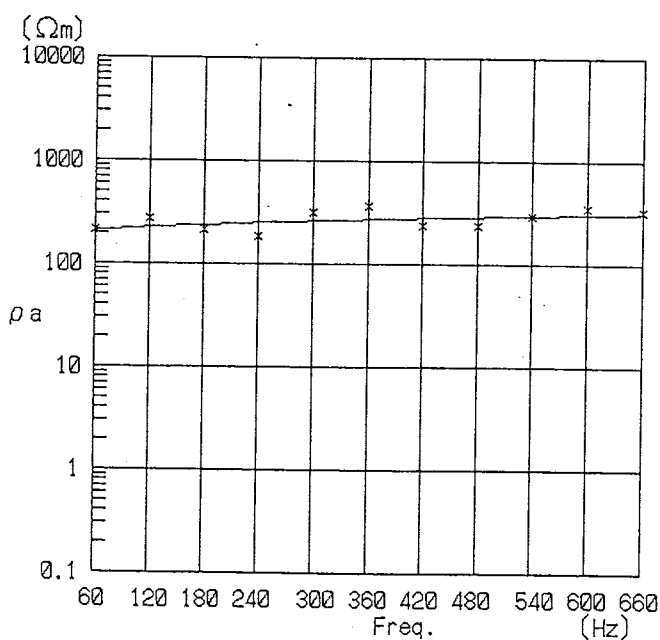
RESISTIVITY (Ωm)	DEPTH (m)
1	4265.0
2	2059.7
3	4226.9



STATION NO. 022(N-S)

F	ρ_a OBS	ρ_a CAL
60	510.0	262.9
120	628.0	143.4
180	52.0	99.7
240	51.0	77.0
300	89.0	63.0
360	181.0	53.6
420	9.0	46.8
480	5.0	41.6
540	285.0	37.7
600	4314.0	34.5
660	17.0	31.9

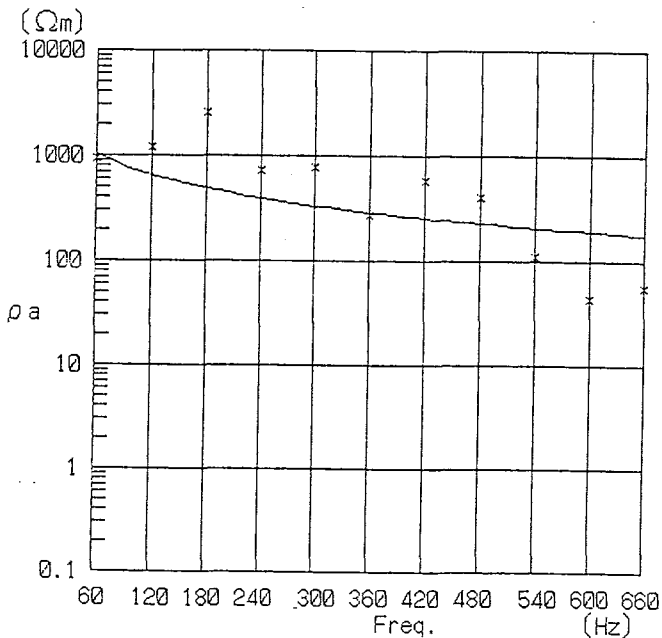
	RESISTIVITY (Ωm)	DEPTH (m)
1	992.1	10.6
2	11.3	38.5
3	8697.6	



STATION NO. 022(E-W)

F	ρ_a OBS	ρ_a CAL
60	214.0	209.6
120	270.0	225.9
180	216.0	239.0
240	185.0	250.4
300	319.0	260.8
360	361.0	270.5
420	238.0	279.6
480	241.0	288.2
540	297.0	296.4
600	348.0	304.3
660	324.0	311.9

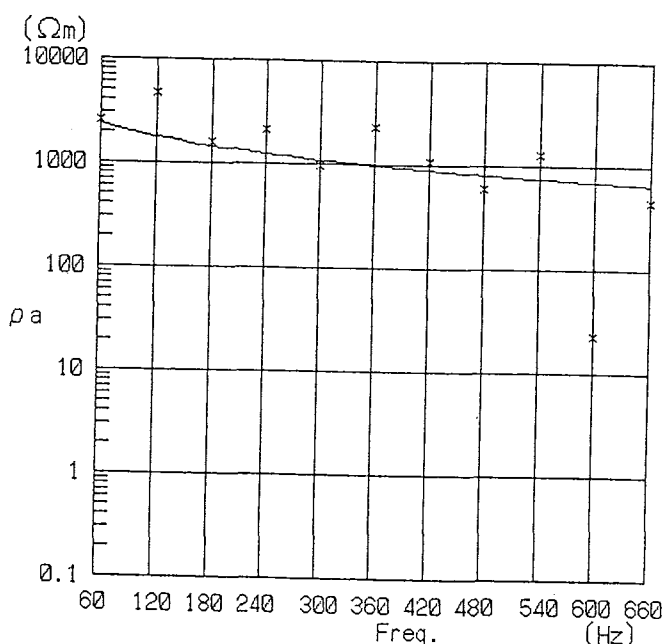
	RESISTIVITY (Ωm)	DEPTH (m)
1	1090.4	39.3
2	1409.6	92.5
3	174.3	



STATION NO. 023 (N-S)

F	ρ_a OBS	ρ_a CAL
60	924.0	1030.0
120	1186.0	655.4
180	2580.0	490.4
240	715.0	395.3
300	778.0	332.9
360	278.0	288.5
420	590.0	255.3
480	405.0	229.4
540	112.0	208.6
600	43.0	191.6
660	57.0	177.4

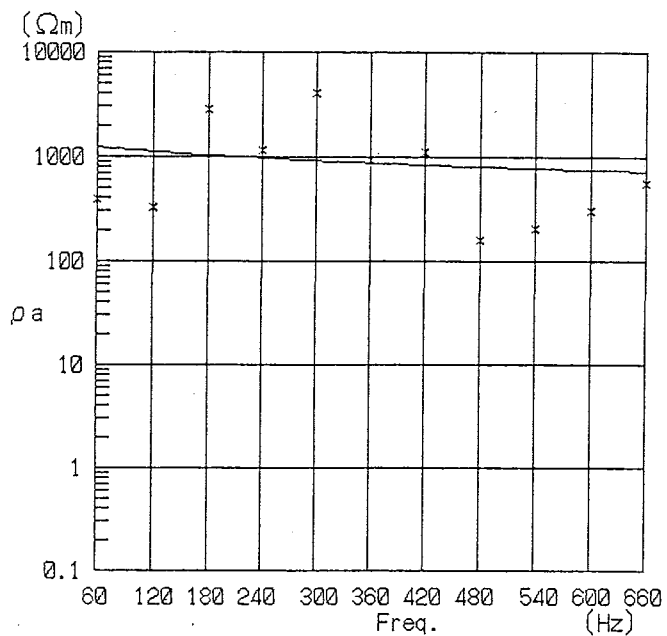
	RESISTIVITY (Ωm)	DEPTH (m)
1	994.8	9.5
2	38.3	44.9
3	5428.5	



STATION NO. 023 (E-W)

F	ρ_a OBS	ρ_a CAL
60	2567.0	2374.5
120	4682.0	1779.0
180	1586.0	1455.1
240	2119.0	1243.6
300	974.0	1092.0
360	2270.0	976.9
420	1070.0	885.9
480	609.0	812.0
540	1265.0	750.5
600	23.0	698.3
660	456.0	653.6

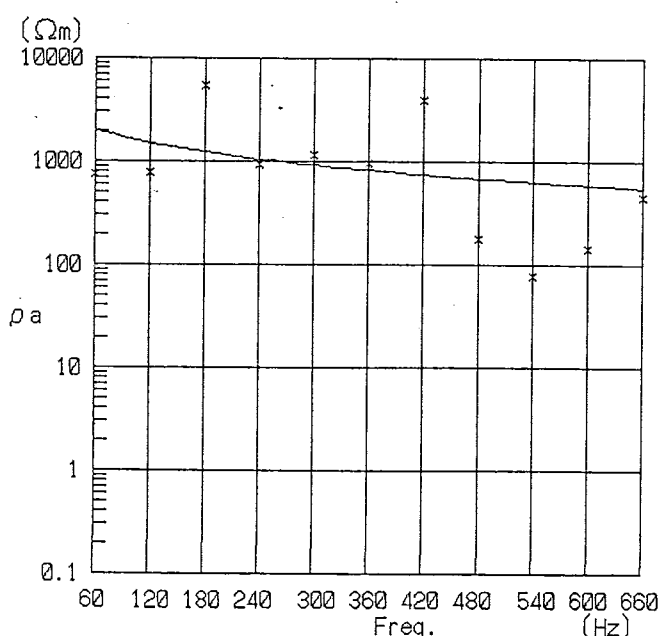
	RESISTIVITY (Ωm)	DEPTH (m)
1	755.2	1.0
2	5.1	3.0
3	5434.6	



STATION NO. 024 (N-S)

F	ρ_a OBS	ρ_a CAL
60	386.0	1232.7
120	327.0	1115.3
180	2841.0	1034.5
240	1142.0	972.0
300	4079.0	920.9
360	927.0	877.6
420	1109.0	840.2
480	160.0	807.2
540	203.0	777.8
600	310.0	751.3
660	564.0	727.2

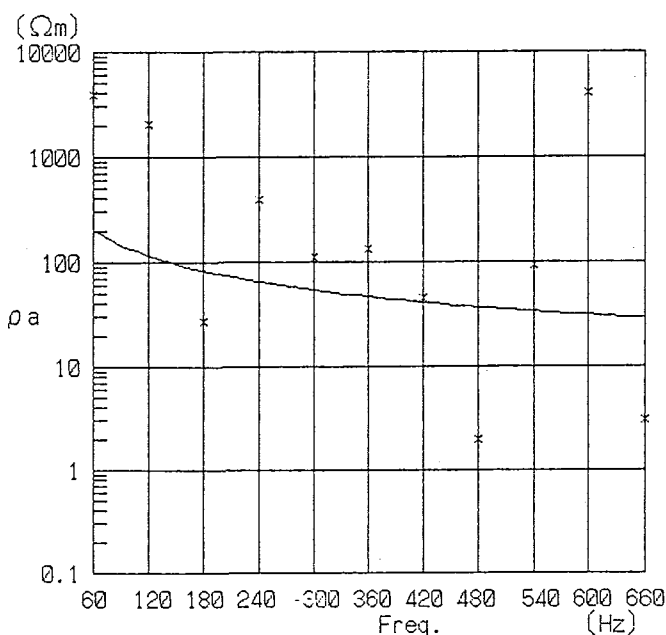
	RESISTIVITY (Ωm)	DEPTH (m)
1	1146.9	0.5
2	13.1	3.2
3	1579.6	



STATION NO. 024 (E-W)

F	ρ_a OBS	ρ_a CAL
60	755.0	2013.3
120	776.0	1505.8
180	5446.0	1230.3
240	919.0	1050.7
300	1136.0	922.1
360	968.0	824.6
420	3875.0	747.5
480	176.0	684.9
540	78.0	632.9
600	142.0	588.8
660	451.0	550.9

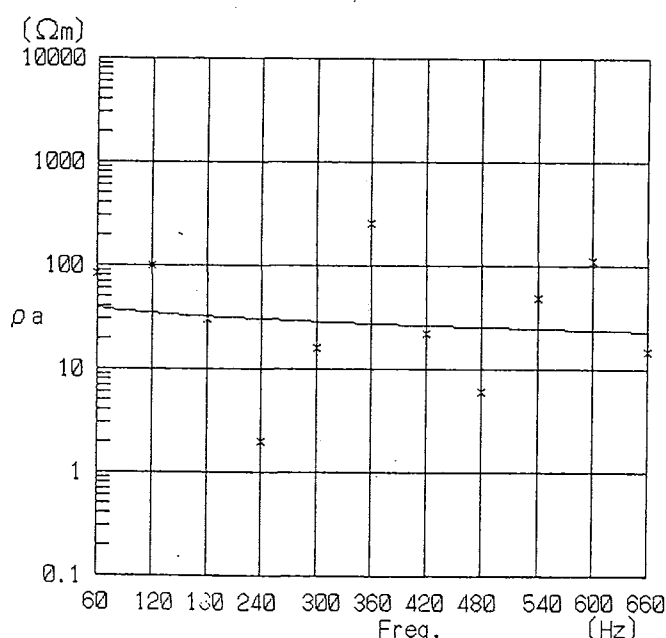
	RESISTIVITY (Ωm)	DEPTH (m)
1	628.6	0.8
2	5.6	3.2
3	4638.6	



STATION NO. 025 (N-S)

F	ρ_a OBS	ρ_a CAL
60	3984.0	202.2
120	2078.0	116.3
180	27.0	83.1
240	393.0	65.3
300	113.0	54.2
360	131.0	46.6
420	46.0	41.1
480	2.0	36.9
540	93.0	33.7
600	4100.0	31.1
660	3.0	29.0

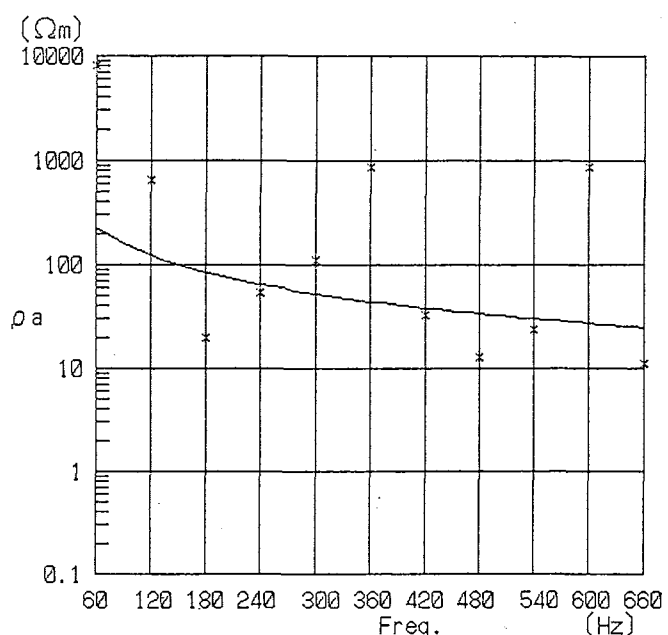
RESISTIVITY (Ωm)	DEPTH (m)
1	21.0
2	2903.8



STATION NO. 025 (E-W)

F	ρ_a OBS	ρ_a CAL
60	84.0	38.6
120	101.0	34.9
180	30.0	32.4
240	2.0	30.4
300	16.0	28.9
360	254.0	27.5
420	22.0	26.4
480	6.0	25.4
540	48.0	24.5
600	110.0	23.7
660	15.0	23.0

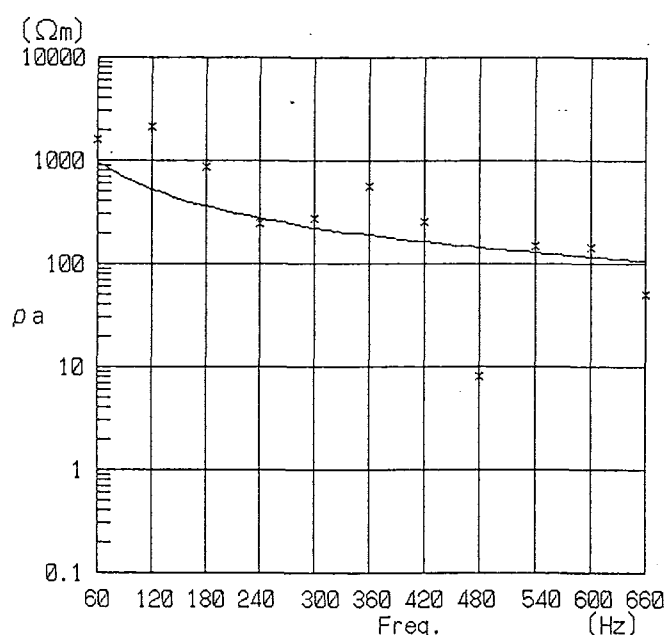
RESISTIVITY (Ωm)	DEPTH (m)
1	2979.1
2	6.1
3	49.6



STATION NO. 026 (N-S)

F	ρ_a OBS	ρ_a CAL
60	7934.0	230.3
120	645.0	123.6
180	20.0	85.1
240	54.0	65.0
300	112.0	52.8
360	870.0	44.4
420	33.0	38.4
480	13.0	33.8
540	24.0	30.3
600	859.0	27.4
660	11.0	25.0

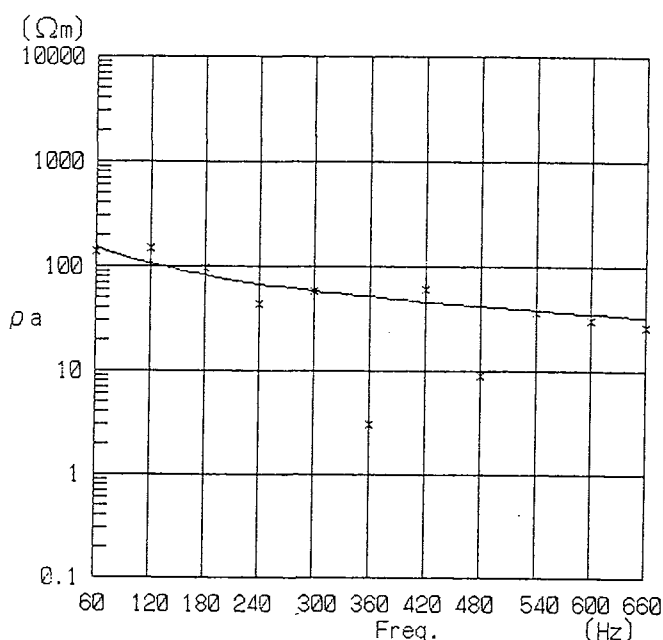
	RESISTIVITY (Ωm)	DEPTH (m)
1	996.5	1.9
2	3.2	10.5
3	10000.0	



STATION NO. 026 (E-W)

F	ρ_a OBS	ρ_a CAL
60	1597.0	972.1
120	2109.0	523.5
180	866.0	360.9
240	250.0	276.2
300	270.0	224.0
360	558.0	188.6
420	254.0	163.0
480	8.0	143.6
540	151.0	128.3
600	144.0	116.1
660	51.0	105.9

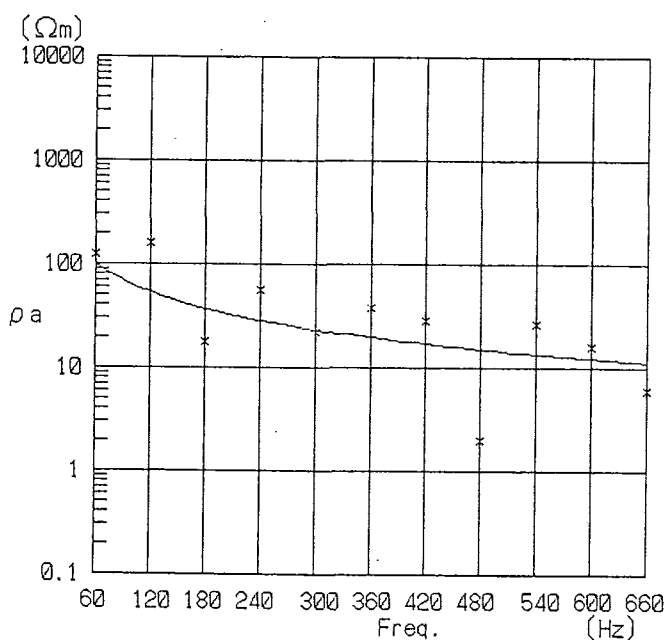
	RESISTIVITY (Ωm)	DEPTH (m)
1	1002.1	1.0
2	8.4	11.9
3	38035.9	



STATION NO. 027 (N-S)

F	ρ_a OBS	ρ_a CAL
60	140.0	153.3
120	150.0	105.7
180	96.0	82.5
240	44.0	68.3
300	58.0	58.6
360	3.0	51.5
420	61.0	46.0
480	9.0	41.6
540	37.0	38.1
600	30.0	35.2
660	26.0	32.7

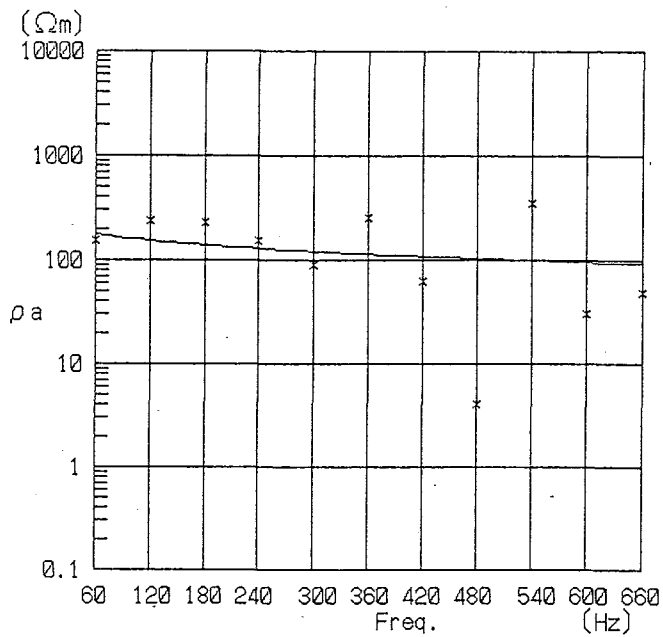
RESISTIVITY (Ωm)	DEPTH (m)
1	87.6
2	3.0
3	501.8



STATION NO. 027 (E-W)

F	ρ_a OBS	ρ_a CAL
60	125.0	99.0
120	159.0	53.7
180	18.0	37.1
240	56.0	28.5
300	22.0	23.2
360	38.0	19.6
420	28.0	17.0
480	2.0	15.0
540	26.0	13.5
600	16.0	12.3
660	6.0	11.2

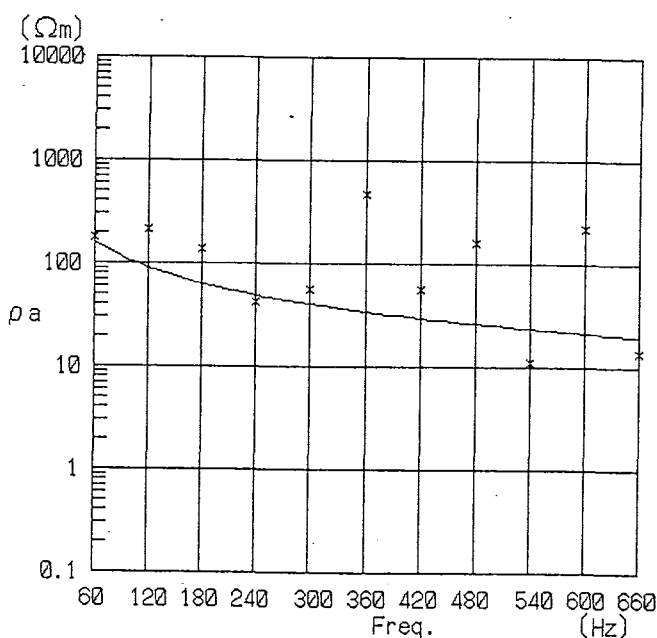
RESISTIVITY (Ωm)	DEPTH (m)
1	108.0
2	3.2
3	3469.1



STATION NO. 028(N-S)

F	ρ_a OBS	ρ_a CAL
60	155.0	174.7
120	237.0	153.9
180	231.0	140.1
240	154.0	129.7
300	89.0	121.4
360	251.0	114.6
420	63.0	108.8
480	4.0	103.7
540	347.0	99.3
600	31.0	95.4
660	49.0	91.8

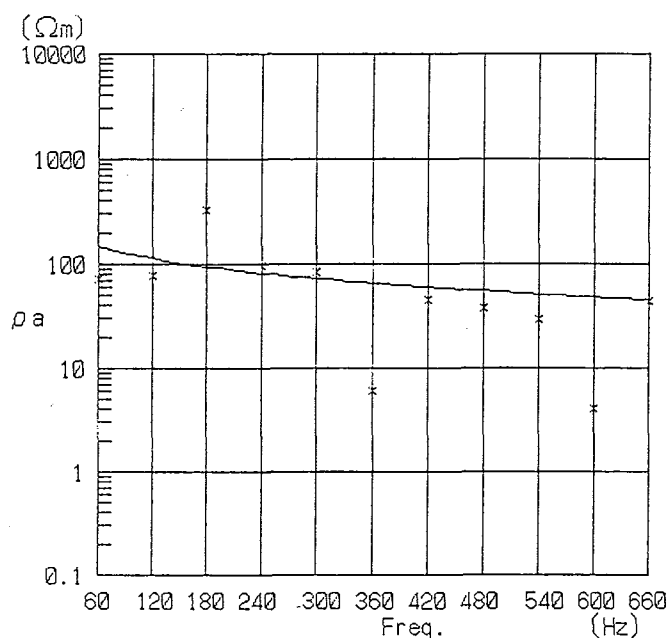
RESISTIVITY (Ωm)	DEPTH (m)
1	274.4
2	14.0
3	240.9



STATION NO. 028(E-W)

F	ρ_a OBS	ρ_a CAL
60	179.0	160.8
120	215.0	90.2
180	139.0	63.4
240	42.0	49.1
300	56.0	40.2
360	471.0	34.1
420	57.0	29.6
480	160.0	26.2
540	11.0	23.6
600	221.0	21.4
660	14.0	19.6

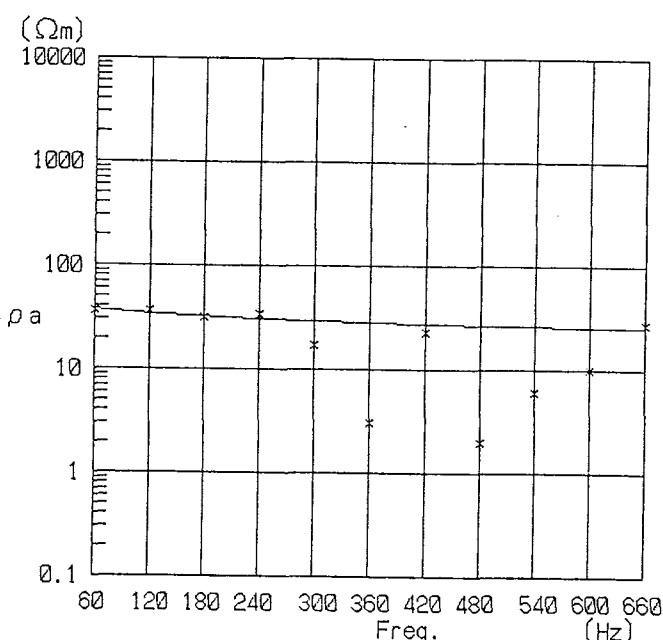
RESISTIVITY (Ωm)	DEPTH (m)
1	149.6
2	3.4
3	2925.3



STATION NO. 029(N-S)

F	ρ_a OBS	ρ_a CAL
60	73.0	147.1
120	79.0	113.6
180	331.0	94.7
240	98.0	82.0
300	84.0	72.7
360	3.0	65.6
420	45.0	59.9
480	38.0	55.2
540	29.0	51.3
600	4.0	48.0
660	43.0	45.1

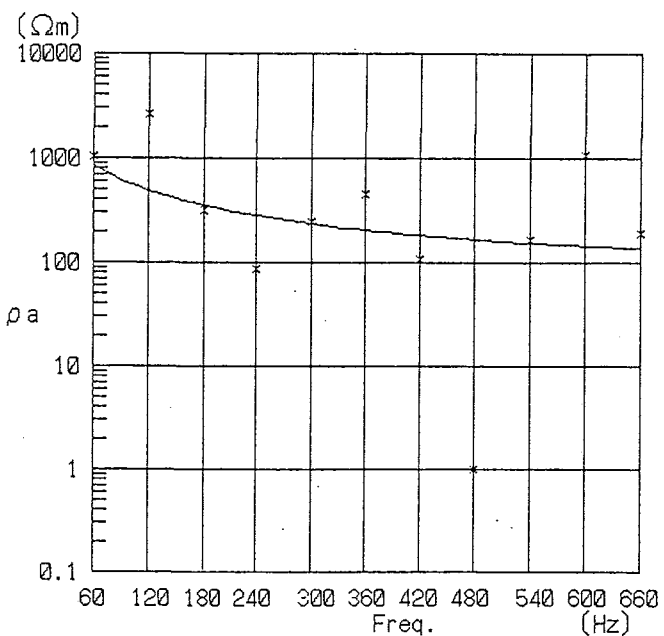
	RESISTIVITY (Ωm)	DEPTH (m)
1	82.0	0.6
2	1.4	2.6
3	302.2	



STATION NO. 029(E-W)

F	ρ_a OBS	ρ_a CAL
60	36.0	38.0
120	37.0	34.6
180	32.0	32.3
240	34.0	30.7
300	17.0	29.4
360	3.0	28.3
420	23.0	27.5
480	2.0	26.8
540	6.0	26.1
600	10.0	25.6
660	27.0	25.1

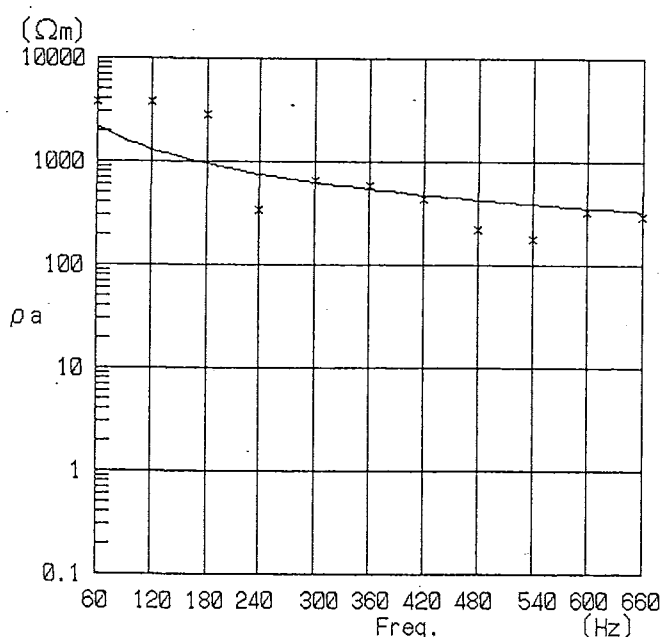
	RESISTIVITY (Ωm)	DEPTH (m)
1	22.1	49.5
2	49.1	



STATION NO. 030(N-S)

F	ρ_a OBS	ρ_a CAL
60	1041.0	848.6
120	2600.0	491.9
180	321.0	354.5
240	88.0	281.3
300	244.0	235.9
360	451.0	205.2
420	106.0	183.3
480	1.0	167.0
540	164.0	154.5
600	1084.0	144.7
660	188.0	137.0

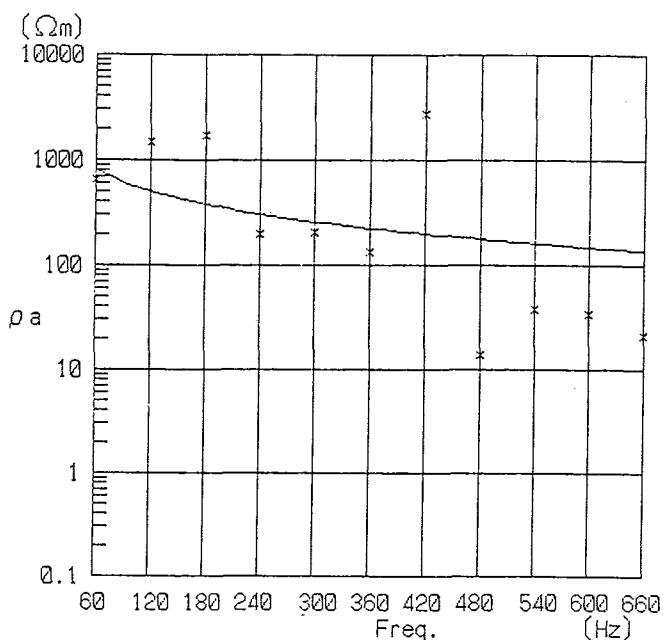
RESISTIVITY (Ωm)	DEPTH (m)
1 1019.7	26.2
2 90.2	139.3
3 11907.0	



STATION NO. 030(E-W)

F	ρ_a OBS	ρ_a CAL
60	3847.0	2176.0
120	3741.0	1307.5
180	2857.0	951.8
240	339.0	755.1
300	659.0	629.4
360	584.0	542.0
420	436.0	477.6
480	218.0	428.2
540	176.0	389.1
600	333.0	357.4
660	296.0	331.3

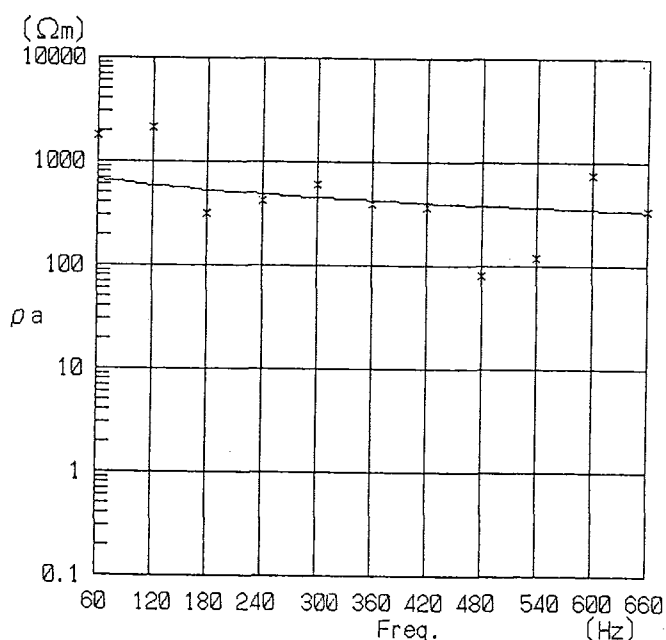
RESISTIVITY (Ωm)	DEPTH (m)
1 910.5	31.8
2 91.0	94.7
3 18445.5	



STATION NO. 031 (N-S)

F	ρ_a OBS	ρ_a CAL
60	651.0	797.6
120	1484.0	509.3
180	1729.0	381.3
240	200.0	307.4
300	204.0	258.6
360	131.0	223.9
420	2765.0	197.9
480	14.0	177.5
540	38.0	161.2
600	34.0	147.8
660	21.0	136.5

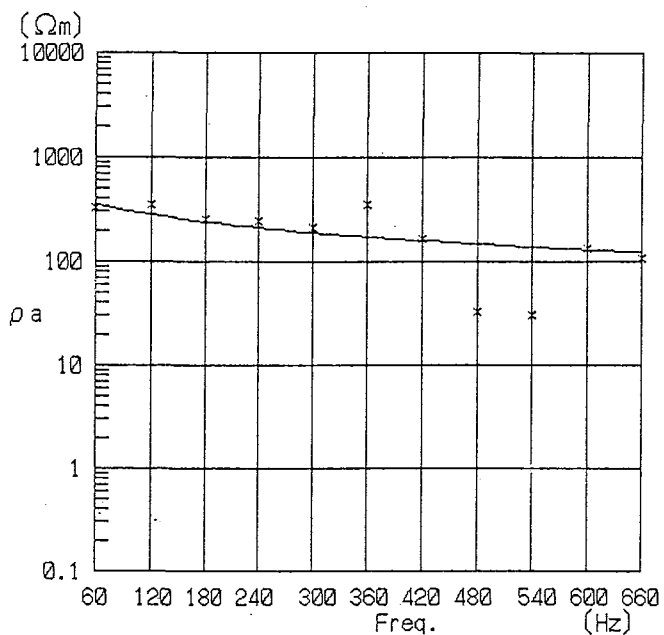
	RESISTIVITY (Ωm)	DEPTH (m)
1	497.7	7.4
2	14.1	21.9
3	4059.1	



STATION NO. 031 (E-W)

F	ρ_a OBS	ρ_a CAL
60	1788.0	681.9
120	2134.0	591.0
180	317.0	531.9
240	418.0	488.1
300	615.0	453.6
360	399.0	425.4
420	364.0	401.5
480	80.0	381.1
540	118.0	363.2
600	752.0	347.4
660	338.0	333.3

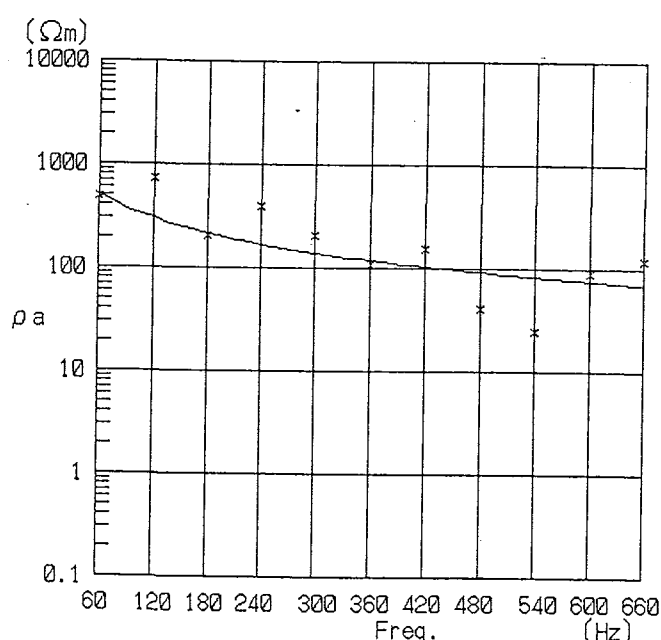
	RESISTIVITY (Ωm)	DEPTH (m)
1	71.4	29.8
2	983.2	



STATION NO. 032(N-S)

F	ρ_a OBS	ρ_a CAL
60	329.0	355.4
120	351.0	283.4
180	251.0	241.2
240	245.0	212.1
300	212.0	190.5
360	347.0	173.6
420	166.0	159.9
480	33.0	148.5
540	31.0	138.8
600	131.0	130.5
660	106.0	123.3

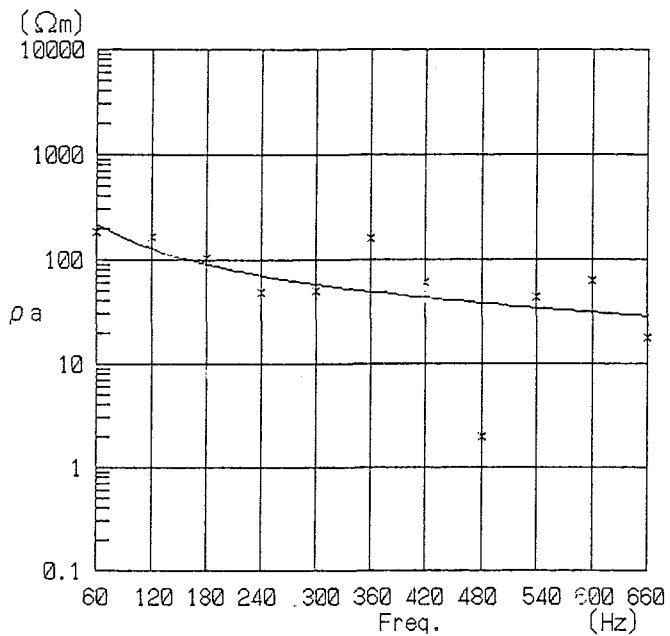
RESISTIVITY (Ωm)	DEPTH (m)
1	15.1
2	656.6



STATION NO. 032(E-W)

F	ρ_a OBS	ρ_a CAL
60	494.0	512.0
120	715.0	299.8
180	209.0	214.8
240	398.0	168.4
300	206.0	138.9
360	108.0	118.4
420	156.0	103.3
480	41.0	91.7
540	25.0	82.5
600	90.0	75.1
660	121.0	68.9

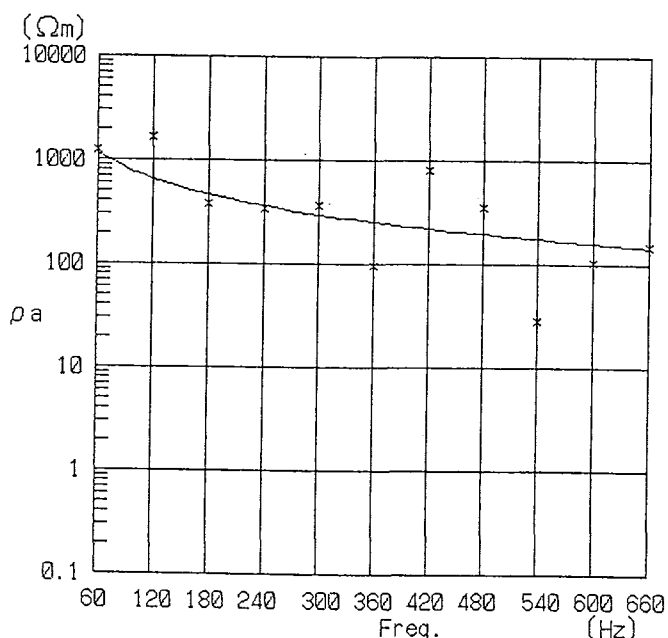
RESISTIVITY (Ωm)	DEPTH (m)
1	82.5
2	5.2
3	5333.5



STATION NO. 033(N-S)

F	ρ_a OBS	ρ_a CAL
60	183.0	219.2
120	163.0	126.9
180	104.0	90.4
240	48.0	70.6
300	50.0	58.1
360	58.0	49.5
420	30.0	43.1
480	2.0	33.2
540	43.0	34.4
600	63.0	31.2
660	18.0	28.6

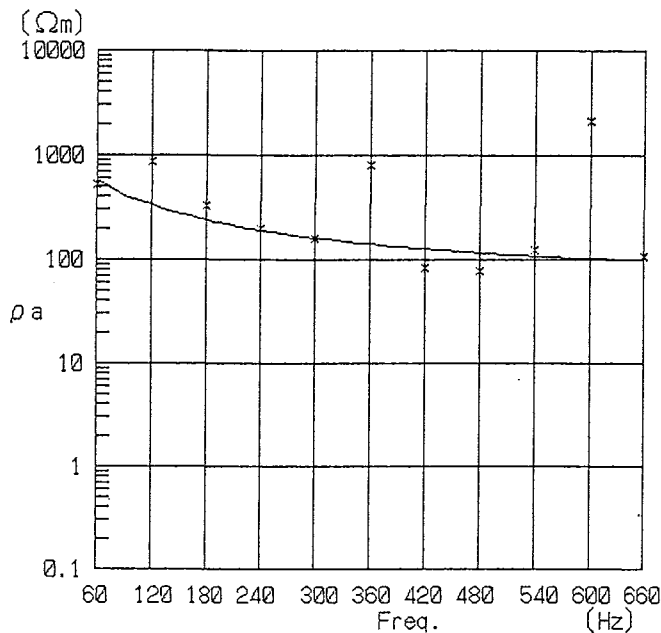
RESISTIVITY (Ωm)	DEPTH (m)
1	3.2
2	2602.5



STATION NO. 033(E-W)

F	ρ_a OBS	ρ_a CAL
60	1229.0	1150.7
120	1631.0	658.2
180	377.0	466.4
240	336.0	362.9
300	371.0	297.7
360	95.0	252.8
420	796.0	219.9
480	352.0	194.7
540	28.0	174.7
600	104.0	158.6
660	149.0	145.2

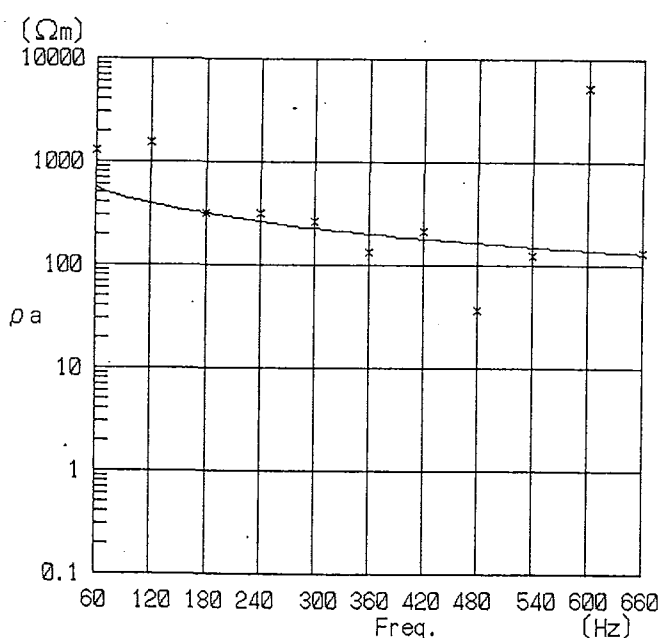
RESISTIVITY (Ωm)	DEPTH (m)
1	87.3
2	1.6
3	15593.5



STATION NO. 034(N-S)

F	ρ_a OBS	ρ_a CAL
60	527.0	577.7
120	870.0	333.9
180	329.0	240.8
240	195.0	191.7
300	159.0	161.5
360	804.0	141.4
420	83.0	127.1
480	79.0	116.7
540	122.0	108.9
600	2095.0	103.0
660	108.0	98.4

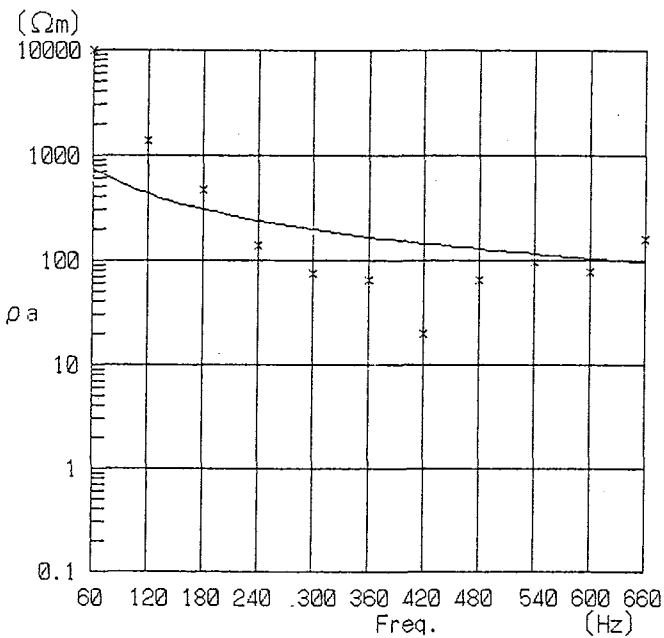
	RESISTIVITY (Ωm)	DEPTH (m)
1	576.3	56.1
2	26.1	94.3
3	8638.2	



STATION NO. 034(E-W)

F	ρ_a OBS	ρ_a CAL
60	1274.0	559.0
120	1519.0	395.1
180	320.0	312.7
240	317.0	261.4
300	262.0	225.9
360	134.0	199.7
420	215.0	179.5
480	36.0	163.3
540	126.0	150.0
600	5304.0	138.9
660	131.0	129.5

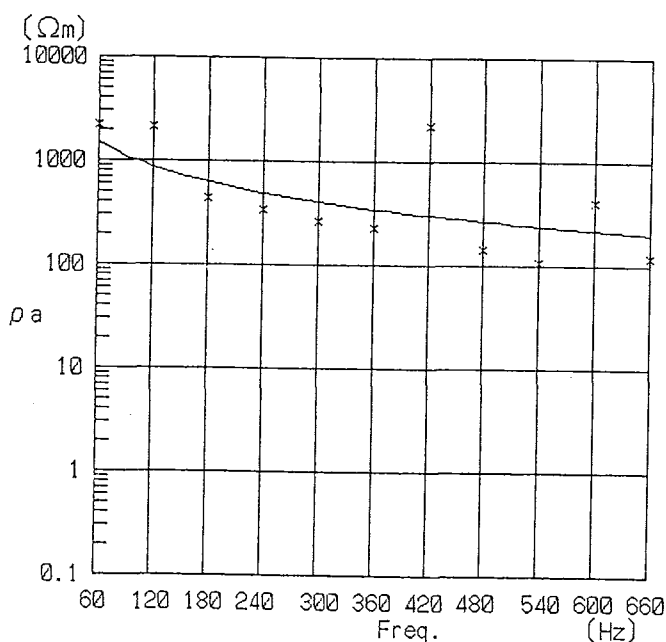
	RESISTIVITY (Ωm)	DEPTH (m)
1	27.4	27.1
2	1642.9	



STATION NO. 035 (N-S)

F	ρ_a OBS	ρ_a CAL
60	10000.0	750.9
120	1372.0	430.7
180	462.0	305.8
240	138.0	238.3
300	76.0	195.8
360	64.0	166.5
420	20.0	145.0
480	66.0	128.5
540	98.0	115.5
600	79.0	105.0
660	162.0	96.3

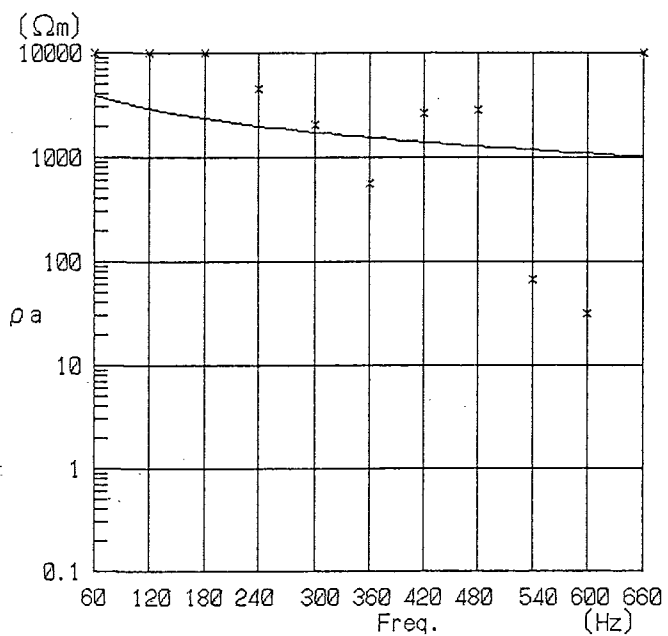
	RESISTIVITY (Ωm)	DEPTH (m)
1	985.8	5.1
2	9.1	17.1
3	10000.0	



STATION NO. 035 (E-W)

F	ρ_a OBS	ρ_a CAL
60	2237.0	1510.4
120	2124.0	878.7
180	439.0	627.9
240	337.0	491.2
300	264.0	404.6
360	229.0	344.6
420	2184.0	300.4
480	141.0	266.6
540	106.0	239.7
600	403.0	217.9
660	118.0	199.9

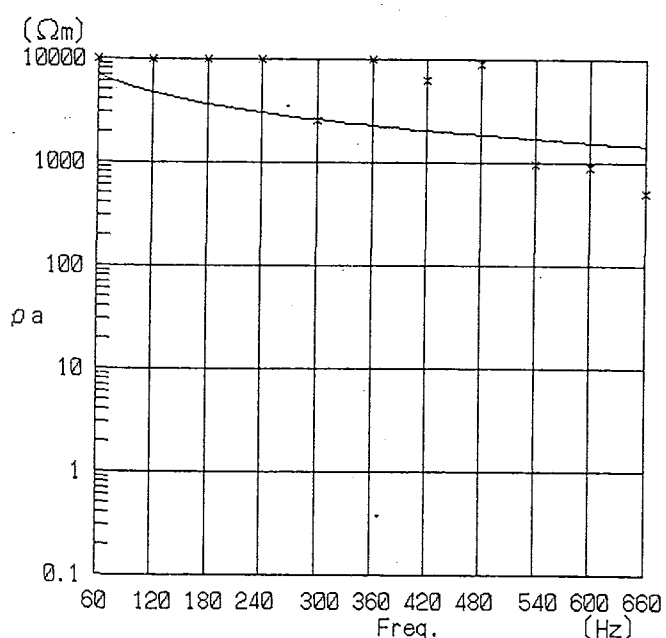
	RESISTIVITY (Ωm)	DEPTH (m)
1	994.6	4.8
2	10.2	14.0
3	16841.6	



STATION NO. 036 (N-S)

F	ρ_a OBS	ρ_a CAL
60	10000.0	3982.1
120	10000.0	2917.3
180	10000.0	2356.1
240	4582.0	1996.7
300	2020.0	1742.8
360	571.0	1552.2
420	2650.0	1402.9
480	2850.0	1282.3
540	68.0	1182.7
600	32.0	1098.8
660	10000.0	1027.0

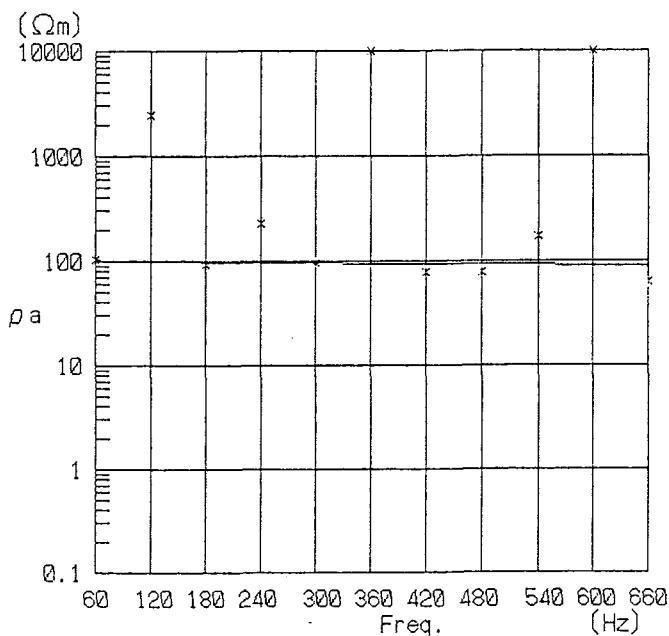
RESISTIVITY (Ωm)	DEPTH (m)
1	997.1
2	96.1
3	10000.0



STATION NO. 036 (E-W)

F	ρ_a OBS	ρ_a CAL
60	10000.0	6885.0
120	10000.0	4730.7
180	10000.0	3682.3
240	10000.0	3043.0
300	2506.0	2606.6
360	10000.0	2287.4
420	6354.0	2042.5
480	8882.0	1848.2
540	982.0	1689.8
600	907.0	1558.0
660	513.0	1446.4

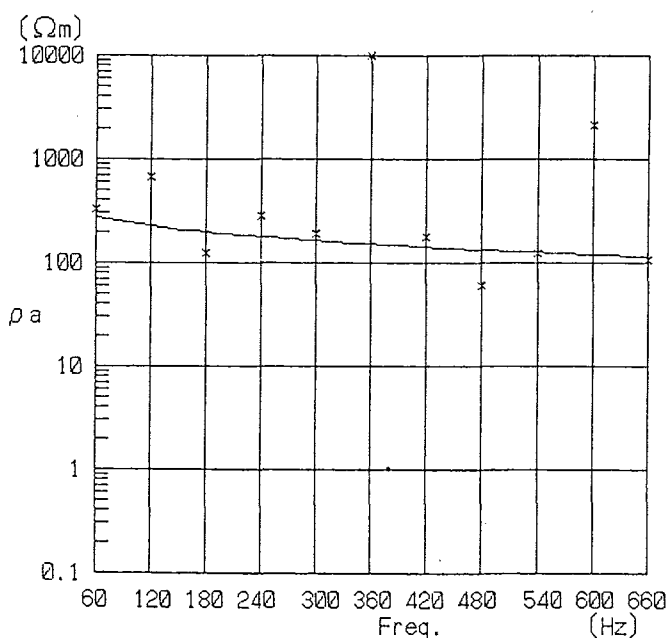
RESISTIVITY (Ωm)	DEPTH (m)
1	1001.6
2	107.4
3	22946.7



STATION NO. 037(N-S)

F	ρ_a OBS	ρ_a CAL
60	105.0	101.9
120	2454.0	99.6
180	93.0	97.9
240	229.0	96.5
300	95.0	95.3
360	10000.0	94.3
420	79.0	93.3
480	77.0	92.5
540	169.0	91.7
600	10000.0	90.9
660	63.0	90.2

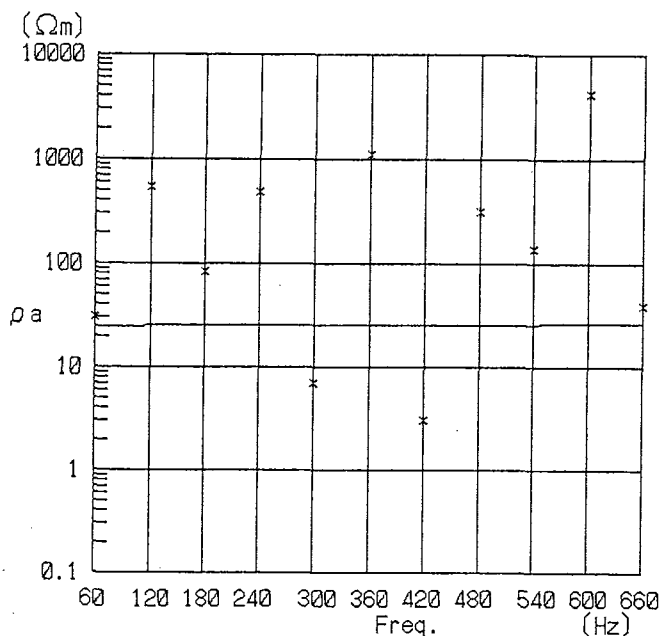
RESISTIVITY (Ωm)	DEPTH (m)
1	479.9
2	43.9
3	107.7



STATION NO. 037(E-W)

F	ρ_a OBS	ρ_a CAL
60	323.0	271.7
120	672.0	226.7
180	123.0	199.0
240	289.0	179.2
300	193.0	164.2
360	10000.0	152.1
420	180.0	142.2
480	61.0	133.8
540	124.0	126.7
600	2139.0	120.4
660	106.0	115.0

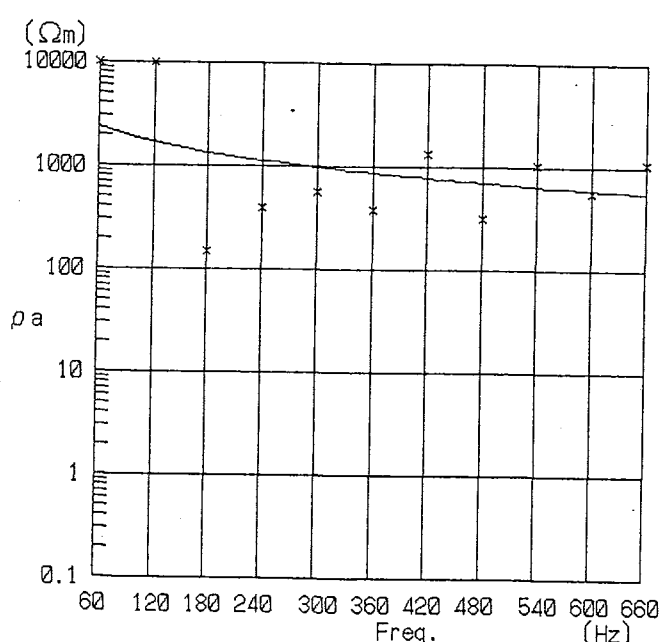
RESISTIVITY (Ωm)	DEPTH (m)
1	422.3
2	28.1
3	438.9



STATION NO. 038(N-S)

F	ρ_a OBS	ρ_a CAL
60	30.0	24.8
120	547.0	25.1
180	84.0	25.2
240	494.0	25.4
300	7.0	25.5
360	1117.0	25.6
420	3.0	25.7
480	317.0	25.8
540	138.0	25.9
600	4237.0	26.0
660	39.0	26.1

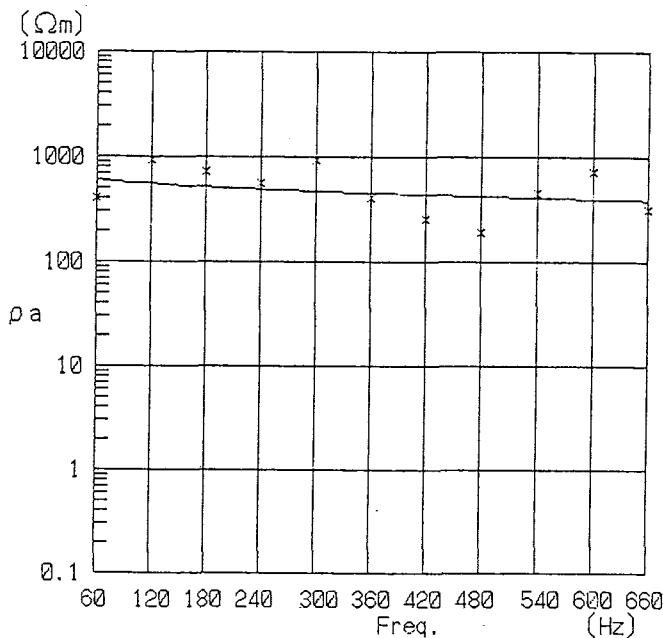
RESISTIVITY (Ωm)	DEPTH (m)
1	404.9
2	44.5
3	24.3



STATION NO. 038(E-W)

F	ρ_a OBS	ρ_a CAL
60	10000.0	2383.8
120	10000.0	1698.4
180	149.0	1348.8
240	387.0	1129.6
300	569.0	976.9
360	385.0	863.6
420	1316.0	775.7
480	318.0	705.2
540	1023.0	647.3
600	555.0	598.8
660	1086.0	557.5

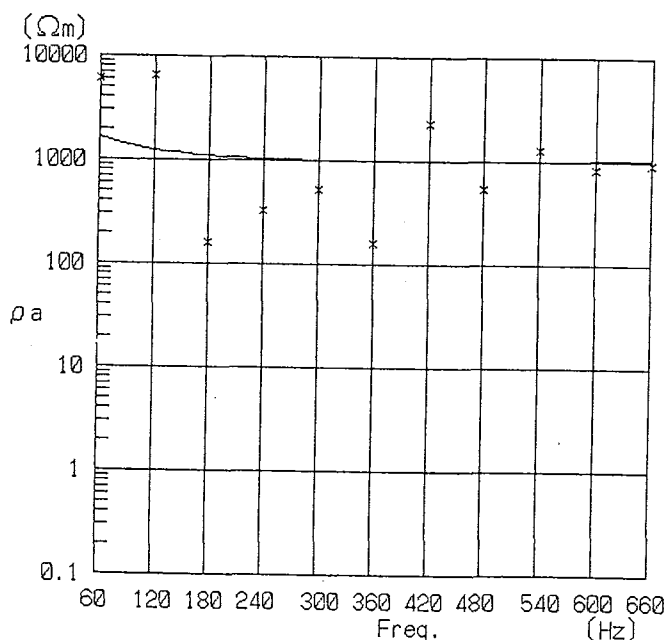
RESISTIVITY (Ωm)	DEPTH (m)
1	348.8
2	14.7
3	6694.3



STATION NO. 039 (N-S)

F	ρ_a OBS	ρ_a CAL
60	412.0	600.9
120	923.0	552.9
180	715.0	519.1
240	555.0	492.6
300	914.0	470.7
360	406.0	451.9
420	252.0	435.5
480	190.0	420.9
540	454.0	407.8
600	731.0	395.9
660	311.0	385.0

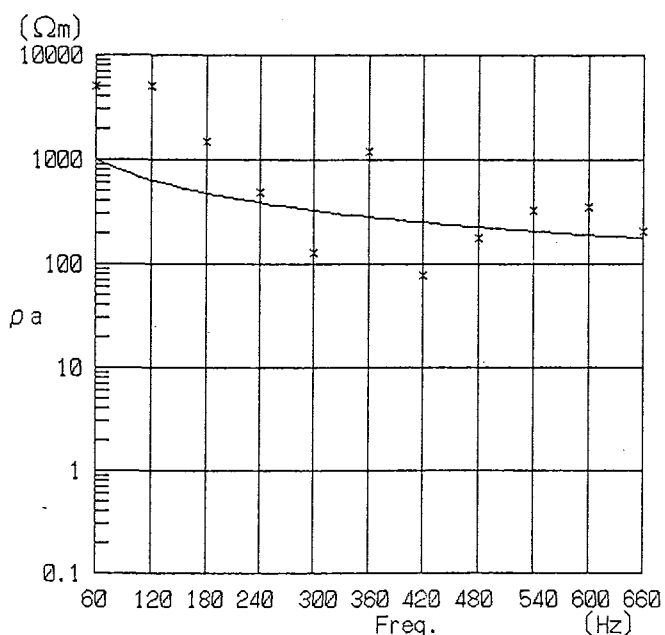
	RESISTIVITY (Ωm)	DEPTH (m)
1	640.7	1.5
2	10.0	4.0
3	737.7	



STATION NO. 039 (E-W)

F	ρ_a OBS	ρ_a CAL
60	5954.0	1640.5
120	6386.0	1254.7
180	162.0	1108.2
240	323.0	1041.8
300	517.0	1011.5
360	159.0	999.7
420	2290.0	998.1
480	539.0	1002.3
540	1270.0	1009.7
600	823.0	1018.6
660	929.0	1028.2

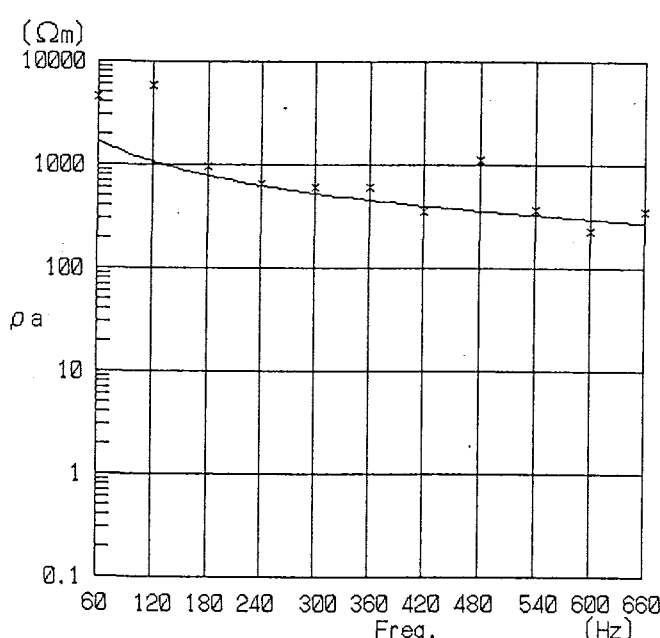
	RESISTIVITY (Ωm)	DEPTH (m)
1	1126.2	9.8
2	1110.6	986.4
3	6067.9	



STATION NO. 040(N-S)

F	ρ_a OBS	ρ_a CAL
60	5043.0	994.8
120	5091.0	635.7
180	1474.0	477.1
240	495.0	385.6
300	128.0	325.6
360	1200.0	282.9
420	77.0	251.0
480	177.0	226.1
540	333.0	206.2
600	357.0	189.9
660	205.0	176.3

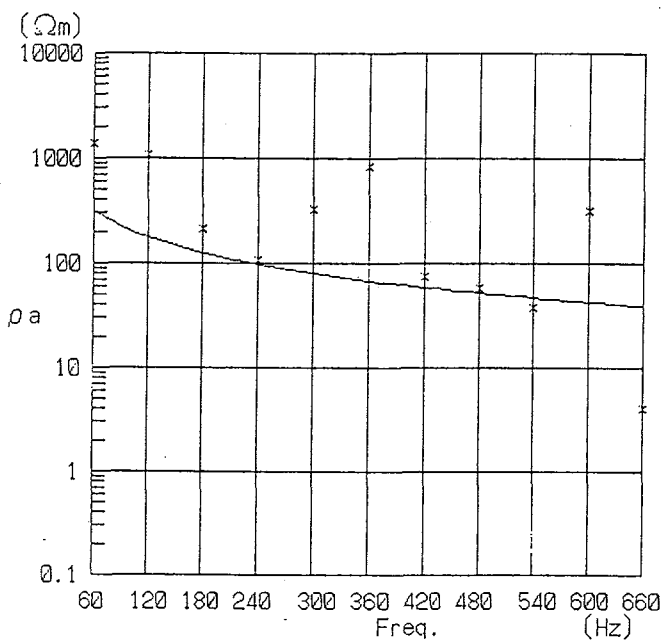
	RESISTIVITY (Ωm)	DEPTH (m)
1	980.6	10.1
2	55.9	62.7
3	5164.9	



STATION NO. 040(E-W)

F	ρ_a OBS	ρ_a CAL
60	4460.0	1696.6
120	5916.0	1060.0
180	953.0	784.7
240	648.0	627.7
300	601.0	525.3
360	610.0	452.8
420	354.0	398.7
480	1104.0	356.6
540	371.0	322.9
600	226.0	295.2
660	349.0	272.1

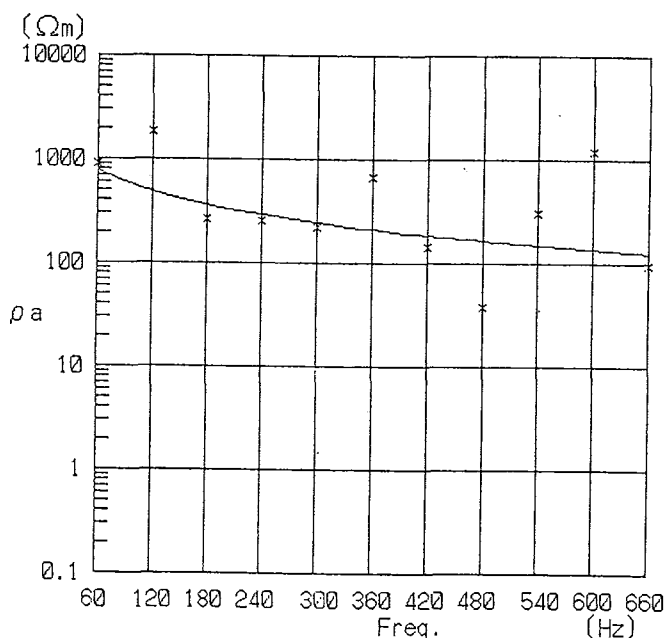
	RESISTIVITY (Ωm)	DEPTH (m)
1	948.3	4.9
2	28.2	25.8
3	10000.0	



STATION NO. 041 (N-S)

F	ρ_a OBS	ρ_a CAL
60	1364.0	313.9
120	1057.0	177.9
180	211.0	125.6
240	106.0	97.6
300	327.0	80.0
360	829.0	67.9
420	74.0	59.1
480	59.0	52.3
540	38.0	47.0
600	314.0	42.7
660	4.0	39.2

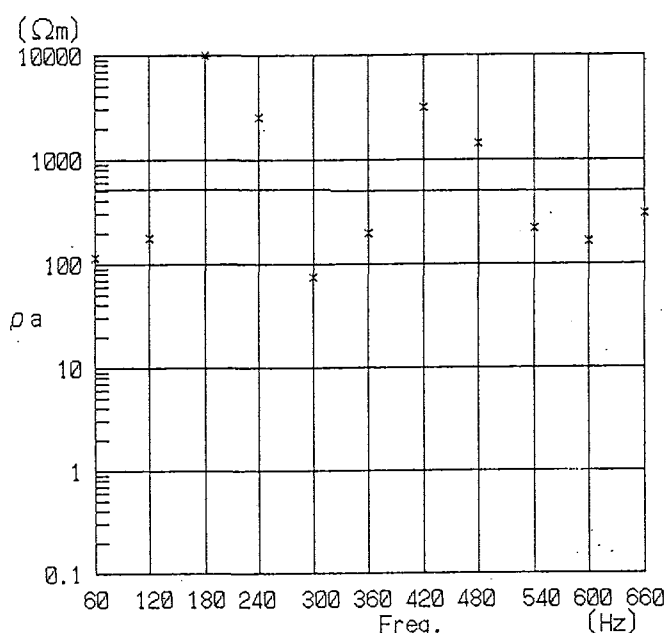
RESISTIVITY (Ωm)	DEPTH (m)
1	6.9
2	98.2
3	4962.7



STATION NO. 041 (E-W)

F	ρ_a OBS	ρ_a CAL
60	907.0	781.7
120	1862.0	490.1
180	263.0	363.3
240	253.0	290.8
300	221.0	243.3
360	669.0	209.7
420	141.0	184.6
480	38.0	165.0
540	305.0	149.3
600	1180.0	136.5
660	95.0	125.7

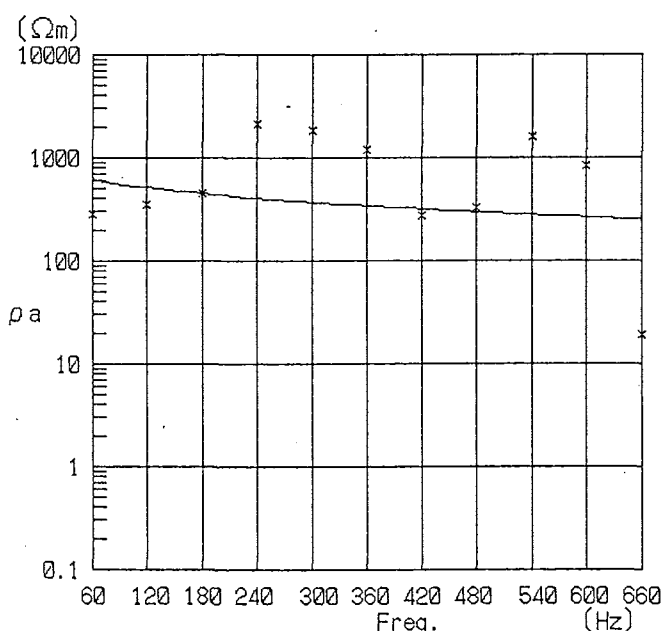
RESISTIVITY (Ωm)	DEPTH (m)
1	4.2
2	153.4
3	4453.8



STATION NO. 042(N-S)

F	ρ_a OBS	ρ_a CAL
60	115.0	529.5
120	180.0	524.5
180	1000.0	520.6
240	2517.0	517.4
300	74.0	514.6
360	196.0	512.0
420	3132.0	509.7
480	1451.0	507.6
540	220.0	505.5
600	168.0	503.6
660	310.0	501.9

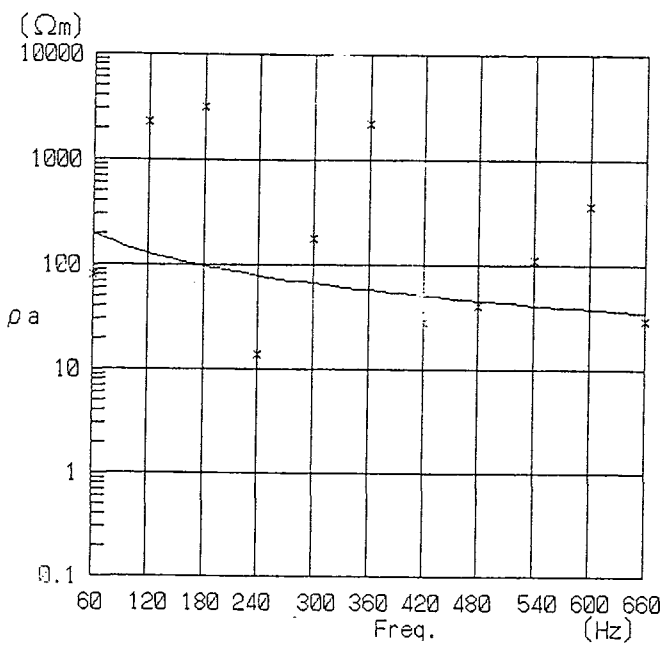
	RESISTIVITY (Ωm)	DEPTH (m)
1	311.1	3.1
2	70.9	5.4
3	542.0	



STATION NO. 042(E-W)

F	ρ_a OBS	ρ_a CAL
60	288.0	616.6
120	347.0	514.4
180	454.0	450.7
240	2113.0	405.1
300	1839.0	369.9
360	1182.0	341.7
420	274.0	318.3
480	332.0	298.5
540	1622.0	281.5
600	821.0	266.6
660	19.0	253.4

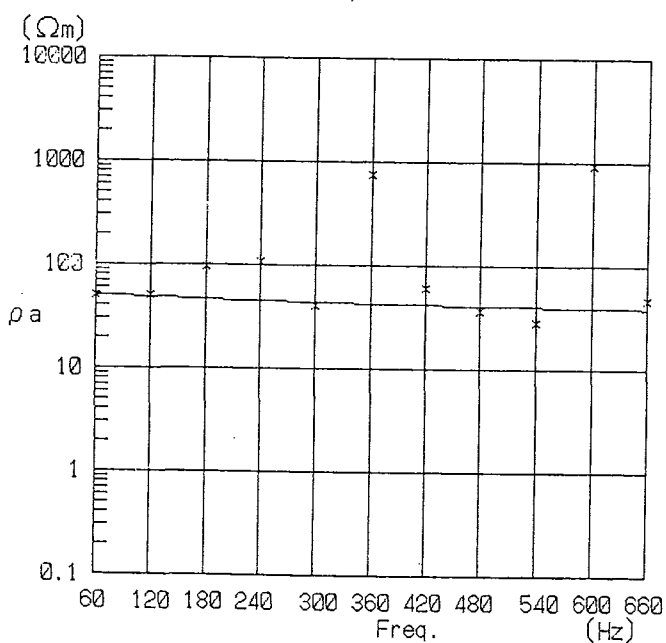
	RESISTIVITY (Ωm)	DEPTH (m)
1	153.8	0.2
2	0.4	0.4
3	987.7	



STATION NO. 043(N-S)

F	ρ_a OBS	ρ_a CAL
60	82.0	201.7
120	2270.0	130.1
180	3212.0	97.8
240	14.0	79.0
300	179.0	66.5
360	2242.0	57.6
420	28.0	50.9
480	41.0	45.6
540	111.0	41.4
600	366.0	37.9
660	29.0	35.0

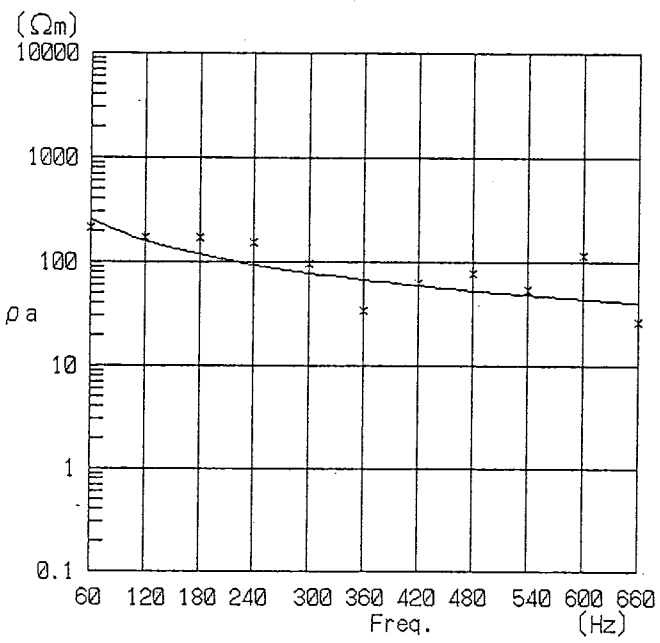
RESISTIVITY (Ωm)	DEPTH (m)
1	0.1
2	181.6
3	947.0



STATION NO. 043(E-W)

F	ρ_a OBS	ρ_a CAL
60	51.0	51.4
120	50.0	48.7
180	96.0	46.7
240	107.0	45.1
300	40.0	43.8
360	738.0	42.7
420	60.0	41.7
480	36.0	40.8
540	28.0	40.0
600	926.0	39.2
660	47.0	38.5

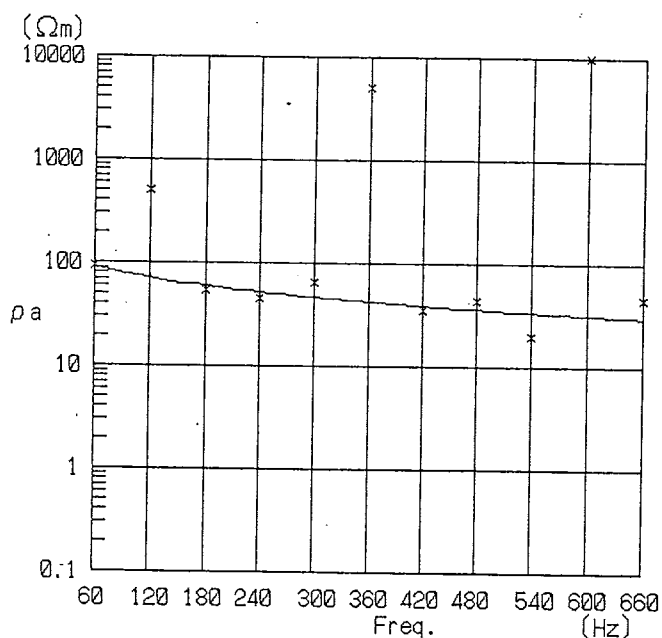
RESISTIVITY (Ωm)	DEPTH (m)
1	21.3
2	58.9



STATION NO. 044 (N-S)

F	ρ_a OBS	ρ_a CAL
60	213.0	259.2
120	170.0	160.4
180	173.0	118.1
240	153.0	94.2
300	95.0	78.6
360	34.0	67.6
420	62.0	59.4
480	79.0	53.0
540	55.0	47.9
600	117.0	43.7
660	26.0	40.3

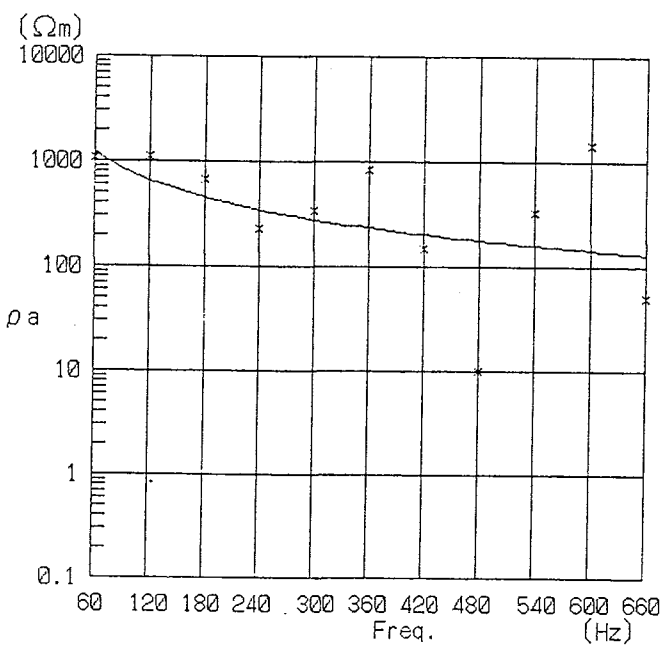
RESISTIVITY (Ωm)	DEPTH (m)
1	2.3
2	176.0
3	1629.6



STATION NO. 044 (E-W)

F	ρ_a OBS	ρ_a CAL
60	93.0	91.0
120	501.0	71.1
180	55.0	59.8
240	45.0	52.2
300	64.0	46.6
360	5067.0	42.3
420	35.0	38.9
480	44.0	36.0
540	20.0	33.6
600	10000.0	31.6
660	46.0	29.8

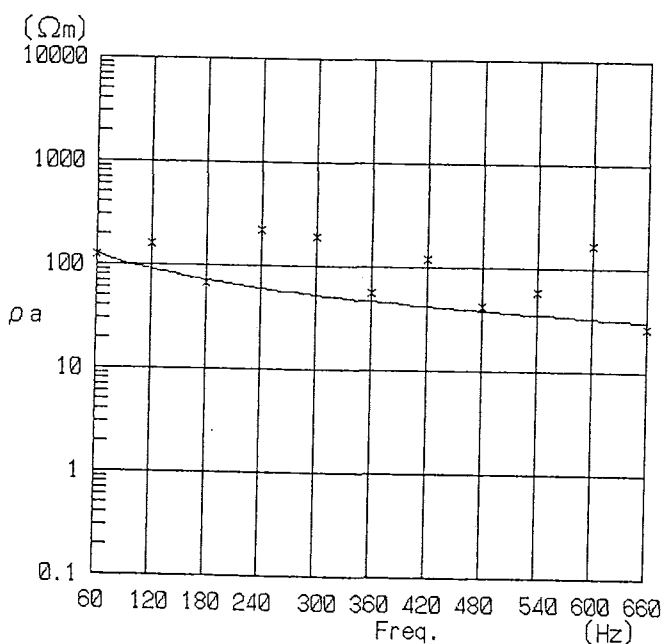
RESISTIVITY (Ωm)	DEPTH (m)
1	7.7
2	118.5
3	180.5



STATION NO. 045 (N-S)

F	ρ_a OBS	ρ_a CAL
60	1073.0	1238.3
120	1130.0	658.5
180	680.0	451.3
240	230.0	344.1
300	337.0	278.4
360	846.0	234.0
420	148.0	201.9
480	10.0	177.6
540	333.0	158.6
600	1447.0	143.3
660	50.0	130.7

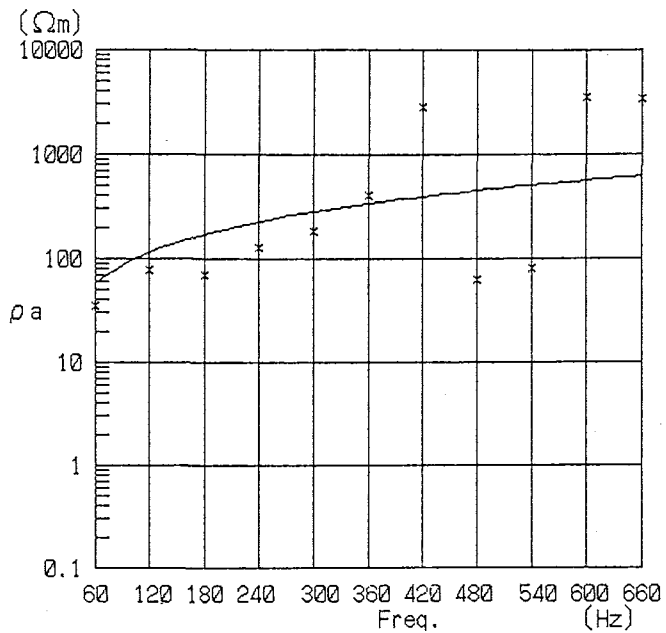
	RESISTIVITY (Ωm)	DEPTH (m)
1	4.4	3.8
2	66.9	24.7
3	68062.4	



STATION NO. 045 (E-W)

F	ρ_a OBS	ρ_a CAL
60	126.0	126.4
120	161.0	90.7
180	68.0	72.3
240	223.0	60.8
300	191.0	52.7
360	56.0	46.7
420	118.0	42.0
480	42.0	38.3
540	59.0	35.2
600	168.0	32.6
660	26.0	30.4

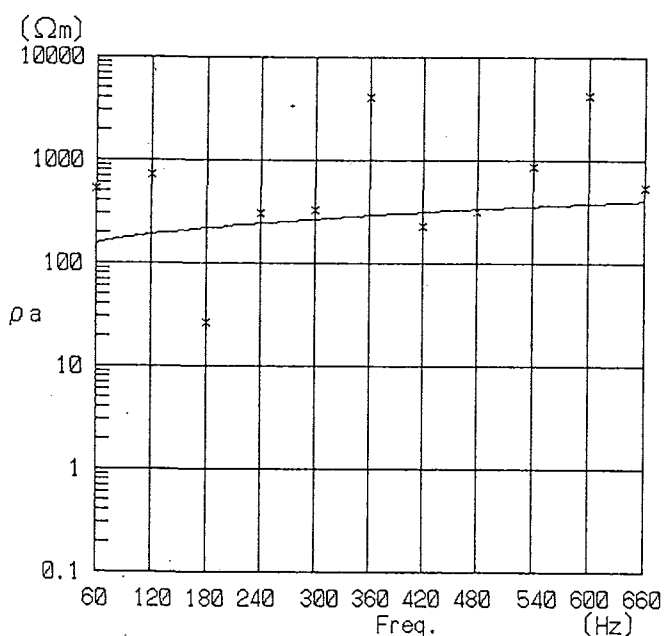
	RESISTIVITY (Ωm)	DEPTH (m)
1	3.8	7.5
2	345.7	



STATION NO. 046 (N-S)

F	ρ_a OBS	ρ_a CAL
60	35.0	58.8
120	78.0	115.4
180	69.0	171.8
240	128.0	227.9
300	182.0	283.9
360	412.0	339.8
420	2848.0	395.6
480	62.0	451.4
540	81.0	507.0
600	3534.0	562.5
660	3341.0	618.0

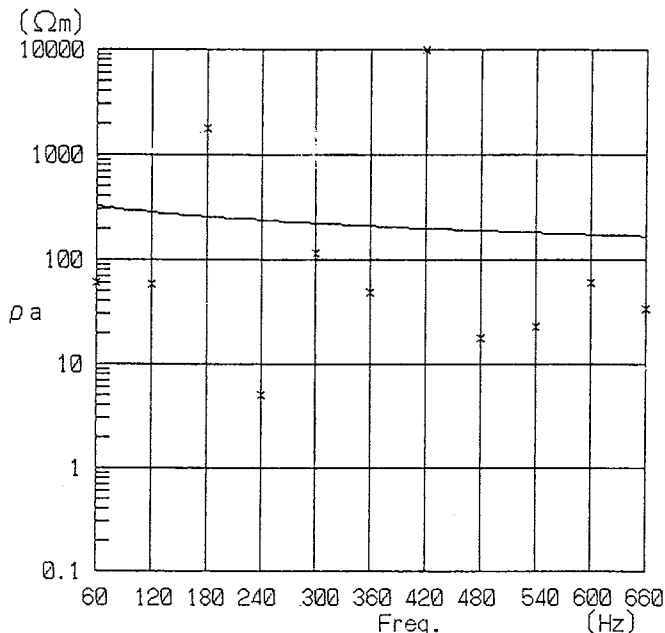
RESISTIVITY (Ωm)	DEPTH (m)
1 1839.1	18.6
2 7754.3	341.8
3 0.1	



STATION NO. 046 (E-W)

F	ρ_a OBS	ρ_a CAL
60	518.0	155.7
120	716.0	189.3
180	26.0	218.1
240	302.0	244.3
300	328.0	268.9
360	4020.0	292.4
420	229.0	315.0
480	315.0	337.0
540	855.0	358.3
600	4214.0	379.2
660	545.0	399.6

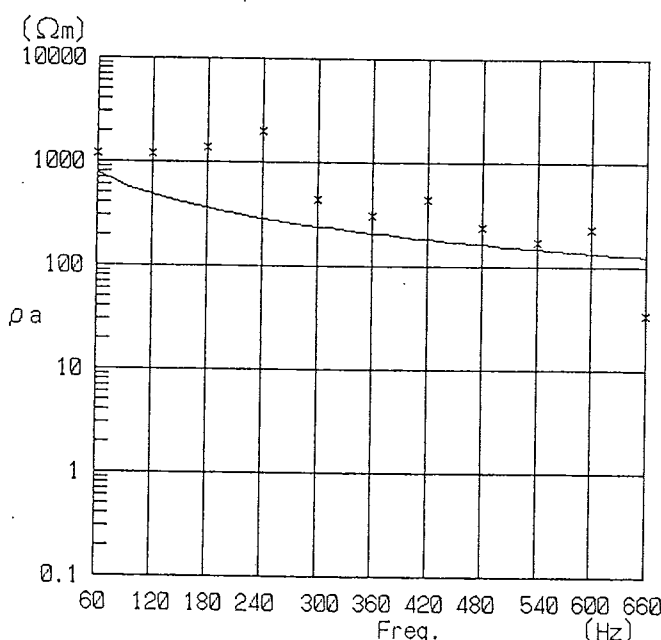
RESISTIVITY (Ωm)	DEPTH (m)
1 6123.8	158.6
2 5135.9	169.4
3 93.1	



STATION NO. 047(N-S)

F	ρ_a OBS	ρ_a CAL
60	60.0	322.4
120	52.0	283.9
180	1788.0	258.2
240	5.0	238.8
300	117.0	223.3
360	49.0	210.4
420	10000.0	199.5
480	18.0	189.9
540	23.0	181.5
600	60.0	174.0
660	34.0	167.3

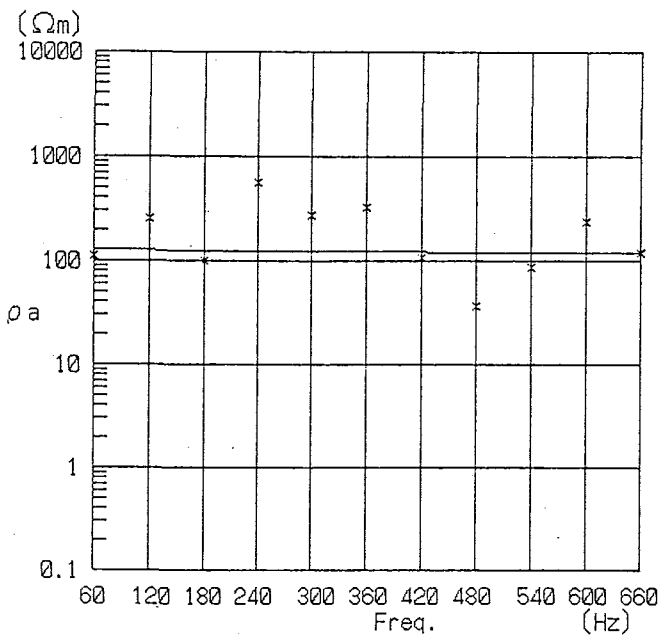
RESISTIVITY (Ωm)	DEPTH (m)
1	313.8
2	0.2
3	443.8



STATION NO. 047(E-W)

F	ρ_a OBS	ρ_a CAL
60	1183.0	780.5
120	1209.0	486.3
180	1386.0	359.6
240	1986.0	287.5
300	432.0	240.5
360	308.0	207.3
420	436.0	182.6
480	240.0	163.3
540	170.0	147.9
600	230.0	135.3
660	34.0	124.8

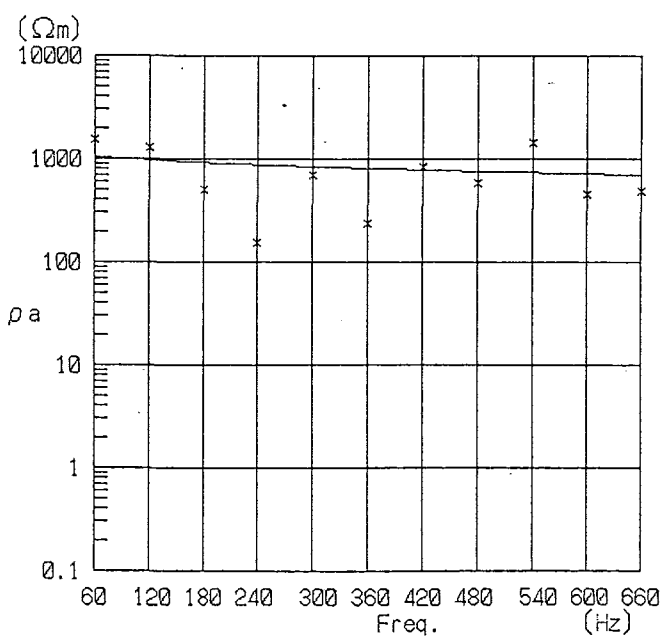
RESISTIVITY (Ωm)	DEPTH (m)
1	496.3
2	12.6
3	4709.7



STATION NO. 048(N-S)

F	ρ_a OBS	ρ_a CAL
60	112.0	128.1
120	256.0	126.6
180	101.0	125.4
240	555.0	124.4
300	269.0	123.5
360	324.0	122.7
420	108.0	122.0
480	37.0	121.4
540	88.0	120.7
600	238.0	120.2
660	121.0	119.6

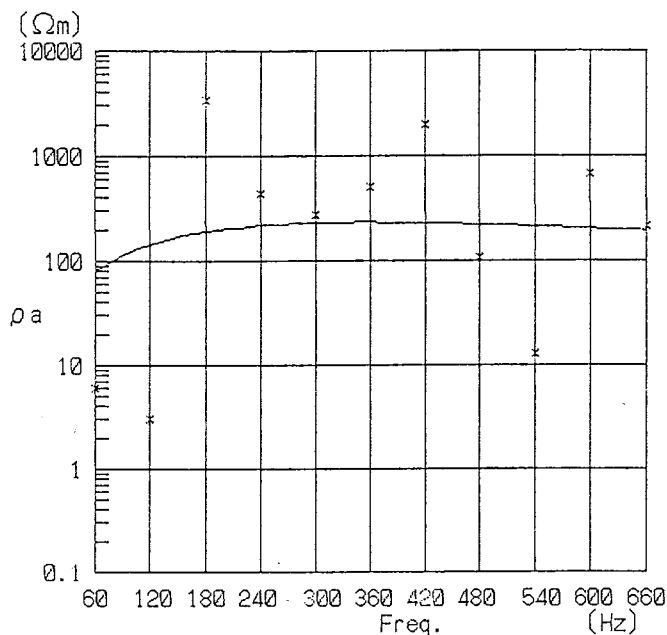
RESISTIVITY (Ωm)	DEPTH (m)
1	25.1
2	745.9
3	132.0



STATION NO. 048(E-W)

F	ρ_a OBS	ρ_a CAL
60	1517.0	1048.5
120	1270.0	972.4
180	496.0	918.3
240	153.0	875.6
300	710.0	840.0
360	238.0	809.4
420	836.0	782.5
480	580.0	758.5
540	1437.0	736.8
600	459.0	717.1
660	493.0	698.9

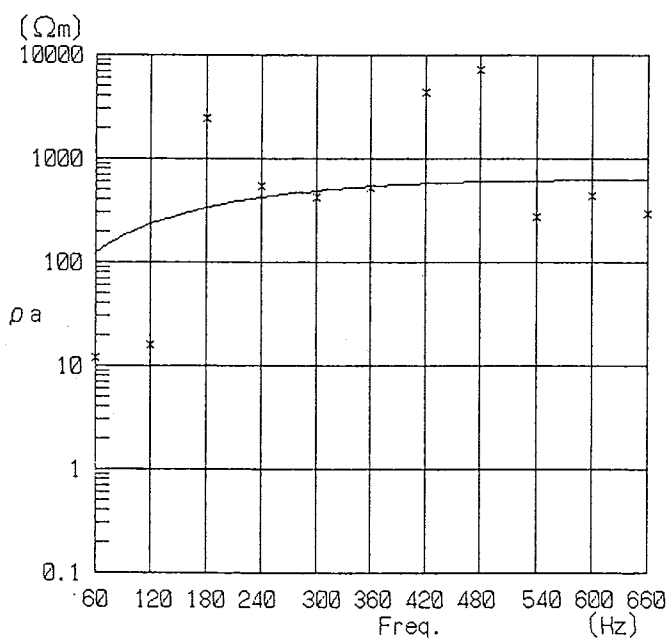
RESISTIVITY (Ωm)	DEPTH (m)
1	36.2
2	751.1
3	1261.8



STATION NO. 049(N-S)

F	ρ_a OBS	ρ_a CAL
60	6.0	80.2
120	3.0	145.1
180	3399.0	190.8
240	434.0	217.9
300	277.0	230.4
360	512.0	233.0
420	2001.0	229.3
480	109.0	222.1
540	13.0	213.1
600	667.0	203.4
660	215.0	193.6

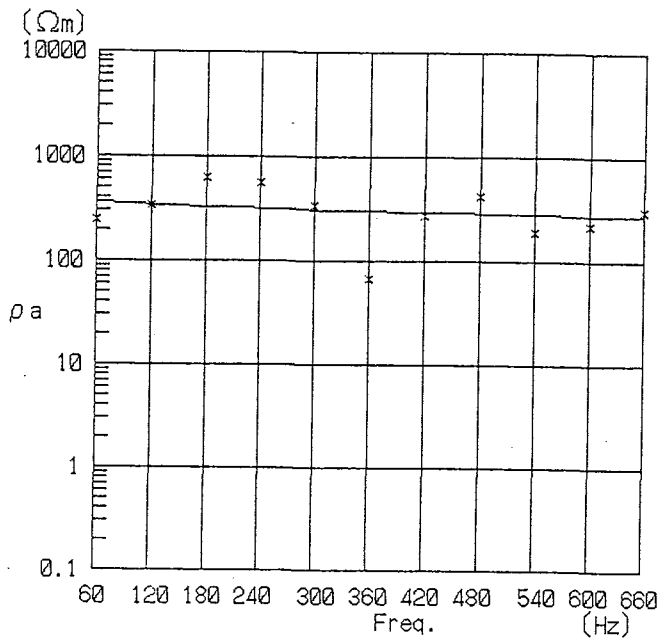
RESISTIVITY (Ωm)	DEPTH (m)
1 24.6	20.9
2 2179.9	409.3
3 0.1	



STATION NO. 049(E-W)

F	ρ_a OBS	ρ_a CAL
60	12.0	123.1
120	16.0	236.1
180	2447.0	336.4
240	540.0	420.9
300	428.0	488.6
360	528.0	539.8
420	4335.0	576.2
480	7267.0	599.8
540	270.0	613.1
600	445.0	618.3
660	292.0	617.1

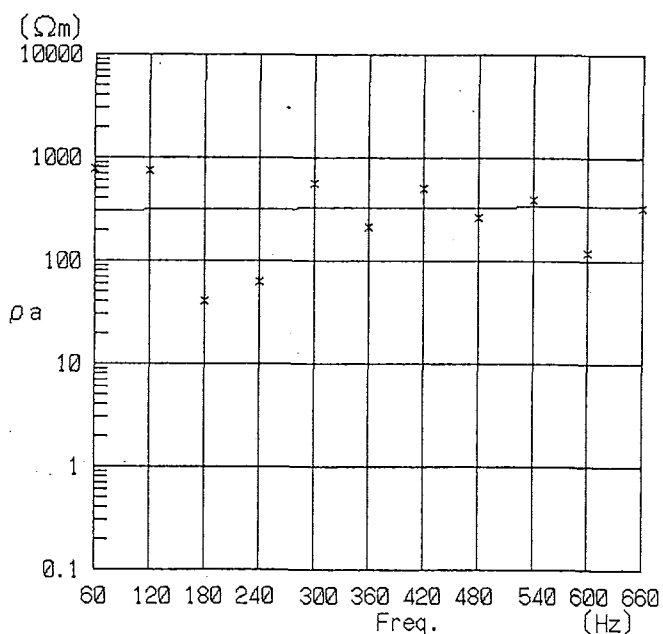
RESISTIVITY (Ωm)	DEPTH (m)
1 37.2	13.2
2 2824.1	503.0
3 0.1	



STATION NO. 050(N-S)

F	ρ_a OBS	ρ_a CAL
60	243.0	364.3
120	339.0	345.1
180	628.0	331.2
240	554.0	320.0
300	343.0	310.5
360	67.0	302.2
420	271.0	294.8
480	419.0	288.2
540	191.0	282.1
600	221.0	276.5
660	305.0	271.3

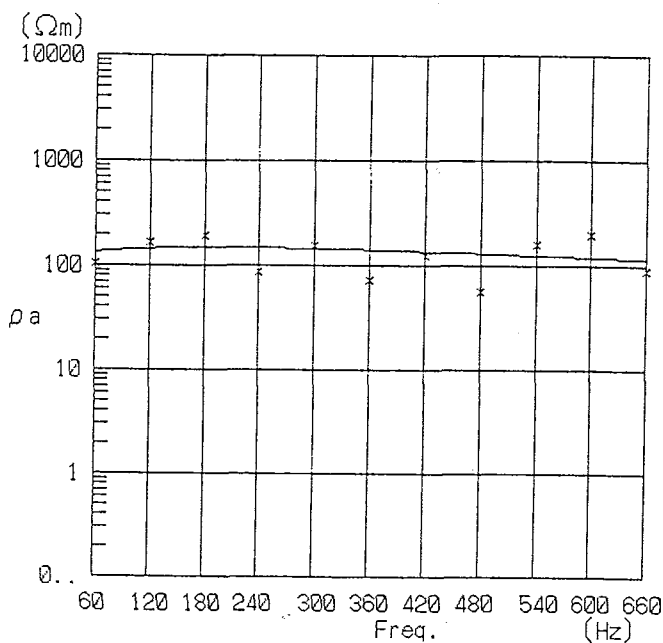
RESISTIVITY (Ωm)	DEPTH (m)
1	27.6
2	252.3
3	415.6



STATION NO. 050(E-W)

F	ρ_a OBS	ρ_a CAL
60	770.0	305.7
120	752.0	311.4
180	40.0	315.9
240	63.0	319.7
300	561.0	323.1
360	213.0	326.2
420	512.0	329.1
480	263.0	331.7
540	390.0	334.3
600	118.0	336.7
660	325.0	339.0

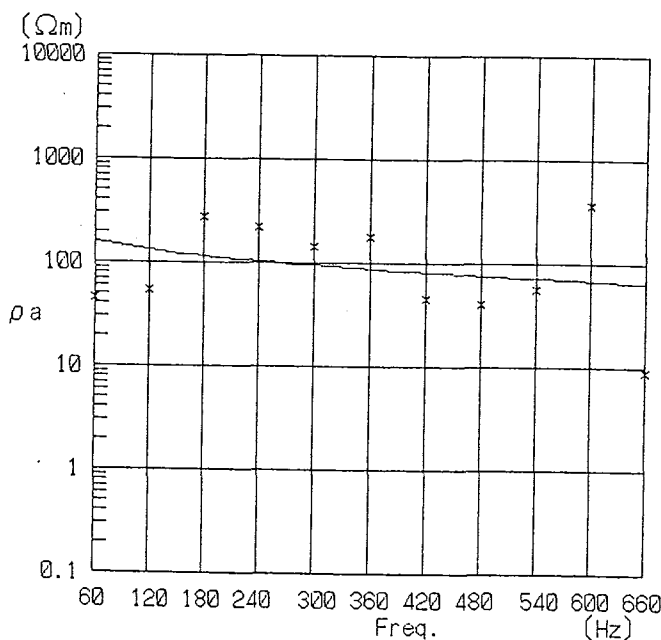
RESISTIVITY (Ωm)	DEPTH (m)
1	490.5
2	2391.0
3	292.2



STATION NO. 051 (N-S)

F	ρ_a OBS	ρ_a CAL
60	104.0	133.9
120	166.0	145.0
180	193.0	148.2
240	27.0	147.3
300	155.0	144.2
360	72.0	140.0
420	122.0	135.1
480	57.0	130.1
540	157.0	125.0
600	201.0	128.1
660	89.0	115.4

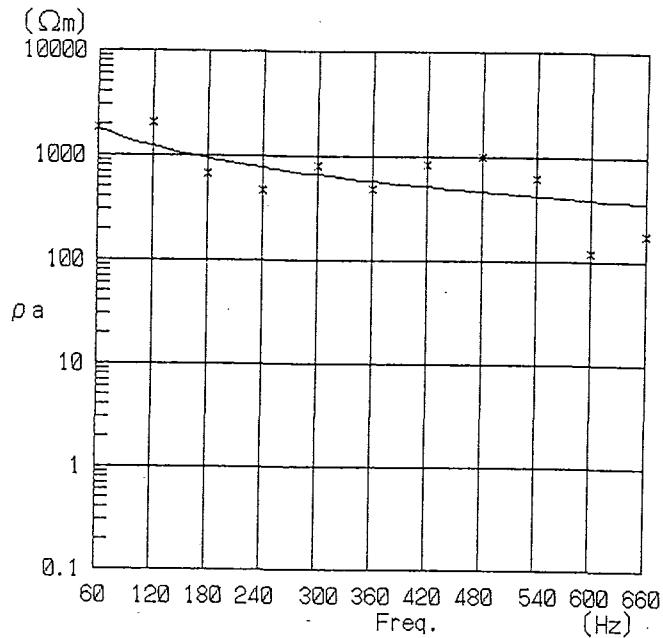
RESISTIVITY (Ωm)	DEPTH (m)
1	28.2
2	710.4
3	89.7



STATION NO. 051 (E-W)

F	ρ_a OBS	ρ_a CAL
60	46.0	159.2
120	54.0	132.4
180	276.0	115.8
240	217.0	103.9
300	145.0	94.8
360	178.0	87.5
420	45.0	81.4
480	41.0	76.3
540	57.0	71.9
600	359.0	68.0
660	9.0	64.7

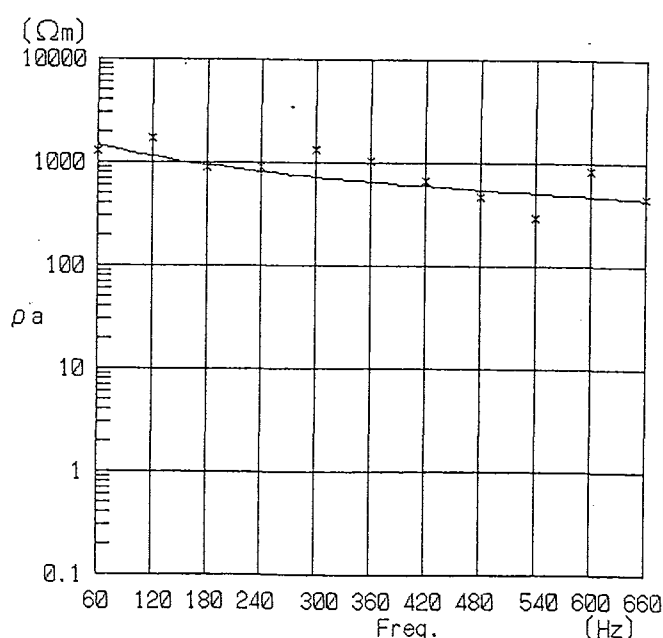
RESISTIVITY (Ωm)	DEPTH (m)
1	0.1
2	245.3
3	257.1



STATION NO. 052(N-S)

F	ρ_a OBS	ρ_a CAL
60	1852.0	1805.0
120	2048.0	1222.1
180	665.0	943.4
240	463.0	775.3
300	801.0	661.4
360	495.0	578.5
420	832.0	515.1
480	1008.0	465.1
540	630.0	424.3
600	120.0	390.6
660	175.0	362.0

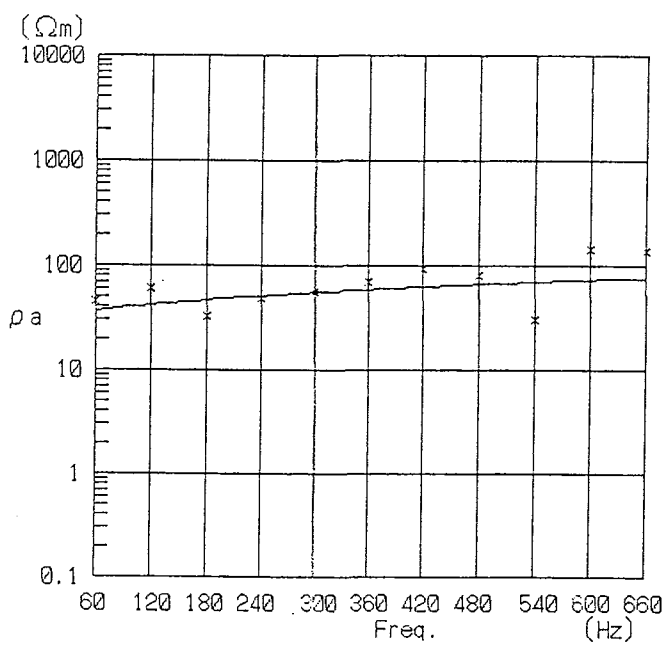
RESISTIVITY (Ωm)	DEPTH (m)
1	29.2
2	6468.5



STATION NO. 052(E-W)

F	ρ_a OBS	ρ_a CAL
60	1301.0	1491.8
120	1733.0	1142.0
180	884.0	946.8
240	907.0	817.2
300	1338.0	723.2
360	1024.0	651.1
420	680.0	593.7
480	463.0	546.7
540	291.0	507.3
600	839.0	473.9
660	455.0	445.0

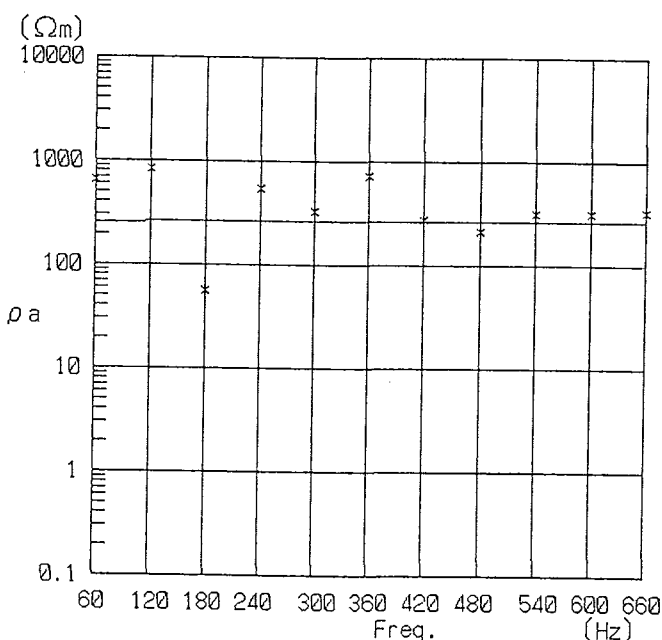
RESISTIVITY (Ωm)	DEPTH (m)
1	40.7
2	3165.2



STATION NO. 053(N-S)

F	ρ_a OBS	ρ_a CAL
60	45.0	36.4
120	61.0	42.2
180	33.0	47.0
240	48.0	51.3
300	56.0	55.3
360	69.0	59.2
420	93.0	62.8
480	81.0	66.3
540	30.0	69.7
600	141.0	73.0
660	138.0	76.3

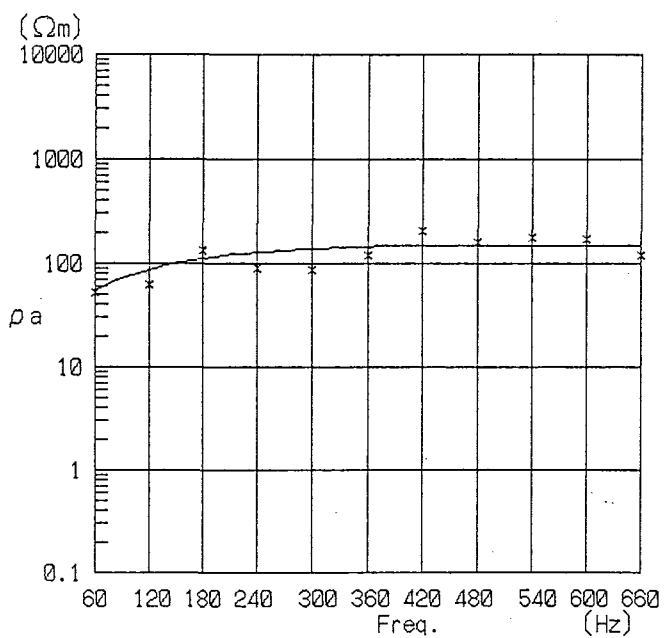
	RESISTIVITY (Ωm)	DEPTH (m)
1	671.4	9.6
2	1787.3	62.9
3	25.1	



STATION NO. 053(E-W)

F	ρ_a OBS	ρ_a CAL
60	644.0	257.7
120	844.0	259.5
180	56.0	260.9
240	540.0	262.0
300	327.0	263.0
360	722.0	264.0
420	275.0	264.8
480	212.0	265.6
540	317.0	266.4
600	318.0	267.1
660	326.0	267.8

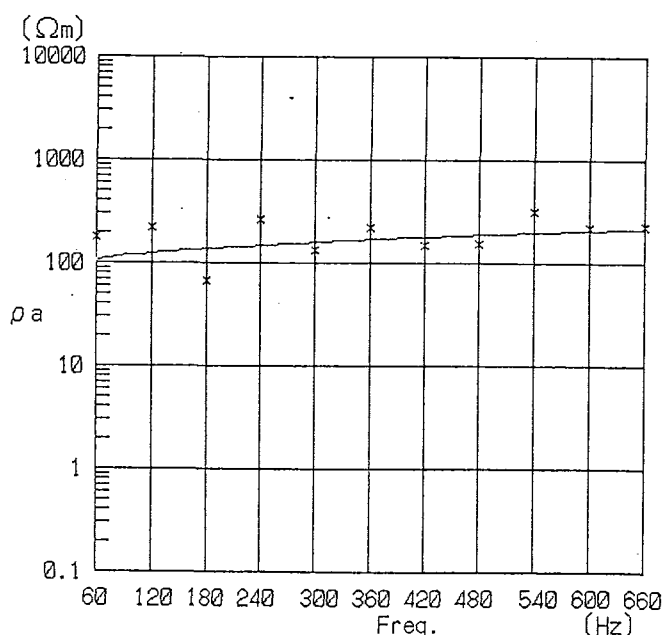
	RESISTIVITY (Ωm)	DEPTH (m)
1	739.5	13.0
2	253.5	



STATION NO. 054(N-S)

F	ρ_a OBS	ρ_a CAL
60	52.0	54.5
120	63.0	87.7
180	135.0	111.8
240	91.0	128.4
300	88.0	139.1
360	121.0	145.5
420	208.0	148.9
480	158.0	150.2
540	181.0	150.1
600	169.0	149.1
660	119.0	147.7

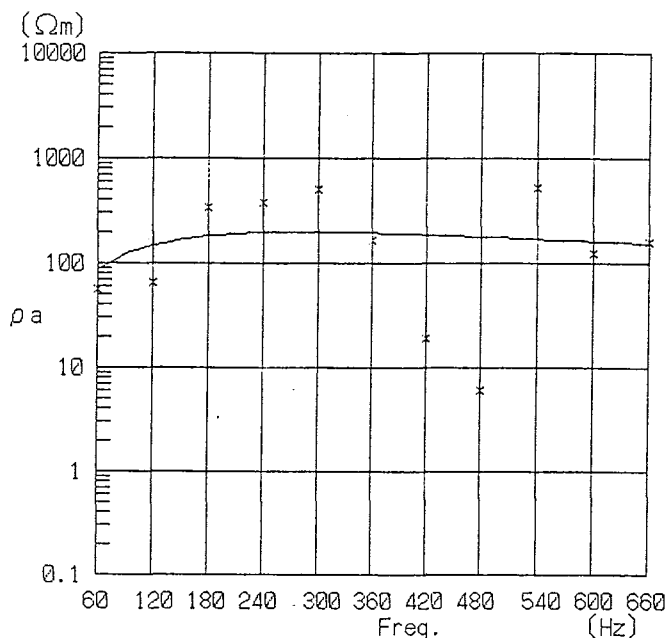
RESISTIVITY (Ωm)	DEPTH (m)
1 124.4	295.1
2 3.7	



STATION NO. 054(E-W)

F	ρ_a OBS	ρ_a CAL
60	178.0	108.2
120	217.0	123.6
180	67.0	136.5
240	260.0	148.1
300	135.0	158.9
360	222.0	169.0
420	151.0	178.7
480	155.0	188.0
540	316.0	197.0
600	217.0	205.8
660	232.0	214.4

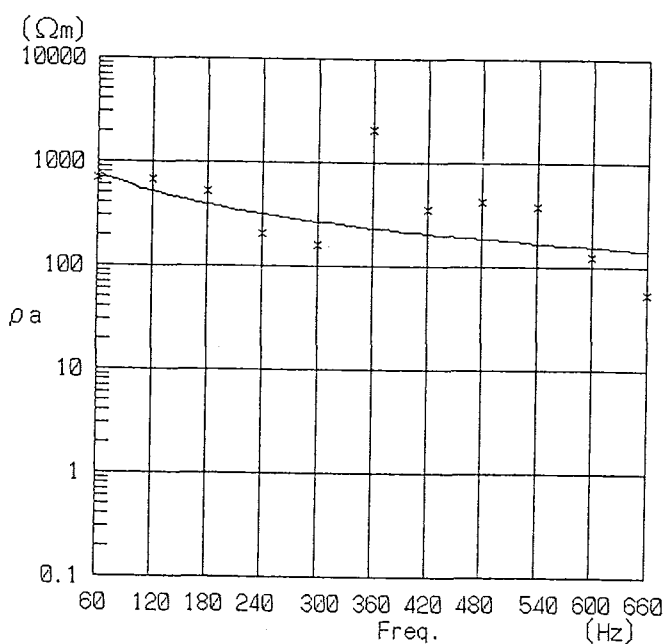
RESISTIVITY (Ωm)	DEPTH (m)
1 9186.9	98.6
2 77.2	



STATION NO. 055 (N-S)

F	ρ_a OBS	ρ_a CAL
60	56.0	87.2
120	66.0	147.6
180	341.0	182.1
240	378.0	196.7
300	505.0	199.0
360	163.0	194.6
420	19.0	187.2
480	6.0	178.7
540	521.0	170.1
600	122.0	161.9
660	160.0	154.3

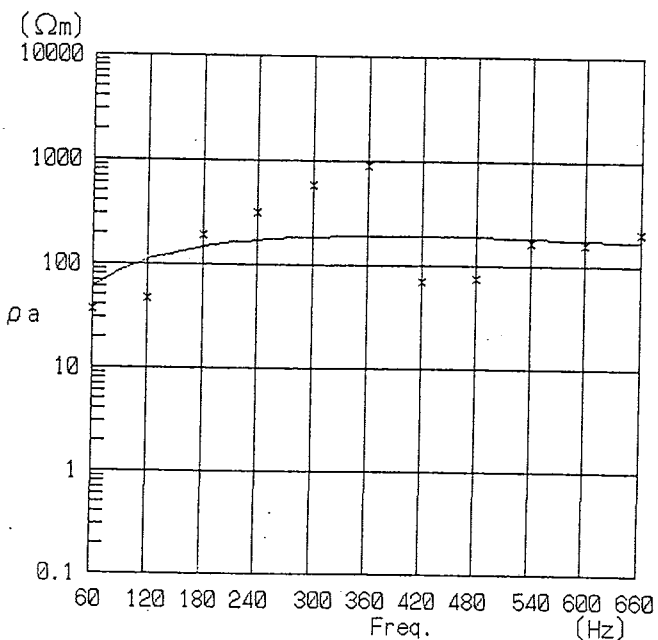
RESISTIVITY (Ωm)	DEPTH (m)
1	41.4
2	248.3
3	0.4



STATION NO. 055 (E-W)

F	ρ_a OBS	ρ_a CAL
60	701.0	788.1
120	672.0	515.5
180	521.0	390.6
240	207.0	317.1
300	158.0	268.1
360	2045.0	232.8
420	350.0	206.2
480	426.0	185.3
540	376.0	168.4
600	124.0	154.4
660	54.0	142.7

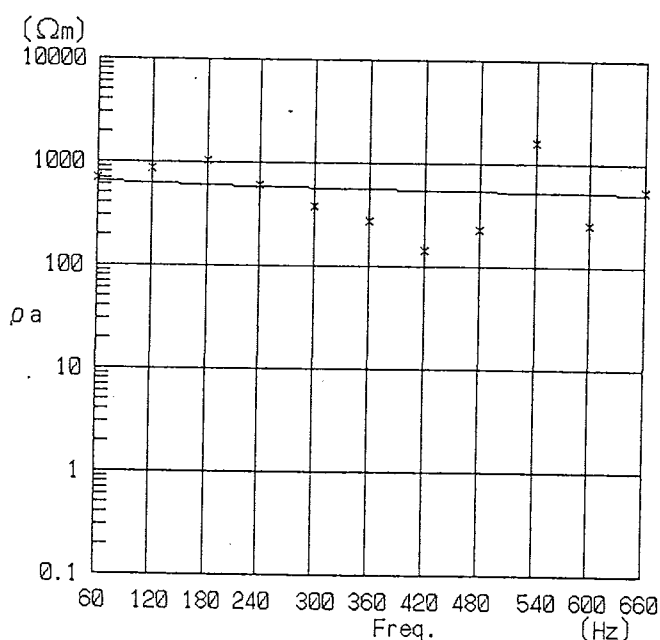
RESISTIVITY (Ωm)	DEPTH (m)
1	6.8
2	514.1
3	3409.2



STATION NO. 056 (N-S)

F	ρ_a OBS	ρ_a CAL
60	36.0	59.7
120	47.0	109.4
180	192.0	146.9
240	315.0	171.8
300	586.0	185.9
360	883.0	191.8
420	69.0	192.1
480	76.0	188.9
540	167.0	183.5
600	161.0	176.9
660	207.0	169.8

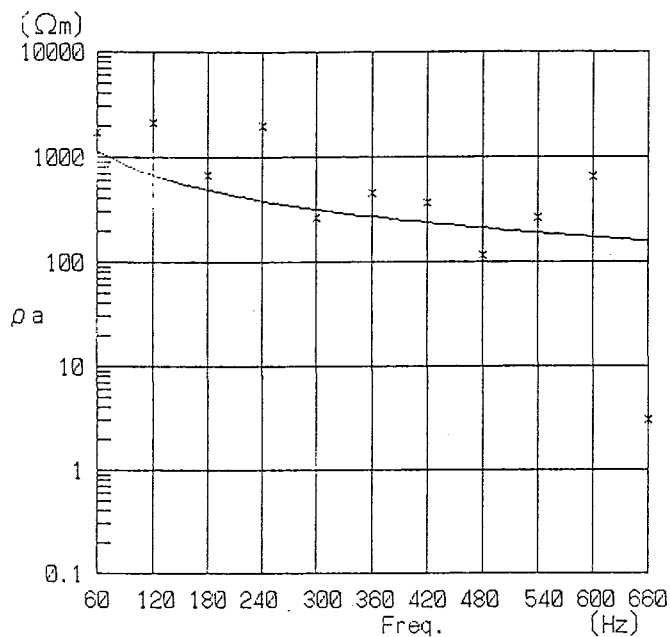
	RESISTIVITY (Ωm)	DEPTH (m)
1	17.8	15.4
2	1550.1	350.6
3	0.1	



STATION NO. 056 (E-W)

F	ρ_a OBS	ρ_a CAL
60	688.0	656.0
120	868.0	625.1
180	1019.0	602.8
240	608.0	585.0
300	381.0	570.1
360	276.0	557.2
420	145.0	545.8
480	225.0	535.6
540	1581.0	526.4
600	256.0	517.9
660	543.0	510.2

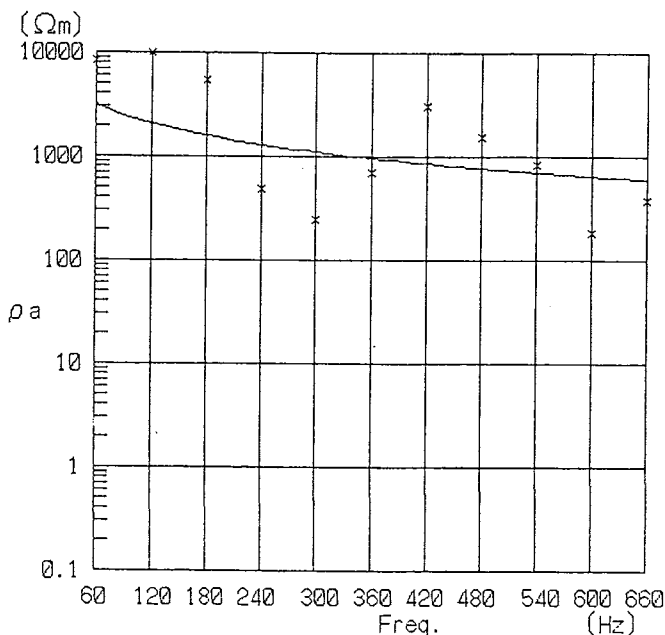
	RESISTIVITY (Ωm)	DEPTH (m)
1	337.7	89.9
2	739.7	



STATION NO. 057(N-S)

F	ρ_a OBS	ρ_a CAL
60	1723.0	1134.4
120	2122.0	674.4
180	675.0	486.8
240	1968.0	383.1
300	265.0	316.8
360	451.0	270.6
420	367.0	236.4
480	116.0	210.1
540	263.0	189.2
600	647.0	172.1
660	3.0	157.9

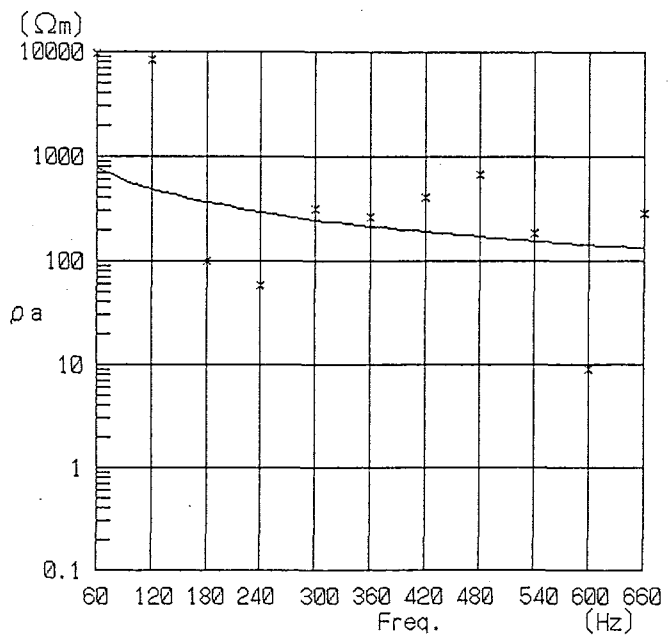
RESISTIVITY (Ωm)	DEPTH (m)
1	0.1
2	10000.0



STATION NO. 057(E-W)

F	ρ_a OBS	ρ_a CAL
60	8236.0	3132.2
120	10000.0	2076.5
180	5344.0	1586.3
240	494.0	1295.5
300	242.0	1100.6
360	699.0	960.1
420	3043.0	853.4
480	1515.0	769.5
540	821.0	701.7
600	184.0	645.6
660	382.0	598.5

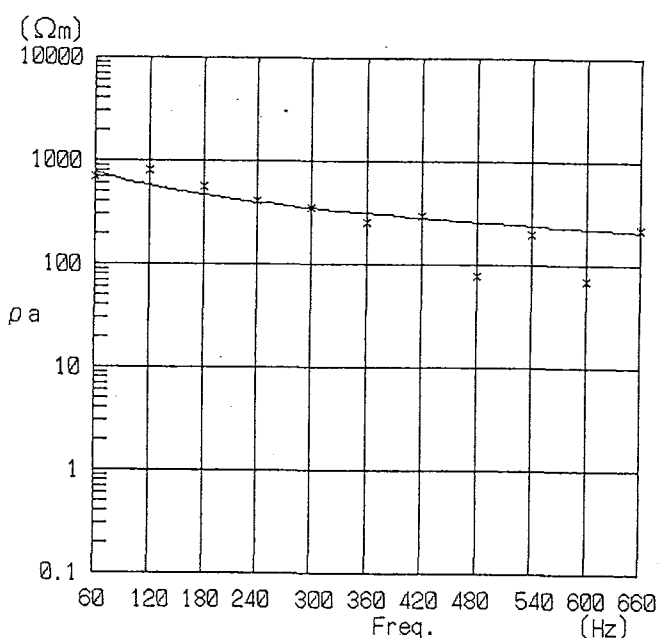
RESISTIVITY (Ωm)	DEPTH (m)
1	130.7
2	12712.6



STATION NO. 058(N-S)

F	ρ_a OBS	ρ_a CAL
60	9538.0	767.5
120	8391.0	489.3
180	101.0	366.4
240	59.0	295.4
300	315.0	248.8
360	261.0	215.6
420	414.0	190.6
480	681.0	171.2
540	187.0	155.6
600	9.0	142.8
660	285.0	132.1

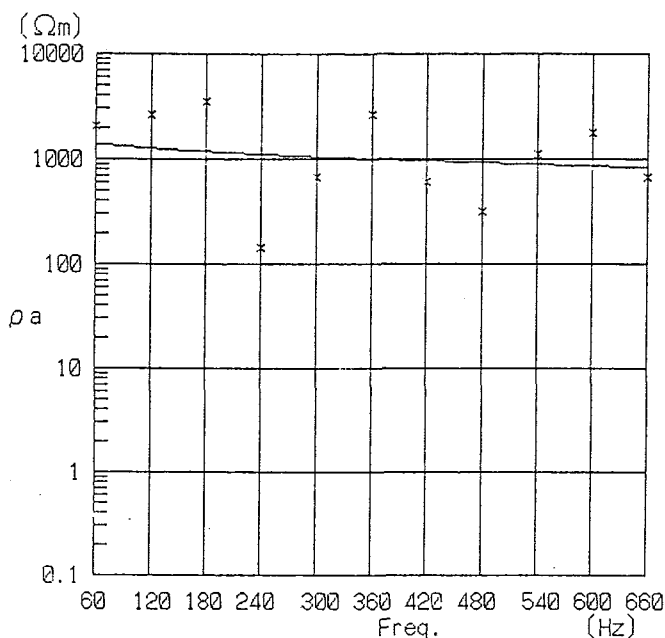
	RESISTIVITY (Ωm)	DEPTH (m)
1	36.7	39.5
2	3981.7	



STATION NO. 058(E-W)

F	ρ_a OBS	ρ_a CAL
60	707.0	772.7
120	808.0	574.1
180	563.0	467.5
240	410.0	398.5
300	353.0	349.3
360	259.0	312.2
420	295.0	283.0
480	77.0	259.3
540	196.0	239.6
600	70.0	223.0
660	223.0	208.7

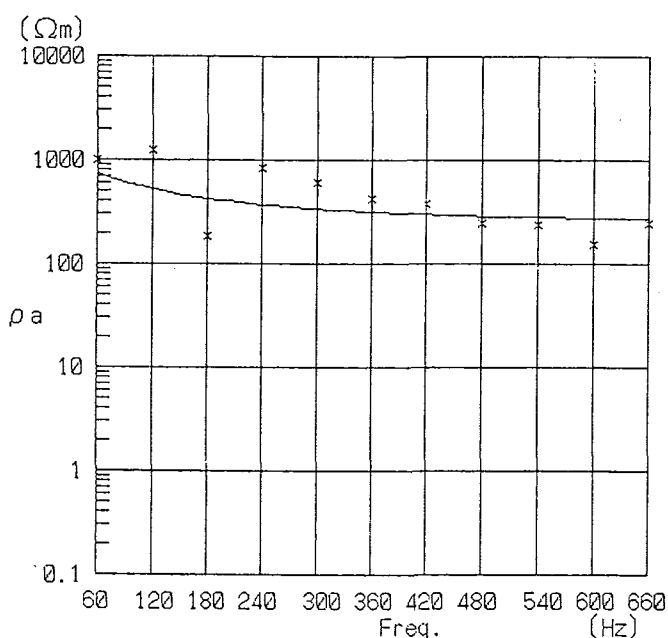
	RESISTIVITY (Ωm)	DEPTH (m)
1	27.8	20.1
2	1835.7	



STATION NO. 059 (N-S)

F	ρ_a OBS	ρ_a CAL
60	2040.0	1402.6
120	2685.0	1269.9
180	3575.0	1178.7
240	143.0	1108.2
300	685.0	1050.7
360	2660.0	1002.0
420	615.0	959.9
480	317.0	922.9
540	1097.0	889.9
600	1810.0	860.1
660	679.0	833.1

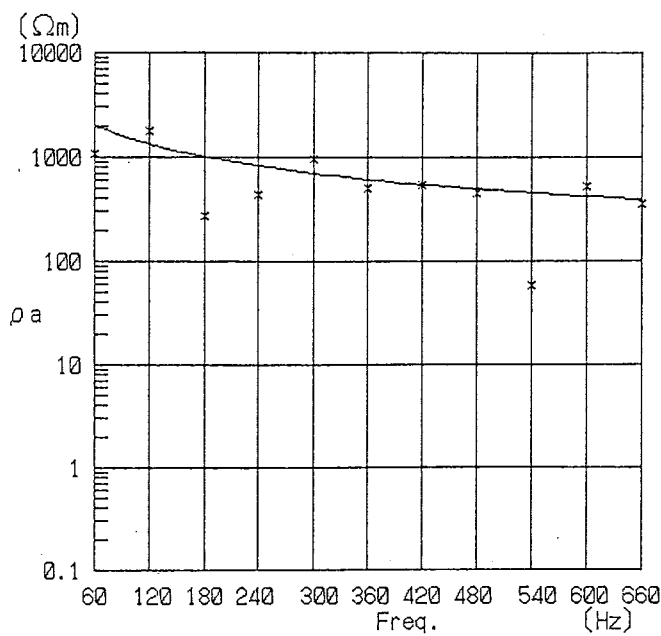
	RESISTIVITY (Ωm)	DEPTH (m)
1	105.9	19.6
2	629.1	36.1
3	1795.4	



STATION NO. 059 (E-W)

F	ρ_a OBS	ρ_a CAL
60	1010.0	748.9
120	1240.0	524.9
180	183.0	426.5
240	846.0	371.7
300	600.0	337.5
360	429.0	315.0
420	378.0	299.7
480	250.0	289.0
540	236.0	281.6
600	154.0	276.5
660	249.0	273.1

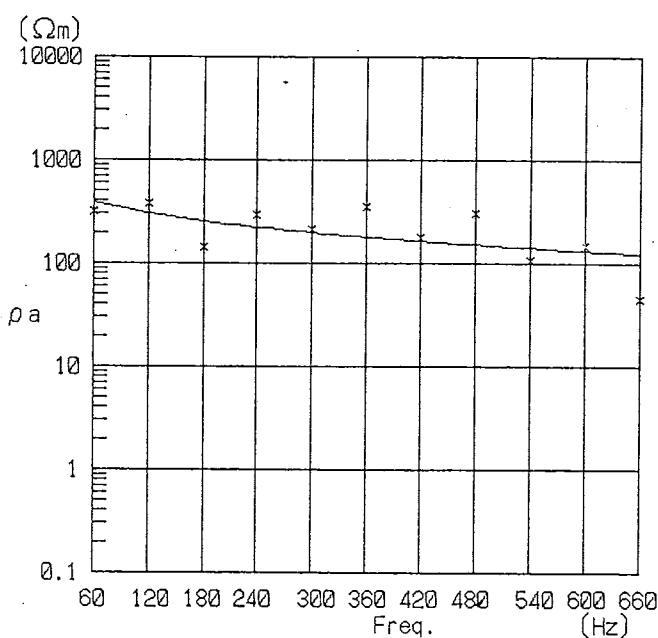
	RESISTIVITY (Ωm)	DEPTH (m)
1	309.0	356.0
2	2996.9	



STATION NO. 060(N-S)

F	ρ_a OBS	ρ_a CAL
60	1080.0	2013.0
120	1810.0	1321.0
180	277.0	1006.7
240	437.0	822.6
300	978.0	700.6
360	512.0	613.2
420	541.0	547.5
480	453.0	496.2
540	59.0	454.9
600	520.0	421.1
660	347.0	392.9

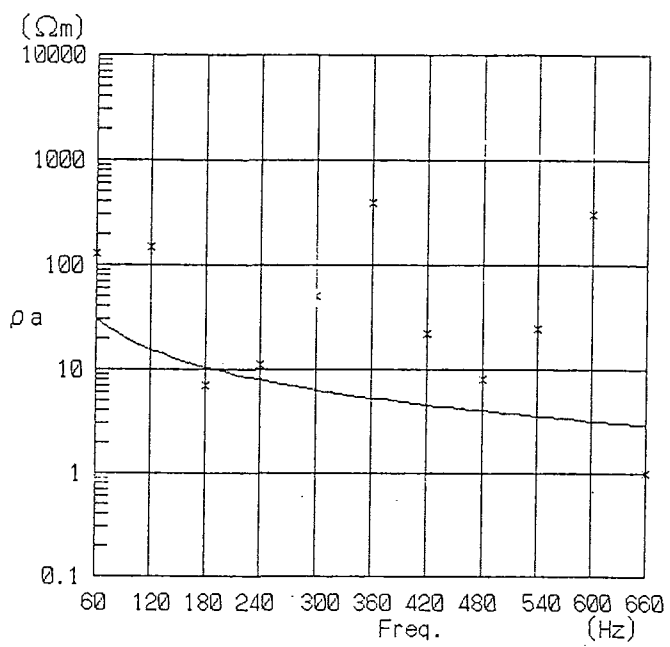
RESISTIVITY	DEPTH
(Ωm)	(m)
1 204.7	131.5
2 8958.5	



STATION NO. 060(E-W)

F	ρ_a OBS	ρ_a CAL
60	314.0	393.3
120	383.0	305.9
180	142.0	256.2
240	292.0	222.7
300	214.0	198.2
360	347.0	179.2
420	181.0	164.0
480	303.0	151.5
540	106.0	141.0
600	147.0	132.0
660	45.0	124.2

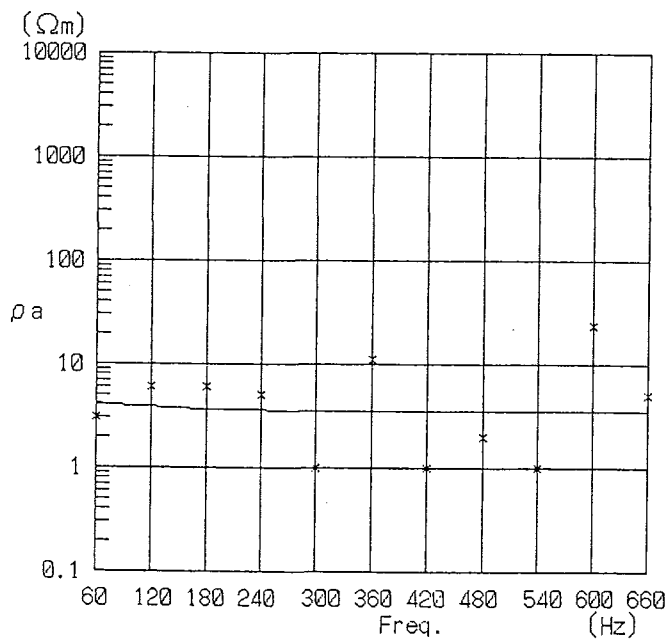
RESISTIVITY	DEPTH
(Ωm)	(m)
1 11.0	9.5
2 788.5	



STATION NO. 061 (N-S)

F	ρ_a OBS	ρ_a CAL
60	130.0	30.4
120	147.0	15.6
180	7.0	10.5
240	11.0	7.9
300	50.0	6.4
360	388.0	5.3
420	22.0	4.6
480	8.0	4.0
540	25.0	3.6
600	306.0	3.2
660	1.0	2.9

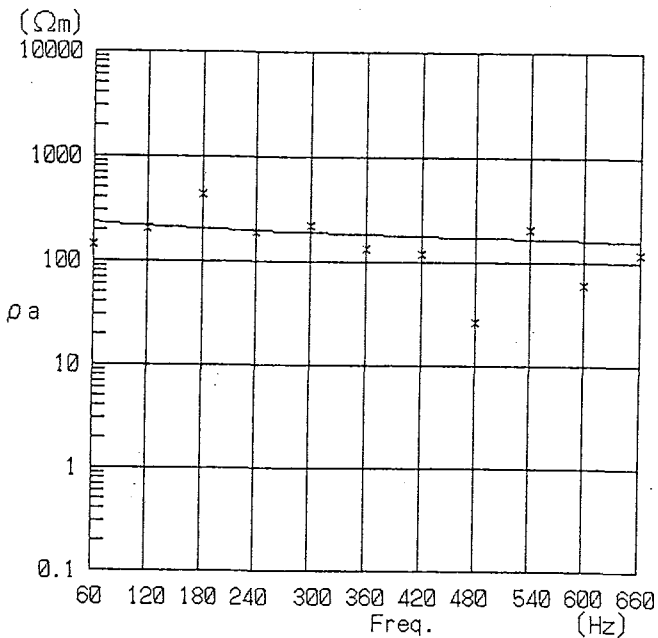
RESISTIVITY (Ωm)	DEPTH (m)
1	0.1
2	10000.0



STATION NO. 061 (E-W)

F	ρ_a OBS	ρ_a CAL
60	3.0	4.2
120	6.0	3.9
180	6.0	3.7
240	5.0	3.6
300	1.0	3.5
360	11.0	3.5
420	1.0	3.5
480	2.0	3.5
540	1.0	3.5
600	24.0	3.5
660	5.0	3.5

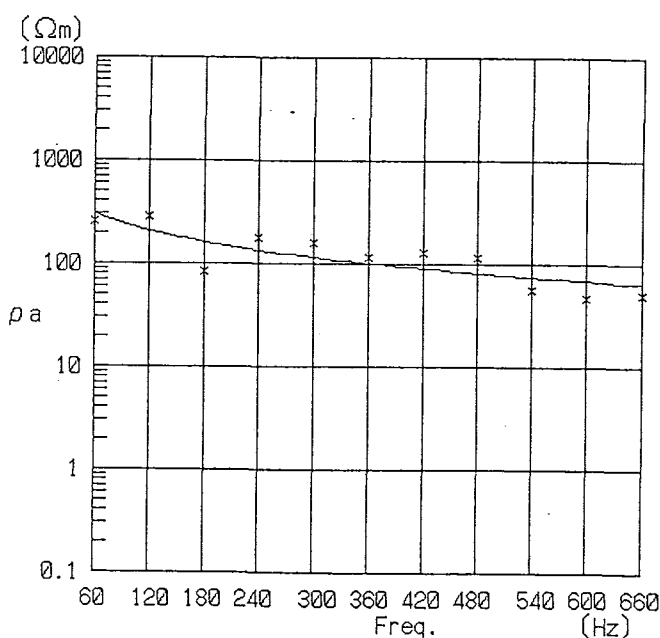
RESISTIVITY (Ωm)	DEPTH (m)
1	3.6
2	5.8



STATION NO. 062(N-S)

F	ρ_a OBS	ρ_a CAL
60	144.0	235.2
120	202.0	218.5
180	430.0	206.6
240	194.0	197.2
300	224.0	189.4
360	131.0	182.6
420	119.0	176.7
480	26.0	171.5
540	205.0	166.7
600	60.0	162.4
660	118.0	158.4

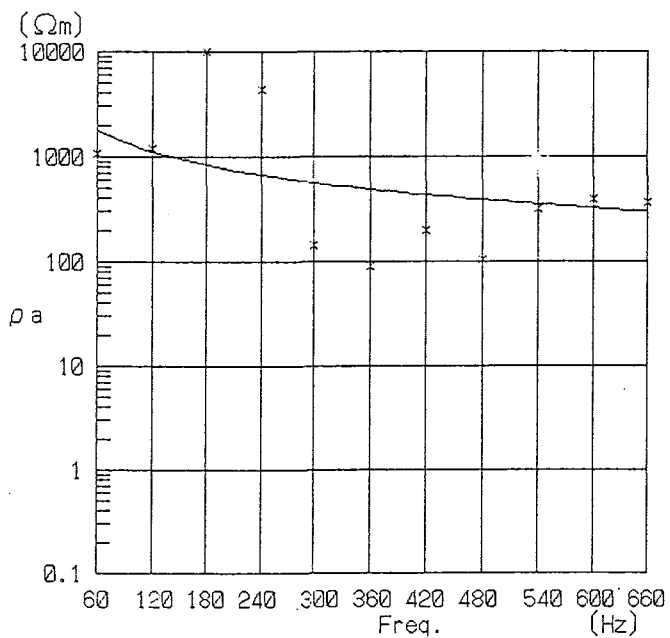
RESISTIVITY (Ωm)	DEPTH (m)
1	29.8
2	282.2



STATION NO. 062(E-W)

F	ρ_a OBS	ρ_a CAL
60	257.0	301.6
120	285.0	208.1
180	84.0	162.3
240	176.0	134.4
300	160.0	115.2
360	117.0	101.2
420	128.0	90.4
480	115.0	81.8
540	56.0	74.9
600	47.0	69.0
660	51.0	64.1

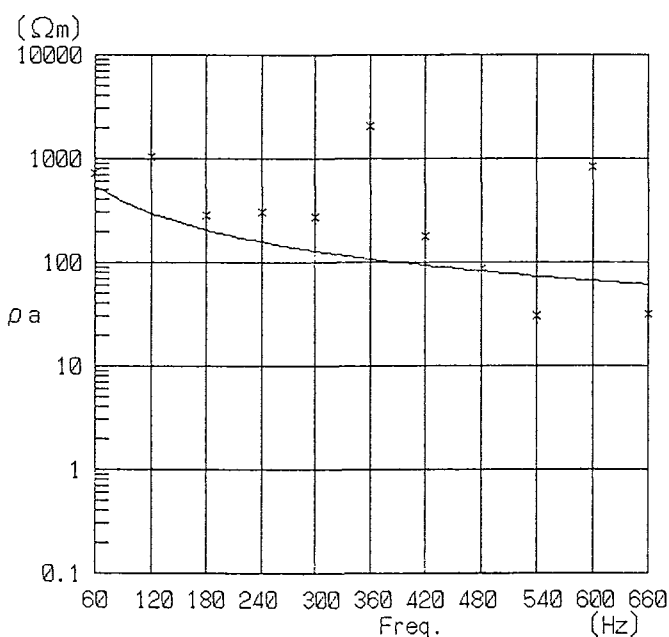
RESISTIVITY (Ωm)	DEPTH (m)
1	6.1
2	984.0



STATION NO. 063(N-S)

F	ρ_a OBS	ρ_a CAL
60	1088.0	1798.4
120	1197.0	1128.7
180	10000.0	839.0
240	4354.0	673.8
300	144.0	566.1
360	91.0	490.0
420	201.0	433.2
480	105.0	389.1
540	312.0	353.8
600	386.0	325.0
660	364.0	301.0

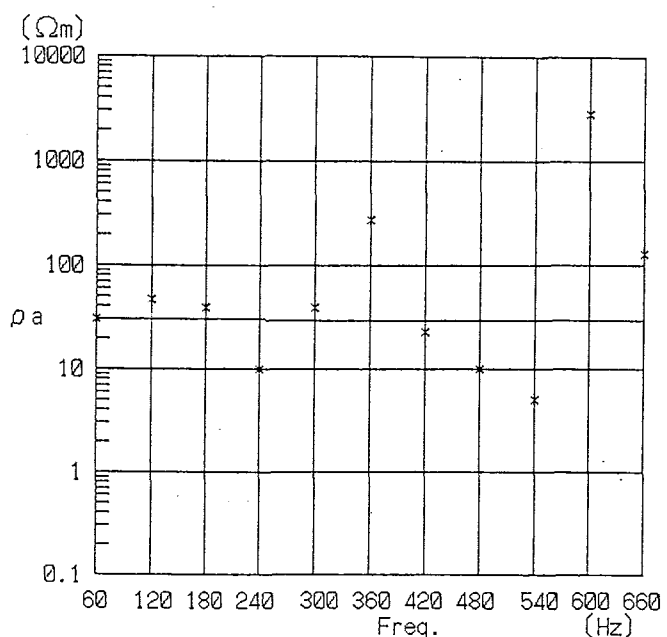
	RESISTIVITY (Ωm)	DEPTH (m)
1	115.8	84.8
2	10544.4	



STATION NO. 063(E-W)

F	ρ_a OBS	ρ_a CAL
60	718.0	550.6
120	1049.0	298.3
180	279.0	206.1
240	304.0	157.9
300	275.0	128.2
360	2080.0	108.0
420	181.0	93.4
480	86.0	82.3
540	30.0	73.6
600	822.0	66.5
660	32.0	60.7

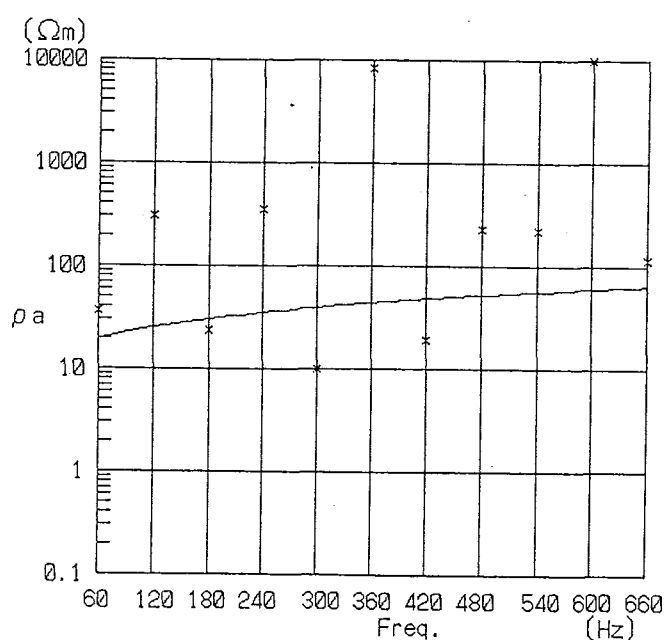
	RESISTIVITY (Ωm)	DEPTH (m)
1	1.7	2.9
2	18630.9	



STATION NO. 064 (N-S)

F	ρ_a OBS	ρ_a CAL
60	31.0	30.7
120	47.0	30.4
180	39.0	30.2
240	10.0	30.0
300	39.0	29.8
360	273.0	29.7
420	23.0	29.5
480	10.0	29.4
540	5.0	29.3
600	2825.0	29.2
660	128.0	29.1

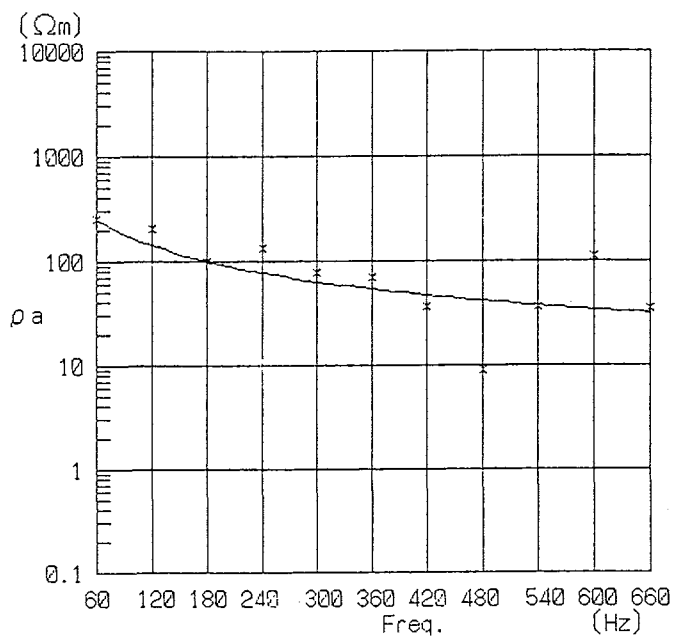
RESISTIVITY (Ωm)	DEPTH (m)
1	21.5
2	31.4



STATION NO. 064 (E-W)

F	ρ_a OBS	ρ_a CAL
60	37.0	19.5
120	306.0	25.3
180	24.0	30.4
240	355.0	35.2
300	10.0	39.7
360	8459.0	44.0
420	19.0	48.2
480	230.0	52.4
540	218.0	56.4
600	10000.0	60.4
660	114.0	64.3

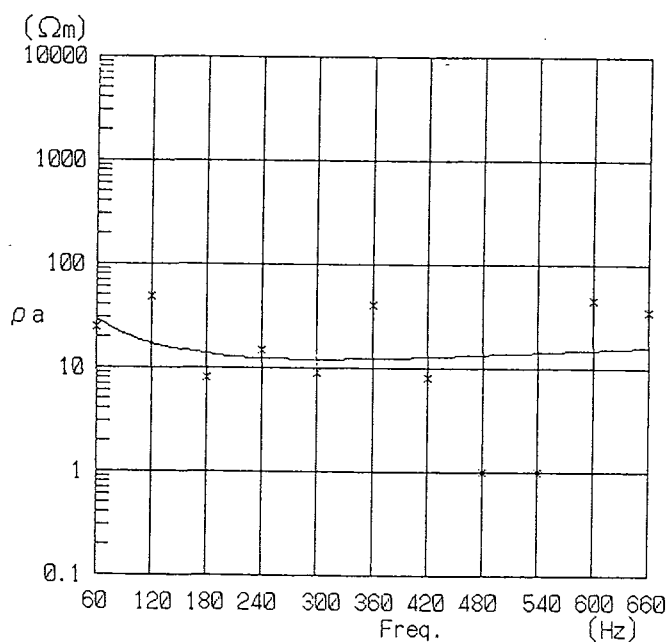
RESISTIVITY (Ωm)	DEPTH (m)
1	4216.1
2	9.4



STATION NO. 065 (N-S)

F	ρ_a OBS	ρ_a CAL
60	251.0	255.8
120	205.0	142.3
180	101.0	99.8
240	131.0	77.4
300	78.0	63.4
360	70.0	54.0
420	37.0	47.1
480	9.0	41.9
540	36.0	37.8
600	113.0	34.5
660	35.0	31.8

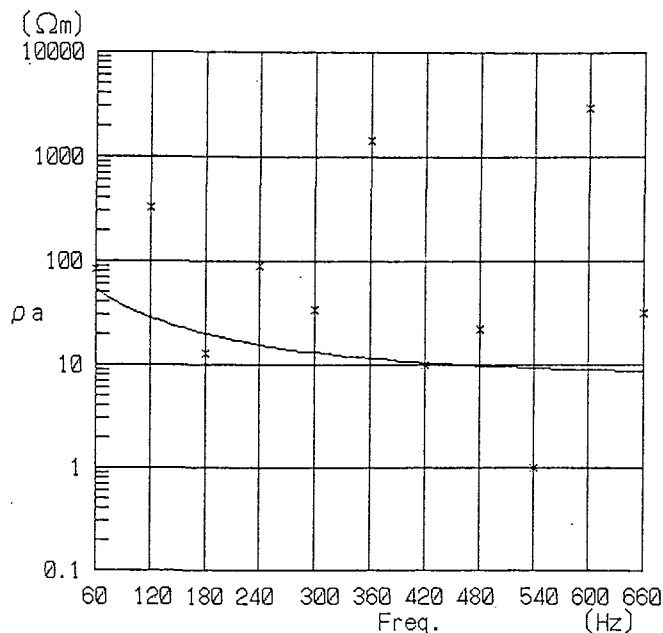
RESISTIVITY (Ωm)	DEPTH (m)
1	16.6
2	5667.2



STATION NO. 065 (E-W)

F	ρ_a OBS	ρ_a CAL
60	25.0	29.6
120	48.0	17.2
180	8.0	13.6
240	15.0	12.4
300	9.0	12.1
360	40.0	12.3
420	8.0	12.8
480	1.0	13.5
540	1.0	14.2
600	45.0	15.1
660	35.0	16.0

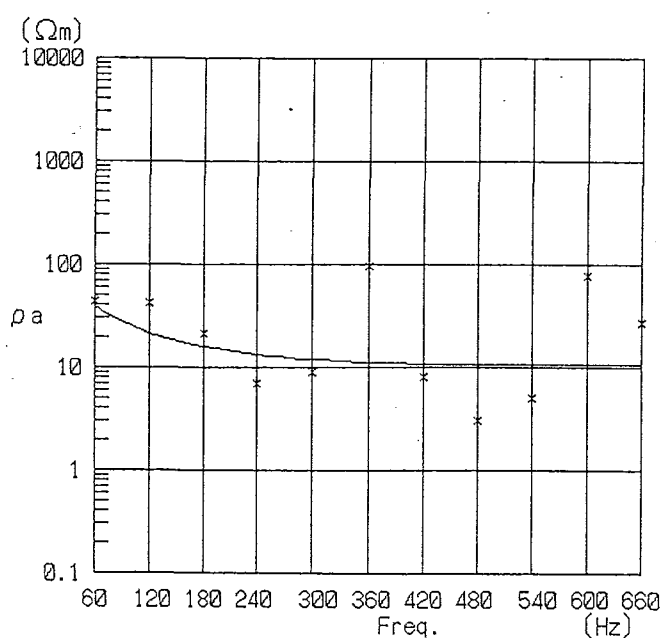
RESISTIVITY (Ωm)	DEPTH (m)
1	178.1
2	1.5
3	5540.9



STATION NO. 066(N-S)

F	ρ_a OBS	ρ_a CAL
60	85.0	53.4
120	326.0	28.4
180	13.0	19.8
240	90.0	15.6
300	34.0	13.2
360	1450.0	11.6
420	10.0	10.5
480	22.0	9.8
540	1.0	9.3
600	2944.0	8.9
660	32.0	8.7

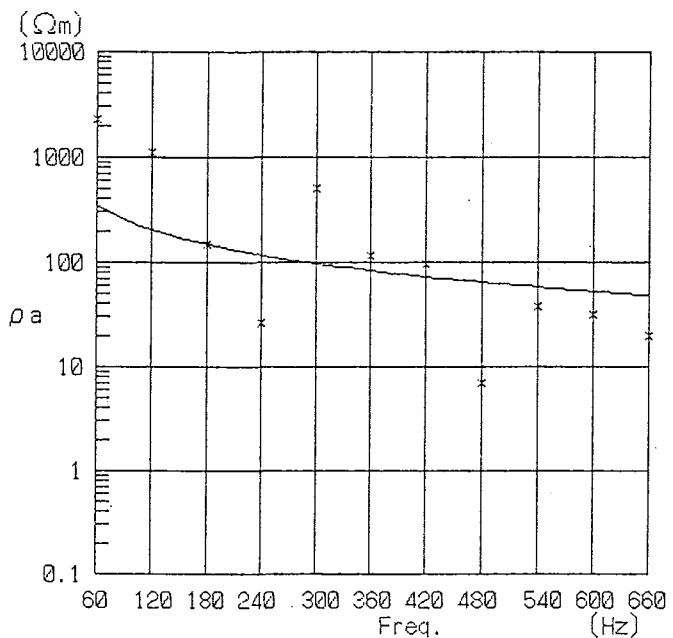
RESISTIVITY (Ωm)	DEPTH (m)
1 10.6	63.1
2 6727.2	



STATION NO. 066(E-W)

F	ρ_a OBS	ρ_a CAL
60	44.0	39.1
120	42.0	21.6
180	21.0	16.0
240	7.0	13.3
300	9.0	12.0
360	98.0	11.2
420	8.0	10.8
480	3.0	10.7
540	5.0	10.6
600	77.0	10.7
660	27.0	10.8

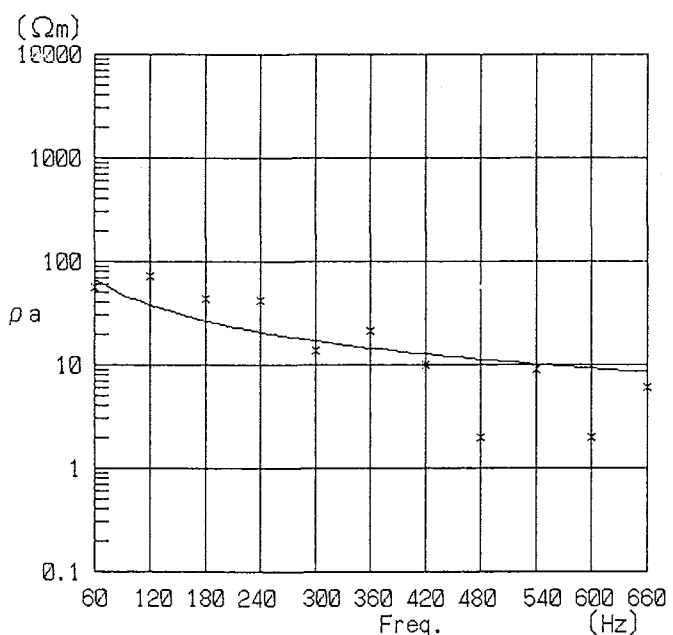
RESISTIVITY (Ωm)	DEPTH (m)
1 13.5	94.8
2 4210.0	



STATION NO. 067(N-S)

F	ρ_a OBS	ρ_a CAL
60	2329.0	347.9
120	1117.0	206.7
180	146.0	149.2
240	26.0	117.5
300	497.0	97.2
360	116.0	83.1
420	96.0	72.7
480	7.0	64.7
540	38.0	58.3
600	32.0	53.1
660	20.0	48.3

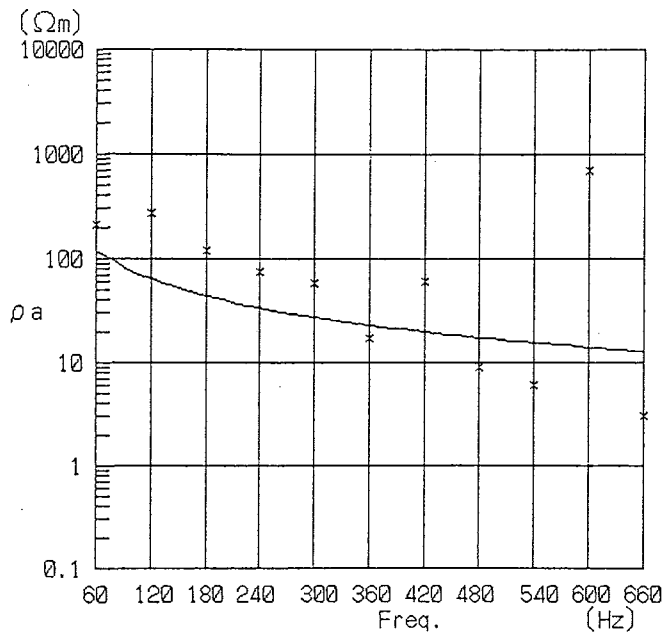
RESISTIVITY (Ωm)	DEPTH (m)
1	7.3
2	3140.4



STATION NO. 067(E-W)

F	ρ_a OBS	ρ_a CAL
60	56.0	67.4
120	73.0	38.1
180	43.0	26.9
240	42.0	20.9
300	14.0	17.1
360	21.0	14.6
420	10.0	12.7
480	2.0	11.3
540	9.0	10.2
600	2.0	9.3
660	6.0	8.5

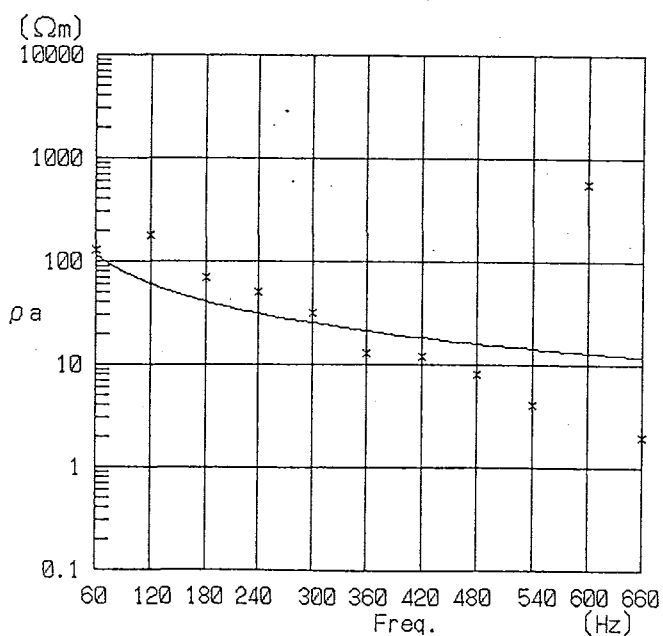
RESISTIVITY (Ωm)	DEPTH (m)
1	3.4
2	1155.0



STATION NO. 068(N-S)

F	ρ_a OBS	ρ_a CAL
60	214.0	120.6
120	277.0	64.3
180	118.0	44.1
240	76.0	33.7
300	59.0	27.2
360	17.0	22.9
420	60.0	19.8
480	9.0	17.4
540	6.0	15.5
600	709.0	14.0
660	3.0	12.8

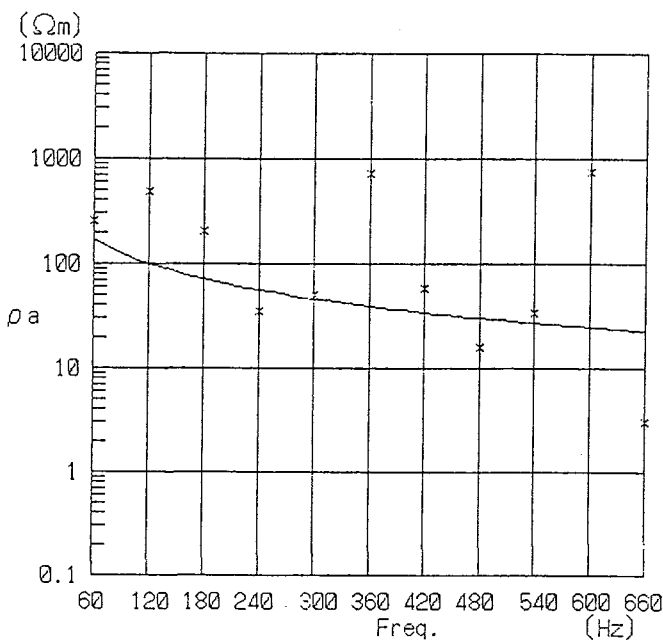
	RESISTIVITY (Ωm)	DEPTH (m)
1	0.8	3.0
2	6116.5	



STATION NO. 068(E-W)

F	ρ_a OBS	ρ_a CAL
60	127.0	114.4
120	178.0	60.0
180	71.0	40.9
240	51.0	31.1
300	32.0	25.1
360	13.0	21.1
420	12.0	18.2
480	8.0	16.0
540	4.0	14.3
600	568.0	12.9
660	2.0	11.8

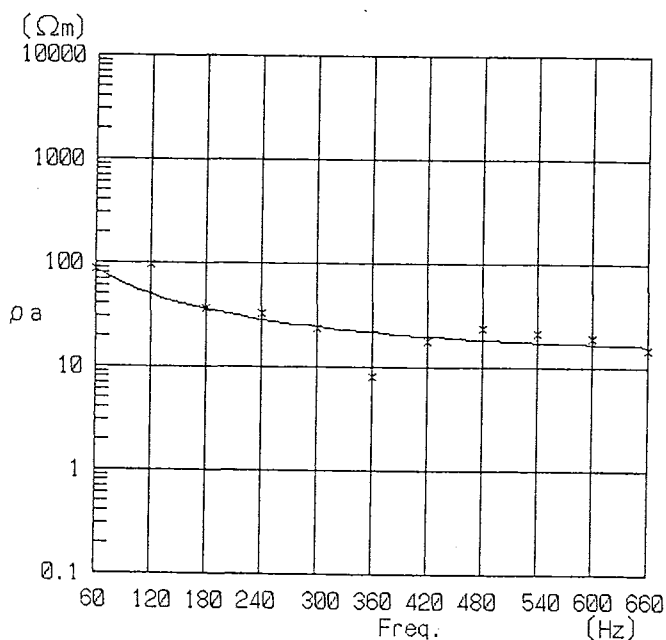
	RESISTIVITY (Ωm)	DEPTH (m)
1	2.8	11.1
2	10000.0	



STATION NO. 069(N-S)

F	ρ_a OBS	ρ_a CAL
60	256.0	172.3
120	484.0	100.2
180	205.0	71.6
240	35.0	56.0
300	50.0	46.1
360	733.0	39.2
420	59.0	34.2
480	16.0	30.3
540	34.0	27.3
600	758.0	24.8
660	3.0	22.7

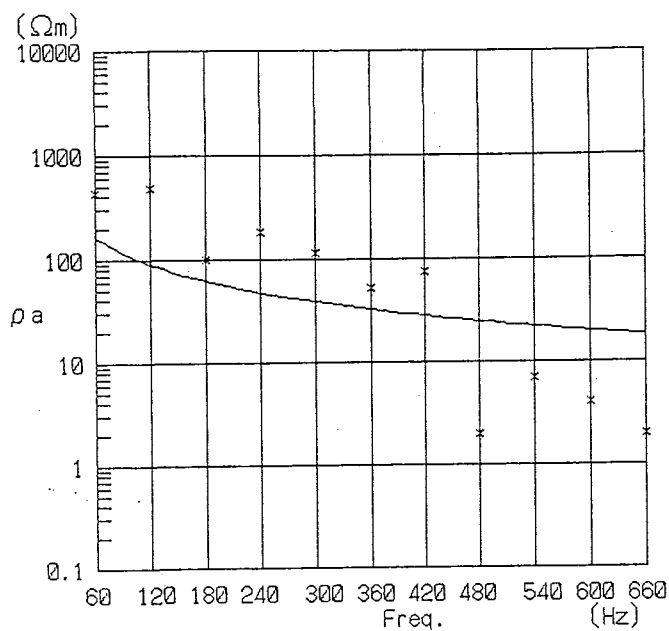
RESISTIVITY (Ωm)	DEPTH (m)
1	0.5
2	68.2
3	1930.0



STATION NO. 069(E-W)

F	ρ_a OBS	ρ_a CAL
60	88.0	87.9
120	97.0	49.8
180	37.0	35.9
240	33.0	28.7
300	24.0	24.5
360	8.0	21.7
420	18.0	19.8
480	24.0	18.4
540	21.0	17.5
600	19.0	16.8
660	15.0	16.2

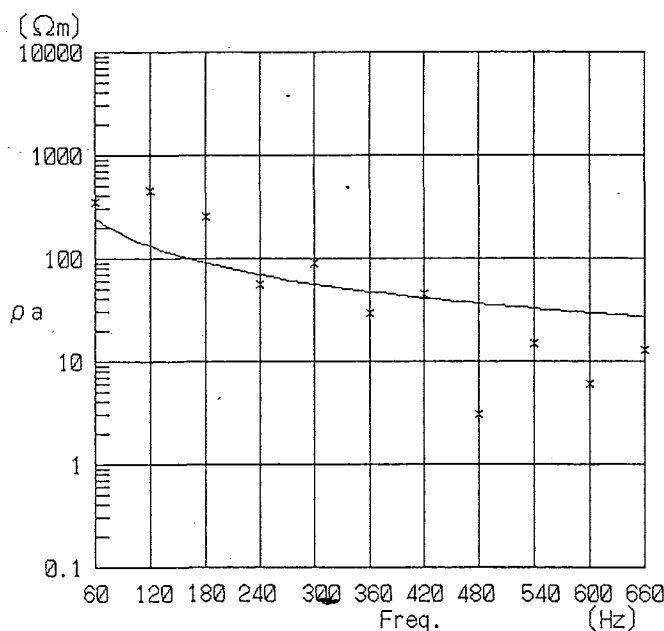
RESISTIVITY (Ωm)	DEPTH (m)
1	19.0
2	2115.1



STATION NO. 070 (N-S)

F	ρ_a OBS	ρ_a CAL
60	445.0	165.8
120	485.0	89.8
180	99.0	62.1
240	185.0	47.6
300	116.0	38.7
360	52.0	32.6
420	74.0	28.2
480	2.0	24.8
540	7.0	22.2
600	4.0	20.1
660	2.0	18.4

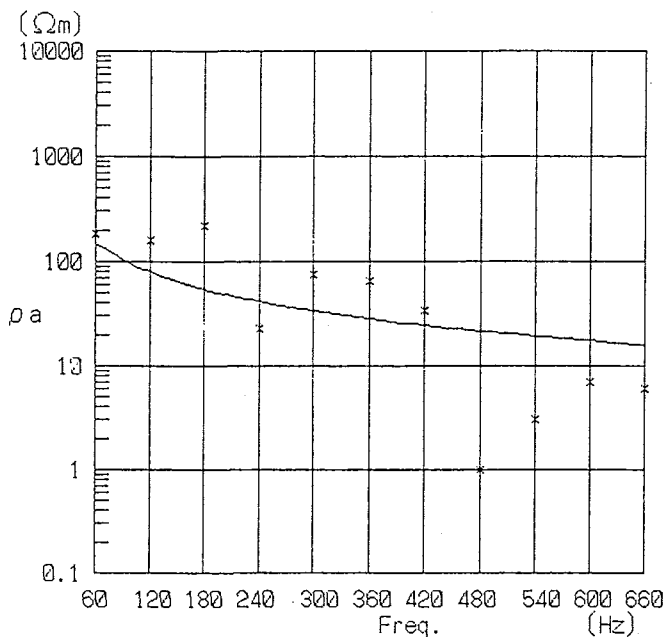
RESISTIVITY (Ωm)	DEPTH (m)
1	1.8
2	5600.3



STATION NO. 070 (E-W)

F	ρ_a OBS	ρ_a CAL
60	356.0	243.5
120	454.0	131.5
180	258.0	90.8
240	57.0	69.6
300	89.0	56.6
360	29.0	47.8
420	45.0	41.4
480	3.0	36.5
540	15.0	32.7
600	6.0	29.7
660	13.0	27.2

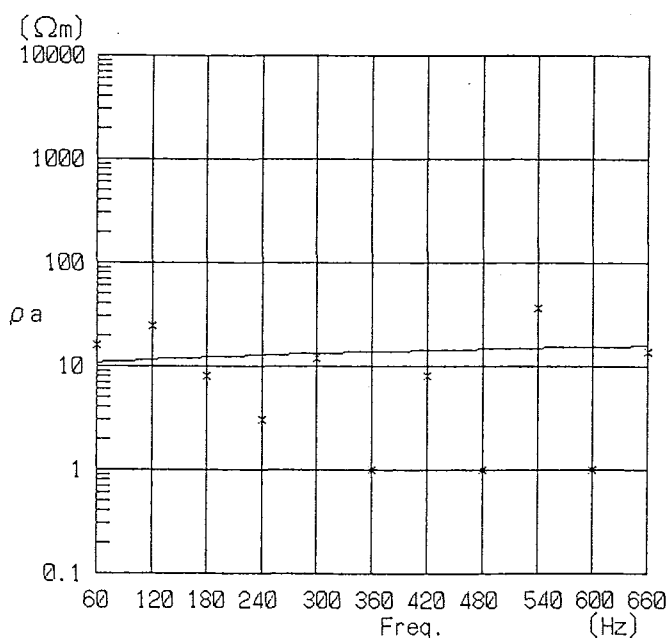
RESISTIVITY (Ωm)	DEPTH (m)
1	8.7
2	9378.7



STATION NO. 071(N-S)

F	ρ_a OBS	ρ_a CAL
60	187.0	149.2
120	158.0	79.5
180	222.0	54.6
240	23.0	41.7
300	75.0	33.8
360	66.0	28.4
420	34.0	24.5
480	1.0	21.6
540	3.0	19.3
600	7.0	17.5
660	6.0	16.0

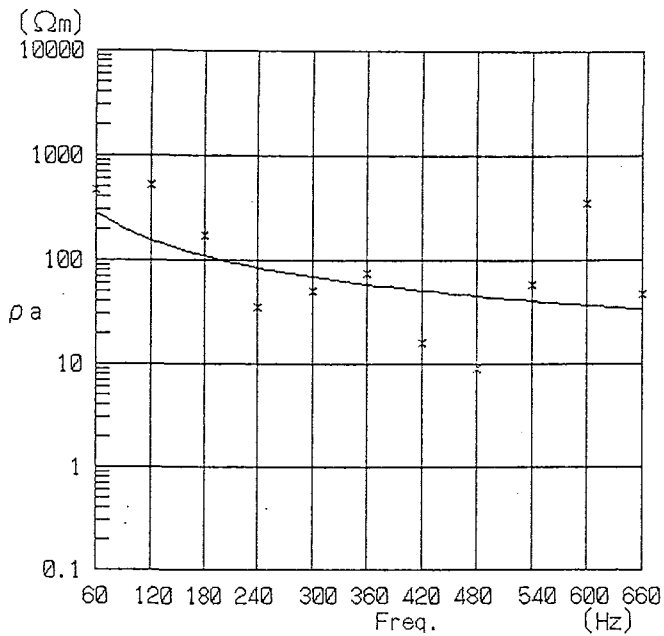
RESISTIVITY (Ωm)	DEPTH (m)
1	3.4
2	7324.1



STATION NO. 071(E-W)

F	ρ_a OBS	ρ_a CAL
60	16.0	10.8
120	25.0	11.6
180	8.0	12.3
240	3.0	12.8
300	12.0	13.3
360	1.0	13.8
420	8.0	14.2
480	1.0	14.7
540	37.0	15.1
600	1.0	15.5
660	14.0	15.8

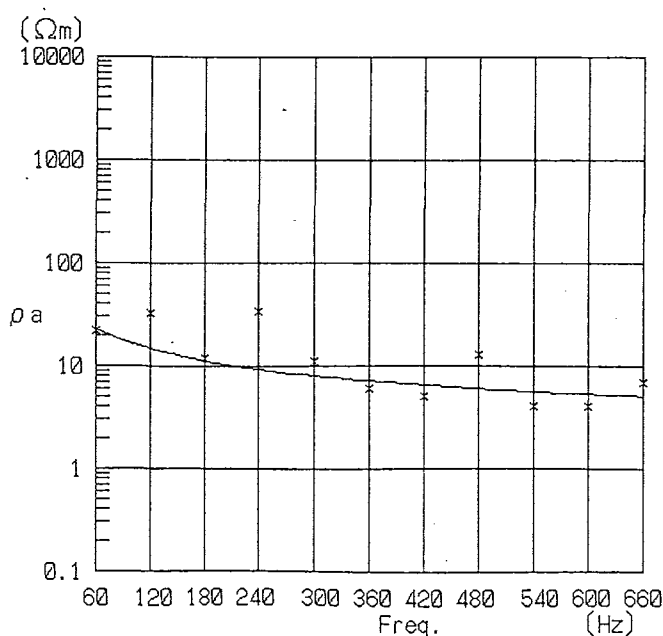
RESISTIVITY (Ωm)	DEPTH (m)
1	71.0
2	9.1



STATION NO. 072(N-S)

F	ρ_a OBS	ρ_a CAL
60	466.0	281.8
120	517.0	156.7
180	174.0	109.7
240	35.0	84.9
300	51.0	69.4
360	76.0	58.8
420	16.0	51.1
480	9.0	45.3
540	59.0	40.6
600	353.0	36.9
660	47.0	33.9

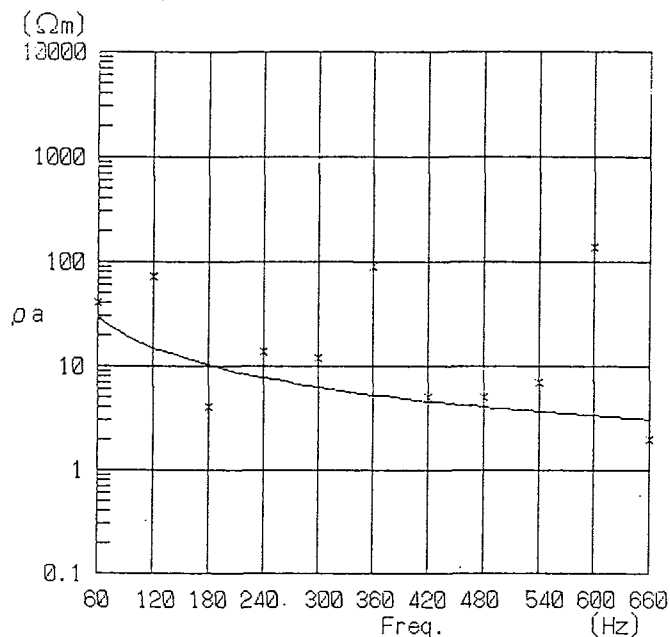
RESISTIVITY (Ωm)	DEPTH (m)
1	10.5
2	5989.5



STATION NO. 072(E-W)

F	ρ_a OBS	ρ_a CAL
60	22.0	22.9
120	33.0	14.8
180	12.0	11.3
240	34.0	9.3
300	11.0	8.0
360	6.0	7.2
420	5.0	6.5
480	13.0	6.0
540	4.0	5.6
600	4.0	5.3
660	7.0	5.1

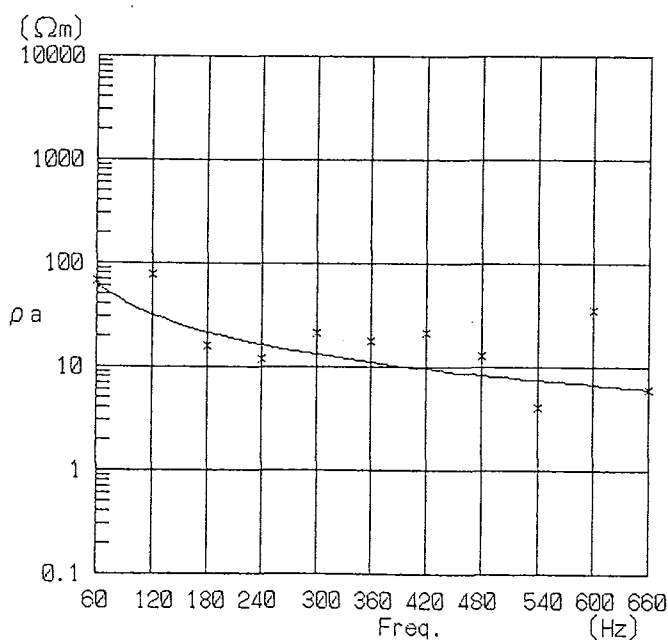
RESISTIVITY (Ωm)	DEPTH (m)
1	4.9
2	125.4



STATION NO. 073(N-S)

F	ρ_a OBS	ρ_a CAL
60	40.0	29.1
120	73.0	15.1
180	4.0	10.3
240	14.0	7.8
300	12.0	6.3
360	91.0	5.3
420	5.0	4.6
480	5.0	4.1
540	7.0	3.7
600	139.0	3.3
660	2.0	3.1

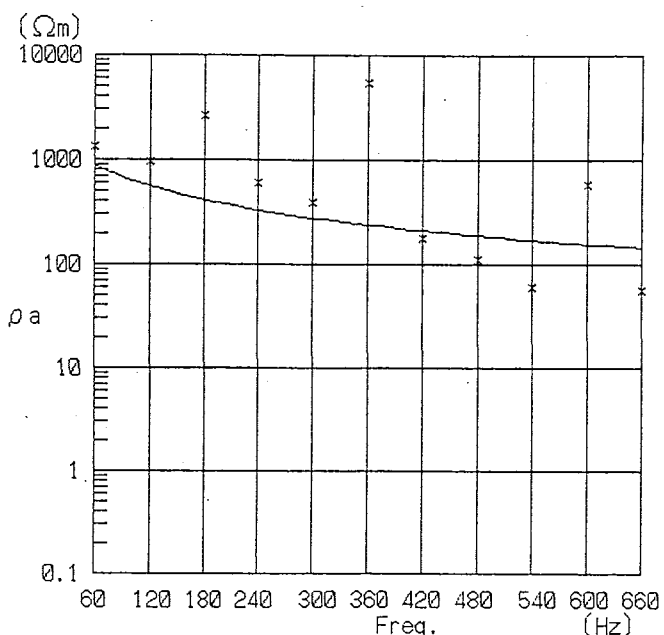
RESISTIVITY (Ωm)	DEPTH (m)
1	1.8
2	4821.1



STATION NO. 073(E-W)

F	ρ_a OBS	ρ_a CAL
60	68.0	61.2
120	78.0	31.8
180	16.0	21.6
240	12.0	16.4
300	21.0	13.2
360	18.0	11.1
420	21.0	9.5
480	13.0	8.4
540	4.0	7.5
600	35.0	6.7
660	6.0	6.1

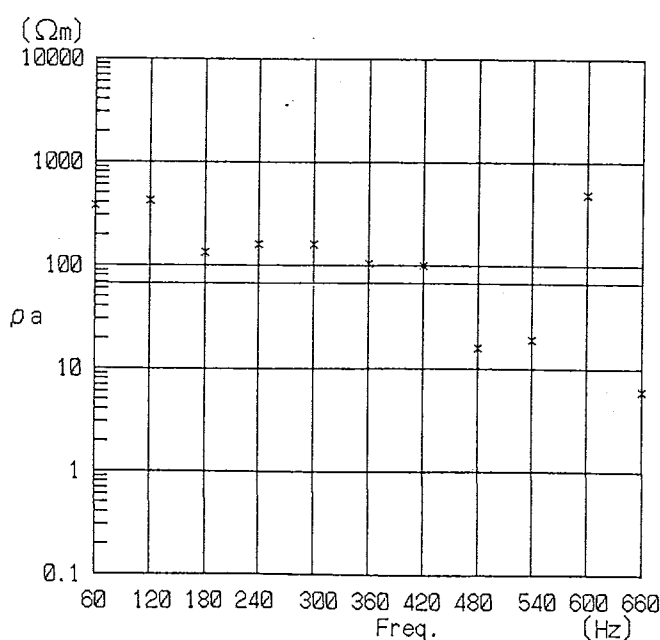
RESISTIVITY (Ωm)	DEPTH (m)
1	0.8
2	7975.8



STATION NO. 074(N-S)

F	ρ_a OBS	ρ_a CAL
60	1356.0	883.2
120	981.0	556.8
180	2663.0	413.9
240	601.0	331.9
300	392.0	278.2
360	5453.0	240.0
420	178.0	211.4
480	110.0	189.2
540	60.0	171.3
600	579.0	156.6
660	56.0	144.4

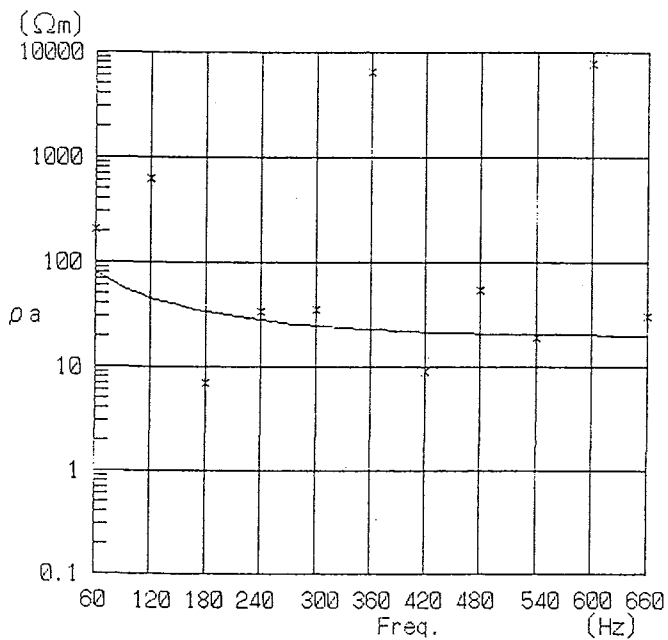
RESISTIVITY (Ωm)	DEPTH (m)
1	9.7
2	4848.7



STATION NO. 074(E-W)

F	ρ_a OBS	ρ_a CAL
60	383.0	67.4
120	424.0	67.4
180	134.0	67.4
240	157.0	67.4
300	161.0	67.4
360	104.0	67.4
420	100.0	67.4
480	16.0	67.4
540	19.0	67.4
600	485.0	67.4
660	6.0	67.4

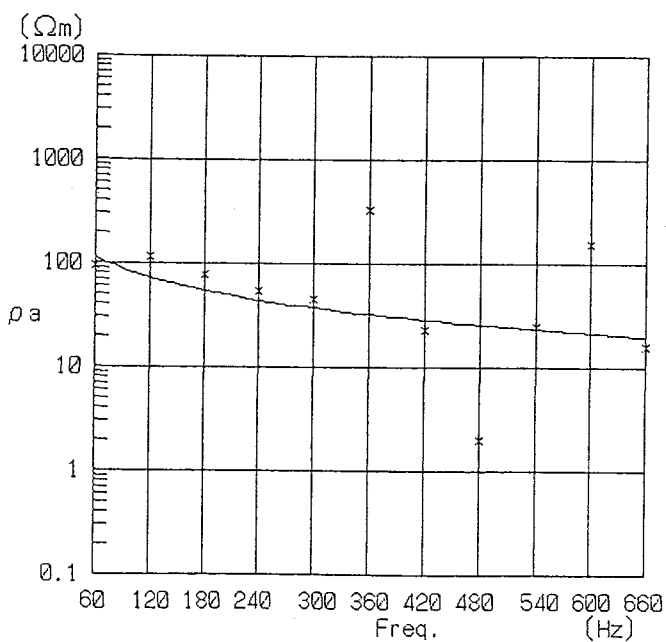
RESISTIVITY (Ωm)	DEPTH (m)
1	67.4
2	428.2



STATION NO. 075 (N-S)

F	ρ_a OBS	ρ_a CAL
60	209.0	80.1
120	627.0	46.0
180	7.0	34.0
240	34.0	28.1
300	35.0	24.8
360	6529.0	22.8
420	9.0	21.5
480	54.0	20.3
540	19.0	20.4
600	7738.0	20.2
660	31.0	20.1

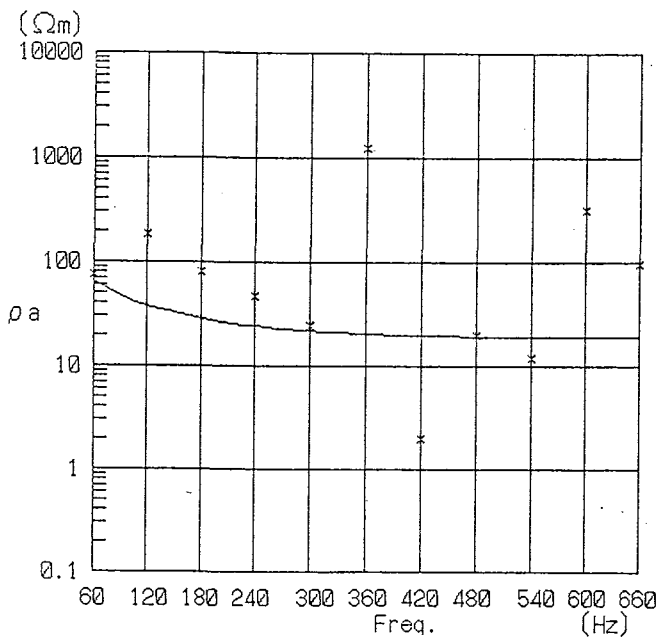
RESISTIVITY (Ωm)	DEPTH (m)
1	100.3
2	23.1
3	2311.3



STATION NO. 075 (E-W)

F	ρ_a OBS	ρ_a CAL
60	93.0	112.5
120	115.0	72.8
180	79.0	54.9
240	54.0	44.4
300	45.0	37.4
360	331.0	32.4
420	23.0	28.7
480	2.0	25.7
540	25.0	23.4
600	154.0	21.4
660	16.0	19.8

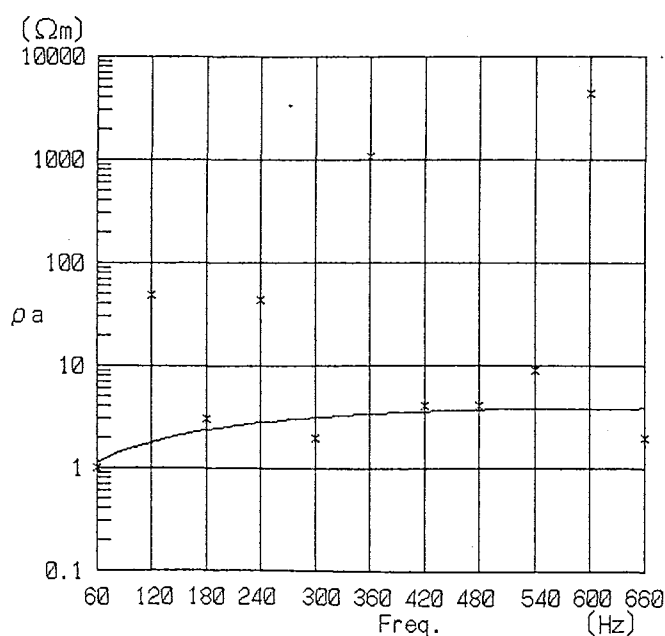
RESISTIVITY (Ωm)	DEPTH (m)
1	86.1
2	0.9
3	519.4



STATION NO. 076(N-S)

F	ρ_a OBS	ρ_a CAL
60	74.0	65.5
120	186.0	38.1
180	80.0	28.7
240	47.0	24.2
300	25.0	21.8
360	1228.0	20.5
420	2.0	19.7
480	20.0	19.4
540	12.0	19.2
600	320.0	19.2
660	95.0	19.3

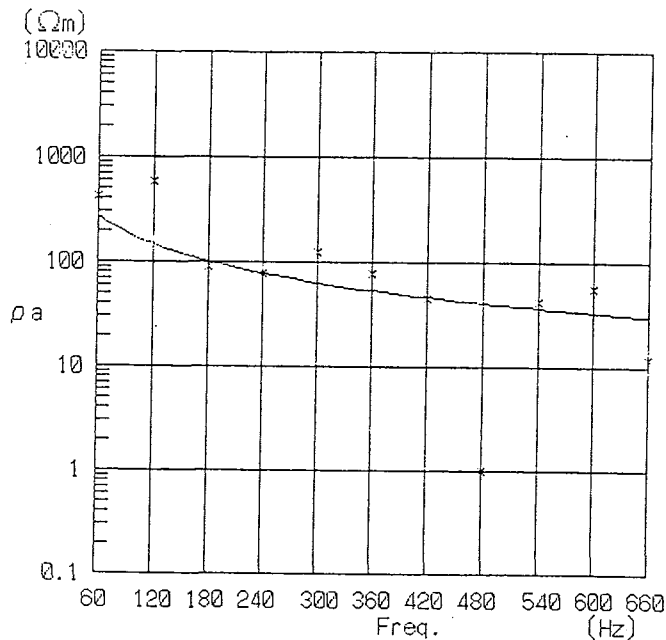
RESISTIVITY (Ωm)	DEPTH (m)
1	23.8
2	1957.4



STATION NO. 076(E-W)

F	ρ_a OBS	ρ_a CAL
60	1.0	1.1
120	48.0	1.8
180	3.0	2.4
240	44.0	2.8
300	2.0	3.1
360	1079.0	3.4
420	4.0	3.6
480	4.0	3.7
540	9.0	3.8
600	4443.0	3.8
660	2.0	3.9

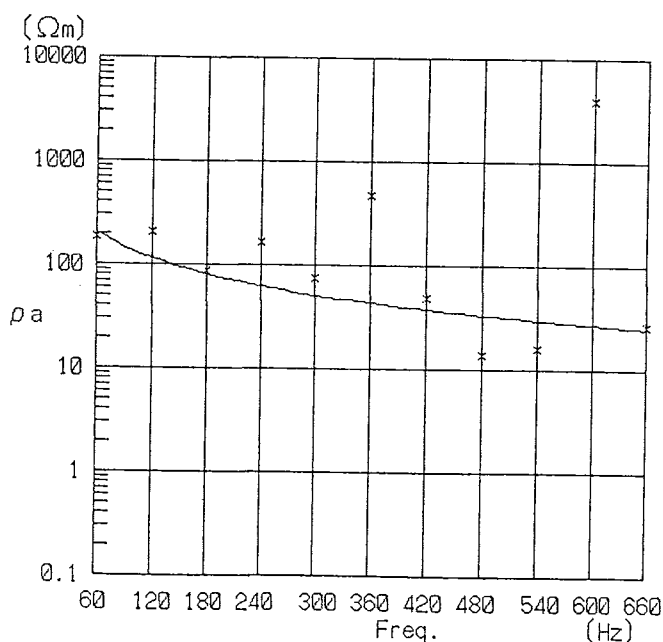
RESISTIVITY (Ωm)	DEPTH (m)
1	3.2
2	0.1



STATION NO. 077(N-S)

F	ρ_a OBS	ρ_a CAL
60	416.0	271.4
120	573.0	147.2
180	91.0	101.8
240	79.0	78.0
300	124.0	63.4
360	79.0	53.5
420	45.0	46.2
480	1.0	40.8
540	42.0	36.5
600	57.0	33.0
660	12.0	30.2

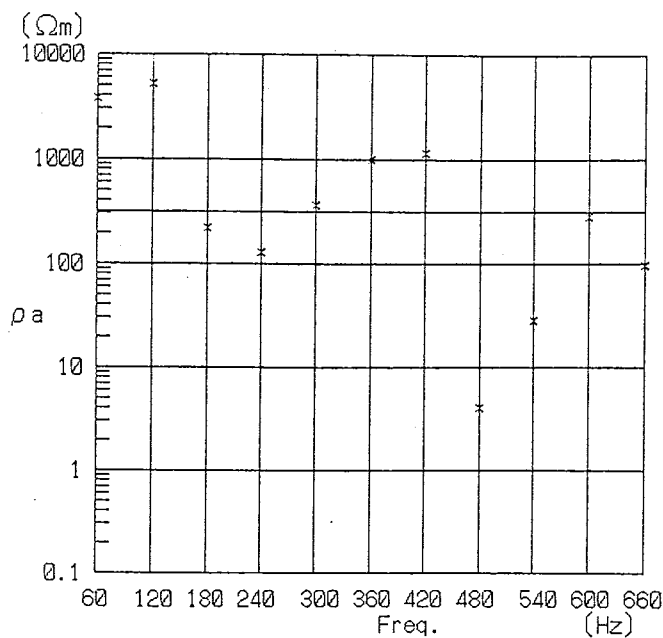
RESISTIVITY (Ωm)	DEPTH (m)
1	4.4
2	9142.5



STATION NO. 077(E-W)

F	ρ_a OBS	ρ_a CAL
60	183.0	204.1
120	209.0	114.8
180	86.0	80.7
240	166.0	62.5
300	75.0	51.2
360	463.0	43.4
420	48.0	37.6
480	14.0	33.3
540	16.0	29.9
600	3926.0	27.1
660	26.0	24.8

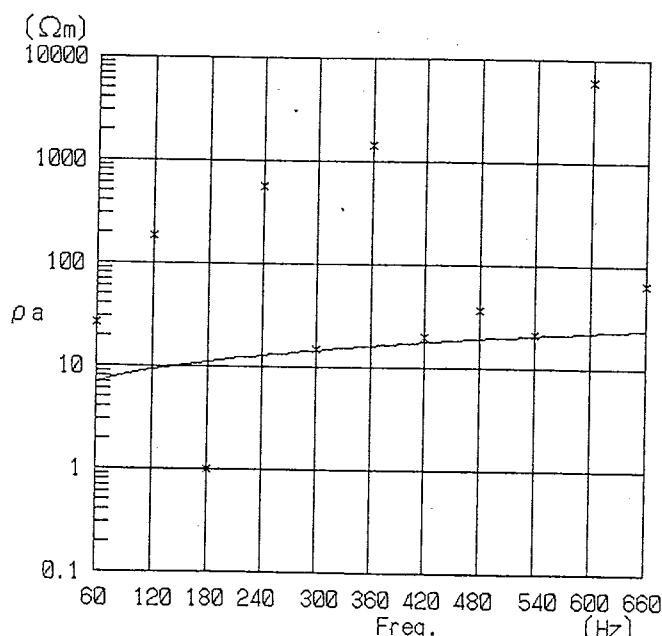
RESISTIVITY (Ωm)	DEPTH (m)
1	2.4
2	3509.9



STATION NO. 078(N-S)

F	ρ_a OBS	ρ_a CAL
60	3817.0	312.2
120	5212.0	312.3
180	217.0	312.3
240	128.0	312.3
300	362.0	312.3
360	1005.0	312.3
420	1163.0	312.3
480	4.0	312.3
540	28.0	312.3
600	287.0	312.3
660	95.0	312.4

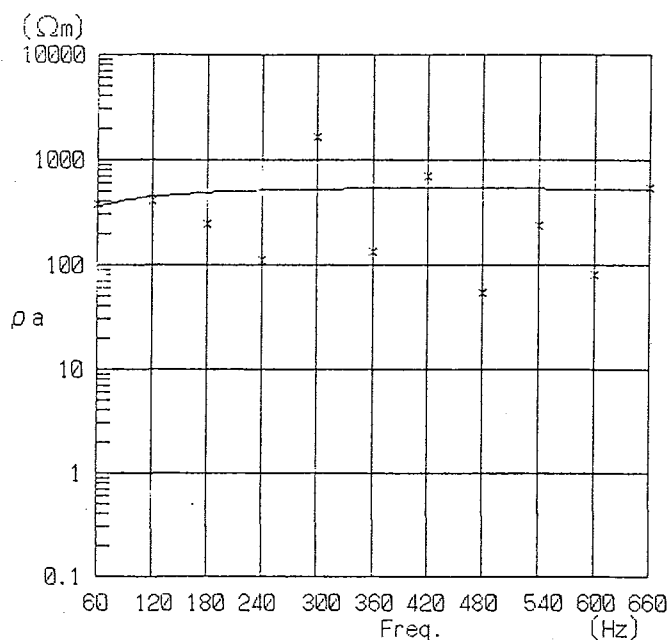
RESISTIVITY (Ωm)	DEPTH (m)
1 1896.8	0.1
2 312.2	



STATION NO. 078(E-W)

F	ρ_a OBS	ρ_a CAL
60	26.0	7.1
120	186.0	9.2
180	1.0	11.1
240	558.0	12.9
300	15.0	14.6
360	1425.0	16.2
420	20.0	17.7
480	36.0	19.3
540	21.0	20.7
600	6015.0	22.2
660	64.0	23.7

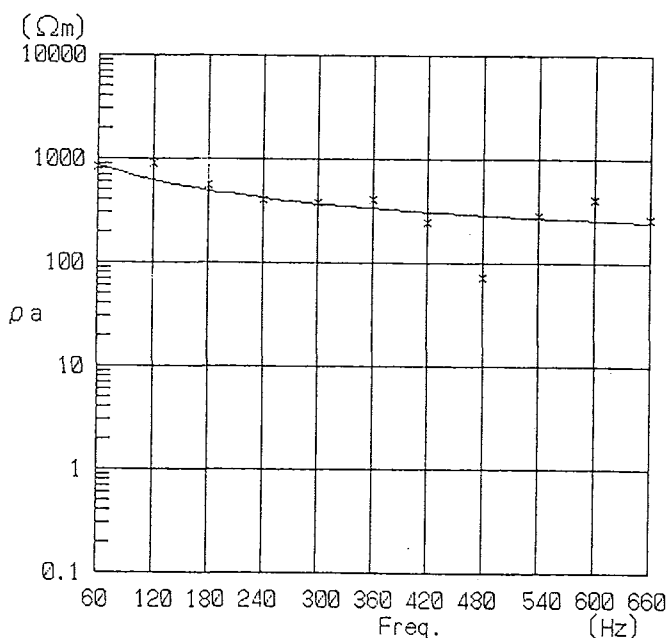
RESISTIVITY (Ωm)	DEPTH (m)
1 9484.9	46.9
2 3.4	



STATION NO. 079(N-S)

F	ρ_a OBS	ρ_a CAL
60	377.0	364.2
120	400.0	447.1
180	245.0	492.4
240	112.0	517.1
300	1653.0	529.8
360	133.0	535.3
420	694.0	536.6
480	55.0	535.5
540	241.0	532.9
600	81.0	529.7
660	546.0	526.1

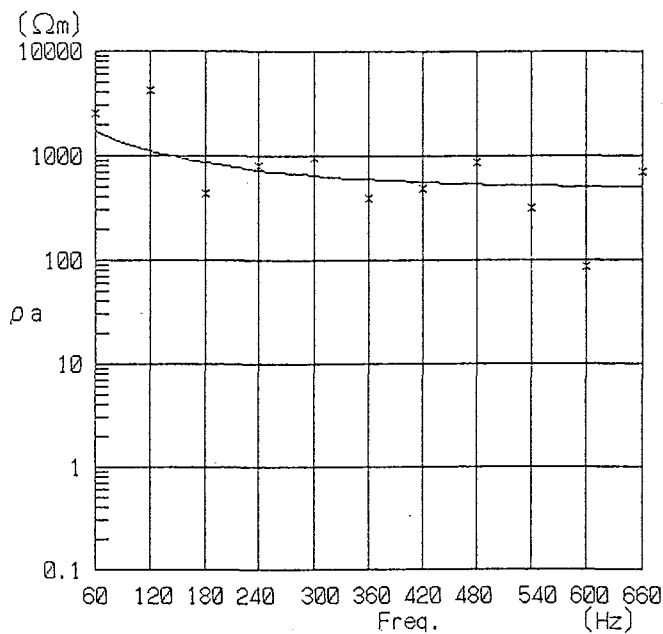
RESISTIVITY (Ωm)	DEPTH (m)
1 494.9	647.0
2 142.1	



STATION NO. 079(E-W)

F	ρ_a OBS	ρ_a CAL
60	830.0	868.8
120	890.0	616.9
180	568.0	494.9
240	403.0	421.1
300	383.0	371.4
360	404.0	335.6
420	244.0	308.6
480	72.0	287.7
540	285.0	271.0
600	410.0	257.6
660	262.0	246.5

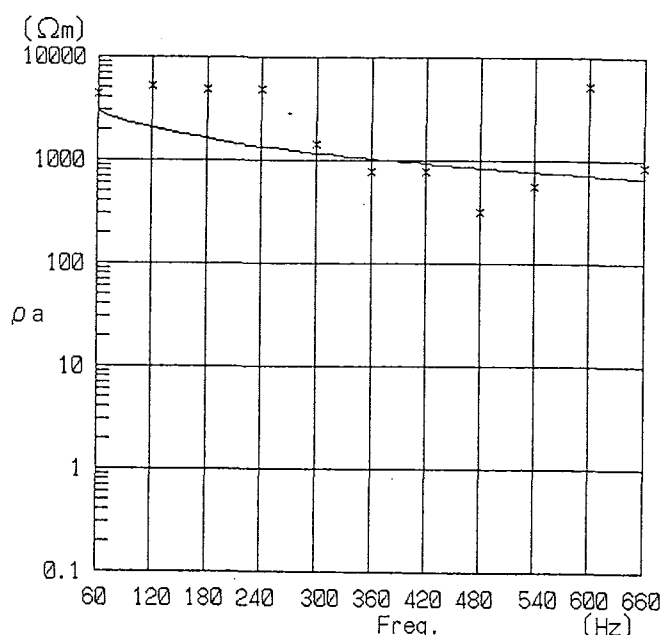
RESISTIVITY (Ωm)	DEPTH (m)
1 220.4	199.0
2 2734.6	



STATION NO. 080 (N-S)

F	ρ_a OBS	ρ_a CAL
60	2551.0	1721.4
120	4291.0	1110.0
180	443.0	861.7
240	792.0	728.8
300	973.0	648.2
360	389.0	595.8
420	490.0	560.5
480	862.0	536.2
540	318.0	519.4
600	87.0	508.0
660	706.0	500.3

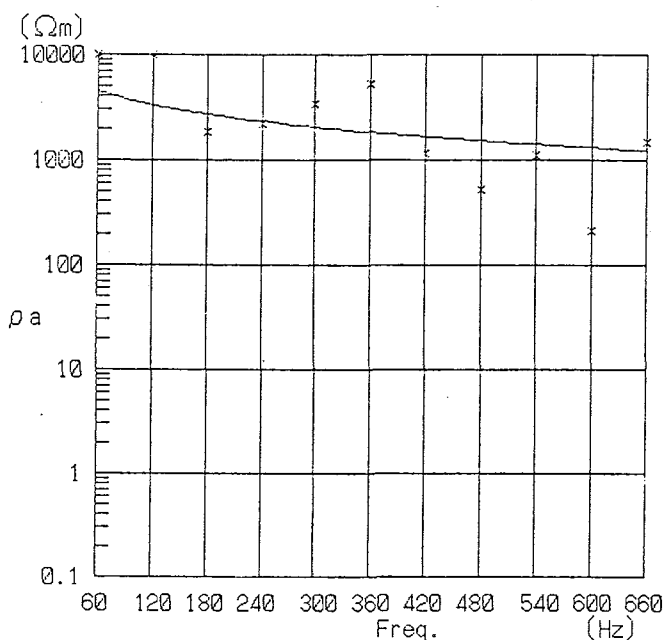
	RESISTIVITY (Ωm)	DEPTH (m)
1	583.0	490.1
2	11657.4	



STATION NO. 080 (E-W)

F	ρ_a OBS	ρ_a CAL
60	4328.0	2922.4
120	5316.0	2058.5
180	4796.0	1625.5
240	4823.0	1356.9
300	1418.0	1171.2
360	772.0	1034.2
420	774.0	928.3
480	314.0	843.7
540	565.0	774.5
600	5158.0	716.6
660	880.0	667.5

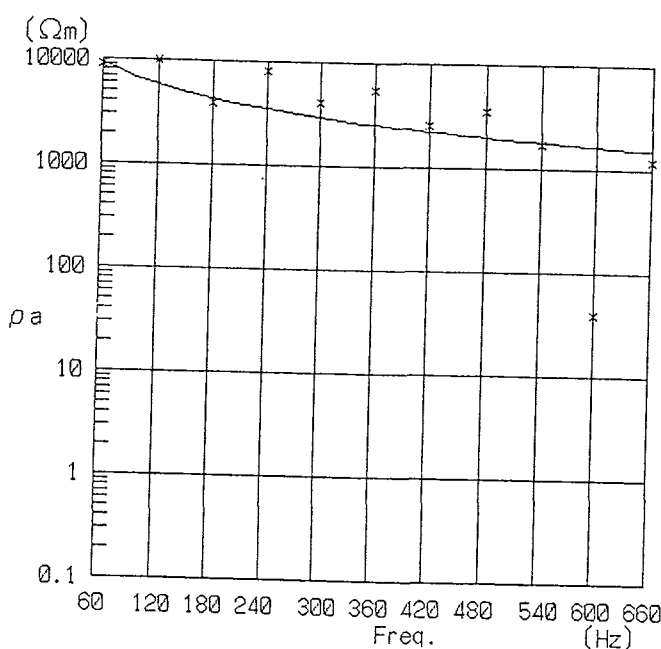
	RESISTIVITY (Ωm)	DEPTH (m)
1	120.6	52.4
2	8704.7	



STATION NO. 081 (N-S)

F	ρ_a OBS	ρ_a CAL
60	10000.0	4452.7
120	10000.0	3332.8
180	1830.0	2725.6
240	2226.0	2329.8
300	3421.0	2046.6
360	5269.0	1831.8
420	1147.0	1662.2
480	519.0	1524.3
540	1126.0	1409.7
600	214.0	1312.7
660	1485.0	1229.3

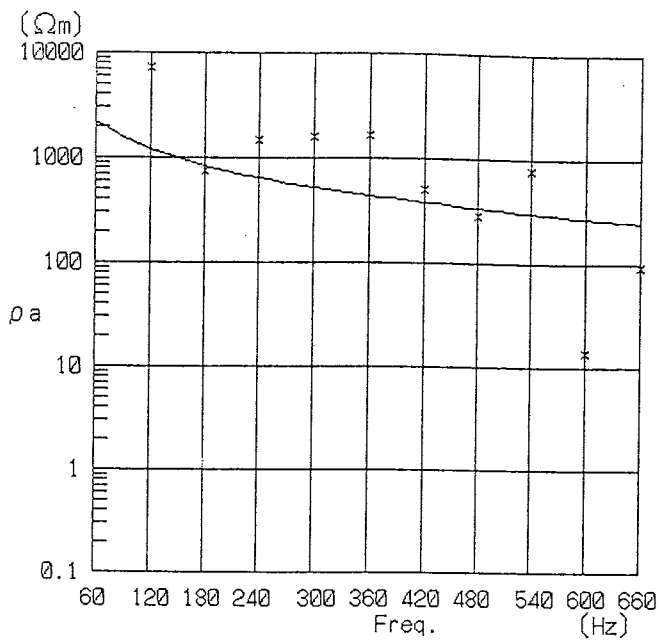
RESISTIVITY (Ωm)	DEPTH (m)
1	119.3
2	10265.1



STATION NO. 081 (E-W)

F	ρ_a OBS	ρ_a CAL
60	8891.0	9269.3
120	10000.0	5843.3
180	3873.0	4343.7
240	8167.0	3483.0
300	4019.0	2919.0
360	5374.0	2518.6
420	2571.0	2218.7
480	3497.0	1985.1
540	1702.0	1797.7
600	39.0	1643.8
660	1176.0	1515.1

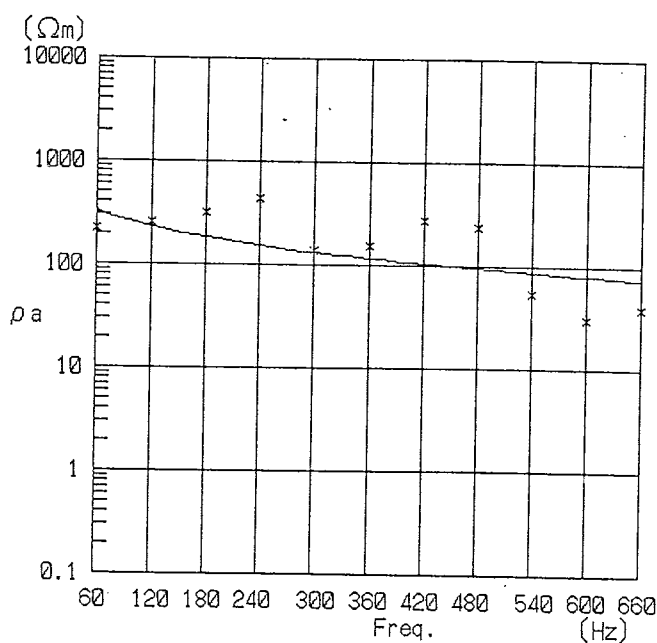
RESISTIVITY (Ωm)	DEPTH (m)
1	109.6
2	50940.6



STATION NO. 082(N-S)

F	ρ_a OBS	ρ_a CAL
60	6760.0	2207.4
120	7276.0	1207.9
180	750.0	838.5
240	1472.0	644.3
300	1581.0	524.1
360	1665.0	442.1
420	497.0	382.6
480	279.0	337.4
540	782.0	301.8
600	14.0	273.1
660	93.0	249.5

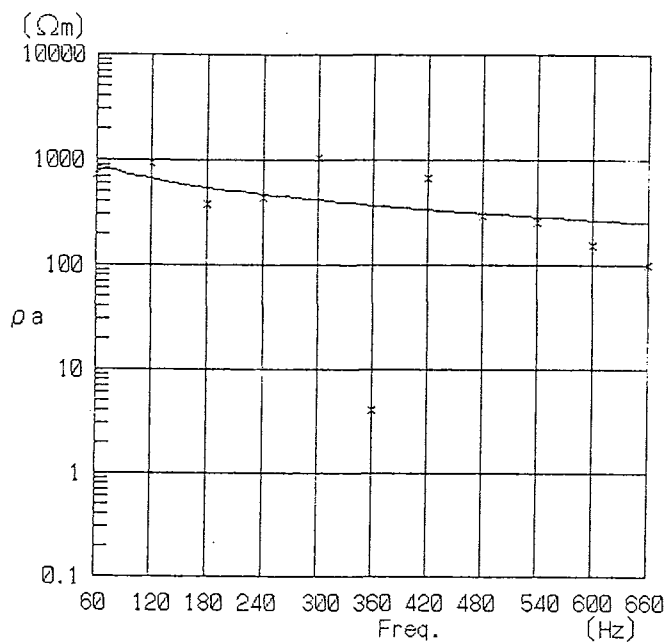
	RESISTIVITY (Ωm)	DEPTH (m)
1	2.6	2.1
2	1022.6	32.3
3	60290.6	



STATION NO. 082(E-W)

F	ρ_a OBS	ρ_a CAL
60	218.0	325.4
120	257.0	230.9
180	313.0	182.9
240	444.0	152.9
300	136.0	132.1
360	156.0	116.6
420	269.0	104.7
480	235.0	95.1
540	54.0	87.2
600	30.0	80.6
660	39.0	75.0

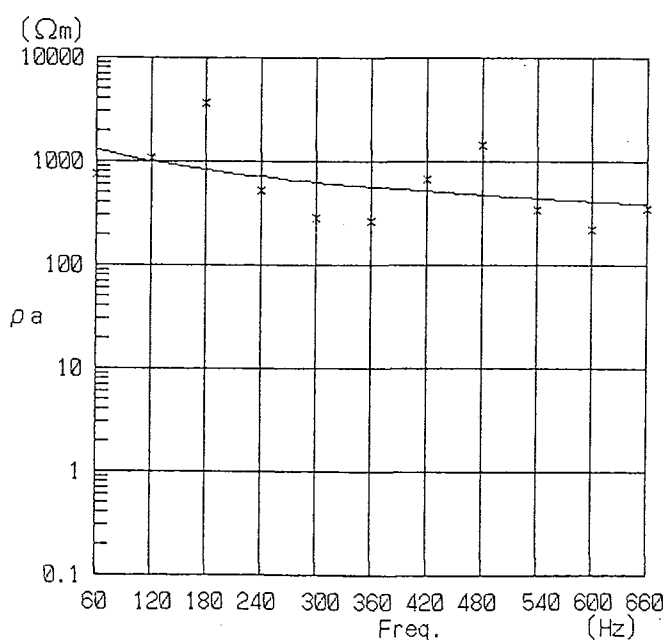
	RESISTIVITY (Ωm)	DEPTH (m)
1	2.3	2.9
2	1431.7	27.7
3	929.4	



STATION NO. 083(N-S)

F	ρ_a OBS	ρ_a CAL
60	723.0	879.9
120	944.0	665.8
180	373.0	547.9
240	441.0	470.3
300	1049.0	414.3
360	4.0	371.6
420	663.0	337.3
480	297.0	310.2
540	258.0	287.1
600	155.0	267.6
660	100.0	250.7

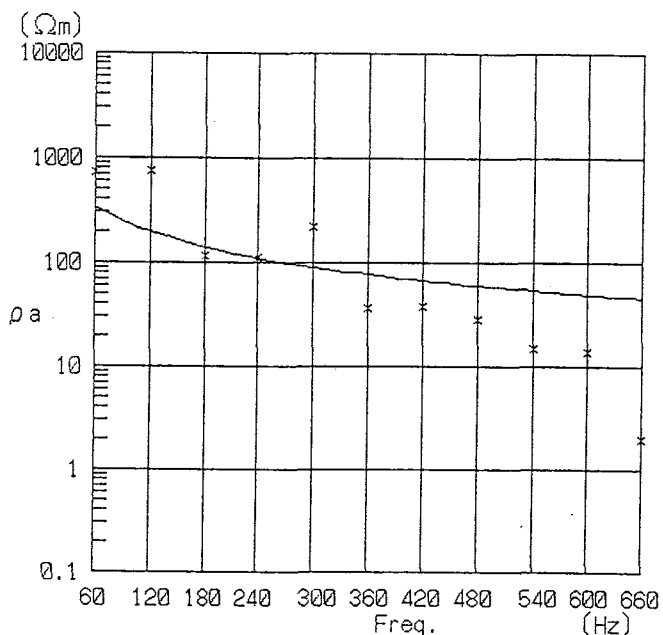
RESISTIVITY (Ωm)	DEPTH (m)
1	5.9
2	1942.1



STATION NO. 083(E-W)

F	ρ_a OBS	ρ_a CAL
60	742.0	1304.7
120	1063.0	996.8
180	3627.0	825.3
240	517.0	711.5
300	279.0	629.0
360	262.0	555.9
420	667.0	515.6
480	1434.0	474.4
540	335.0	440.0
600	223.0	410.7
660	353.0	385.5

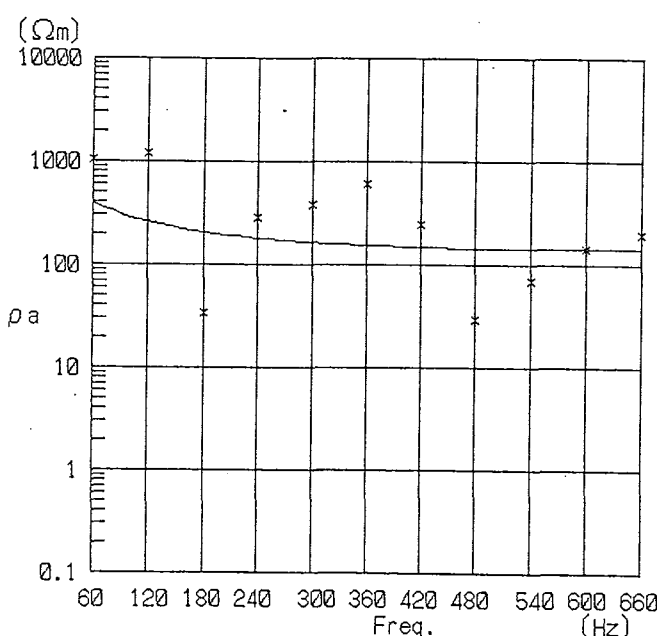
RESISTIVITY (Ωm)	DEPTH (m)
1	23.3
2	2784.9



STATION NO. 084 (N-S)

F	ρ_a OBS	ρ_a CAL
60	736.0	338.6
120	759.0	196.0
180	114.0	139.9
240	111.0	109.5
300	224.0	90.4
360	37.0	77.2
420	38.0	67.5
480	28.0	60.1
540	15.0	54.2
600	14.0	49.5
660	2.0	45.5

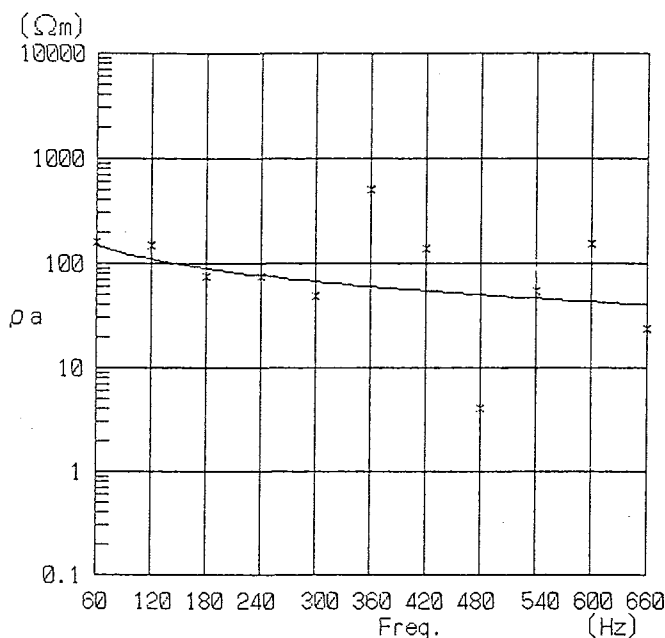
RESISTIVITY (Ωm)	DEPTH (m)
1	17.4
2	4173.4



STATION NO. 084 (E-W)

F	ρ_a OBS	ρ_a CAL
60	1048.0	396.0
120	1199.0	260.4
180	34.0	207.0
240	283.0	179.5
300	376.0	163.6
360	614.0	154.0
420	249.0	148.1
480	29.0	144.5
540	71.0	142.5
600	142.0	141.5
660	197.0	141.3

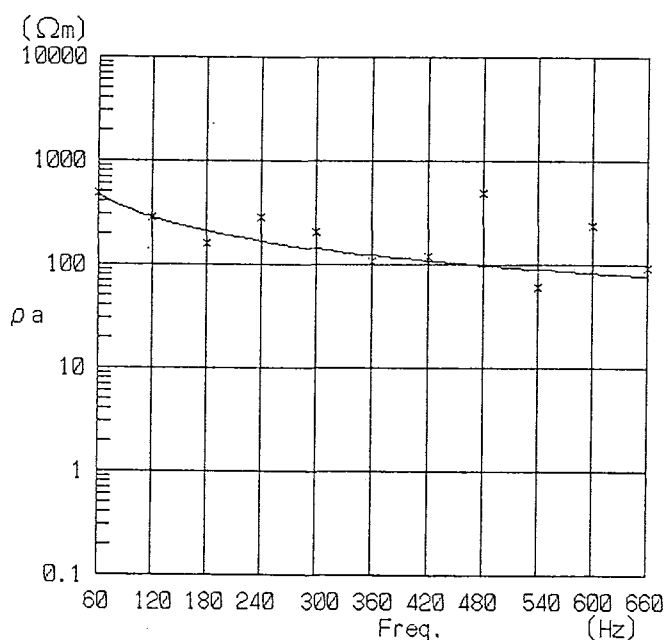
RESISTIVITY (Ωm)	DEPTH (m)
1	166.1
2	2716.0



STATION NO. 085 (N-S)

F	ρ_a OBS	ρ_a CAL
60	153.0	147.6
120	148.0	110.1
180	74.0	89.8
240	76.0	76.7
300	48.0	67.3
360	505.0	60.2
420	137.0	54.6
480	4.0	50.0
540	55.0	46.2
600	155.0	43.0
660	24.0	40.3

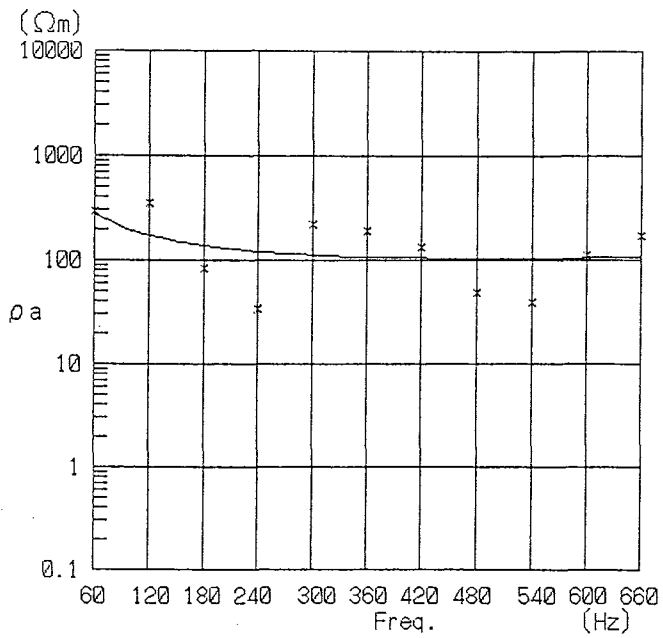
	RESISTIVITY (Ωm)	DEPTH (m)
1	4.6	7.5
2	345.4	



STATION NO. 085 (E-W)

F	ρ_a OBS	ρ_a CAL
60	485.0	463.0
120	280.0	284.4
180	159.0	209.8
240	279.0	168.1
300	204.0	141.3
360	108.0	122.6
420	119.0	108.8
480	491.0	98.2
540	61.0	89.8
600	237.0	83.0
660	92.0	77.5

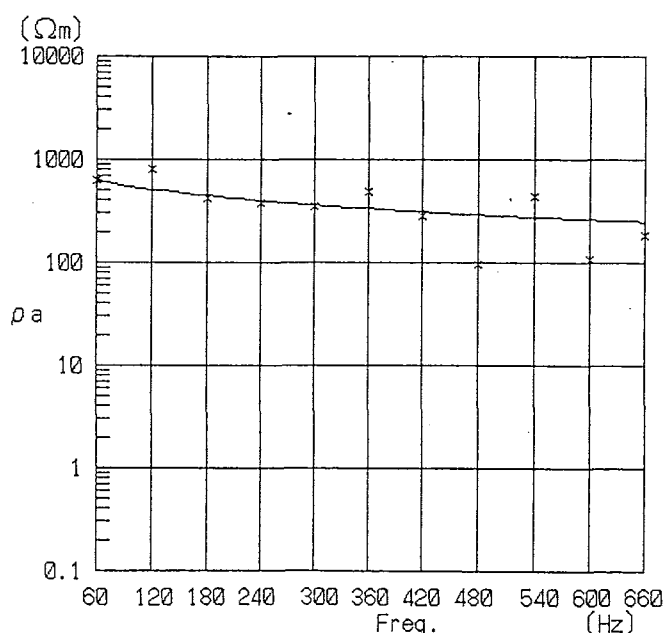
	RESISTIVITY (Ωm)	DEPTH (m)
1	50.1	77.0
2	3337.2	



STATION NO. 086 (N-S)

F	ρ_a OBS	ρ_a CAL
60	298.0	274.0
120	354.0	174.1
180	85.0	138.3
240	34.0	121.3
300	222.0	112.5
360	192.0	107.9
420	134.0	105.6
480	49.0	104.8
540	39.0	104.9
600	112.0	105.6
660	172.0	106.6

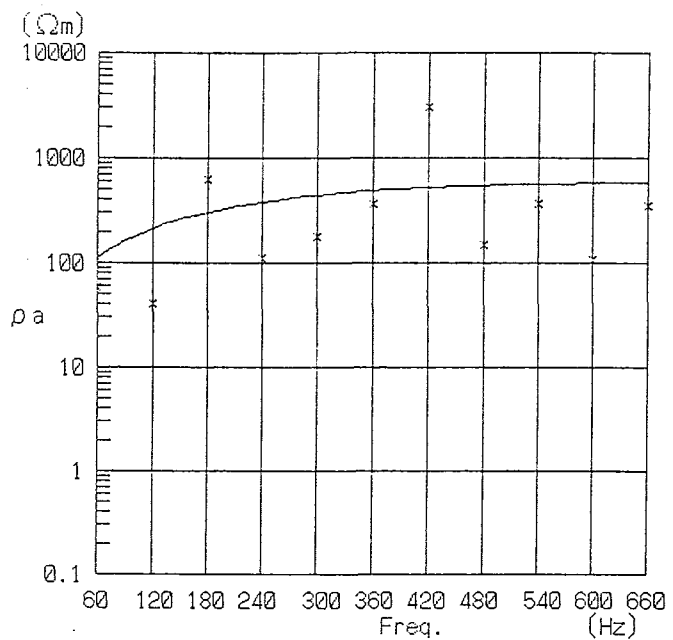
	RESISTIVITY (Ωm)	DEPTH (m)
1	125.3	297.0
2	3190.2	



STATION NO. 086 (E-W)

F	ρ_a OBS	ρ_a CAL
60	637.0	621.5
120	814.0	511.8
180	422.0	445.2
240	378.0	398.2
300	347.0	362.6
360	489.0	334.4
420	280.0	311.2
480	95.0	291.8
540	438.0	275.2
600	109.0	260.8
660	185.0	248.1

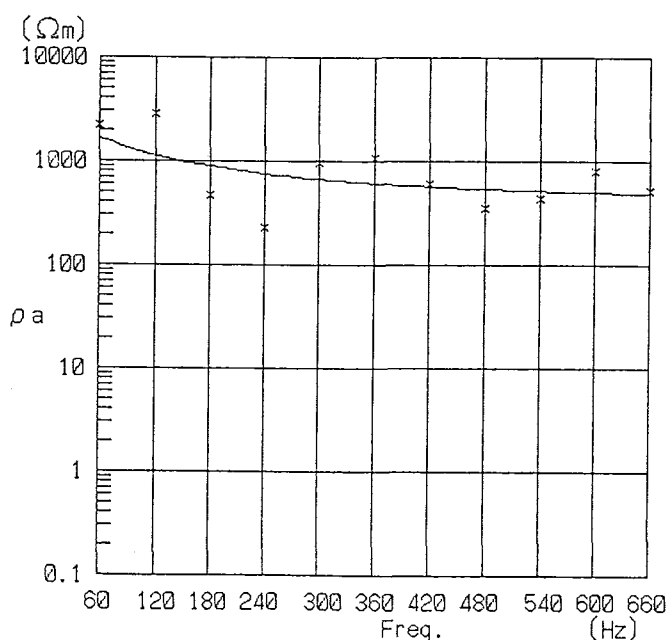
	RESISTIVITY (Ωm)	DEPTH (m)
1	74.6	43.5
2	1043.4	



STATION NO. 087(N-S)

F	ρ_a OBS	ρ_a CAL
60	59.0	111.8
120	41.0	214.1
180	626.0	304.8
240	110.0	381.5
300	176.0	443.3
360	370.0	490.8
420	3019.0	525.7
480	148.0	549.3
540	371.0	565.3
600	108.0	574.0
660	354.0	577.7

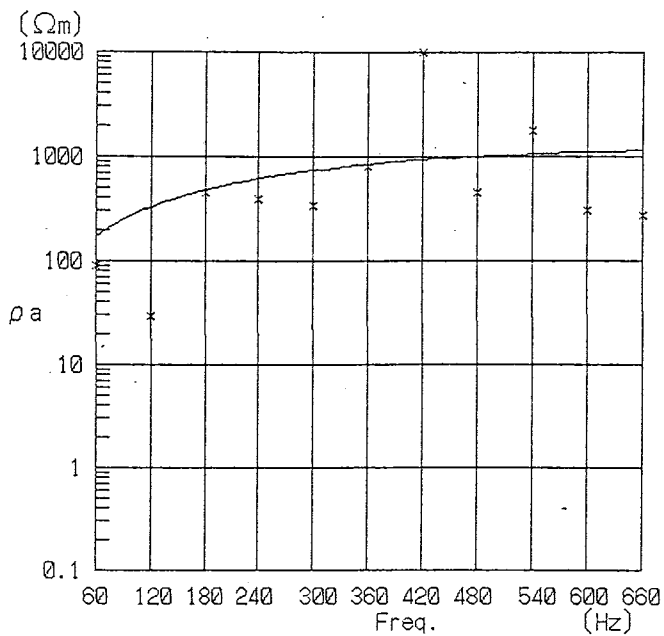
	RESISTIVITY (Ωm)	DEPTH (m)
1	445.9	479.6
2	0.1	



STATION NO. 087(E-W)

F	ρ_a OBS	ρ_a CAL
60	2215.0	1674.2
120	2883.0	1125.1
180	472.0	885.9
240	230.0	751.7
300	967.0	666.7
360	1065.0	609.1
420	594.0	568.3
480	357.0	538.7
540	438.0	516.7
600	819.0	500.3
660	530.0	488.1

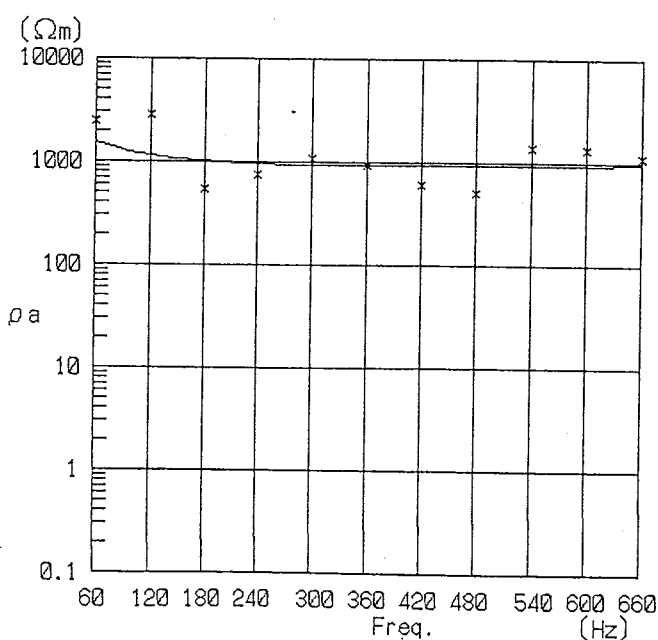
	RESISTIVITY (Ωm)	DEPTH (m)
1	538.7	418.8
2	7887.8	



STATION NO. 088 (N-S)

F	ρ_a OBS	ρ_a CAL
60	90.0	170.2
120	29.0	331.3
180	461.0	482.0
240	390.0	619.2
300	340.0	741.0
360	805.0	846.2
420	10000.0	934.8
480	449.0	1007.6
540	1787.0	1065.9
600	305.0	1111.1
660	273.0	1145.1

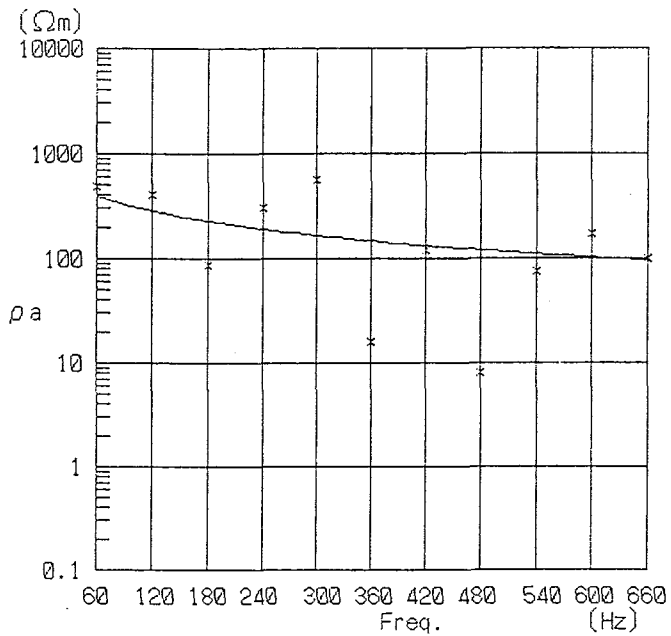
RESISTIVITY (Ωm)	DEPTH (m)
1	924.2
2	0.1



STATION NO. 088 (E-W)

F	ρ_a OBS	ρ_a CAL
60	2467.0	1525.3
120	2829.0	1156.8
180	538.0	1019.3
240	740.0	958.1
300	1072.0	930.9
360	939.0	921.1
420	603.0	920.7
480	512.0	925.5
540	1381.0	933.2
600	1333.0	942.1
660	1109.0	951.6

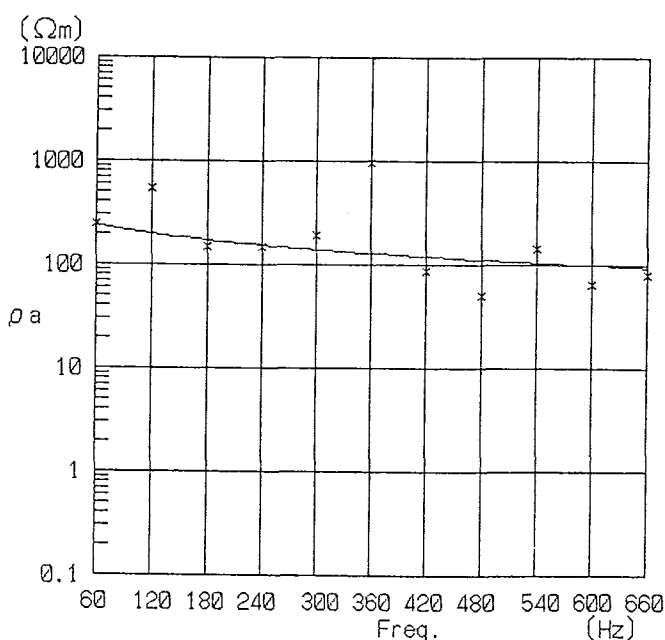
RESISTIVITY (Ωm)	DEPTH (m)
1	1028.6
2	6054.2



STATION NO. 089 (N-S)

F	ρ_a OBS	ρ_a CAL
60	479.0	398.7
120	407.0	285.5
180	86.0	227.5
240	308.0	191.1
300	561.0	165.7
360	16.0	146.8
420	121.0	132.2
480	8.0	120.4
540	76.0	110.7
600	169.0	102.6
660	101.0	95.7

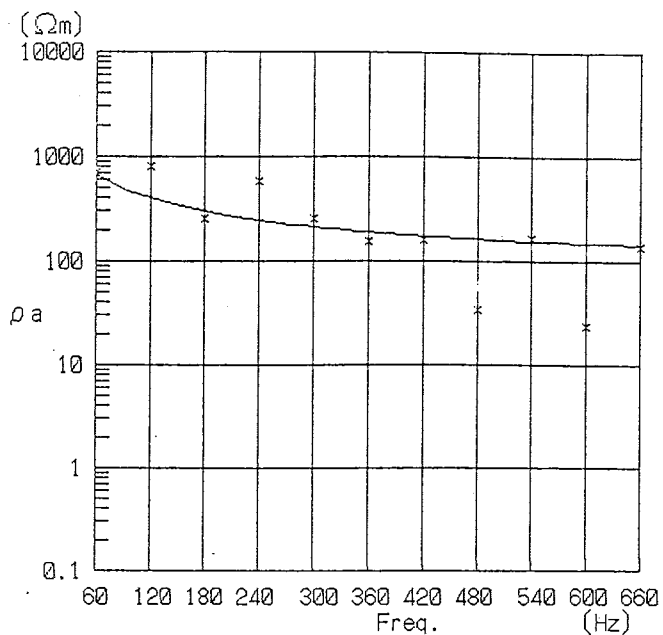
RESISTIVITY (Ωm)	DEPTH (m)
1	15.4
2	1103.1



STATION NO. 089 (E-W)

F	ρ_a OBS	ρ_a CAL
60	249.0	243.9
120	538.0	199.4
180	146.0	172.6
240	150.0	153.8
300	194.0	139.6
360	956.0	128.4
420	87.0	119.2
480	50.0	111.6
540	141.0	105.0
600	65.0	99.3
660	81.0	94.4

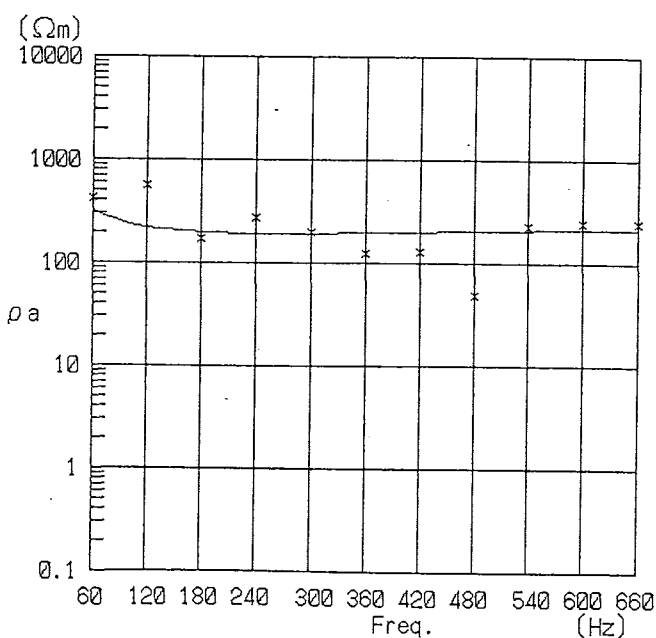
RESISTIVITY (Ωm)	DEPTH (m)
1	25.2
2	418.0



STATION NO. 090 (N-S)

F	ρ_a OBS	ρ_a CAL
60	692.0	670.5
120	805.0	405.1
180	258.0	301.3
240	578.0	246.1
300	259.0	212.4
360	152.0	190.1
420	159.0	174.6
480	34.0	163.4
540	165.0	155.3
600	24.0	149.2
660	139.0	144.8

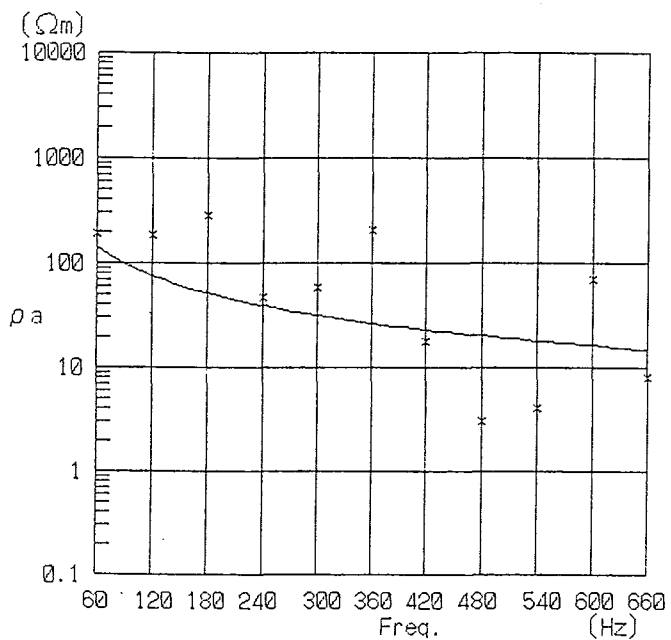
	RESISTIVITY (Ωm)	DEPTH (m)
1	164.4	232.8
2	7096.0	



STATION NO. 090 (E-W)

F	ρ_a OBS	ρ_a CAL
60	421.0	311.9
120	557.0	223.2
180	173.0	199.1
240	275.0	192.8
300	200.0	193.2
360	123.0	196.4
420	130.0	200.5
480	49.0	204.9
540	231.0	208.9
600	250.0	212.6
660	250.0	215.7

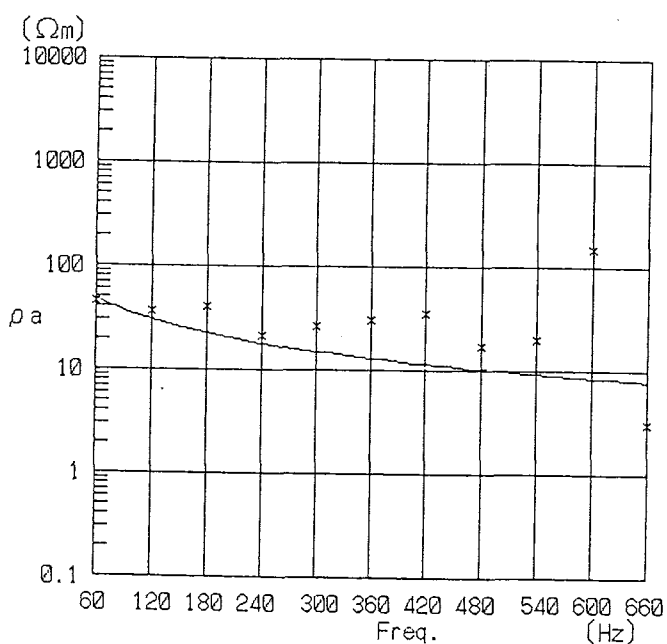
	RESISTIVITY (Ωm)	DEPTH (m)
1	226.0	551.6
2	3610.5	



STATION NO. 091 (N-S)

F	ρ_a OBS	ρ_a CAL
60	191.0	142.0
120	186.0	75.2
180	284.0	51.4
240	47.0	39.2
300	58.0	31.7
360	205.0	26.6
420	18.0	22.9
480	3.0	20.2
540	4.0	18.0
600	69.0	16.3
660	8.0	14.8

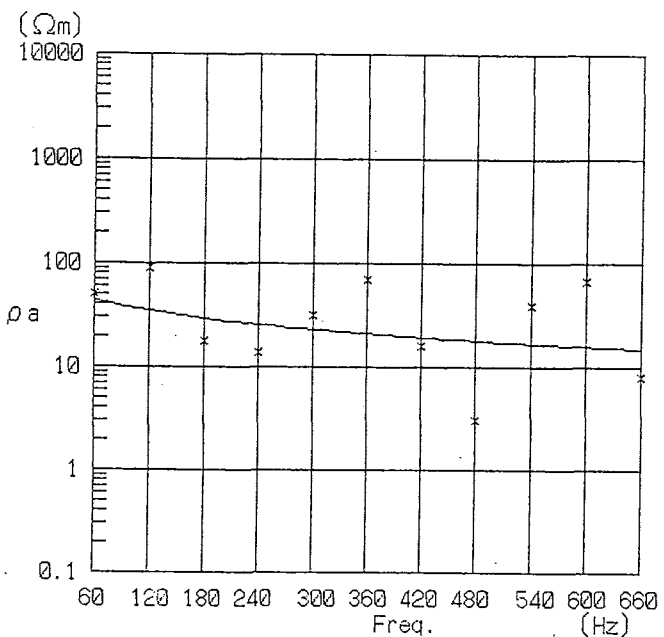
	RESISTIVITY (Ωm)	DEPTH (m)
1	1.4	4.9
2	8996.9	



STATION NO. 091 (E-W)

F	ρ_a OBS	ρ_a CAL
60	46.0	48.1
120	37.0	30.3
180	40.0	22.5
240	21.0	18.0
300	26.0	15.1
360	30.0	13.0
420	35.0	11.5
480	17.0	10.3
540	20.0	9.3
600	150.0	8.5
660	3.0	7.8

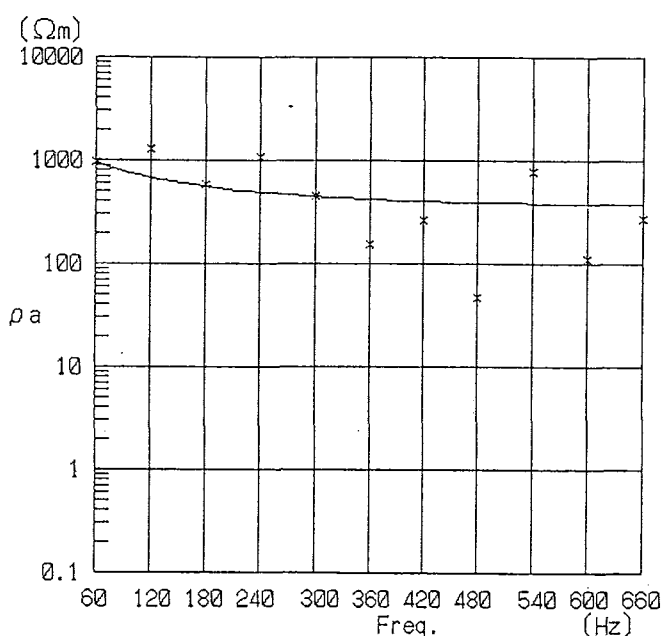
	RESISTIVITY (Ωm)	DEPTH (m)
1	0.3	1.3
2	266.4	



STATION NO. 092(N-S)

F	ρ_a OBS	ρ_a CAL
60	50.0	43.9
120	89.0	34.7
180	18.0	29.4
240	14.0	25.8
300	32.0	23.1
360	71.0	21.0
420	16.0	19.3
480	3.0	18.0
540	39.0	16.8
600	68.0	15.8
660	8.0	14.9

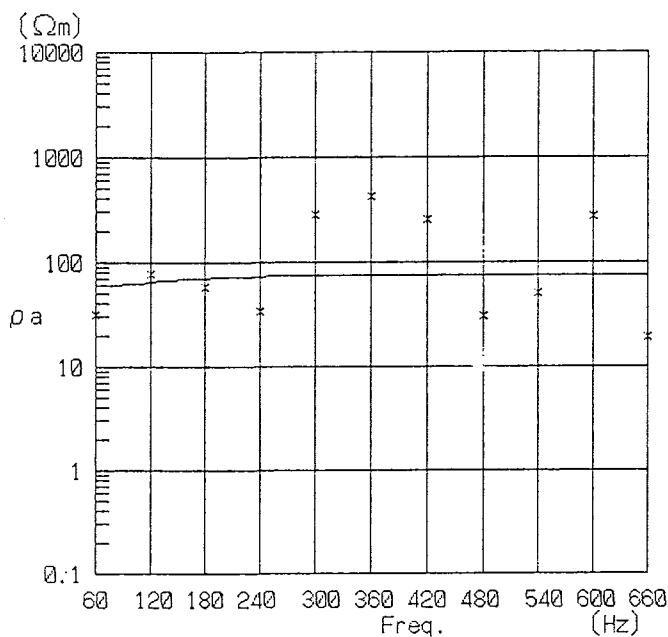
RESISTIVITY (Ωm)	DEPTH (m)
1	3.6
2	83.7



STATION NO. 092(E-W)

F	ρ_a OBS	ρ_a CAL
60	950.0	951.4
120	1293.0	676.6
180	582.0	556.1
240	1091.0	489.5
300	454.0	448.6
360	153.0	422.0
420	264.0	404.3
480	47.0	392.4
540	768.0	384.5
600	112.0	379.3
660	273.0	376.2

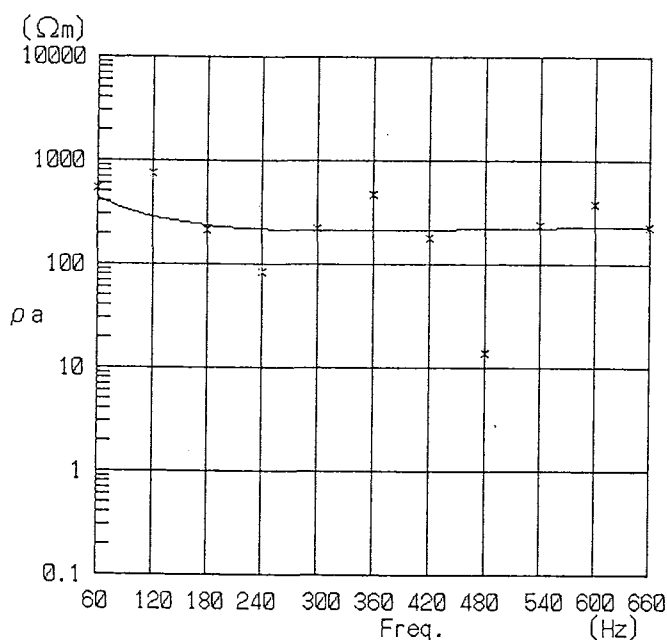
RESISTIVITY (Ωm)	DEPTH (m)
1	426.6
2	3644.1



STATION NO. 093(N-S)

F	ρ_a OBS	ρ_a CAL
60	32.0	59.6
120	77.0	65.1
180	58.0	70.9
240	34.0	73.6
300	284.0	74.5
360	417.0	74.6
420	259.0	74.4
480	30.0	74.3
540	50.0	74.1
600	273.0	74.0
660	19.0	73.9

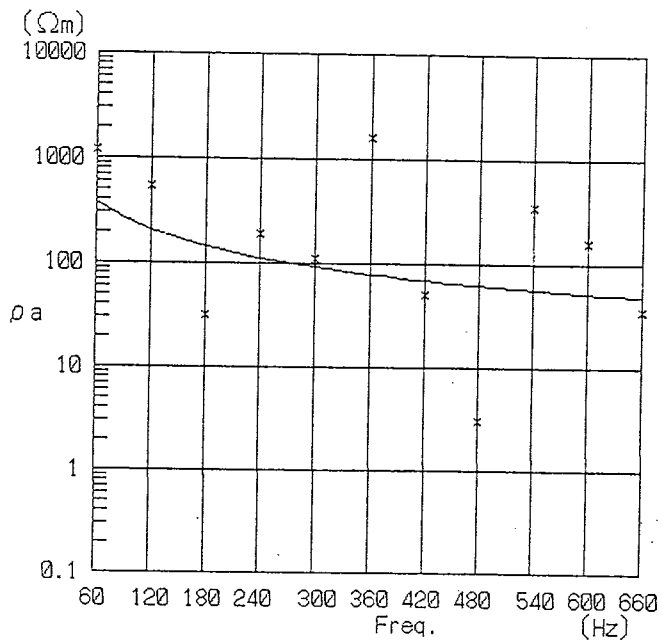
RESISTIVITY (Ωm)	DEPTH (m)
1	73.9
2	640.0



STATION NO. 093(E-W)

F	ρ_a OBS	ρ_a CAL
60	552.0	444.6
120	752.0	285.3
180	211.0	236.7
240	84.0	218.4
300	220.0	212.4
360	471.0	212.1
420	176.0	214.6
480	14.0	218.5
540	234.0	223.0
600	384.0	227.5
660	229.0	231.9

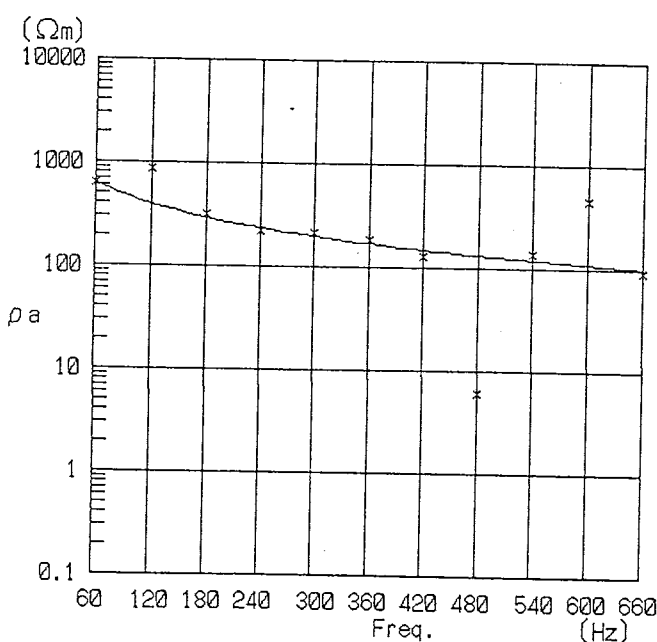
RESISTIVITY (Ωm)	DEPTH (m)
1	257.0
2	521.8



STATION NO. 094 (N-S)

F	ρ_a OBS	ρ_a CAL
60	1179.0	384.3
120	550.0	208.3
180	32.0	144.9
240	194.0	112.1
300	111.0	92.1
360	1606.0	78.7
420	50.0	69.1
480	3.0	61.9
540	346.0	56.4
600	157.0	52.1
660	35.0	48.6

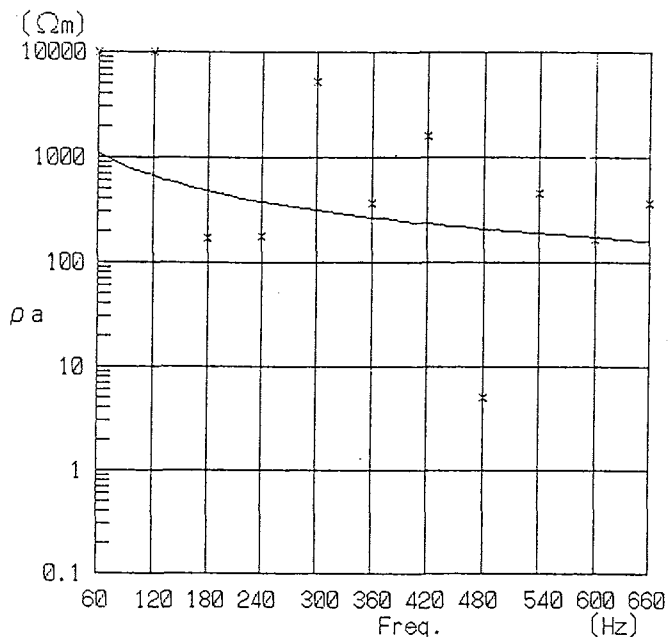
RESISTIVITY (Ωm)	DEPTH (m)
1	39.8
2	15804.2



STATION NO. 094 (E-W)

F	ρ_a OBS	ρ_a CAL
60	620.0	636.9
120	878.0	395.8
180	312.0	292.4
240	224.0	233.7
300	210.0	195.5
360	185.0	168.5
420	127.0	148.4
480	6.0	132.8
540	140.0	120.3
600	451.0	110.1
660	94.0	101.6

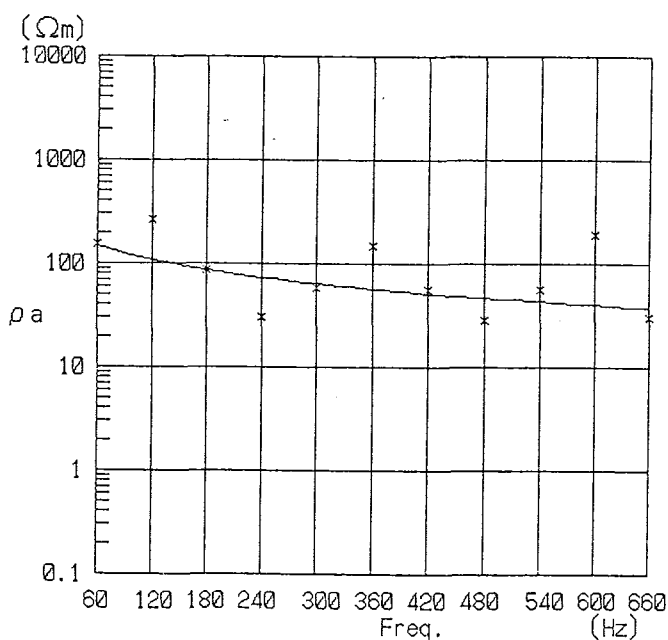
RESISTIVITY (Ωm)	DEPTH (m)
1	23.4
2	3938.4



STATION NO. 095 (N-S)

F	ρ_a OBS	ρ_a CAL
60	9992.0	1102.7
120	10000.0	661.4
180	173.0	479.6
240	181.0	378.6
300	5156.0	313.7
360	362.0	268.4
420	1570.0	234.9
480	5.0	209.0
540	448.0	188.4
600	167.0	171.6
660	360.0	157.6

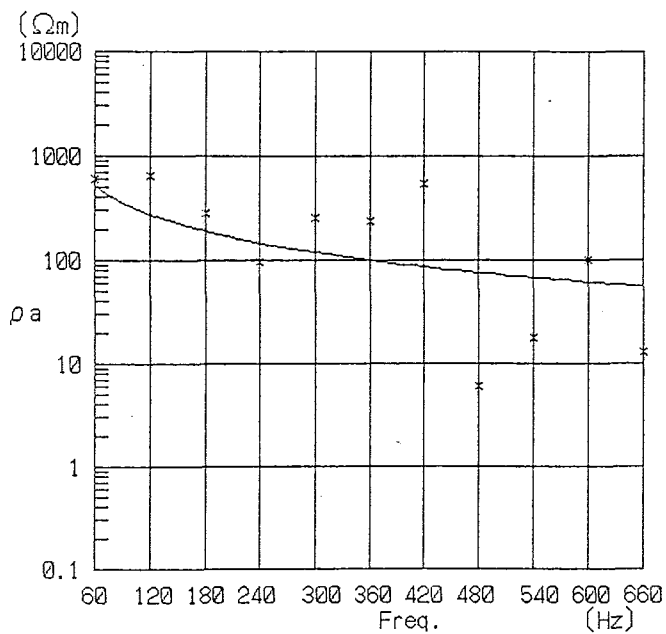
RESISTIVITY (Ωm)	DEPTH (m)
1	10.0
2	8999.9



STATION NO. 095 (E-W)

F	ρ_a OBS	ρ_a CAL
60	154.0	149.9
120	262.0	108.5
180	86.0	87.0
240	31.0	73.5
300	58.0	63.9
360	148.0	56.8
420	56.0	51.3
480	28.0	46.9
540	57.0	43.2
600	191.0	40.1
660	31.0	37.5

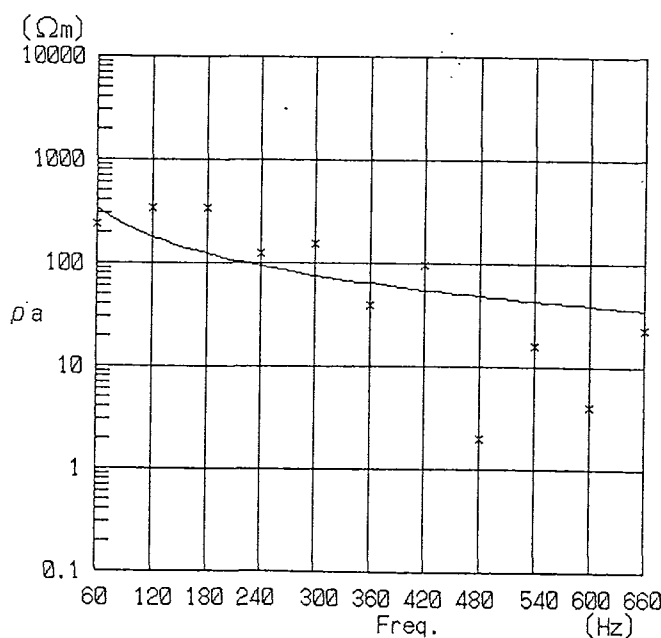
RESISTIVITY (Ωm)	DEPTH (m)
1	933.3
2	5.7
3	397.8



STATION NO. 096(N-S)

F	ρ_a OBS	ρ_a CAL
60	598.0	514.1
120	655.0	276.5
180	285.0	190.5
240	95.0	145.8
300	254.0	118.3
360	234.0	99.5
420	549.0	86.1
480	6.0	75.9
540	18.0	67.8
600	99.0	61.4
660	13.0	56.0

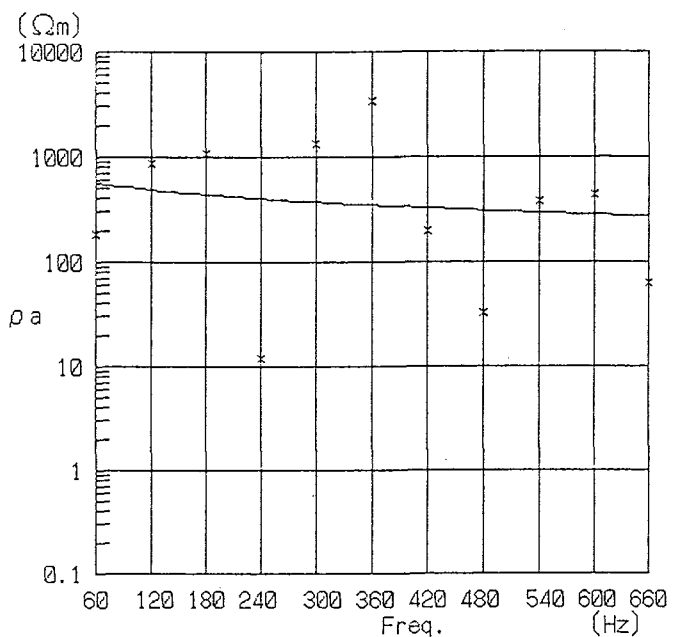
	RESISTIVITY (Ωm)	DEPTH (m)
1	498.0	1.8
2	6.6	13.6
3	20912.5	



STATION NO. 096(E-W)

F	ρ_a OBS	ρ_a CAL
60	236.0	334.4
120	339.0	178.8
180	344.0	122.9
240	124.0	93.9
300	155.0	76.0
360	39.0	64.0
420	96.0	55.2
480	2.0	48.6
540	16.0	43.4
600	4.0	39.2
660	23.0	35.8

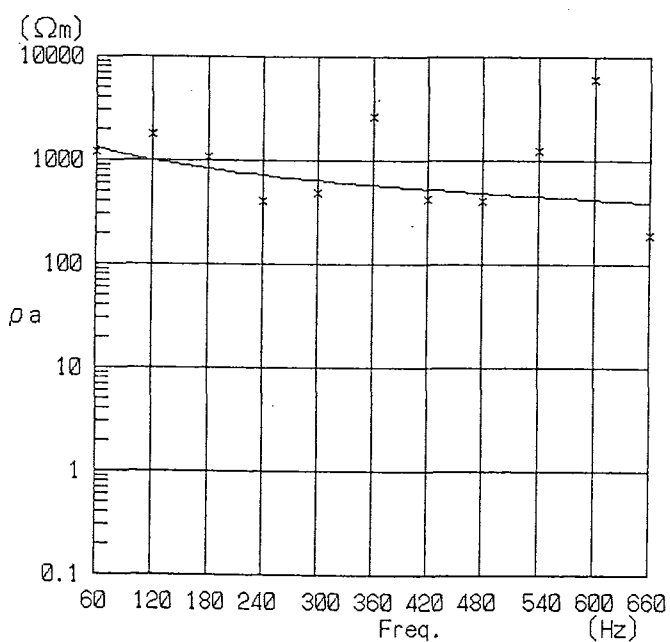
	RESISTIVITY (Ωm)	DEPTH (m)
1	454.6	1.1
2	2.1	5.8
3	15622.8	



STATION NO. 097(N-S)

F	ρ_a OBS	ρ_a CAL
60	184.0	564.9
120	855.0	488.3
180	1057.0	438.4
240	12.0	401.4
300	1342.0	372.2
360	3417.0	348.2
420	200.0	328.0
480	33.0	310.6
540	377.0	295.4
600	432.0	281.9
660	62.0	269.9

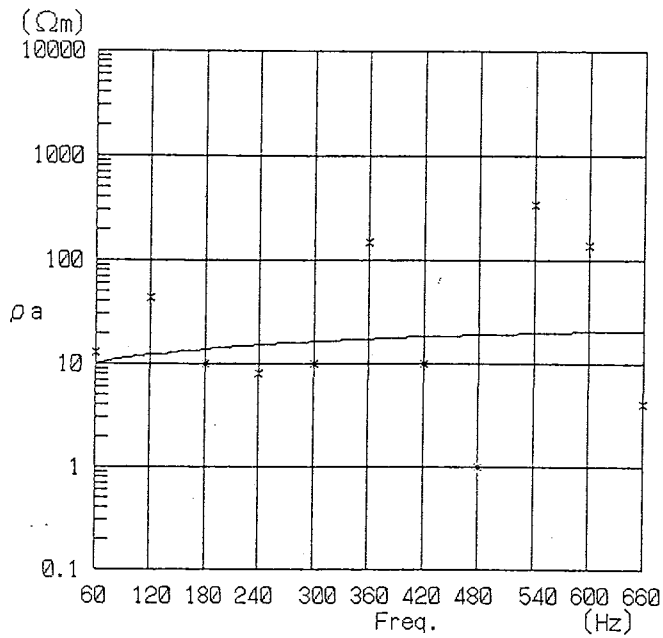
	RESISTIVITY (Ωm)	DEPTH (m)
1	850.5	0.3
2	0.7	0.6
3	818.0	



STATION NO. 097(E-W)

F	ρ_a OBS	ρ_a CAL
60	1185.0	1310.9
120	1788.0	1005.3
180	1078.0	834.4
240	410.0	720.6
300	492.0	638.0
360	2662.0	574.5
420	417.0	524.0
480	411.0	482.6
540	1254.0	447.9
600	5974.0	418.4
660	191.0	392.9

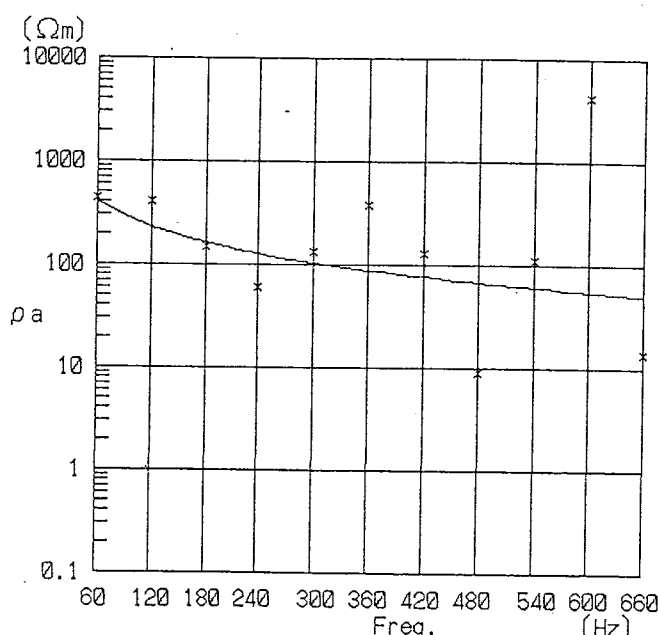
	RESISTIVITY (Ωm)	DEPTH (m)
1	1019.4	2.7
2	19.3	12.2
3	2760.9	



STATION NO. 098(N-S)

F	ρ_a OBS	ρ_a CAL
60	13.0	10.2
120	43.0	12.2
180	10.0	13.9
240	8.0	15.2
300	10.0	16.4
360	149.0	17.4
420	10.0	18.3
480	1.0	19.0
540	338.0	19.7
600	136.0	20.3
660	4.0	20.8

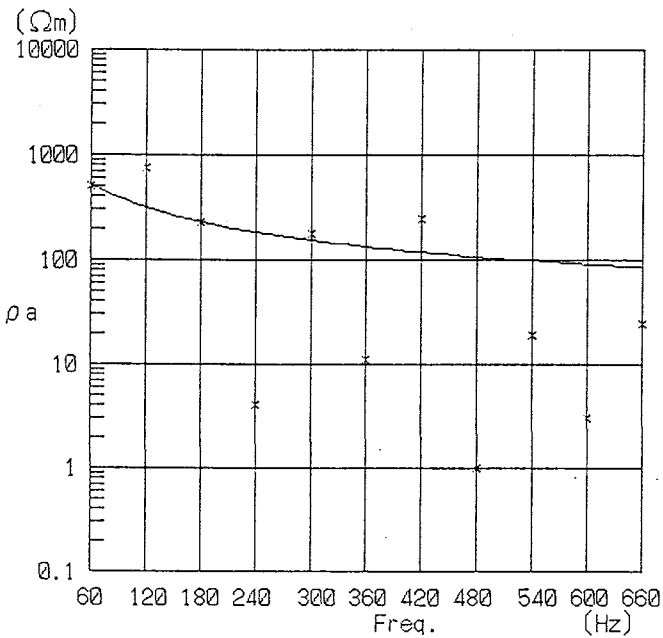
RESISTIVITY (Ωm)	DEPTH (m)
1	7.8
2	124.1
3	6.0



STATION NO. 098(E-W)

F	ρ_a OBS	ρ_a CAL
60	432.0	412.5
120	408.0	232.2
180	149.0	163.4
240	61.0	126.7
300	135.0	103.7
360	378.0	87.9
420	128.0	76.4
480	9.0	67.6
540	110.0	60.6
600	4267.0	55.0
660	14.0	50.4

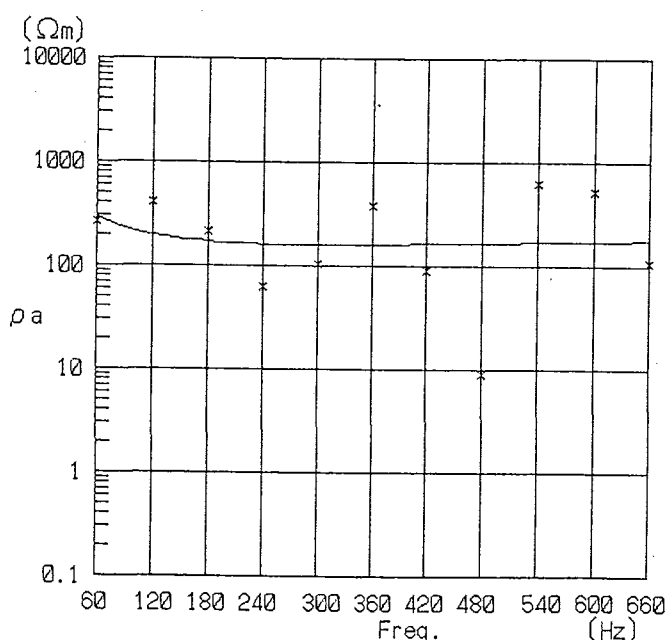
RESISTIVITY (Ωm)	DEPTH (m)
1	6.3
2	110.1
3	7068.3



STATION NO. 099 (N-S)

F	ρ_a OBS	ρ_a CAL
60	497.0	523.7
120	756.0	315.3
180	229.0	230.5
240	4.0	183.9
300	180.0	154.2
360	11.0	133.7
420	243.0	118.7
480	1.0	107.2
540	19.0	98.2
600	3.0	91.0
660	25.0	85.1

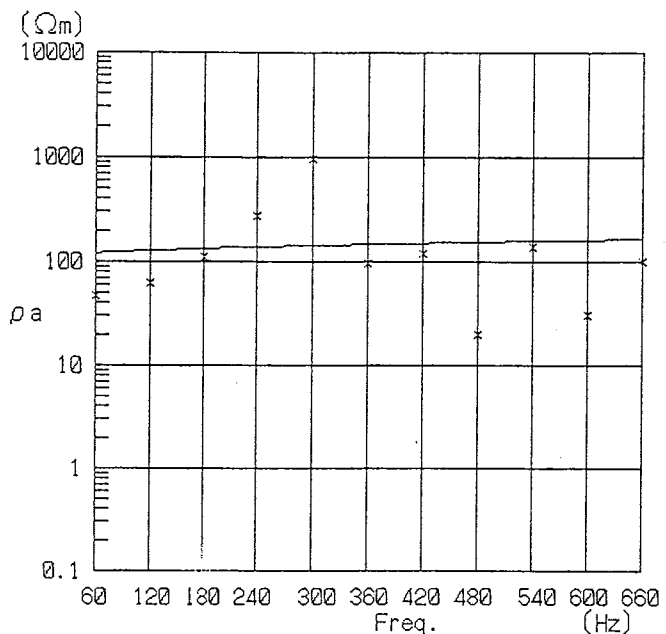
RESISTIVITY (Ωm)	DEPTH (m)
1	62.2
2	4590.0



STATION NO. 099 (E-W)

F	ρ_a OBS	ρ_a CAL
60	268.0	290.7
120	405.0	198.7
180	216.0	171.2
240	62.0	161.8
300	105.0	159.6
360	379.0	160.6
420	89.0	163.2
480	9.0	166.3
540	633.0	169.6
600	522.0	172.8
660	108.0	175.7

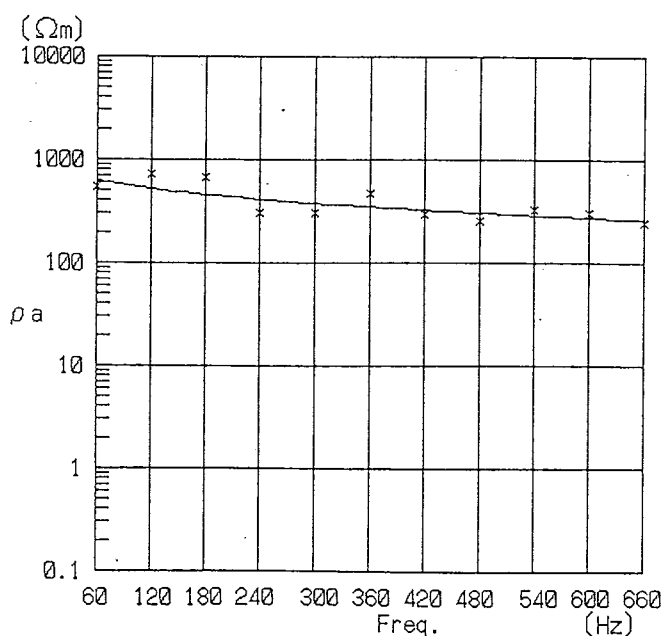
RESISTIVITY (Ωm)	DEPTH (m)
1	189.2
2	3822.8



STATION NO. 100(N-S)

F	ρ_a OBS	ρ_a CAL
60	47.0	121.5
120	62.0	128.5
180	112.0	134.1
240	271.0	138.9
300	962.0	143.3
360	98.0	147.3
420	121.0	151.1
480	20.0	154.7
540	136.0	158.1
600	31.0	161.4
660	101.0	164.6

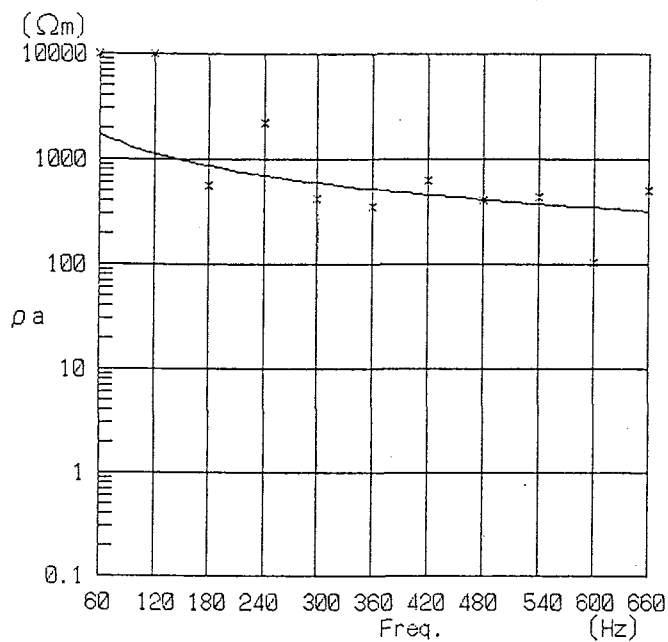
RESISTIVITY (Ωm)	DEPTH (m)
1	859.0
2	106.0



STATION NO. 100(E-W)

F	ρ_a OBS	ρ_a CAL
60	550.0	625.3
120	723.0	522.5
180	662.0	458.6
240	302.0	412.7
300	304.0	377.5
360	463.0	349.2
420	298.0	325.8
480	259.0	306.0
540	324.0	289.0
600	301.0	274.1
660	250.0	261.0

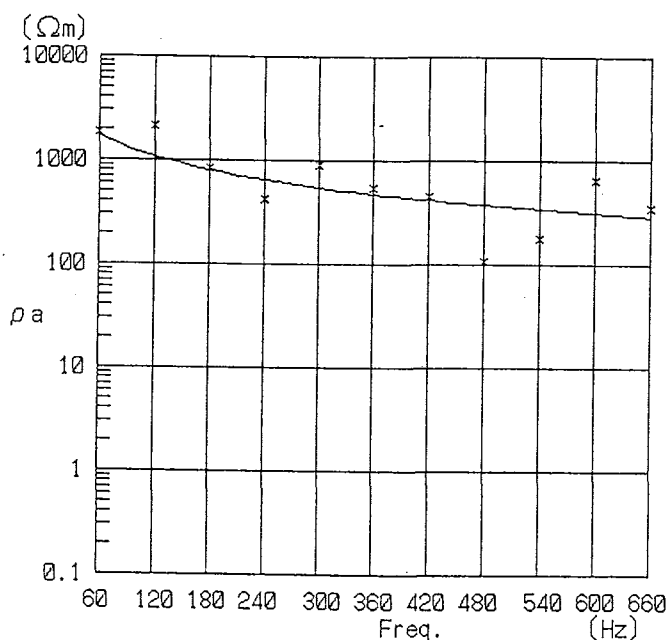
RESISTIVITY (Ωm)	DEPTH (m)
1	38.5
2	999.9



STATION NO. 101 (N-S)

F	ρ_a OBS	ρ_a CAL
60	10000.0	1722.3
120	10000.0	1133.4
180	571.0	862.1
240	2200.0	701.9
300	417.0	594.9
360	346.0	517.9
420	636.0	459.5
480	411.0	413.7
540	443.0	376.7
600	104.0	346.1
660	506.0	320.4

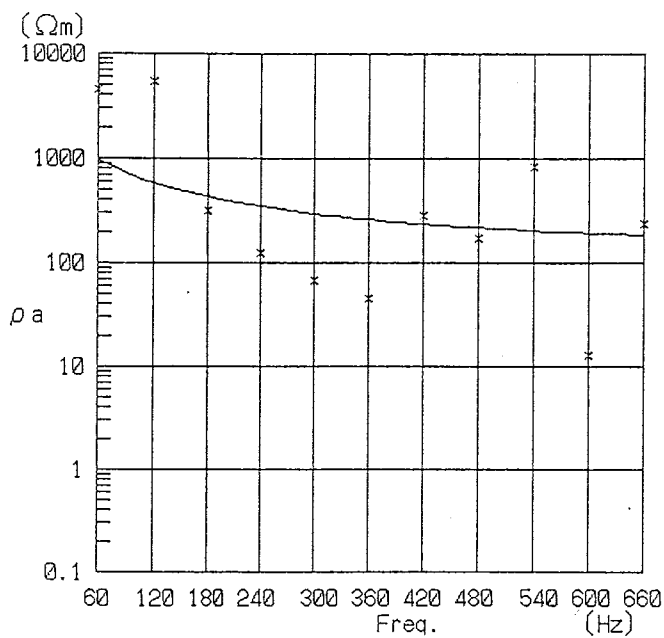
RESISTIVITY (Ωm)	DEPTH (m)
1	53.7
2	7259.3



STATION NO. 101 (E-W)

F	ρ_a OBS	ρ_a CAL
60	1827.0	1703.8
120	2139.0	1079.3
180	822.0	805.5
240	424.0	648.1
300	899.0	544.9
360	551.0	471.7
420	457.0	416.8
480	107.0	374.1
540	177.0	339.8
600	644.0	311.7
660	358.0	288.3

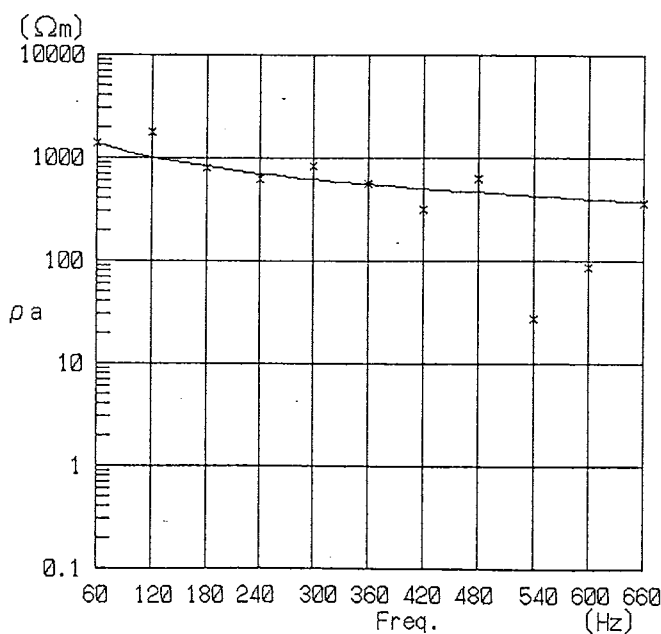
RESISTIVITY (Ωm)	DEPTH (m)
1	81.4
2	9237.3



STATION NO. 102(N-S)

F	ρ_a OBS	ρ_a CAL
60	4515.0	975.0
120	5415.0	585.2
180	318.0	430.9
240	124.0	347.8
300	68.0	296.1
360	45.0	261.2
420	279.0	236.3
480	170.0	217.9
540	825.0	204.0
600	13.0	193.2
660	234.0	184.8

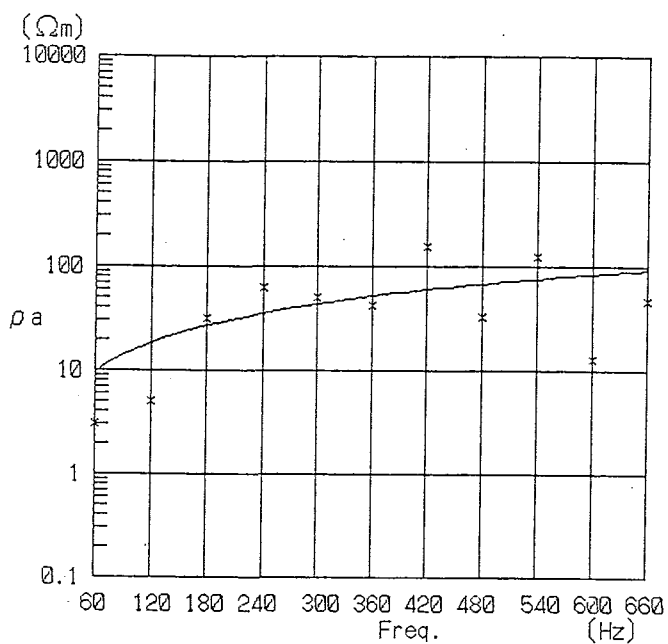
RESISTIVITY (Ωm)	DEPTH (m)
1 191.5	221.3
2 10000.0	



STATION NO. 102(E-W)

F	ρ_a OBS	ρ_a CAL
60	1375.0	1362.4
120	1781.0	1014.9
180	816.0	828.0
240	632.0	706.8
300	841.0	620.3
360	570.0	555.0
420	311.0	503.5
480	630.0	461.8
540	27.0	427.1
600	88.0	397.8
660	367.0	372.7

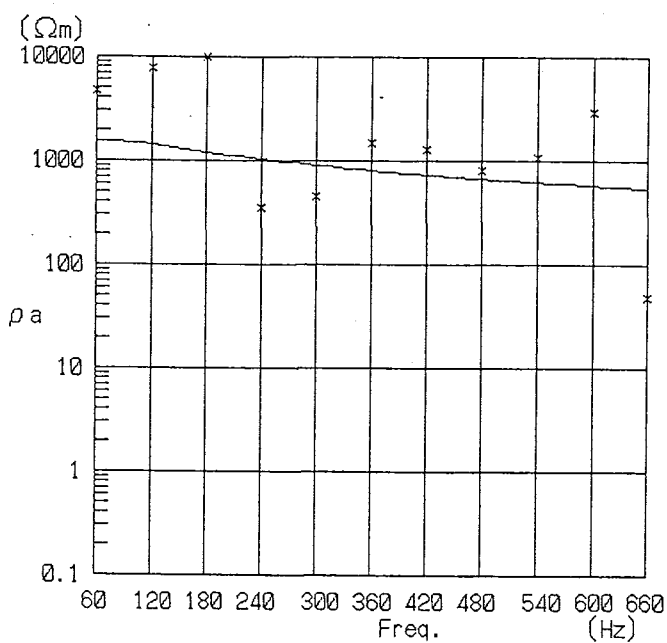
RESISTIVITY (Ωm)	DEPTH (m)
1 63.8	34.7
2 3210.0	



STATION NO. 103(N-S)

F	ρ_a OBS	ρ_a CAL
60	3.0	9.7
120	5.0	18.5
180	32.0	27.1
240	62.0	35.6
300	51.0	43.9
360	42.0	52.2
420	156.0	60.3
480	33.0	68.3
540	125.0	76.2
600	13.0	83.9
660	47.0	91.5

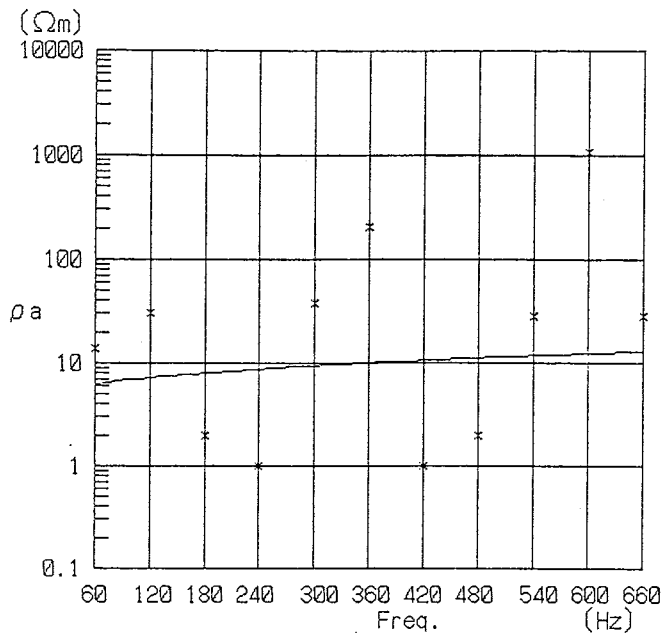
RESISTIVITY (Ωm)	DEPTH (m)
1	175.2
2	258.6
3	0.1



STATION NO. 103(E-W)

F	ρ_a OBS	ρ_a CAL
60	4731.0	1529.5
120	7740.0	1418.6
180	10000.0	1208.7
240	350.0	1036.2
300	452.0	905.7
360	1463.0	806.7
420	1300.0	730.0
480	808.0	669.4
540	1074.0	620.3
600	2952.0	579.8
660	49.0	545.8

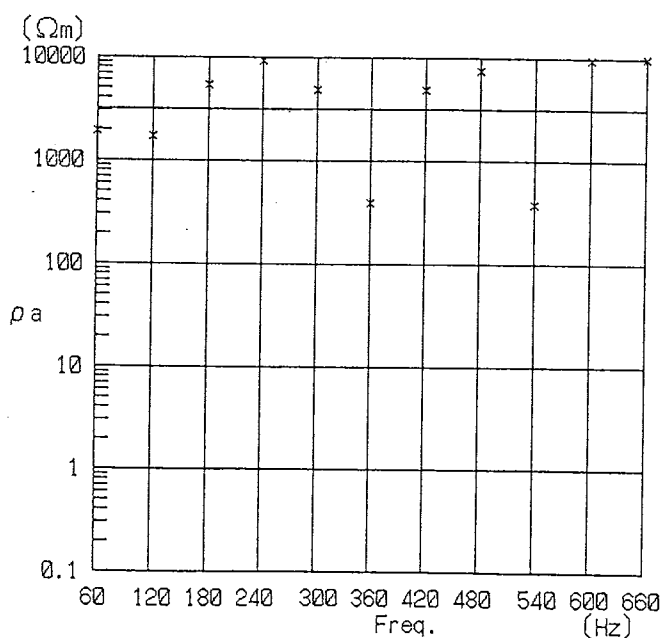
RESISTIVITY (Ωm)	DEPTH (m)
1	207.0
2	3180.1
3	300.9



STATION NO. 104 (N-S)

F	ρ_a OBS	ρ_a CAL
60	14.0	6.3
120	30.0	7.2
180	2.0	8.0
240	1.0	8.8
300	38.0	9.4
360	209.0	10.1
420	1.0	10.7
480	2.0	11.3
540	28.0	11.8
600	1077.0	12.4
660	28.0	12.9

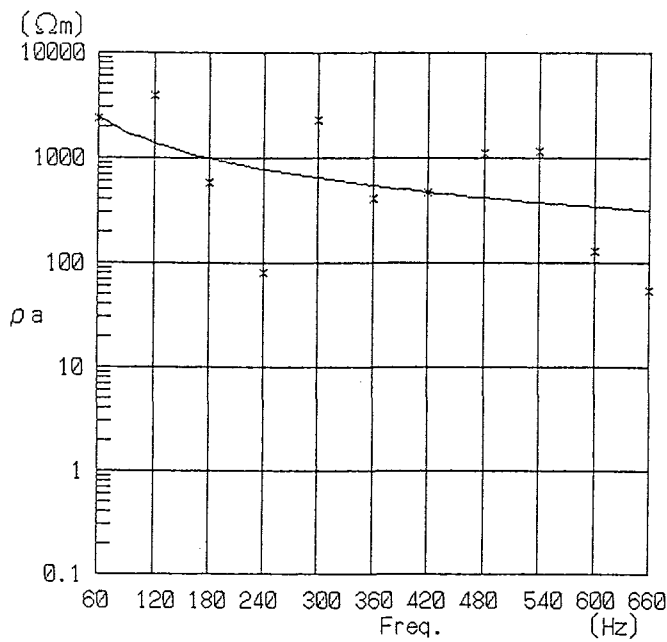
	RESISTIVITY (Ωm)	DEPTH (m)
1	9426.9	24.8
2	4.4	



STATION NO. 104 (E-W)

F	ρ_a OBS	ρ_a CAL
60	1916.0	3125.8
120	1691.0	3131.0
180	5486.0	3135.1
240	9424.0	3138.5
300	4956.0	3141.5
360	395.0	3144.2
420	4871.0	3146.7
480	7520.0	3149.0
540	380.0	3151.2
600	9682.0	3153.2
660	10000.0	3155.2

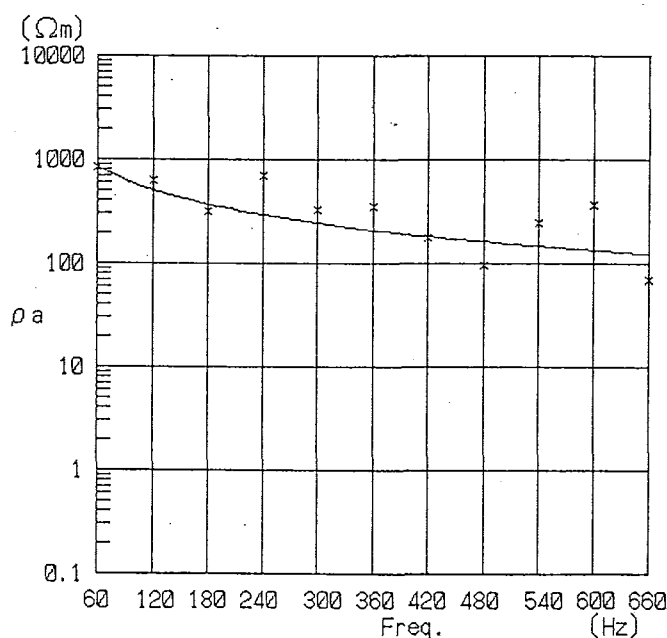
	RESISTIVITY (Ωm)	DEPTH (m)
1	7204.2	12.9
2	3113.2	



STATION NO. 105 (N-S)

F	ρ_a OBS	ρ_a CAL
60	2377.0	2416.6
120	3933.0	1396.9
180	575.0	994.8
240	82.0	776.5
300	2263.0	638.5
360	413.0	543.0
420	472.0	472.9
480	1125.0	419.2
540	1148.0	376.7
600	128.0	342.1
660	55.0	313.5

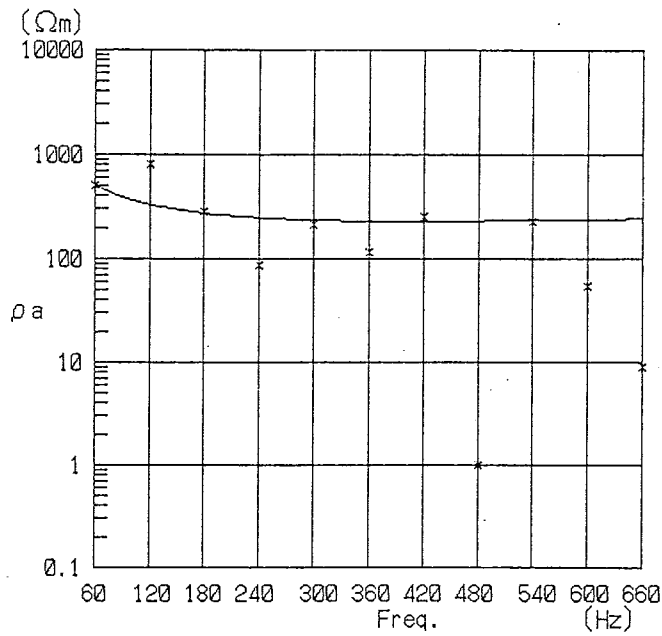
RESISTIVITY (Ωm)	DEPTH (m)
1 11.6	8.4
2 28850.5	



STATION NO. 105 (E-W)

F	ρ_a OBS	ρ_a CAL
60	824.0	838.4
120	633.0	507.5
180	320.0	369.7
240	694.0	292.7
300	330.0	243.2
360	348.0	208.4
420	179.0	182.6
480	97.0	162.7
540	246.0	146.8
600	366.0	133.8
660	69.0	123.0

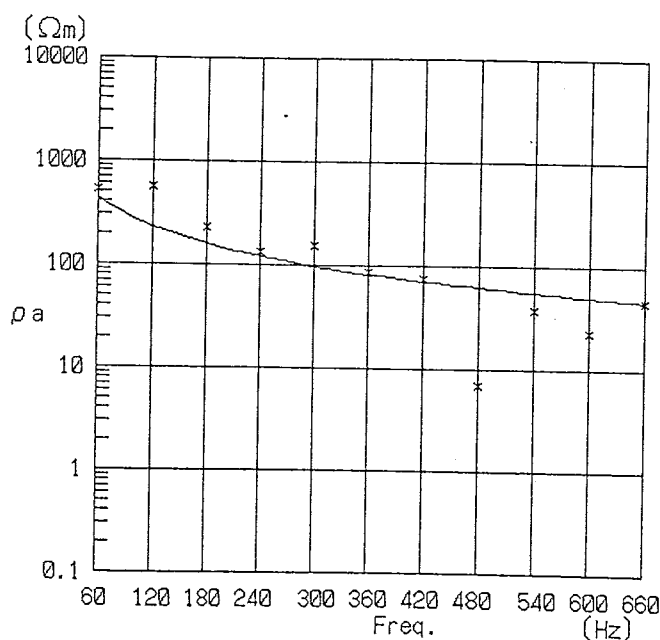
RESISTIVITY (Ωm)	DEPTH (m)
1 11.7	13.2
2 6323.0	



STATION NO. 106 (N-S)

F	ρ_a OBS	ρ_a CAL
60	498.0	501.5
120	818.0	330.7
180	287.0	272.4
240	86.0	247.2
300	210.0	235.9
360	114.0	231.5
420	255.0	231.0
480	1.0	232.5
540	229.0	235.3
600	55.0	238.6
660	9.0	242.2

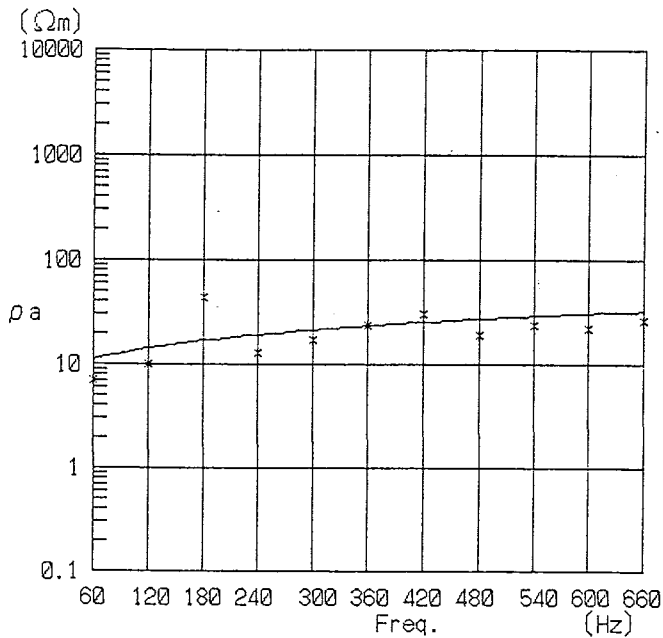
	RESISTIVITY (Ωm)	DEPTH (m)
1	273.8	490.5
2	5565.7	



STATION NO. 106 (E-W)

F	ρ_a OBS	ρ_a CAL
60	526.0	437.9
120	555.0	231.6
180	231.0	158.4
240	134.0	120.7
300	153.0	97.6
360	88.0	82.0
420	76.0	70.8
480	7.0	62.3
540	38.0	55.7
600	23.0	50.3
660	45.0	46.0

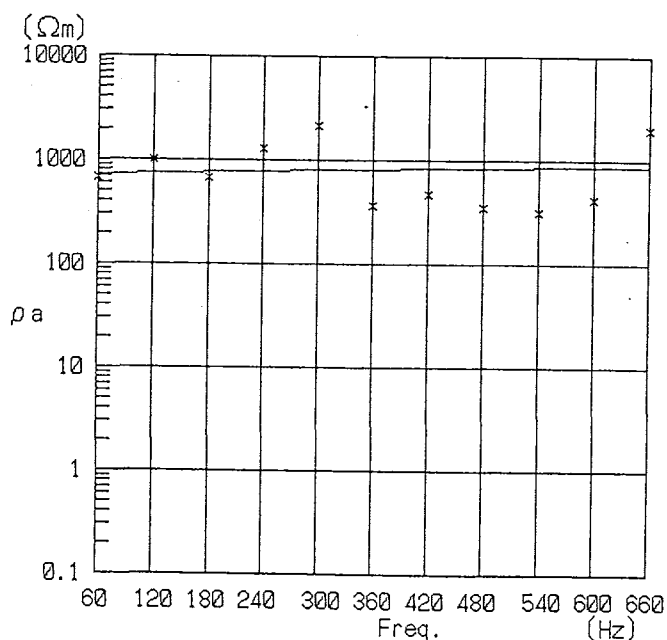
	RESISTIVITY (Ωm)	DEPTH (m)
1	9.4	18.8
2	29181.8	



STATION NO. 107(N-S)

F	ρ_a OBS	ρ_a CAL
60	7.0	11.2
120	10.0	14.2
180	43.0	16.9
240	13.0	19.2
300	17.0	21.4
360	24.0	23.5
420	31.0	25.5
480	19.0	27.3
540	24.0	29.1
600	22.0	30.8
660	26.0	32.5

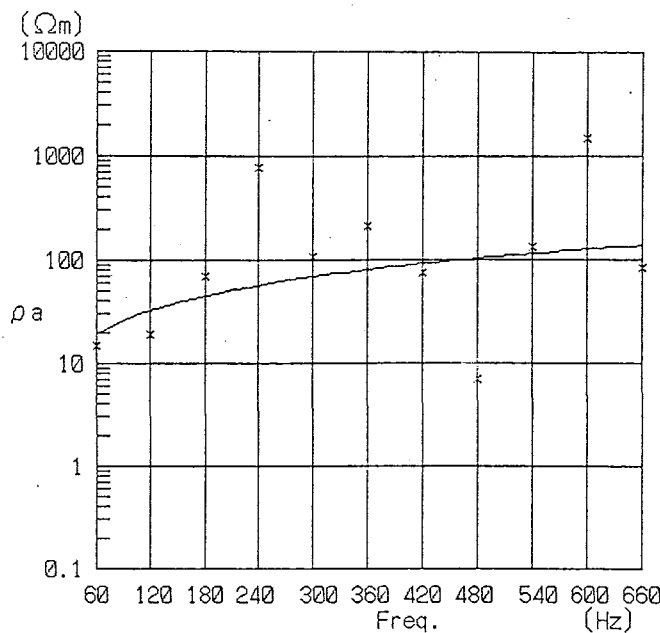
RESISTIVITY (Ωm)	DEPTH (m)
1	62.9
2	5.6



STATION NO. 107(E-W)

F	ρ_a OBS	ρ_a CAL
60	683.0	716.8
120	996.0	743.7
180	662.0	764.8
240	1289.0	783.0
300	2091.0	799.1
360	363.0	813.9
420	462.0	827.7
480	354.0	840.6
540	316.0	852.8
600	427.0	864.5
660	1967.0	875.6

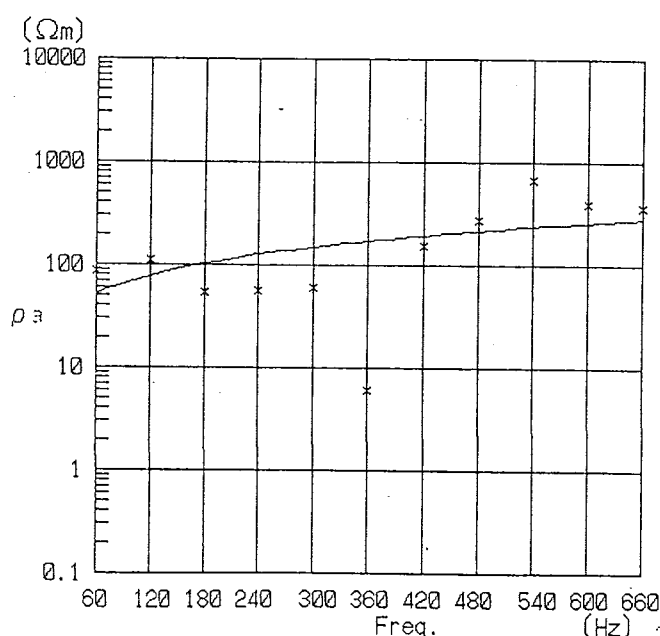
RESISTIVITY (Ωm)	DEPTH (m)
1	1876.7
2	655.2



STATION NO. 108 (N-S)

F	ρ_a OBS	ρ_a CAL
60	15.0	19.5
120	19.0	32.6
180	71.0	45.0
240	771.0	57.1
300	106.0	69.0
360	212.0	80.7
420	74.0	92.3
480	7.0	103.8
540	131.0	115.2
600	1480.0	126.5
660	84.0	137.8

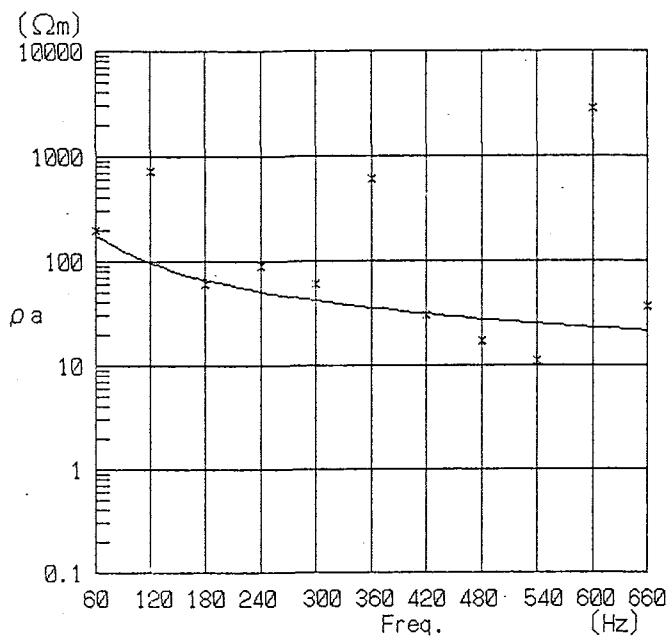
	RESISTIVITY (Ωm)	DEPTH (m)
1	4600.2	147.4
2	2.3	



STATION NO. 108 (E-W)

F	ρ_a OBS	ρ_a CAL
60	87.0	51.8
120	112.0	78.5
180	54.0	103.2
240	56.0	126.8
300	60.0	149.7
360	6.0	172.1
420	152.0	194.2
480	269.0	215.9
540	676.0	237.4
600	392.0	258.7
660	362.0	279.8

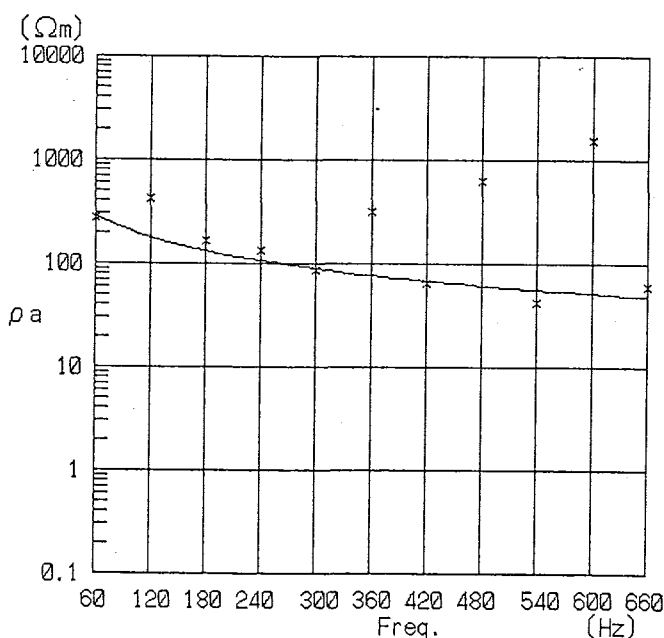
	RESISTIVITY (Ωm)	DEPTH (m)
1	9536.2	195.0
2	12.6	



STATION NO. 109(N-S)

F	ρ_a OBS	ρ_a CAL
60	201.0	178.7
120	726.0	96.2
180	61.0	66.6
240	90.0	51.3
300	61.0	42.0
360	605.0	35.7
420	31.0	31.2
480	17.0	27.9
540	11.0	25.3
600	2836.0	23.2
660	36.0	21.5

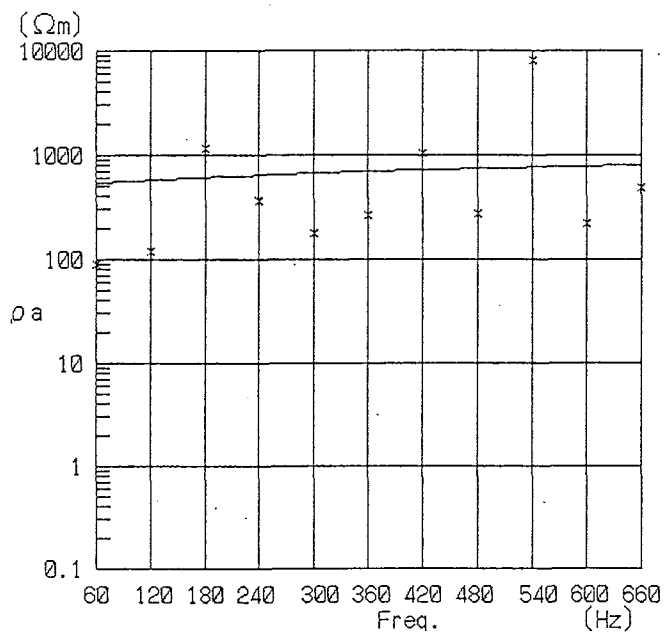
RESISTIVITY (Ωm)	DEPTH (m)
1 15.9	49.1
2 8421.0	



STATION NO. 109(E-W)

F	ρ_a OBS	ρ_a CAL
60	269.0	287.8
120	418.0	178.4
180	163.0	132.0
240	132.0	105.8
300	87.0	88.9
360	321.0	77.0
420	64.0	68.2
480	625.0	61.4
540	42.0	56.0
600	1526.0	51.6
660	60.0	48.0

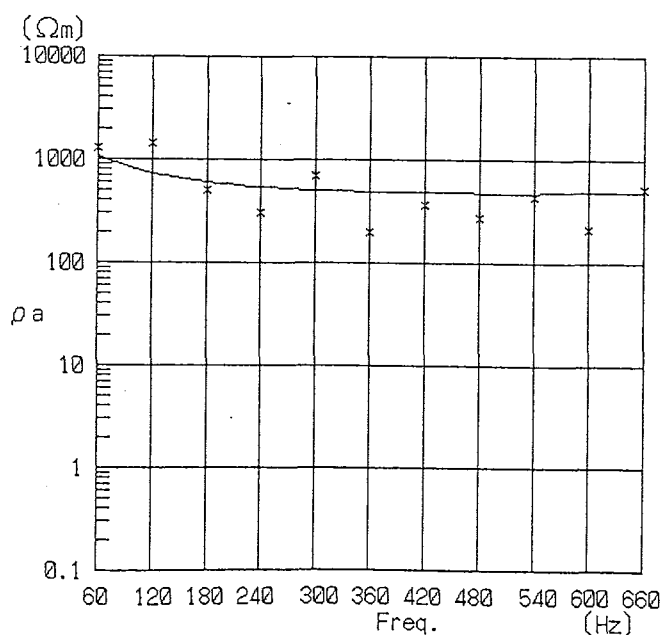
RESISTIVITY (Ωm)	DEPTH (m)
1 25.9	49.2
2 1894.2	



STATION NO. 110(N-S)

F	ρ_a OBS	ρ_a CAL
60	90.0	536.3
120	120.0	578.7
180	1156.0	613.0
240	370.0	643.1
300	177.0	670.6
360	263.0	696.2
420	1048.0	720.4
480	273.0	743.4
540	7941.0	765.5
600	217.0	786.9
660	490.0	807.5

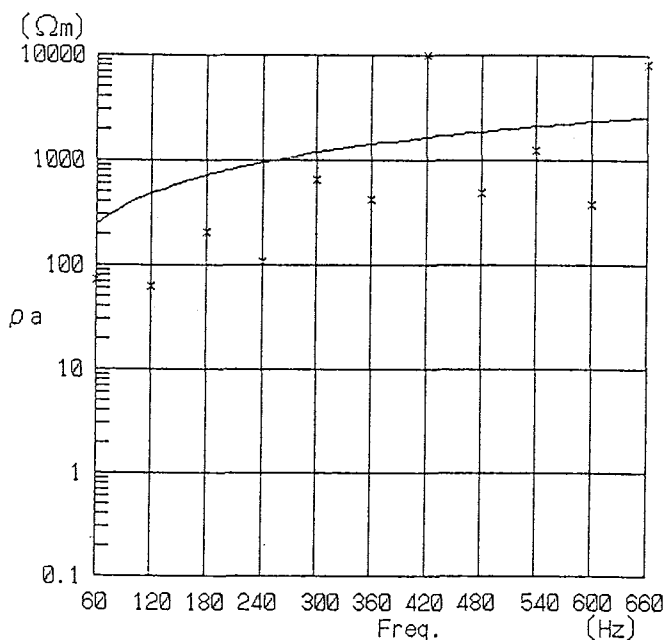
	RESISTIVITY (Ωm)	DEPTH (m)
1	122165.0	128.9
2	445.1	13787.1
3	10000.0	



STATION NO. 110(E-W)

F	ρ_a OBS	ρ_a CAL
60	1288.0	1068.3
120	1430.0	734.6
180	502.0	605.8
240	309.0	542.5
300	689.0	508.7
360	201.0	490.5
420	369.0	481.4
480	274.0	477.9
540	431.0	478.1
600	211.0	480.5
660	516.0	484.4

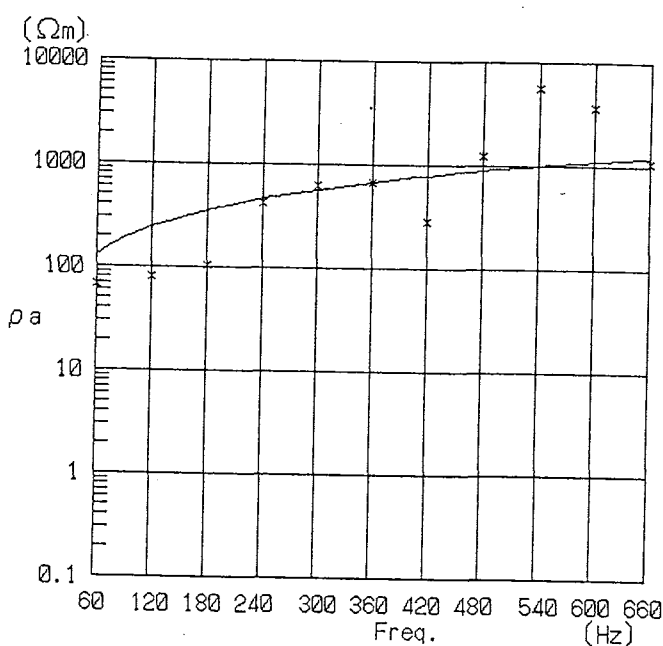
	RESISTIVITY (Ωm)	DEPTH (m)
1	800.5	27.3
2	534.1	601.0
3	6292.4	



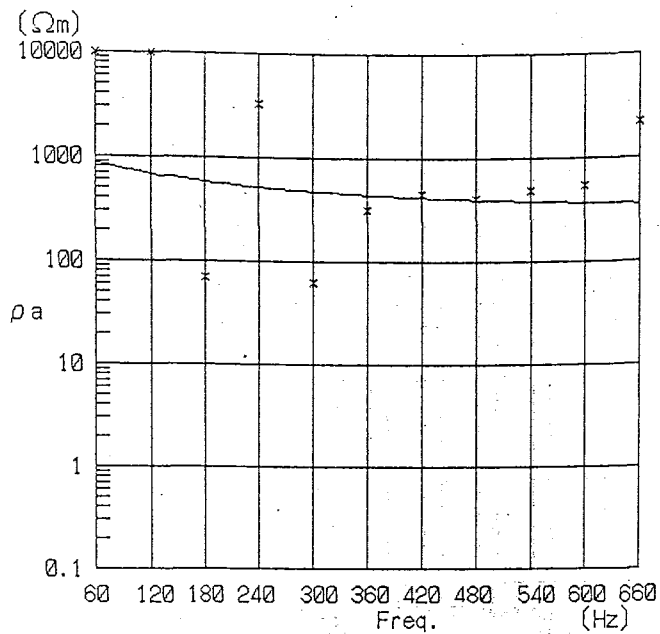
STATION NO. 111 (N-S)

F	ρ_a OBS	ρ_a CAL
60	73.0	246.0
120	62.0	482.4
180	202.0	717.0
240	106.0	950.5
300	654.0	1183.1
360	424.0	1414.9
420	1000.0	1645.9
480	490.0	1876.0
540	1228.0	2105.3
600	382.0	2333.6
660	8092.0	2561.0

RESISTIVITY (Ωm)	DEPTH (m)
1 11958.3	697.6
2 0.5	



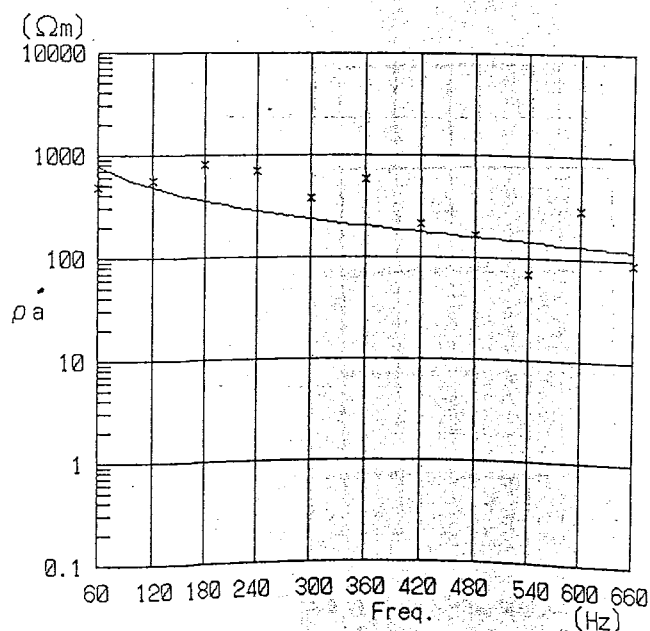
RESISTIVITY (Ωm)	DEPTH (m)
1 13574.7	467.5
2 2.7	



STATION NO. 112(N-S)

F	ρ_a OBS	ρ_a CAL
60	10000.0	870.4
120	10000.0	685.2
180	69.0	585.5
240	3260.0	521.5
300	62.0	476.5
360	316.0	443.1
420	451.0	417.4
480	404.0	397.2
540	487.0	381.0
600	544.0	367.7
660	2235.0	356.8

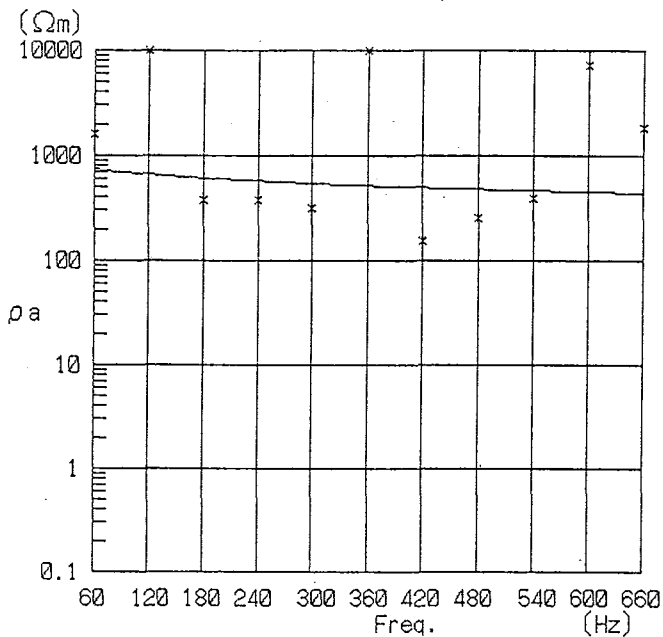
	RESISTIVITY (Ωm)	DEPTH (m)
1	337.4	256.1
2	1817.1	



STATION NO. 112(E-W)

F	ρ_a OBS	ρ_a CAL
60	494.0	783.6
120	569.0	483.4
180	812.0	355.4
240	694.0	282.9
300	380.0	235.9
360	583.0	202.8
420	211.0	178.1
480	168.0	158.9
540	69.0	143.6
600	299.0	131.0
660	91.0	120.6

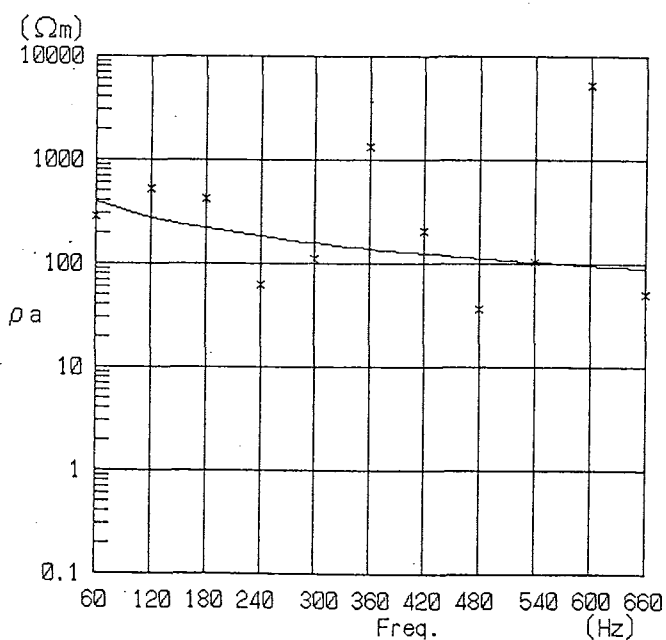
	RESISTIVITY (Ωm)	DEPTH (m)
1	5.8	6.5
2	5040.9	



STATION NO. 113 (N-S)

F	ρ_a OBS	ρ_a CAL
60	1605.0	745.5
120	10000.0	664.7
180	373.0	612.2
240	374.0	573.4
300	318.0	543.0
360	10000.0	518.2
420	153.0	497.4
480	251.0	479.8
540	390.0	464.4
600	7144.0	451.0
660	1845.0	439.2

RESISTIVITY (Ωm)	DEPTH (m)
1	329.1
2	1009.0



STATION NO. 113 (E-W)

F	ρ_a OBS	ρ_a CAL
60	285.0	393.3
120	526.0	277.2
180	419.0	218.8
240	63.0	182.5
300	110.0	157.4
360	1356.0	138.8
420	207.0	124.5
480	37.0	113.0
540	104.0	103.6
600	5327.0	95.7
660	51.0	89.0

RESISTIVITY (Ωm)	DEPTH (m)
1	5.5
2	1159.1